



ΣΧΟΛΗ ΗΛΕΚΤΡΟΛΟΓΩΝ ΜΗΧΑΝΙΚΩΝ ΚΑΙ ΜΗΧΑΝΙΚΩΝ ΥΠΟΛΟΓΙΣΤΩΝ

Τομέας Ηλεκτρικών Βιομηχανικών Διατάξεων
και Συστημάτων Αποφάσεων

Μονάδα Συστημάτων Πρόβλεψης Και Προοπτικής

Διπλωματική Εργασία
του

Γιαννέλου Κωνσταντίνου

Πληροφοριακό Σύστημα Υποστήριξης

Κριτικών Επεμβάσεων Σε Στατιστικές

Προβλέψεις

Καθηγητής:: Prof. Β.Ασημακόπουλος
Επιβλέπων: Dr. Κ.Νικολόπουλος

Αθήνα, Ιούλιος 2004

Πληροφοριακό Σύστημα Υποστήριξης Κριτικών Επεμβάσεων Σε Στατιστικές Προβλέψεις

Γιαννέλος Κωνσταντίνος

Καθηγητής: Prof. Β.Ασημακόπουλος

Επιβλέπων: Dr. Κ.Νικολόπουλος

Αθήνα, Ιούλιος 2004

Πρόλογος

Η διπλωματική αυτή εργασία εκπονήθηκε στα πλαίσια των ερευνητικών δραστηριοτήτων της Μονάδας Συστημάτων Πρόβλεψης και Προοπτικής κατά το χειμερινό εξάμηνο του έτους 2003 – 2004 (Δεκέμβριος 2003 – Ιούνιος 2004). Η μονάδα υπάγεται στον Τομέα Ηλεκτρικών Βιομηχανικών Διατάξεων και Συστημάτων Αποφάσεων, της Σχολής Ηλεκτρολόγων Μηχανικών και Μηχανικών Υπολογιστών, του Εθνικού Μετσοβίου Πολυτεχνείου.

Η Μονάδα Συστημάτων Πρόβλεψης και Προοπτικής λειτουργεί υπό την επίβλεψη του καθηγητή κ. Βασίλη Ασημακόπουλου και απαρτίζεται από άρτια καταρτισμένο επιστημονικό προσωπικό. Στα πλαίσια της διπλωματικής αυτής εργασίας, θα ήθελα να ευχαριστήσω όλα τα μέλη του εργαστηρίου για την βοήθεια που μου παρείχαν σε θέματα τεχνικής φύσεως και πολύ περισσότερο για το φιλικό περιβάλλον εργασίας μέσα στο οποίο εργάστηκα. Ιδιαίτερα όμως θα ήθελα να ευχαριστήσω τον κ. Dr. Κωνσταντίνο Νικολόπουλο, ο οποίος είχε αναλάβει την επίβλεψη του όλου έργου, για την άριστη συνεργασία μαζί του σε όλη τη διάρκεια του εξαμήνου. Οι συμβουλές του και η καθοδήγησή του με βοήθησαν να κατανοήσω από την αρχή σε βάθος το αντικείμενο εργασίας μου, καθώς και να ξεπεράσω όποιες τεχνικές δυσκολίες παρουσιάστηκαν.

Τέλος θα ήθελα να ευχαριστήσω τον καθηγητή κ. Βασίλη Ασημακόπουλο για την ευκαιρία που μου έδωσε να ασχοληθώ με το συγκεκριμένο θέμα και να διευρύνω το γνωστικό μου πεδίο με ένα εντελώς νέο για μένα επιστημονικό αντικείμενο.

Αθήνα, Ιούλιος 2004

Περιεχόμενα

Κεφάλαιο 1 : Εισαγωγή

1.1 Εισαγωγή	5
1.2 Η ορθότητα των κριτικών προβλέψεων	6
1.3 Προβλέψεις μη επενδυτικού τύπου	6
1.3.1 Προβλέψεις πωλητών	7
1.3.2 Προβλέψεις της διοίκησης	7
1.3.3 Προβλέψεις ειδικών	8
1.4 Η φύση των κριτικών μεροληψιών και των περιορισμών	8
1.5 Κριτικές μεροληψίες στις προβλέψεις	9
1.6 Αντιμετώπιση των κριτικών μεροληψιών	12
1.7 Συμβατική σοφία	17
1.8 Συνδυάζοντας στατιστικές και κριτικές προβλέψεις	18
1.8.1 Κατάληξη σε τελικές προβλέψεις κατά τη διάρκεια σύσκεψης για τον προϋπολογισμό	20
1.8.2 Αντικειμενική <<αγκυροβολήση>> (Anchoring) της αρχικής πρόβλεψης	21
1.9 Συμπέρασμα	23

Κεφάλαιο 2 : Υποκειμενική – κριτική επέμβαση στις προβλέψεις και τα ιστορικά δεδομένα χρονοσειρών με χρήση νευρωνικών δικτύων

2.1 Βασικές έννοιες για τα ιστορικά δεδομένα και την κριτική επέμβαση	25
2.2 Τεχνητά Νευρωνικά Δίκτυα	32
2.2.1 Γενικά	29
2.2.2 Βιολογικοί Νευρώνες – Τεχνητοί Νευρώνες	30
2.3 Μοντέλο Πρόβλεψης	33

Κεφάλαιο 3 : Μη επαναληπτικά Πολυστρωματικά Νευρωνικά Δίκτυα

3.1 Εισαγωγή	41
3.2 Ο αλγόριθμος Back Propagation	45
3.2.1 Γενικά	45
3.2.2 Σύνοψη του αλγορίθμου	45

3.2.3 Παρατηρήσεις	47
3.3 Η έννοια της γενίκευσης	49
3.4 Η μέθοδος <i>Cross Validation</i>	51
3.5 Ο αλγόριθμος <i>Optimal Brain Surgeon</i>	53
3.5.1 Γενικά	53
3.5.2 Ο <i>Optimal Brain Surgeon</i> συνοπτικά	53

Κεφάλαιο 4 : Το Πληροφοριακό Σύστημα

4.1 Εισαγωγή	56
4.2 Η Βάση Δεδομένων	56
4.2.1 Το σχήμα της Βάσης Δεδομένων	56
4.2.2 <i>SQL script</i>	59
4.3 Το Πληροφοριακό Σύστημα	66
4.3.1 Ορισμός Υποκειμενικών Παραγόντων και των Παραμέτρων τους	67
4.3.2 Δημιουργία Πειραματικών Δεδομένων	69
4.3.3 Πρόβλεψη επίδρασης μελλοντικών Υποκειμενικών Γεγονότων	82
4.3.4 Συσχέτιση Χρονοσειρών	97
4.3.5 Διαχείριση Χρονοσειρών	101
4.3.6 Εισαγωγή – Εξαγωγή Δεδομένων	105
4.3.7 Επιπλέον Δυνατότητες	110

Κεφάλαιο 5 : Πείραμα

5.1 Εισαγωγή	116
5.2 Πειρακτικά Δεδομένα	118
5.3 Αποτελέσματα Του Πειράματος	120
5.4 Παρατηρήσεις	125

Κεφάλαιο 6 : Πηγαίος Κώδικας

6.1 Δηλώσεις τάξης Μη Επαναληπτικών Πολυστρωματικών Νευρωνικών Δικτύων	129
6.2 Υλοποίηση των κυριότερων αλγορίθμων που αφορούν στα Νευρωνικά Δίκτυα	131
6.3 Αλγόριθμος Απλής Παλινδρόμησης	186
6.4 Αλγόριθμος Πολλαπλής Παλινδρόμησης	194
6.5 Μέθοδος των Γειτόνων	203
6.6 Χρήσιμες Δηλώσεις	210

Κεφάλαιο 7 : Οδηγίες Εγκατάστασης

<i>7.1 Τα περιεχόμενα του συνοδευτικού CD-ROM</i>	<i>211</i>
<i>7.2 Οδηγίες Εγκατάστασης</i>	<i>213</i>

Κεφάλαιο 8 : Βιβλιογραφία



ΕΙΣΑΓΩΓΗ

1.1 Εισαγωγή

Οι συνήθεις στατιστικές μέθοδοι μας επιτρέπουν να επεκτείνουμε αναγνωρισμένα πρότυπα και / ή υπάρχουσες σχέσεις με σκοπό να προβλέψουμε την συνέχεια τους, υποθέτοντας ότι αυτά τα πρότυπα ή σχέσεις δεν θα αλλάξουν για τον χρονικό ορίζοντα της πρόβλεψης. Την ίδια στιγμή, επειδή είναι δυνατόν να συμβούν αλλαγές και κατά πάσα πιθανότητα θα συμβούν, πρέπει να τις εντοπίζουμε όσο το δυνατόν νωρίτερα ώστε να αποφεύγουμε τα μεγάλα και συνήθως δαπανηρά λάθη στις προβλέψεις.

Ωστόσο, όταν εντοπιστούν οι αλλαγές ή αν γνωρίζουμε τότε θα συμβούν, η ανθρώπινη κρίση είναι η μόνη εφαρμόσιμη εναλλακτική για την πρόβλεψη τόσο του μεγέθους των αλλαγών όσο και των επιπτώσεων που αυτές θα επιφέρουν στην πρόβλεψη. Η ανθρώπινη κρίση είναι επίσης απαραίτητη στην ενσωμάτωση εσωτερικών πληροφοριών και γνώσης, με την εμπειρία των διευθυντικών στελεχών (managers) για το μέλλον. Πριν χρησιμοποιήσουμε την κρίση μας για να βελτιώσουμε τις προβλέψεις θα πρέπει να αναγνωρίσουμε τις μεροληψίες της και τους περιορισμούς της μαζί με τα μεγάλα πλεονεκτήματά της. Αν το κάνουμε αυτό, μας δίνεται η δυνατότητα να συνδυάσουμε τις πληροφορίες που λαμβάνουμε από τις στατιστικές προβλέψεις με αυτές που μας παρέχει η κρίση μας αποφεύγοντας όλα τα μειονεκτήματά.

1.2 Η ορθότητα των Κριτικών προβλέψεων

Αν και καθημερινά πραγματοποιούμε αναρίθμητες προβλέψεις, ξοδεύουμε ελάχιστη ενέργεια για την αποτίμηση τους και για την αναζήτηση τρόπων να βελτιώσουμε την ορθότητα τους. Ο λόγος είναι απλός: δεν θέλουμε να αναλάβουμε την ευθύνη στην περίπτωση που οι προβλέψεις μας είναι λανθασμένες. Ωστόσο, αν δεν ελέγξουμε την ορθότητα τους τότε είναι πολύ πιθανό ότι δεν θα καταφέρουμε να βελτιώσουμε την απόδοση μας όταν πραγματοποιούμε παρόμοιες προβλέψεις στο μέλλον. Εφόσον οι υποκειμενικές – κριτικές προβλέψεις είναι πολύ πιο κοινές από τις στατιστικές, όχι μόνο δεν μπορούμε να τις αγνοήσουμε αλλά πρέπει να δεχτούμε ότι δεν μπορούμε να αποφύγουμε εντελώς τα σφάλματα σε αυτές. Θα είναι πολύ καλύτερα αν αποδεχτούμε αυτά τα σφάλματα και προσπαθήσουμε να διδαχθούμε από αυτά έτσι ώστε να βελτιώσουμε την ικανότητα μας να προβλέπουμε με μεγαλύτερη ορθότητα.

Η ορθότητα των υποκειμενικών προβλέψεων είναι, κατά μέσο όρο, κατώτερη από αυτή των στατιστικών προβλέψεων. Ο λόγος που συμβαίνει αυτό είναι ότι η κρίση μας συχνά χαρακτηρίζεται από μεροληψίες και περιορισμούς. Θα δείξουμε παρακάτω ότι η εγκυρότητα των υποκειμενικών μας προβλέψεων μπορεί να βελτιωθεί με την χρήση κάποιων απλών στατιστικών μοντέλων. Το κόστος αυτών των μοντέλων είναι κατά πολύ μικρότερο από αυτό των ανθρώπων που πραγματοποιούν τις προβλέψεις. Η πρόκληση για αυτούς που κάνουν προβλέψεις είναι να αποφύγουν τους περιορισμούς και τις μεροληψίες τους, συνδυάζοντας τα καλύτερα στοιχεία της κρίσης τους με απλές στατιστικές μεθόδους.

1.3 Προβλέψεις μη επενδυτικού τύπου

Αν και δεν υπάρχουν άφθονα εμπειρικά δεδομένα σχετικά με κριτικές προβλέψεις για άλλους τομείς πέρα από τις επενδύσεις, το συμπέρασμα είναι παρόμοιο : η ακρίβεια αυτών των προβλέψεων είναι κατά μέσο όρο, μικρότερη από αυτή των στατιστικών προβλέψεων. Σε αυτό το τμήμα παρουσιάζονται στοιχεία προβλέψεων από πωλητές, διοίκηση (management) και ειδικούς.

1.3.1 Προβλέψεις πωλητών

Οι προβλέψεις των πωλητών ήταν κάποτε ιδιαίτερα δημοφιλείς καθώς, λόγω της καθημερινής συναναστροφής τους με τους πελάτες, οι πωλητές θεωρητικά είναι σε θέση να γνωρίζουν τις επερχόμενες αλλαγές στην αγορά. Η μελέτη των αποτελεσμάτων, όμως, δείχνει ότι στην πράξη οι προβλέψεις τους είναι πολύ λανθασμένες. Το χειρότερο είναι ότι οι προβλέψεις τους παρουσιάζουν μεγάλες διακυμάνσεις, ανάλογα με την διάθεση τους και ανάλογα με τις πωλήσεις που έχουν πετύχει. Επιπλέον, οι πωλητές συνήθως επιβραβεύονται αν επιτύχουν πωλήσεις μεγαλύτερες από κάποιον στόχο που έχει τεθεί (ο στόχος καθορίζεται με κάποιου είδους πρόβλεψη). Έτσι τους συμφέρει να θέτουν χαμηλούς στόχους, τους οποίους μπορούν να επιτύχουν σχετικά εύκολα ώστε να εισπράττουν το bonus. Την ίδια στιγμή, οι διευθυντές πωλήσεων (sales managers) επιθυμούν να θέτουν υψηλούς στόχους ώστε να έχουν κίνητρο οι πωλητές. Έτσι, προσαρμόζουν την εκτίμηση πωλήσεων προς τα επάνω, δημιουργώντας σύγχυση ανάμεσα στις αντικειμενικές προβλέψεις και την επίτευξη επιθυμητών στόχων. Τέλος, οι πωλητές προσδιορίζουν τις παρούσες πωλήσεις στην περιφέρεια τους, παρά το πώς αυτές θα εξελιχθούν στο μέλλον όταν οι συνθήκες μπορεί να αλλάξουν. Για όλους αυτούς τους λόγους, οι κριτικές προβλέψεις τους δεν είναι ο καλύτερος τρόπος για να προσδιοριστούν οι μελλοντικές πωλήσεις μίας επιχείρησης.

1.3.2 Προβλέψεις της διοίκησης

Οι διευθυντές, σε αντίθεση με τους πωλητές, έχουν μία πιο γενική εικόνα της εταιρείας, της αγοράς αλλά και της οικονομίας. Ωστόσο, συχνά παρουσιάζονται ιδιαίτερα αισιόδοξοι για το μέλλον της εταιρείας ή του προϊόντος, για το οποίο είναι υπεύθυνοι. Για παράδειγμα, τα διευθυντικά στελέχη (managers) σπάνια προβλέπουν μειωμένες πωλήσεις ή ότι κάποιο προϊόν θα αποτύχει. Επίσης δεν είναι οι καταλληλότεροι για να εκτιμήσουν την απειλή από τους ανταγωνιστές ή τις συνέπειες της νέας τεχνολογίας στα προϊόντα τους. Έτσι, οι προβλέψεις τους, συνήθως, δεν είναι πιο έγκυρες από αυτές των στατιστικών μεθόδων, οι οποίες έχουν και ως μεγάλο πλεονέκτημα την αντικειμενικότητα. Αυτό δεν σημαίνει ότι τα διευθυντικά στελέχη (managers) και οι πωλητές δεν είναι ικανοί να πραγματοποιούν έγκυρες προβλέψεις ή ότι δεν κατέχουν χρήσιμες πληροφορίες, οι οποίες θα μπορούσαν να βελτιώσουν της ικανότητα της επιχείρησης να προβλέπει

μελλοντικές καταστάσεις. Απλώς είναι συχνά αισιόδοξοι στις προβλέψεις τους και δεν διαχωρίζουν εύκολα το προσωπικό τους συμφέρον από αυτό της εταιρείας.

1.3.3 Προβλέψεις ειδικών

Υπάρχουν σημαντικά δεδομένα που συγκρίνουν τις προβλέψεις «ειδικών» με αυτές των στατιστικών μεθόδων. Σχεδόν σε όλες τις περιπτώσεις στις οποίες τα δεδομένα μπορούν να ποσοτικοποιηθούν, οι προβλέψεις των μαθηματικών μοντέλων είναι ανώτερες από αυτές των ειδικών. Οι άνθρωποι, είμαστε κακοί στις προβλέψεις και συχνά για καλό λόγο (φανταστείτε τον manager ενός νέου προϊόντος να προβλέπει ότι το προϊόν θα αποτύχει). Η κρίση μας συχνά επηρεάζεται από μεροληψίες και από άλλους περιορισμούς που μειώνουν την εγκυρότητα των προβλέψεων μας. Αυτές οι μεροληψίες και οι περιορισμοί περιγράφονται στη συνέχεια.

1.4 Η φύση των κριτικών μεροληψιών και των περιορισμών

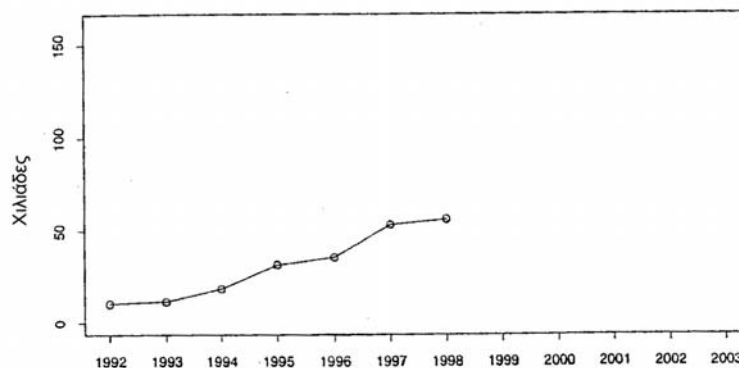
Οι περισσότεροι από εμάς γνωρίζουμε τους περιορισμούς της μνήμης μας. Γνωρίζουμε ότι δεν μπορούμε να θυμόμαστε τα πάντα και έτσι λαμβάνουμε τα μέτρα μας ώστε να αποφεύγουμε τις αρνητικές συνέπειες. Για παράδειγμα, χρησιμοποιούμε μια ατζέντα στην οποία γράφουμε με αλφαβητική σειρά τα ονόματα ανθρώπων και επιχειρήσεων μαζί με τα αντίστοιχα τηλέφωνα και τις διευθύνσεις ώστε να μπορούμε να τα βρούμε με ευκολία στο μέλλον. Κάνοντας αυτό δεν σημαίνει ότι η μνήμη μας είναι ανεπαρκής. Αντιθέτως, η ανθρώπινη μνήμη έχει τεράστια αξία. Όμως, η τεράστια χωρητικότητα της θα γέμιζε σε λίγες μέρες αν καταγράφαμε τα πάντα, χωρίς καμία διάκριση. Έτσι, είναι ιδιαίτερα σημαντικό να καθορίζουμε τι πρέπει να θυμόμαστε και τι όχι. Όσο περισσότερο απαλλάσσουμε τη μνήμη μας από το βάρος των άχρηστων πληροφοριών τόσο περισσότερο αυξάνεται η χωρητικότητα της και η ευκολία με την οποία ανακαλεί χρήσιμες πληροφορίες.

Ωστόσο, αν και αναγνωρίζουμε τις ανεπάρκειες και τους περιορισμούς της μνήμης μας και πράττουμε αναλόγως, σπάνια κάνουμε κάτι για να αντιμετωπίσουμε τις ανεπάρκειες της κρίσης μας, κυρίως γιατί δεν είμαστε πρόθυμοι να δεχτούμε ότι η κρίση μας μπορεί να είναι λανθασμένη και να έχει

μεροληψίες. Επειδή σπάνια παραδεχόμαστε ότι υπάρχουν κριτικές μεροληψίες είναι πολύ σημαντικό να τις ξεσκεπάσουμε: τα εμπειρικά δεδομένα αποδεικνύουν ξεκάθαρα την ύπαρξη τους και τις αρνητικές συνέπειες που έχουν. Οι μεροληψίες αυτές είναι αποτέλεσμα του τρόπου με τον οποίο λειτουργεί το μυαλό μας και προσπαθεί να ενοποιήσει ασυμβίβαστους στόχους.

1.5 Κριτικές μεροληψίες στις προβλέψεις

Υποθέστε ότι εργάζεστε για την “Elco Electronics” μία εταιρεία με περίπου 2000 εργαζόμενους, και είστε υπεύθυνος για τους εκτυπωτές λέιζερ. Αυτοί οι εκτυπωτές μπορούν επίσης να χρησιμοποιηθούν και ως φαξ, scanners και φωτοαντιγραφικά, και είναι υπεύθυνοι για το 40%, περίπου, των εσόδων της εταιρείας. Ο ανταγωνισμός είναι πολύ ισχυρός στην αγορά και στο εσωτερικό αλλά και από εισαγωγές κυρίως από τις χώρες του Ειρηνικού. Ως υπεύθυνος για το προϊόν πρέπει να αποφασίσετε πόσα κομμάτια από καθένα από τα 10 μοντέλα εκτυπωτών να κατασκευαστούν και να μεταφερθούν στους διανομείς, καθώς επίσης και αν πρέπει να γίνουν επενδύσεις σε νέο εργοστάσιο και καινούργιο εξοπλισμό. Για να ληφθούν αυτές οι αποφάσεις είναι απαραίτητο να γίνουν προβλέψεις.



Σχήμα 1: Πωλήσεις εκτυπωτών λέιζερ της Elco: 1992-1998

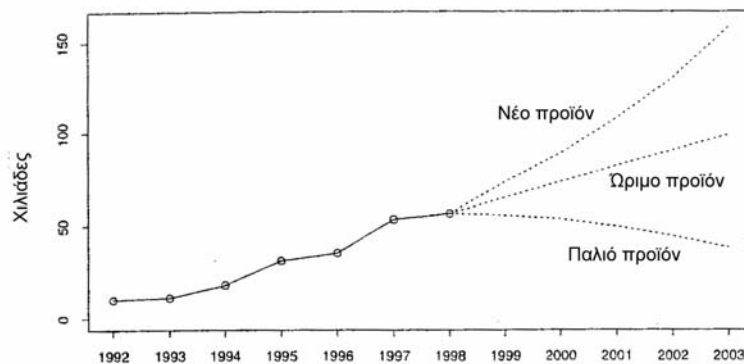
Στο σχήμα 1 φαίνονται οι πωλήσεις εκτυπωτών της εταιρείας από το 1992. Όπως φαίνεται υπάρχει μία αύξηση στις πωλήσεις μέχρι τώρα, όμως το μέλλον σας απασχολεί. Θα πρέπει να κάνετε πρόβλεψη πωλήσεων (μαζί με πρόβλεψη τιμής, ανταγωνισμού κ.ο.κ.) για την επόμενη χρονιά και για πέντε χρόνια από τώρα. Ποια κατά, κατά τη γνώμη σας, θα είναι η πρόβλεψη για το 1999 και το 2003, συμπεριλαμβάνοντας ένα απαισιόδοξο σενάριο χαμηλών πωλήσεων και ένα αισιόδοξο, υψηλών πωλήσεων;

Έτος	Χαμηλή (απαισιόδοξη)		Πιο πιθανή πρόβλεψη	
	Υψηλή(αισιόδοξη)	πρόβλεψη	πρόβλεψη	πρόβλεψη
1999	_____	_____	_____	_____
2003	_____	_____	_____	_____

Πίνακας 1: προβλέψτε τις πωλήσεις λέιζερ εκτυπωτών της Elco για το 1999 και 2003

Στην πραγματικότητα, δεν υπάρχει σωστή ή λάθος πρόβλεψη για τις πωλήσεις εκτυπωτών λέιζερ. Αν ζητηθεί από κάποιον τρίτο (όπως εσείς) να προβλέψει τις πωλήσεις της Elco, το πιο πιθανό είναι ότι θα προβλέψει μία ευθεία επέκταση από το παρελθόν στο μέλλον. Έτσι η πιο πιθανή πρόβλεψη, γύρω από την οποία θα βρισκονται οι περισσότερες απαντήσεις, θα είναι περίπου 65.000 μονάδες για το 1999 και 99.000 μονάδες για το 2003. Αυτό γιατί θεωρείτε πως ότι συνέβη στο παρελθόν θα συνεχίσει να συμβαίνει και στο μέλλον. Δηλαδή, οι διάφοροι παράγοντες που είτε αυξάνουν είτε μειώνουν τις πωλήσεις θα ακυρώσουν ο ένας τον άλλο, καθώς η Elco και οι ανταγωνιστές της θα κάνουν κινήσεις οι οποίες θα εξουδετερώνουν με επιτυχία η μία την άλλη. Αυτή είναι η προσέγγιση που χρησιμοποιούν όσοι κάνουν κριτικές προβλέψεις όταν δεν είναι διαθέσιμες επιπλέον εσωτερικές πληροφορίες και όταν δεν διακυβεύονται προσωπικά ή πολιτικά συμφέροντα. Στην πράξη μία τέτοια προσέγγιση, αν και μηχανική, φαίνεται να δουλεύει καλύτερα από κάποιες εναλλακτικές. Αυτό που είναι ενδιαφέρον είναι ότι οι προβλέψεις με στατιστικές μεθόδους επέκτασης της τάσης (trend extrapolation) δίνουν παρόμοια νούμερα με τις προβλέψεις τρίτων, από τους οποίους ζητείται να κάνουν κριτική πρόβλεψη των πωλήσεων της Elco.

Αυτό που είναι σημαντικό είναι το πόσο μεταβάλλονται οι προβλέψεις αν πούμε στους ανθρώπους ότι τα δεδομένα του σχήματος 1 αφορούν ένα νέο προϊόν (ή ένα ώριμο ή ένα παλιό προϊόν). Όπως φαίνεται στο σχήμα 2 οι απαντήσεις διαφέρουν αρκετά, γεγονός το οποίο αποδεικνύει ότι συχνά αγνοούμε σημαντικά δεδομένα και κάνουμε προβλέψεις χρησιμοποιώντας κάποια στερεότυπα (για παράδειγμα, οι πωλήσεις ενός νέου προϊόντος θα πρέπει να αυξάνονται, ενώ ενός παλιού να μειώνονται). Στην πραγματικότητα, οι προβλέψεις για νέο, ώριμο ή παλιό προϊόν διαφέρουν τόσο πολύ (ειδικά για το 2003) καθιστώντας επιτακτική την ανάγκη να αποβάλουμε τις μεροληψίες από τη διαδικασία μιας πρόβλεψης. Θα ήταν λάθος να θεωρήσουμε αυτόματα ότι οι πωλήσεις ενός προϊόντος θα αυξάνονται και μάλιστα περισσότερο από μία ευθεία αύξηση, μόνο και μόνο επειδή το προϊόν είναι καινούργιο – ειδικά στην αγορά των προσωπικών υπολογιστών όπου ο κύκλος ζωής ενός προϊόντος σπάνια ξεπερνάει τα δύο χρόνια καθιστώντας ένα προϊόν επταετίας ιδιαίτερα παλιό. Όμως αυτού του είδους τα λάθη γίνονται συχνά από ανθρώπους όταν τους ζητείται να προβλέψουν τις πωλήσεις της Eico.



Σχήμα 2: Πωλήσεις εκτυπωτών της Eico και προβλέψεις

Σε ένα πείραμα, τα δεδομένα του σχήματος 1 δόθηκαν σε μια ομάδα από διευθυντές προϊόντων (product managers) στους οποίους είπαν ότι πρόκειται για τις προηγούμενες πωλήσεις ενός προϊόντος της εταιρείας. Στην πρόβλεψη τους για το μέλλον παρουσίασαν μία σημαντική αύξηση παρόμοια με αυτή του «νέου προϊόντος» στο σχήμα 2. Ωστόσο, μία άλλη ομάδα διευθυντών προϊόντων (product managers) στην οποία δόθηκαν τα ίδια δεδομένα αλλά τους είπαν ότι πρόκειται για τις πωλήσεις προϊόντος των μεγαλύτερων ανταγωνιστών της εταιρείας τους, έκανε πρόβλεψη για σημαντική μείωση των πωλήσεων

παρόμοια με αυτή του «παλαιού προϊόντος» του σχήματος 2. Είναι προφανές ότι αυτές οι μεγάλες διαφορές στην πρόβλεψη είναι αποτέλεσμα μεροληψιών και απορρέουν είτε από αισιοδοξία για την εταιρία ή από επιθυμία για αποτυχία του ανταγωνισμού και τελικά δεν σχετίζονται με μία αντικειμενική εκτίμηση για τις μελλοντικές συνθήκες.

Τελικά, όλοι όσοι μελέτησαν το σχήμα 1 και έκαναν πρόβλεψη, υποτίμησαν την αβεβαιότητα που περιβάλλει το θέμα (ο υπολογισμός του διαστήματος ανάμεσα στην υψηλή και τη χαμηλή πρόβλεψη). Αυτό ήταν αλήθεια ειδικά για το 2003, όπου οι πωλήσεις θα μπορούσαν να είναι πολύ υψηλότερες από την ανώτατη τιμή που δόθηκε και πολύ χαμηλότερες από την κατώτερη τιμή. Πολλά μπορούν να συμβούν μέσα σε πέντε χρόνια, όμως όσοι έκαναν προβλέψεις υποτίμησαν την αβεβαιότητα του μέλλοντος, ανεξάρτητα από τη θέση τους (φοιτητές MBA, διευθυντές) ή το υπόβαθρο τους (MBA, μηχανικοί, φοιτητές καλών τεχνών, κλπ). Υποθέτοντας μία γραμμική τάση, μία ρεαλιστική πρόβλεψη, βασισμένη στην στατιστική θεωρία, για το διάστημα μεταξύ χαμηλών και υψηλών πωλήσεων για το 1999 θα είναι από 50.000 μέχρι 79.000. Για το 2003 τα ίδια νούμερα είναι από 78.000 έως 119.000 μονάδες. Η πλειοψηφία αυτών που έκαναν πρόβλεψη έδωσε διαστήματα μικρότερα του μισού από αυτά που έδωσε η στατιστική θεωρία, η οποία πρέπει να πούμε υπολογίζει τα διαστήματα αυτά θεωρώντας ότι τα πρότυπα του παρόντος δεν θα αλλάξουν.

1.6 Αντιμετώπιση των κριτικών μεροληψιών

Για καλύψουμε ολόκληρο το θέμα των κριτικών μεροληψιών θα χρειαζόντουσαν πολλοί τόμοι και, επομένως, δεν είναι δυνατόν να το αναλύσουμε όλο σε αυτό το κεφάλαιο. Έτσι θα εστιάσουμε την προσοχή μας στους πιο σημαντικούς παράγοντες κριτικών μεροληψιών, οι οποίοι επηρεάζουν άμεσα τις προβλέψεις.

Ένα σημαντικό ελάττωμα των ανθρώπων είναι η ασυνέπεια, η τάση να αλλάζουμε τη γνώμη μας ή τις αποφάσεις μας όταν δεν υπάρχει λόγος να το κάνουμε. Θεωρήστε έναν διευθυντή παραγωγής (production manager) ο οποίος πρέπει να προβλέψει πόσα κομμάτια θα πρέπει να παρασκευαστούν από 10 προϊόντα, μέσα στον επόμενο μήνα. Ο Bowman (1963) το 1950 παρατήρησε ότι οι προβλέψεις των διευθυντών παραγωγής (production managers) και οι αποφάσεις τους σχετικά με την παραγωγή προϊόντων, παρουσίαζαν διακυμάνσεις από μήνα σε μήνα χωρίς να υπάρχει ιδιαίτερος λόγος. Όταν παρουσιάστηκε συνέπεια στη λήψη αποφάσεων αμέσως βελτιώθηκε η εγγυρότητα των προβλέψεων και η κερδοφορία. Τα

ευρήματα του Bowman έχουν αναπαραχθεί σε ένα μεγάλο αριθμό από μελέτες (Hogarth και Μακρινδάκης, 1981) και το αποτέλεσμα είναι πάντα το ίδιο: οι επαναλαμβανόμενες προβλέψεις ρουτίνας (και αποφάσεις γενικά) μπορούν να βελτιωθούν σημαντικά αν αφαιρεθεί η ασυνέπεια. Οι άνθρωποι, όμως, συχνά δεν θέλουν ή δεν μπορούν να εφαρμόσουν τα ίδια κριτήρια και τις ίδιες διαδικασίες όταν λαμβάνουν παρόμοιες αποφάσεις. Ορισμένες φορές ξεχνούν, άλλες φορές απλώς επηρεάζονται από την διάθεση τους (σκεφτείτε κάποιον που πραγματοποιεί μία πρόβλεψη ένα πρωί ύστερα από μία νύχτα χωρίς ύπνο εξαιτίας ενός βραδινού καυγά με τον / την σύντροφο του). Άλλες φορές οι άνθρωποι απλώς βαριούνται και θέλουν να δοκιμάσουν κάτι καινούργιο. Τέλος, μπορεί να πιστεύουν ότι οι συνθήκες έχουν αλλάξει, ενώ στην πραγματικότητα αυτό δεν έχει συμβεί.

Οι διευθυντές παραγωγής (production managers) δεν είναι οι μόνοι που παρουσιάζουν ασυνέπεια στις αποφάσεις τους. Ο Meehl (1954), σε ένα μικρό αλλά σημαντικό βιβλίο του, κατέληξε στο ότι οι κανόνες αποφάσεων που χρησιμοποιούν έναν μικρό αριθμό μεταβλητών παρέχουν καλύτερες προβλέψεις από τους ανθρώπους, κυρίως γιατί τα μαθηματικά μοντέλα μπορούν με συνέπεια να εφαρμόζουν τα ίδια κριτήρια για τις αποφάσεις, ενώ οι άνθρωποι είναι ασυνεπείς στην επιλογή των παραγόντων επάνω στους οποίους βασίζουν τις αποφάσεις τους. Τα συμπεράσματα του Meehl έχουν επιβεβαιωθεί από εκατοντάδες άλλες μελέτες. Έχει αποδειχθεί ότι οι κανόνες αποφάσεων, με την μορφή απλών στατιστικών μοντέλων, υπερτερούν της κρίσης των ειδικών, όταν απαιτούνται επαναλαμβανόμενες αποφάσεις ρουτίνας. Σε αυτό το είδος αποφάσεων συμπεριλαμβάνονται ιατρικές διαγνώσεις, προβλέψεις ψυχολόγων για τα χαρακτηριστικά της προσωπικότητας ανθρώπων, επιλογή φοιτητών για την εισαγωγή τους σε κολέγια ή πανεπιστήμια, προβλέψεις μελλοντικών εσόδων εταιριών κ.ο.κ. Σε ελάχιστες περιπτώσεις φαίνεται η κρίση των ειδικών να δίνει καλύτερα αποτελέσματα από τους κανόνες αποφάσεων. Προφανώς αυτές οι μελέτες αναφέρονται σε επαναλαμβανόμενες αποφάσεις ρουτίνας, αλλά ακόμα και τότε τα συμπεράσματα προκάλουν έκπληξη, όπως στην περίπτωση των ιατρικών προβλέψεων. Ο Garland (1960), για παράδειγμα, παρέδωσε μία μελέτη, στην οποία έμπειροι ακτινολόγοι απέτυχαν, σε ποσοστό 30%, να διαγνώσουν μία ασθένεια του πνεύμονα η οποία ήταν εμφανής στην ακτινογραφία. Παρόμοιες μελέτες έδειξαν ότι ακτινολόγοι άλλαξαν διάγνωση, σε ποσοστό 20%, όταν τους δόθηκε η ίδια ακτινογραφία σε δύο διαφορετικές περιπτώσεις.

Για να αποφύγουμε την ασυνέπεια θα πρέπει να τυποποιήσουμε την διαδικασία λήψης αποφάσεων (στις μέρες μας αυτό ονομάζεται κατασκευή έμπειρων συστημάτων). Για να γίνει αυτό, πρώτα απαιτείται να καθοριστούν οι παράγοντες που θεωρούνται σημαντικοί στην λήψη μίας συγκεκριμένης επαναλαμβανόμενης απόφασης. Στην συνέχεια θα πρέπει να αξιολογηθούν αυτοί οι παράγοντες (κάποιος μπορεί να είναι πολύ πιο σημαντικός από κάποιον άλλο) και τέλος θα προσδιοριστούν οι στόχοι που επιθυμούμε να

βελτιστοποιήσουμε. Η χρησιμότητα των κανόνων αποφάσεων απορρέει από το γεγονός ότι συμμετέχουν αριετοί άνθρωποι στον καθορισμό τους, έτσι ώστε είναι δυνατόν να επιλεγούν οι καλύτεροι παράγοντες, η καλύτερη αξιολόγηση τους και οι περισσότερο βιώσιμοι στόχοι. Εφόσον ένας κανόνας θα χρησιμοποιηθεί ξανά και ξανά, είναι λογικό να αφιερωθεί σημαντική ενέργεια για να βρεθεί ο καλύτερος δυνατός. Ο κανόνας μπορεί, στη συνέχεια, να εφαρμοστεί σε καθημερινή βάση εξοικονομώντας, έτσι, σημαντική ανθρώπινη ενέργεια και συνεισφέροντας στην βελτίωση της εγκυρότητας των προβλέψεων και της λήψης αποφάσεων γενικότερα. Σκεφτείτε, για παράδειγμα, αν θα πρέπει να εγκριθεί μία αγορά ενός κατόχου κάρτας Visa. Αν αυτό γινόταν συνέχεια και για κάθε αγορά, θα χρειαζόταν τεράστιο ανθρώπινο δυναμικό και η όλη επιχείρηση θα ήταν πολυδάπανη. Σκεφτείτε τώρα να βρίσκατε όλους τους σημαντικούς παράγοντες, με βάση τους οποίους θα αποφάσιζαν οι υπεύθυνοι να εγκρίνουν ή όχι μία τέτοια αγορά. Εφόσον μπορείτε να συμβουλευθείτε πολλούς ειδικούς για το θέμα και μπορεί να αφιερωθεί μεγάλη ενέργεια σε αυτή τη διαδικασία, είναι δυνατόν να βρεθούν οι πιο σημαντικοί παράγοντες και να συμπεριληφθούν σε ένα στατιστικό μοντέλο, το οποίο θα είναι σε θέση να καθορίσει αν αυτοί οι παράγοντες είναι πραγματικά σημαντικοί και τι είδους βαρύτητα πρέπει να δοθεί στον καθένα. Με αυτόν τον τρόπο θα καθιερωθεί ένας κανόνας απόφασης, ο οποίος θα επιτρέπει σε έναν υπάλληλο να εισάγει τις ζητούμενες πληροφορίες και το μοντέλο θα παρέχει μία απόφαση. Εφόσον ο στόχος είναι να ελαχιστοποιηθούν οι απάτες με πιστωτικές κάρτες, ένα έμπειρο σύστημα μπορεί να κατασκευαστεί και μόνο στις εξαιρετικές περιπτώσεις όπου το σύστημα δεν μπορεί να δώσει απάντηση θα ζητείται η συμβουλή των ειδικών. Με την εφαρμογή ενός τέτοιου συστήματος απαιτείται μικρότερο ανθρώπινο δυναμικό και οι αποφάσεις παρουσιάζουν συνέπεια και αντικειμενικότητα. Εξίσου σημαντικό είναι ότι οι αποφάσεις μπορούν να αποτιμηθούν στην συνέχεια ώστε να είναι δυνατή η βελτίωση του μοντέλου, αν αυτό κριθεί απαραίτητο.

Με δεδομένη την σημερινή τεχνολογία στον χώρο των ηλεκτρονικών υπολογιστών και των τηλεπικοινωνιών, συστήματα σαν αυτό που περιγράψαμε παραπάνω είναι δυνατόν να αναπτυχθούν με χαμηλό κόστος και να προσφέρουν αυξημένη κερδοφορία. Η Visa έχει, πράγματι, εφαρμόσει τέτοια μοντέλα λήψης αποφάσεων με αποτέλεσμα την αυξημένη αποδοτικότητα και το κέρδος. Παρόμοιοι κανόνες αποφάσεων μπορούν να εφαρμοστούν όταν πραγματοποιούμε κριτικές προβλέψεις.

Προφανώς, οι κανόνες απόφασης δεν μπορούν να χρησιμοποιηθούν αόριστα. Το περιβάλλον αλλάζει, όπως επίσης και ο ανταγωνισμός, ενώ είναι πιθανό να χρειαστεί να καθοριστούν νέοι στόχοι. Έτσι, η αποτελεσματικότητα των κανόνων πρέπει να παρακολουθείται συστηματικά για να είμαστε σίγουροι ότι εξακολουθούν να είναι κατάλληλοι. Αυτό σημαίνει ότι θα πρέπει να εισαχθεί μία διαδικασία μάθησης στα έμπειρα συστήματα, διαφορετικά υπάρχει ο κίνδυνος να εφαρμόζουμε απαρχαιωμένους κανόνες. Η

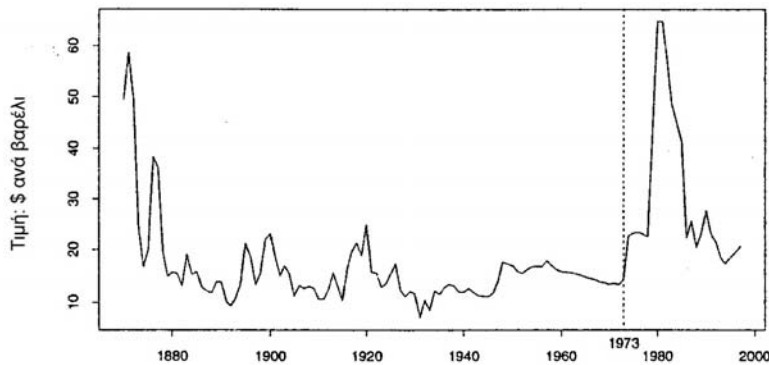
υπερβολική συνέπεια μπορεί να είναι το ίδιο επικίνδυνη με την ασυνέπεια καθώς αποκλείει την μάθηση και οδηγεί στον συντηρητισμό.

Αυτό, ακριβώς, είναι και το πρόβλημα με τις μεροληψίες: μπορεί προσπαθώντας να αποφύγουμε μία να καταλήγουμε σε άλλη. Η μεροληψία σε αυτήν την περίπτωση υπάρχει γιατί στο μυαλό μας προσπαθούμε να πετύχουμε την συνέπεια, όμως πρέπει να αφήσουμε περιθώριο και για μάθηση. Η πρόκληση που αντιμετωπίζουμε όλοι, επομένως, είναι να είμαστε συνεπείς και συγχρόνως να εισάγουμε μηχανισμούς που εξασφαλίζουν μάθηση και τελικά οδηγούν σε αλλαγές των κανόνων, όπου αυτό είναι απαραίτητο, ώστε να προσαρμόζονται σε νέες συνθήκες. Αυτή είναι μία μεγάλη πρόκληση για αυτούς που κάνουν προβλέψεις, ειδικά για τις μακροπρόθεσμες προγνώσεις, όπου οι αλλαγές είναι άφθονες ενώ η μάθηση σπάνια.

Μπορούμε, μήπως, να αποφύγουμε τις μεροληψίες αν τις προβλέψεις τις πραγματοποιούν σύνολα ανθρώπων; Δυστυχώς όχι. Στην πραγματικότητα, τα στοιχεία δείχνουν ότι με αυτόν τον τρόπο ενισχύονται οι μεροληψίες καθώς εμφανίζεται το φαινόμενο της συμμόρφωσης με τις απόψεις της ομάδας. Κατά το φαινόμενο αυτό, τα μέλη μίας ομάδας υποστηρίζουν τον αρχηγό της ή τα υπόλοιπα μέλη, αποφεύγοντας με αυτόν τον τρόπο τις συγκρούσεις και τις διαφωνίες κατά τη διάρκεια των συμβουλίων. Επιπλέον, οι αποφάσεις συνόλου είναι περισσότερο επικίνδυνες καθώς η τελική ευθύνη μίας απόφασης δεν μπορεί να αποδοθεί σε κάποιο συγκεκριμένο άτομο. Στον πίνακα 2 περιγράφονται οι μεροληψίες που εμείς θεωρούμε (από την εμπειρία μας δουλεύοντας με εταιρείες, από την ερευνητική μας δουλειά και από σχετικά ευρήματα στην βιβλιογραφία προβλέψεων) ιδιαίτερα σημαντικές για τις προβλέψεις και γενικότερα για την λήψη αποφάσεων σχετικά με το μέλλον. Στον πίνακα, επίσης, παρέχονται προτάσεις για το πώς να αποφύγουμε ή τουλάχιστον να μετριάσουμε τις συνέπειες αυτών των μεροληψιών.

Ένα χαρακτηριστικό παράδειγμα μίας τέτοιας μεροληψίας – της τάσης να θυμόμαστε πιο ζωντανά τα πρόσφατα γεγονότα με αποτέλεσμα να μας επηρεάζουν περισσότερο από ότι παλαιότερα γεγονότα – αφορά τις τιμές πετρελαίου μεταξύ του 1965 και του 1988. Κατά τη διάρκεια αυτής της περιόδου, βασικά οικονομικά δεδομένα αγνοήθηκαν και έγιναν σημαντικά λάθη, καθώς κυβερνήσεις και οργανισμοί αντέδρασαν υπερβολικά στα τελευταία επίπεδα των τιμών και έλαβαν αποφάσεις θεωρώντας ότι αυτές οι τιμές (ή οι τάσεις που επικρατούσαν) θα κρατήσουν για πάντα. Αυτό αποδείχθηκε λάθος και πριν το 1973, όταν οι τιμές μειώνονταν και μεταξύ 1974 και 1981 όταν αυξάνονταν υπερβολικά. Αν είχαν χρησιμοποιηθεί όλες οι πληροφορίες σχετικά με την τιμή του πετρελαίου (σχήμα 3) θα ήταν φανερό ότι η πραγματική τιμή του πετρελαίου θα παρέμενε σταθερή μακροπρόθεσμα. Αυτό ήταν αλήθεια πριν το 1974 και σήμερα. Έτσι, θα έπρεπε να έχει υποτεθεί ότι οι αποκλίσεις από την μακροπρόθεσμη τάση θα ήταν προσωρινές και ότι η αγορά θα επέστρεφε στην μακροπρόθεσμη ισορροπία που περιλαμβάνεται στην βασική τάση της τιμής του

πετρελαίου. Στην πραγματικότητα αυτό συνέβη, αν και οι τιμές του πετρελαίου εκτοξεύθηκαν από τα 14.2 δολάρια το 1973 στα 64.7 δολάρια επτά χρόνια αργότερα. Όπως δείχνει το σχήμα 3, η τιμή του πετρελαίου το 1997 είναι πολύ κοντά στην μακροπρόθεσμη βασική τάση αυτών των τιμών.



Σχήμα 3: Τιμή του πετρελαίου σε δολάρια του 1997. 1870-1997

Τύπος μεροληψίας	Περιγραφή	Τρόποι αποφυγής ή μείωσης των αρνητικών συνεπειών
Ασυνέπεια	Η αδυναμία να εφαρμόσουμε τα ίδια κριτήρια αποφάσεων σε παρόμοιες καταστάσεις	-Τυποποίηση της διαδικασίας λήψης αποφάσεων -Δημιουργία κανόνων αποφάσεων
Συντηρητισμός	Αδυναμία να αλλάξουμε γνώμη (ή καθυστέρηση στην αλλαγή) όταν εμφανίζονται νέα στοιχεία	-Παρακολούθηση για αλλαγές στο περιβάλλον και δημιουργία μηχανισμών ώστε να υπάρχει αντίδραση όταν εμφανίζονται αυτές
Επιμονή σε πρόσφατα γεγονότα	Τα πιο πρόσφατα γεγονότα μας επηρεάζουν πιο πολύ ενώ τα παλαιότερα αγνοούνται ή υποβαθμίζονται	-Αναγνωρίστε ότι υπάρχουν κύκλοι και όλες οι αυξήσεις ή μειώσεις δεν είναι μόνιμες -Καθορισμός των κυρίων παραγόντων που επηρεάζουν το θέμα που μας ενδιαφέρει
«Διαθεσιμότητα» (Availability)	Στηριζόμαστε σε συγκεκριμένα γεγονότα τα οποία θυμόμαστε εύκολα και αποκλείουμε άλλες σχετικές πληροφορίες.	-Παρουσιάστε όλες τις σχετικές πληροφορίες -Παρουσιάστε τις πληροφορίες με τέτοιο τρόπο ώστε να φωτίζονται όλες οι πλευρές της κατάστασης που εξετάζετε
«Αγκυροβόληση»	Επηρεαζόμαστε υπερβολικά από την	-Αρχίστε με αντικειμενικές πληροφορίες

(Anchoring)	αρχική πληροφορία στην οποία δίδεται περισσότερο βάρος στην διαδικασία πρόβλεψης	(π.χ. προβλέψεις) -Ζητήστε από ανθρώπους να συζητήσουν τους πιθανούς τύπους αλλαγών. Ρωτήστε τους λόγους για τις πιθανές αλλαγές
Λανθασμένες συσχετίσεις	Πιστεύουμε ότι υπάρχουν κάποια πρότυπα και / ή δύο μεταβλητές σχετίζονται αιτιολογικά, ενώ αυτό δεν συμβαίνει	-Επαληθεύστε την στατιστική σημασία των προτύπων -Μοντελοποιήστε τις συσχετίσεις, αν είναι δυνατόν, σχετικά με τις αλλαγές
Αναζήτηση συγκεκριμένων στοιχείων	Αναζητούμε δεδομένα τα οποία οδηγούν σε συγκεκριμένα συμπεράσματα και υποστηρίζουν κάποια άποψη, παραβλέποντας άλλα στοιχεία τα οποία αντιτίθενται σε αυτή	-Συμπεριλάβετε στοιχεία που διαψεύδουν αυτή την άποψη -Εισάγετε τον ρόλο του «δικηγόρου του διαβόλου»
Εντύπωση παλινδρόμησης	Συνεχείς αυξήσεις ή μειώσεις, μπορεί να οφείλονται στην τύχη παρά σε κάποια πραγματική τάση	-Πρέπει να γίνει κατανοητό ότι αν τα σφάλματα είναι τυχαία, η φαινομενική τάση πιθανότατα δεν θα συνεχιστεί
Απόδοση της επιτυχίας και της αποτυχίας	Πιστεύουμε ότι η επιτυχία οφείλεται στις ικανότητες μας ενώ η αποτυχία στην κακή τύχη ή στα σφάλματα κάποιου άλλου. Αυτό εμποδίζει την μάθηση καθώς δεν επιτρέπει την αναγνώριση των σφαλμάτων μας	-Μην τιμωρείτε τα λάθη. Αντίθετα, ενθαρρύνετε τους ανθρώπους να τα δέχονται και να τα μοιράζονται με τους υπόλοιπους, ώστε και οι άλλοι να μαθαίνουν από αυτά και να αποφεύγουν παρόμοια σφάλματα στο μέλλον (αυτή την τακτική ακολουθούν οι εταιρείες στην Ιαπωνία)
Αισιοδοξία, ευσεβής πόθος	Οι προτιμήσεις των ανθρώπων για το μέλλον συχνά επηρεάζει τις προβλέψεις τους για αυτό	-Αναθέστε τις προβλέψεις σε τρίτα πρόσωπα, αμερόληπτα -Αναθέστε σε περισσότερους από έναν ανθρώπους, ανεξάρτητες προβλέψεις
Υποτίμηση της αβεβαιότητας	Υπερβολική αισιοδοξία, λανθασμένες συσχετίσεις και η ανάγκη να μειώσουμε την ανησυχία οδηγούν σε υποτίμηση μελλοντικών αβεβαιοτήτων	-Εκτιμήστε την αβεβαιότητα με αντικειμενικό τρόπο. Θεωρήστε πολλά πιθανά μελλοντικά γεγονότα, ζητώντας από διαφορετικούς ανθρώπους να σκεφτούν απρόβλεπτες καταστάσεις / γεγονότα
Επιλεκτική αντίληψη	Αντιμετωπίζουμε ένα πρόβλημα με βάση το υπόβαθρο και τις εμπειρίες ενός ανθρώπου	-Αναθέστε σε άτομα με διαφορετικές εμπειρίες και διαφορετικό υπόβαθρο να βρουν ανεξάρτητες λύσεις

Πίνακας 2: Συνήθεις μεροληψίες και τρόποι αντιμετώπισής τους

1.7 Συμβατική σοφία (conventional wisdom)

Ένας άλλος τύπος κριτικής μεροληψίας, που μπορεί να απειλήσει την αποτελεσματικότητα της λήψης μιας απόφασης είναι η αβάσιμη πίστη ή η συμβατική σοφία. Για παράδειγμα, πιστεύουμε ότι όσο περισσότερες πληροφορίες έχουμε τόσο πιο έγκυρες θα είναι οι αποφάσεις μας. Εν τούτοις, τα εμπειρικά δεδομένα δεν υποστηρίζουν αυτή την άποψη. Αντίθετα, οι περισσότερες πληροφορίες φαίνεται απλώς να αυξάνουν την πεποίθησή μας ότι έχουμε δίκιο χωρίς, απαραίτητα, να βελτιώνουν την εγκυρότητα των αποφάσεών μας. Σε αυτό το συμπέρασμα έφτασε ο Oskamp (1965) και διάφοροι άλλοι ερευνητές οι οποίοι προειδοποιούν ότι δεν πρέπει να σπαταλάμε ενέργεια και πόρους για να συλλέγουμε πληθώρα πληροφοριών. Στην πραγματικότητα, η επιπλέον πληροφορία είναι συνήθως περιττή και προσφέρει ελάχιστη επιπρόσθετη αξία ενώ μπορεί να είναι και επιζήμια καθώς αυξάνει την βεβαιότητα μας για το μέλλον.

Ένα άλλο παράδειγμα συμβατικής σοφίας που δεχόμαστε είναι ότι μπορούμε να διακρίνουμε τις «χρήσιμες» από τις «άσχετες» πληροφορίες. Οι μελέτες δείχνουν ότι συνήθως αυτό δεν συμβαίνει. Σε διάφορα πειράματα, άτομα που τροφοδοτούνται με «καλές» και «κακές» πληροφορίες δεν είναι σε θέση να τις ξεχωρίσουν. Επιπλέον, συχνά χρησιμοποιούνται οι άσχετες πληροφορίες, μειώνοντας έτσι την αποτελεσματικότητα της διαδικασίας λήψης αποφάσεων, ειδικά αν οι σχετικές πληροφορίες είναι ποσοτικές ενώ οι άσχετες είναι ποιοτικές (οι περισσότεροι άνθρωποι φαίνεται να δίνουν μεγαλύτερη βαρύτητα σε πληροφορίες εκφρασμένες με λέξεις παρά με νούμερα).

Στον πίνακα 3, συνοψίζονται οι σχετικές συμβατικές σοφίες, συμπεριλαμβανομένων των δύο παραδειγμάτων που παρουσιάσαμε. Επίσης, καταγράφονται τα στοιχεία που είναι διαθέσιμα από την εμπειρία μας και ύστερα από μελέτες. Όπως και με τις μεροληψίες που παρουσιάσαμε παραπάνω, οι συμβατικές σοφίες μπορούν να επηρεάσουν σε μεγάλο βαθμό τις προβλέψεις μας αλλά και, γενικότερα, τις αποφάσεις μας. Επομένως, είναι ιδιαίτερα σημαντικό να προσπαθήσουμε να αποφύγουμε τις αρνητικές συνέπειες τους ακολουθώντας διαδικασίες με στόχο την ελαχιστοποίηση της επιρροής τους με την βοήθεια και των εμπειρικών δεδομένων που καταγράφονται στον πίνακα 3.

1.8 Συνδυάζοντας στατιστικές και κριτικές προβλέψεις

Η μεγάλη πρόκληση στην πραγματοποίηση μίας ορθής πρόβλεψης είναι η χρησιμοποίηση των καλύτερων στοιχείων της στατιστικής πρόβλεψης και η παράλληλη εκμετάλλευση της γνώσης, της κρίσης και της εμπειρίας. Στο υπόλοιπο αυτού του κεφαλαίου θα περιγράψουμε μία προσέγγιση, που έχει χρησιμοποιηθεί αρκετές

Συμβατική Σοφία	Εμπειρικά Ευρήματα
1. Όσο περισσότερες πληροφορίες έχουμε τόσο πιο έγκυρες είναι οι αποφάσεις.	Το μέγεθος της πληροφορίας δεν βελτιώνει την ορθότητα των αποφάσεων. Απλώς αυξάνει την πεποίθηση ότι η απόφαση μας θα είναι σωστή.
2. Μπορούμε να ξεχωρίσουμε τις χρήσιμες από τις άσχετες πληροφορίες.	Οι άσχετες πληροφορίες μπορεί να είναι η αιτία της μείωσης της ορθότητας των αποφάσεων μας.
3. Όσο μεγαλύτερη πεποίθηση έχουμε ότι οι αποφάσεις μας θα είναι ορθές, τόσο πιο ορθές θα είναι τελικά.	Δεν υπάρχει καμία σχέση ανάμεσα στην αυτοπεποίθηση κάποιου και στην ορθότητα των αποφάσεων του / της.
4. Μπορούμε να αποφασίσουμε λογικά πότε ήρθε η ώρα να εγκαταλείψουμε.	Νιώθουμε ότι έχουμε επενδύσει πάρα πολλά για να εγκαταλείψουμε.
5. Χρηματικές αμοιβές και τιμωρίες οδηγούν σε καλύτερη απόδοση.	Η ανθρώπινη συμπεριφορά είναι ιδιαίτερα πολύπλοκη για να υποκινείται μόνο από χρηματικούς παράγοντες.
6. Μπορούμε να εκτιμήσουμε σχετικά καλά τις πιθανότητες επιτυχίας και αποτυχίας μας.	Είμαστε πολύ αισιόδοξοι και τείνουμε να υποτιμούμε ή να αγνοούμε προβλήματα και δυσκολίες.
7. Η εμπειρία και η εξειδίκευση βελτιώνουν την ορθότητα των αποφάσεων.	Σε πολλές επαναλαμβανόμενες αποφάσεις ρουτίνας η εμπειρία και η εξειδίκευση δεν δίνουν μεγαλύτερη αξία σε

	αποφάσεις σχετικά με το μέλλον.
8. Ξέρουμε στην πραγματικότητα τι θέλουμε και οι προτιμήσεις μας είναι σταθερές.	Μικρές διαφορές σε μία κατάσταση μπορούν να αλλάξουν τις προτιμήσεις μας.

Πίνακας 3: Συμβατική σοφία εναντίον εμπειρικών ευρημάτων

φορές, η οποία εκμεταλλεύεται τα πλεονεκτήματα και των κριτικών και των στατιστικών προβλέψεων ενώ αποφεύγει τα μειονεκτήματα τους. Το συγκεκριμένο παράδειγμα αναφέρεται σε πρόβλεψη προϋπολογισμού όμως η προσέγγιση αυτή μπορεί να υιοθετηθεί και σε άλλες περιπτώσεις που απαιτούν πρόβλεψη.

1.8.1 Κατάληξη σε τελικές προβλέψεις κατά τη διάρκεια σύσκεψης για τον προϋπολογισμό

Στις ετήσιες συσκέψεις για τον προϋπολογισμό (συνήθως γίνονται τον Οκτώβριο ή τον Νοέμβριο) ο κύριος στόχος είναι να αποφασιστεί πόσο θα αναπτυχθούν οι πωλήσεις τον επόμενο χρόνο. Με βάση αυτή την ανάπτυξη, λαμβάνονται πολλές άλλες αποφάσεις σχετικά με την κατανομή των πόρων και την εφαρμογή μακροπρόθεσμων σχεδίων. Επομένως, καταβάλλεται σημαντική προσπάθεια ώστε η πρόβλεψη της ανάπτυξης των συνολικών πωλήσεων να είναι όσο το δυνατόν ορθότερη.

Συνήθως, σε τέτοιες συσκέψεις προϋπολογισμού υπάρχουν αντικρουόμενα συμφέροντα ανάμεσα στους συμμετέχοντες καθώς οι υπεύθυνοι του marketing επιλέγουν υψηλότερη ανάπτυξη ενώ οι υπεύθυνοι παραγωγής χαμηλότερη. Η τελική απόφαση για την ανάπτυξη των πωλήσεων είναι συχνά αποτέλεσμα μίας διαδικασίας παζαρέματος ανάμεσα στους συμμετέχοντες στην σύσκεψη και δεν έχει μεγάλη σχέση με προβλέψεις (Walker και McClelland, 1991) αλλά περισσότερο με την σχετική δύναμη του κάθε διοικητικού στελέχους που μετέχει στην σύσκεψη, την δυνατότητα του / της να πείθει τους άλλους, την προσωπικότητα, θέματα πολιτικής, την γνώμη του Γενικού Διευθυντή (CEO) και αμοιβαίες ανταλλαγές και υποχωρήσεις για την αποφυγή συγκρούσεων. Επομένως, καθίσταται σημαντική η δημιουργία μίας σταθερής και αντικειμενικής βάσης και μίας συστηματικής διαδικασίας για την ορθότερη δυνατή πρόβλεψη της

ανάπτυξης των πωλήσεων. Για να είναι αυτό δυνατό, απαιτείται η ελαχιστοποίηση των κριτικών μεροληψιών και των υποκειμενικών θεωρήσεων.

1.8.2 Αντικειμενική «αγκυροβόληση» (Anchoring) της αρχικής πρόβλεψης

Η «αγκυροβόληση» είναι μία κριτική μεροληψία, η οποία εκδηλώνεται όταν κάποιος ξεκινήσει με μία αρχική πρόβλεψη της ανάπτυξης, που μπορεί να μην είναι ρεαλιστική, αλλά όμως χρησιμεύει ως άγκυρα για να κρατήσει την τελική πρόβλεψη σε κοντινές τιμές. Οι συνέπειες αυτής της μεροληψίας είναι ακόμη πιο σοβαρές όταν ο πρόεδρος ή ο Γενικός διευθυντής (CEO) ξεκινήσει καθορίζοντας μία πρόβλεψη της ανάπτυξης για τον επόμενο χρόνο. Η συζήτηση εστιάζεται (αγκυροβολεί) σε αυτή την πρόβλεψη και δεν εξετάζει εναλλακτικές περιπτώσεις πολύ διαφορετικές (μακρινές) από αυτή. Για την αποφυγή αυτής της μεροληψίας, ή ακόμη για την χρησιμοποίηση της προς όφελος της εταιρείας, μοιράζεται προκαταβολικά σε όλους τους συμμετέχοντες στην σύσκεψη ένας φάκελος που περιέχει ιστορικές πληροφορίες για την οικονομία, την βιομηχανία και την εταιρεία. Αυτές οι πληροφορίες επεκτείνονται παρέχοντας έτσι αντικειμενικές προβλέψεις για την οικονομία, την βιομηχανία και την εταιρεία.

Γίνεται, επίσης, σαφές ότι αυτές οι προβλέψεις θα είναι έγκυρες αν και μόνο αν το μέλλον αποτελέσει συνέχεια του παρελθόντος. Ωστόσο, δηλώνεται στους συμμετέχοντες ότι είναι πολύ πιθανόν να συμβούν αλλαγές και ότι αυτοί είναι στην κατάλληλη θέση για να εκτιμήσουν το μέγεθος και τις συνέπειες αυτών των αλλαγών.

Ζητείται, επομένως, από τους συμμετέχοντες να χρησιμοποιήσουν την γνώση τους για την αγορά και τον ανταγωνισμό, όπως επίσης και την εμπειρία τους, για να εκτιμήσουν το μέγεθος στο οποίο θα πρέπει να αλλαχθούν οι αντικειμενικές προβλέψεις της ανάπτυξης και να σημειώσουν όλους τους παράγοντες που παίζουν ρόλο. Δηλαδή, δεν ζητείται από τους συμμετέχοντες να πραγματοποιήσουν μία πρόβλεψη από το μηδέν, αλλά να τροποποιήσουν την στατιστική πρόβλεψη, η οποία χρησιμοποιείται, επομένως, ως άγκυρα για να εμποδίσει προβλέψεις που δεν βασίζονται στις αντικειμενικές πληροφορίες για το παρελθόν της εταιρείας και στις επικρατούσες συνθήκες στην οικονομία και τη βιομηχανία. Παράλληλα, ζητείται από τους συμμετέχοντες να εξηγήσουν τους παράγοντες που είναι υπεύθυνοι για τις όποιες αλλαγές και τροποποιήσεις πρότειναν στις αντικειμενικές στατιστικές προβλέψεις. Τέλος, καταγράφουν τις προβλέψεις τους, ανώνυμα ώστε να μην επηρεάζονται από την θέση στην ιεραρχία του καθενός.

Με αυτόν τον τρόπο, όλες οι προβλέψεις έχουν το ίδιο βάρος και κινούνται όλες γύρω από τις αντικειμενικές στατιστικές προβλέψεις. Για την διευκόλυνση και αποσαφήνιση της διαδικασίας, δίνεται σε κάθε ένα από τους συμμετέχοντες μία φόρμα παρόμοια με τον πίνακα 4, για να την συμπληρώσει ανώνυμα αφού διαβάσει τις πληροφορίες που περιέχονται στον φάκελο που τους δόθηκε αρχικά. Αφού συλλεχθούν όλες οι φόρμες, τα αποτελέσματα τους συνοψίζονται και παρουσιάζονται στους συμμετέχοντες πριν ξεκινήσει η συζήτηση.

Τρεις παρατηρήσεις προκύπτουν από την εμπειρία μας από την διαδικασία με τις φόρμες. Πρώτον, οι συμμετέχοντες είναι πράγματι αγνωροβλημένοι στις στατιστικές, αντικειμενικές, προβλέψεις, τις οποίες αλλάζουν μόνο αν υπάρχουν πολύ σημαντικοί λόγοι που καθιστούν την αλλαγή απαραίτητη. Δεύτερον, ορισμένοι παράγοντες, σύμφωνα με κάποιους από τους συμμετέχοντες, αυξάνουν τις πωλήσεις, ενώ άλλοι συμμετέχοντες πιστεύουν ότι τις μειώνουν. Αυτοί οι παράγοντες μπορούν να παραβλεφθούν, εκτός και αν στην συνέχεια αποδειχθεί ότι η σημασία τους είναι μεγάλη. Τρίτον, οι περισσότεροι παράγοντες προτείνονται από έναν ή δύο από τους συμμετέχοντες και όχι από όλους ή, τουλάχιστον, από την πλειοψηφία. Επομένως, η συζήτηση μπορεί να επικεντρωθεί στον ένα ή στους λίγους παράγοντες

<p>Επεκτείνοντας τις ιστορικές ποσοτικές πληροφορίες που είναι διαθέσιμες, η καλύτερη εκτίμηση για την ανάπτυξη στις πωλήσεις μας για το 1999 είναι 3.5%. Αυτή η στατιστική εκτίμηση θεωρεί ότι το 1999 θα είναι παρόμοιο με τα προηγούμενα χρόνια. Δηλαδή, δεν θα συμβούν σημαντικές αλλαγές ή αν συμβούν, η μία θα αναιρεί την άλλη. Αν πιστεύετε ότι θα συμβούν σημαντικές αλλαγές το 1999, καταγράψτε τις παρακάτω και εκτιμήστε την θετική ή αρνητική επιρροή τους χρησιμοποιώντας το ποσοστό ανάπτυξης 3.5% ως βάση.</p>		
Παράγοντες	% Θετική επίδραση του παράγοντα στην αύξηση των πωλήσεων	% Αρνητική επίδραση του παράγοντα στην μείωση των πωλήσεων
Οικονομικοί		
Βιομηχανικοί		
Ανταγωνιστικοί		

Τεχνολογικοί		
Άλλοι		
Συνολική επιρροή	% Θετική =	% Αρνητική =
Η εκτίμηση σας για το ποσοστό ανάπτυξης	3.5% + %Θετική 3.5% +	- %Αρνητική - =
Πίνακας 4: Η φόρμα καταγραφής των παραγόντων και της επιρροής τους		

που θεωρούνται από την πλειοψηφία ότι είναι σημαντικοί και να συζητηθεί το μέγεθος στο οποίο θα επηρεάσουν τις πωλήσεις του επόμενου χρόνου.

Αφού ολοκληρωθεί η σύσκεψη για τον προϋπολογισμό, οι συμμετέχοντες συμφωνούν για μία τελική πρόβλεψη. Αυτή η πρόβλεψη προκύπτει από την εκμετάλλευση του πλεονεκτήματος της αντικειμενικής στατιστικής μεθόδου αλλά και των πληροφοριών και της εμπειρίας των μελών της διοίκησης σχετικά με επερχόμενες αλλαγές αλλά και τις συνέπειες τους. Αυτή η προσέγγιση καθοδηγεί, επίσης, την συζήτηση στα πιο ουσιώδη σημεία και επομένως η σύσκεψη είναι εποικοδομητική και αποτελεσματική.

Τέλος, έχοντας συμφωνήσει στους παράγοντες οι οποίοι θα επηρεάσουν την ανάπτυξη των πωλήσεων το επόμενο έτος και έχοντας εκτιμήσει το μέγεθος των επερχόμενων αλλαγών, είναι δυνατόν να γίνει η αποτίμηση, στο τέλος του επόμενου χρόνου, της ορθότητας των προβλέψεων που έγιναν σε σύγκριση με τις στατιστικές μεθόδους. Με αυτόν τον τρόπο, όχι μόνο ελέγχεται η ορθότητα των κριτικών προβλέψεων σε σύγκριση με την αντίστοιχη των στατιστικών μεθόδων, αλλά μπορεί να εκτιμηθεί και η σχετική εγκυρότητα του καθενός από τους συμμετέχοντες και η ικανότητα τους να προβλέπουν σωστά τους παράγοντες που θα επηρεάσουν τις πωλήσεις. Έτσι, οι συμμετέχοντες θα μπορούν την επόμενη χρονιά να μελετήσουν την απόδοση τους και να βελτιωθούν ατομικά αλλά και σαν ομάδα. Επιπλέον, οι διάφοροι παράγοντες που επηρέασαν τις πωλήσεις μπορούν να εκτιμηθούν και να ληφθούν ποσοτικές πληροφορίες σχετικά με την επίδραση τους, οι οποίες θα είναι χρήσιμες στο μέλλον όταν συμβούν παρόμοιες αλλαγές.

1.9 Συμπέρασμα

Οι κριτικές προβλέψεις είναι πράγματι απαραίτητες καθώς αποτελούν την μοναδική εναλλακτική για την πρόβλεψη συστηματικών αλλαγών από καθιερωμένα πρότυπα και υπάρχουσες σχέσεις. Την ίδια στιγμή, θα πρέπει να είμαστε προσεκτικοί ώστε να αποφεύγουμε τις μεροληψίες και άλλους περιορισμούς που χαρακτηρίζουν την κρίση μας για να μειώνουμε τις αρνητικές τους συνέπειες στις προβλέψεις. Η πρόκληση για τις εταιρείες είναι να εκμεταλλεύονται και τις στατιστικές προβλέψεις αλλά και την μοναδική ικανότητα της ανθρώπινης κρίσης να αντιμετωπίζει συστηματικές αλλαγές σε πρότυπα / σχέσεις.

Υποκειμενική – κριτική επέμβαση στις προβλέψεις και τα ιστορικά δεδομένα χρονοσειρών με χρήση νευρωνικών δικτύων

2.1 Βασικές έννοιες για τα ιστορικά δεδομένα και την κριτική επέμβαση

Τα μοντέλα χρονοσειρών χρησιμοποιούν τα ιστορικά δεδομένα για την παραγωγή μελλοντικών προβλέψεων αναγνωρίζοντας παρελθοντικά πρότυπα χωρίς να μπορούν να ενσωματώσουν την επίδραση εξωτερικών μελλοντικών γεγονότων ακόμα και αν αυτά έχουν ανακοινωθεί πριν συμβούν. Είναι σύνηθες λοιπόν οι χρήστες των στατιστικών προβλέψεων να τις προσαρμόζουν σύμφωνα με την πείρα τους όταν ανακοινώνεται ένα εξωτερικό γεγονός ή όταν διαισθάνονται κάποιες επερχόμενες αλλαγές στην αγορά που τους ενδιαφέρει. Αυτή η διαδικασία οδηγεί σε βελτίωση των προβλέψεων και ονομάζεται **“Υποκειμενική – Κριτική Επέμβαση στις Προβλέψεις Στατιστικών Μοντέλων”** είναι όμως ιδιαίτερα χρονοβόρα και επίσης πολλές φορές προκατειλημμένη ιδιαίτερα όταν οι προβλέψεις αναφέρονται σε προϊόντα της εταιρείας τους. Η αυτοματοποίηση αυτής της διαδικασίας μέσω Νευρωνικών Δικτύων οδηγεί σε πολύ καλά αποτελέσματα.

Υποκειμενικός – Κριτικός Παράγων (Judgmental Factor) ορίζεται ένας παράγοντας του υπό εξέταση μεγέθους (για το οποίο ζητούνται μελλοντικές προβλέψεις) του οποίου η επίδραση στα ιστορικά δεδομένα δεν μπορεί να αναγνωριστεί σαφώς και να οριστεί αντικειμενικά.

Κοινά χαρακτηριστικά των υποκειμενικών παραγόντων είναι τα ακόλουθα:

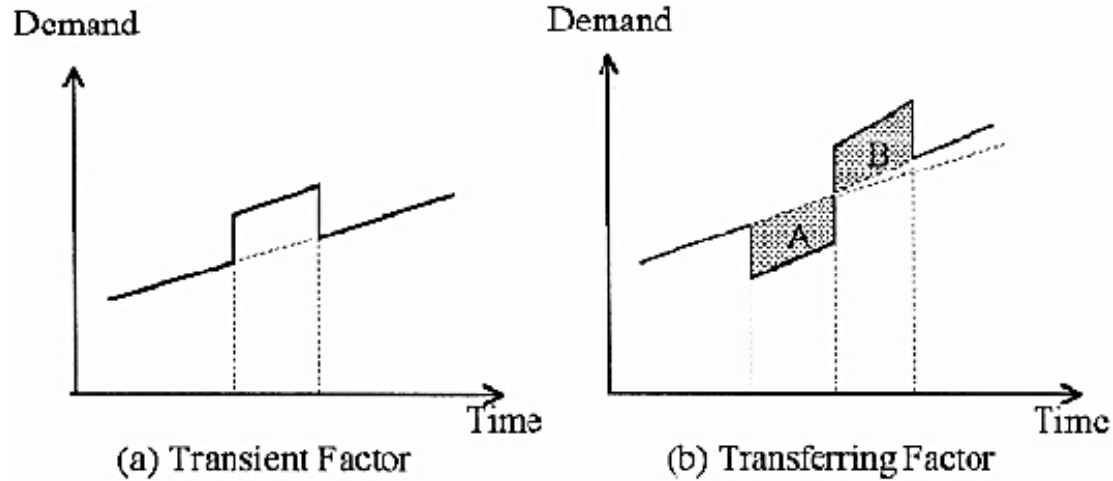
- Συνήθως συμβαίνουν απροειδοποίητα και οπωσδήποτε σε μη περιοδικά χρονικά διαστήματα. Το δείγμα είναι πολύ μικρό για στατιστική μοντελοποίηση.
- Η επίδραση τους είναι πολύ σημαντική για να αγνοηθεί.
- Η επίδραση τους είναι παροδική
- Είναι δύσκολο να προσδιοριστεί το μέγεθος της επίδρασης τους στο υπό μελέτη μέγεθος ακόμα και να προσδιοριστεί το ακριβές χρονικό διάστημα που αναμένεται να συμβούν.

Στο παράδειγμα που θα εξετάσουμε, που αφορά τις πωλήσεις των κρατικών Διυλιστηρίων της Κορέας, μπορούν να αναγνωριστούν τέσσερις τυπικού υποκειμενικοί παράγοντες που επηρεάζουν την ζήτηση Βενζίνης στην Κορεατική αγορά.

1. Κυβερνητικές διατάξεις εξοικονόμησης ενέργειας
2. Απεργίες βιομηχανιών που καταναλώνουν πολύ ενέργεια (πετρέλαιο)
3. Ειδικές αργίες – διακοπές
4. Ανακοινώσεις μελλοντικών αλλαγών στην τιμή των καυσίμων

Οι τέσσερις αυτοί παράγοντες αποτελούν την **Βάση Υποκειμενικών Παραγόντων** για το μέγεθος που εξετάζουμε.

Η επίδραση των τριών πρώτων παραγόντων είναι παροδική (transient) ενώ του τελευταίου μεταφερόμενη (transferring) πριν και μετά την αναγγελθείσα ημερομηνία. Η διαφορά των δύο επιδράσεων φαίνεται στο σχήμα που ακολουθεί στην αρχή της επόμενης σελίδας



Σχήμα 1. Παροδική (transient) και μεταφερόμενη (transferring) επίδραση.

Η μοντελοποίηση και τα χαρακτηριστικά των τεσσάρων υποκειμενικών παραγόντων ορίζονται ακολούθως:

Κυβερνητικές διατάξεις εξοικονόμησης ενέργειας

Συμβολισμός: $R_m(k, i, d)$, (R: Regulation), όπου

k : Τύπος διάταξης

i : Αυστηρότητα της διάταξης (υποχρεωτική, συμβουλευτική κ.λ.π.)

d : Διάρκεια επίδρασης (σε ημέρες)

Απεργίες βιομηχανιών που καταναλώνουν πολύ ενέργεια (πετρέλαιο)

Συμβολισμός: $S_m(k, i, d)$, (S: Strike), όπου

k : Τύπος απεργίας

i : Ένταση της απεργίας

d : Διάρκεια επίδρασης (σε ημέρες)

Ειδικές αργίες – διακοπές

Συμβολισμός: $H_m(k, d)$, (H: Holiday), όπου

k : Κατηγορία διακοπών

d : Διάρκεια (σε ημέρες)

Ανακοινώσεις μελλοντικών αλλαγών στην τιμή των καυσίμων

Συμβολισμός: $A_m(p, t_a, t_e)$, (A: Advanced announcement), όπου

p : Ποσοστό αλλαγής της τιμής

t_a : Ημερομηνία ανακοίνωσης

t_e : Ημερομηνία εφαρμογής

Η εμφάνιση ενός υποκειμενικού παράγοντα σε κάποια χρονική στιγμή ονομάζεται **Υποκειμενικό – Κριτικό Γεγονός (Judgmental Event)** και η αναγνώριση αυτών των εμφανίσεων στις ιστορικές παρατηρήσεις οδηγεί στην κατασκευή της **Βάσης Ιστορικών Υποκειμενικών Γεγονότων**.

Ένα υποκειμενικό γεγονός και η επίδραση αυτού στην τιμή κάποιων παρατηρήσεων της χρονοσειράς ονομάζεται **Υποκειμενικό – Κριτικό Σενάριο (Judgmental Case)** και η αναγνώριση αυτών των επιδράσεων στις ιστορικές παρατηρήσεις αλλά και η κατασκευή μελλοντικών πιθανολογούμενων εμφανίσεων υποκειμενικών γεγονότων μαζί με τις επιδράσεις τους οδηγεί στην κατασκευή της **Βάσης Υποκειμενικών Σεναρίων**.

2.2 Τεχνητά Νευρωνικά Δίκτυα

Σε αυτό το σημείο, θα παραθέσουμε μία εισαγωγή στα Νευρωνικά Δίκτυα. Αυτό κρίθηκε σκόπιμο, αφού η μοντελοποίηση της υπο-μελέτης κριτικής επέμβασης θα γίνει χρησιμοποιώντας Τεχνητά Νευρωνικά Δίκτυα (Τ.Ν.Δ.).

22.1 Γενικά

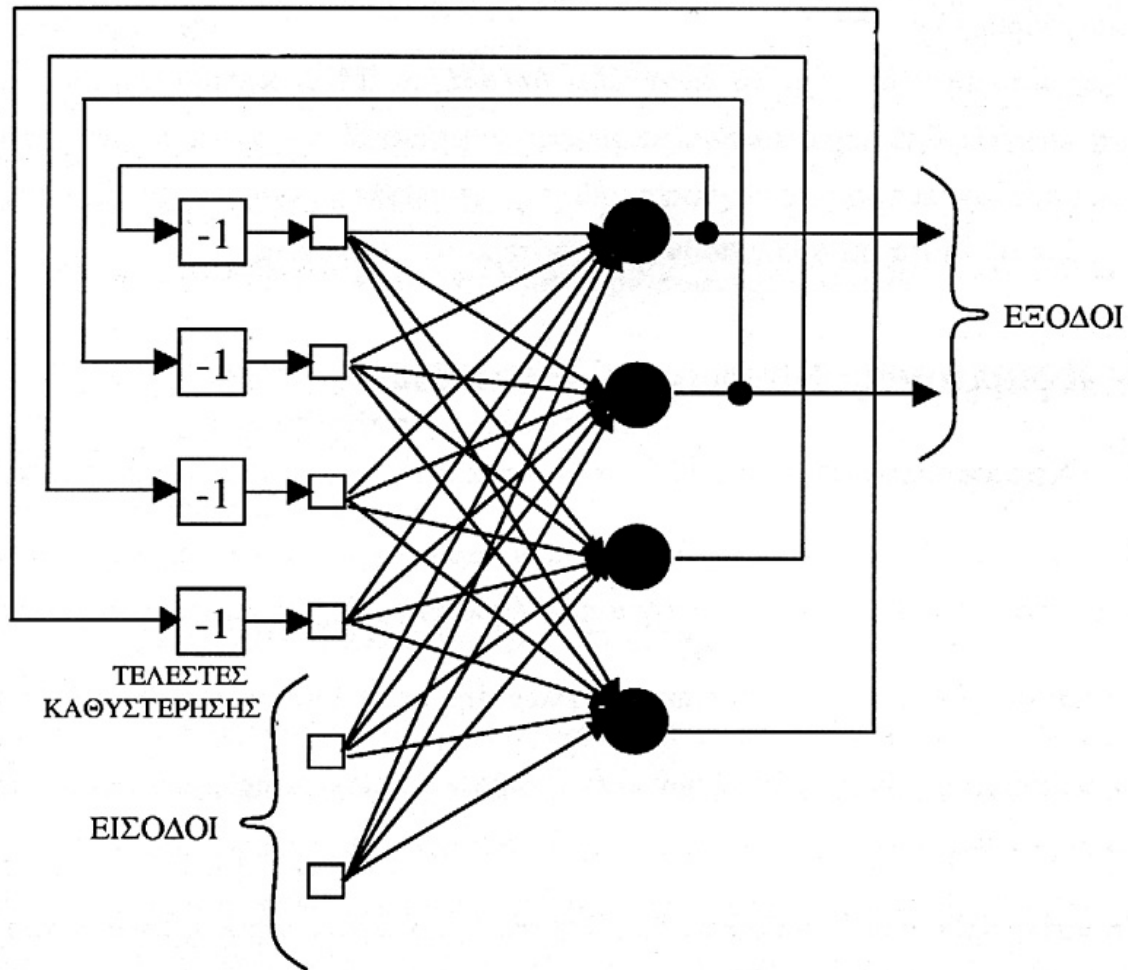
Τα Τεχνητά Νευρωνικά Δίκτυα ανήκουν στο γνωστικό πεδίο της Υπολογιστικής Νοημοσύνης και η χρήση τους έγκειται σε επίλυση προβλημάτων Τεχνητής Νοημοσύνης, χρησιμοποιώντας αριθμητικά μοντέλα.

Παλαιότερα, οι υπολογισμοί στον προγραμματισμό ήταν ακολουθιακοί αλγόριθμοι. Με την εξέλιξη, όμως της Τεχνητής Νοημοσύνης έγιναν βήματα στην προσομοίωση της διαδικασίας υπολογισμών του ανθρώπινου εγκέφαλου.

Οι υπολογισμοί αυτοί: α) είναι κατανεμημένοι και εκτελούνται παράλληλα, β) δεν περιέχουν όλη την πληροφορία για την άρτια λειτουργία του προγράμματος, η «μάθηση» είναι που παρέχει αυτή την δυνατότητα.

Τεχνητό Νευρωνικό Δίκτυο είναι μια αρχιτεκτονική δομή αποτελούμενη από έναν αριθμό τεχνητών νευρώνων. Κάθε νευρώνας χαρακτηρίζεται από εισόδους και εξόδους και υλοποιεί έναν απλό υπολογισμό. Κάθε σύνδεση μεταξύ δύο μονάδων χαρακτηρίζεται από μία τιμή βάρους. Οι τιμές των βαρών των συνδέσεων αποτελούν την αποθηκευμένη γνώση στο δίκτυο και καθορίζουν πλήρως την λειτουργικότητά του. Η έξοδος κάθε νευρώνα καθορίζεται από τον τύπο του νευρώνα, τη διασύνδεση με τους υπόλοιπους και πιθανώς κάποιες εξωτερικές εισόδους.

Στο σχήμα που ακολουθεί, φαίνεται μία δομή ενός νευρωνικού δικτύου με πρόσθια τροφοδότηση (Επαναληπτικό Δίκτυο).



Σχήμα 1.: Επαναληπτικό Δίκτυο με ένα κρυμμένο επίπεδο.

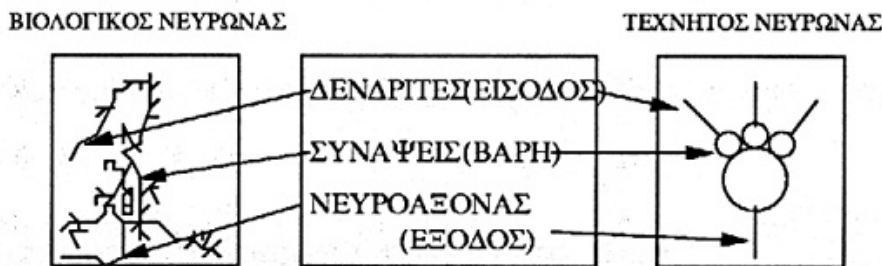
2.2.2 Βιολογικοί Νευρώνες – Τεχνητοί Νευρώνες

Είπαμε ότι τα Τ.Ν.Δ. προήλθαν από την προσπάθεια μίμησης των διεργασιών του ανθρώπινου μυαλού. Ας εστιάσουμε περισσότερο στις ομοιότητες αυτές:

Ο εγκέφαλος έχει ιδιότητες όπως προσαρμοστικότητα, ικανότητα αναγνώρισης από τα συμφραζόμενα, ανοχή στα λάθη, μεγάλη χωρητικότητα μνήμης, ικανότητα επεξεργασίας πληροφοριών σε πραγματικό χρόνο. Αυτές οι ιδιότητες προκύπτουν κυρίως από την τοπολογία του εγκεφάλου.

Ο εγκέφαλος αποτελείται από νευρικά κύτταρα συνδεδεμένα μεταξύ τους, οι λεγόμενοι νευρώνες. Τα κύτταρα αυτά κάνουν συνάψεις με άλλους γειτονικούς νευρώνες. Κάθε νευρώνας εκτελεί απλούς ακολουθιακούς υπολογισμούς στα σήματα που δέχεται από τους άλλους νευρώνες. Τα φιλτράρει, τα ενισχύει κατάλληλα και παράγει τελικά ένα σήμα εξόδου το οποίο μεταδίδει μέσω των συνάψεών του στους άλλους νευρώνες. Η επίδραση ενός σήματος σε έναν νευρώνα μπορεί να είναι θετική ή αρνητική. Αυτή η απλή διεργασία εκτελείται παράλληλα σε κάθε νευρώνα, έτσι έχουμε ένα πανίσχυρο, υπολογιστικά, μοντέλο.

Σε πλήρη αντιστοιχία με το βιολογικό αυτό μοντέλο, ο τεχνητός νευρώνας αποτελείται από εισόδους που εφαρμόζονται με κάποια βάρη και από εξόδους. Το σχήμα 2. περιγράφει την αντιστοιχία:

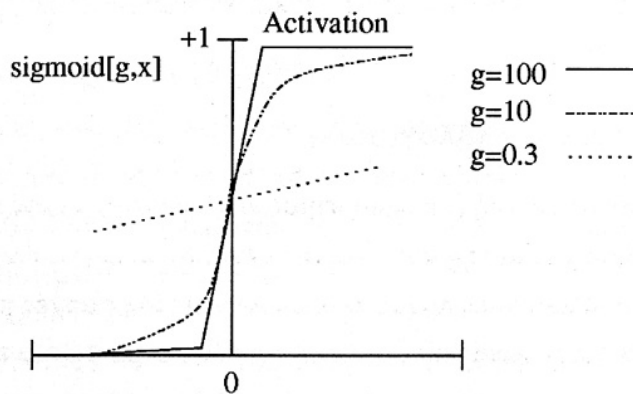


Σχήμα 2. Αντιστοιχία βιολογικού-τεχνητού νευρώνα.

Έστω τεχνητός νευρώνας d με συνδέσεις εισόδου x_1, \dots, x_d , και αντίστοιχες τιμές βαρών w_1, \dots, w_d . Ο υπολογισμός που εκτελεί ένας τέτοιος νευρώνας χωρίζεται σε δύο στάδια α) υπολογισμός της ενεργοποίησης $u = \sum w_i x_i + \theta$, όπου θ η πόλωση του νευρώνα, β) υπολογισμός της εξόδου του νευρώνα περνώντας την ενεργοποίηση u μέσα από μια συνάρτηση ενεργοποίησης $f: y = f(u)$.

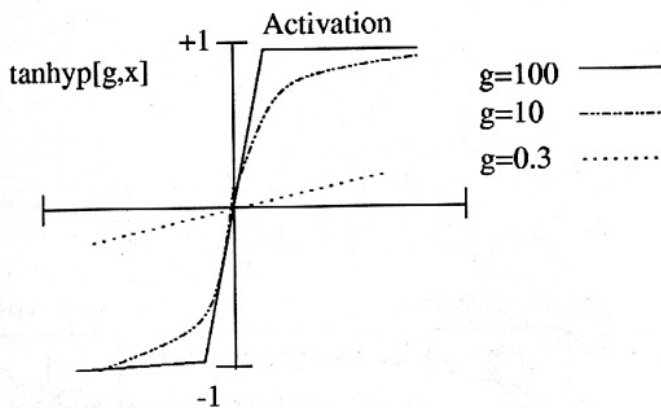
Η συνάρτηση ενεργοποίησης είναι μη γραμμική (εισαγάγει τη «μη γραμμικότητα» στο νευρώνα) και τις περισσότερες περιπτώσεις σιγμοειδής. Βασικοί τύποι σιγμοειδών συναρτήσεων είναι η λογιστική συνάρτηση και η υπερβολική εφαπτομένη.

Στα σχήματα 3. και 4. φαίνονται αντίστοιχα οι συναρτήσεις αυτές.



Σχήμα 3.: Λογιστική συνάρτηση $f(u)=1/(1+\exp(-gu))$

Σχήμα 4.: Υπερβολική Εφαπτομένη $f(u)=\tanh(gu)$



Η λογιστική συνάρτηση έχει πεδίο τιμών από 0 έως +1, ενώ η υπερβολική εφαπτομένη από -1 έως +1.

Μερικές από τις βασικές ικανότητες του ανθρωπίνου εγκεφάλου που οφείλονται στις πολλές μονάδες επεξεργασίας (Νευρώνες) και στην πολυπλοκότητα των μεταξύ τους διασυνδέσεων είναι οι ακόλουθες:

1. Αποθήκευση εμπειριών όπως η κατηγοριοποίηση ή συσχέτιση των δεδομένων εισόδου. Αυτό-οργάνωση των εμπειριών αυτών.
2. Απόκριση σε νέες εμπειρίες μέσω της συσχέτισής τους με τις αποθηκευμένες.
3. Εκτέλεση προβλέψεων για νέες καταστάσεις σύμφωνα με τις αποθηκευμένες εμπειρίες. Ικανότητα γενίκευσης.
4. Ανοχή στην παραμόρφωση, διαταραχή ή ατέλεια των δεδομένων εισόδου.
5. Ανοχή στις βλάβες. Ακόμα και η απώλεια μερικών νευρώνων αντιμετωπίζεται με κατάλληλη προσαρμογή αυτών που μένουν και πρόσθετη εκπαίδευση.
5. Ο εγκέφαλος φαίνεται να έχει διαθέσιμους νευρώνες, πιθανών αχρησιμοποίητους, έτοιμους προς χρήση. Άρα έχει τη δυνατότητα διαρκώς να μαθαίνει.

7. Η εξέταση του εγκεφάλου δεν παρέχει αρκετές πληροφορίες για την λειτουργία του. Υπάρχει μία αδιαφάνεια στην λειτουργία του.

Πολλές από τις ιδιότητες αυτές υπάρχουν και στα Τ.Ν.Δ. και έτσι τα καθιστούν την αιχμή του δόρατος στις εφαρμογές τεχνητής νοημοσύνης και εξομοίωσης της ανθρώπινης συμπεριφοράς όπως: Επεξεργασία εικόνας / σήματος, Μηχανική όραση, Αναγνώριση προτύπων, Ιατρικές εφαρμογές, Αμυντικά συστήματα, εφαρμογές Οικονομίας, Έμπειρα συστήματα, Πρόβλεψη χρονοσειρών, επικοινωνία ανθρώπου-υπολογιστή.

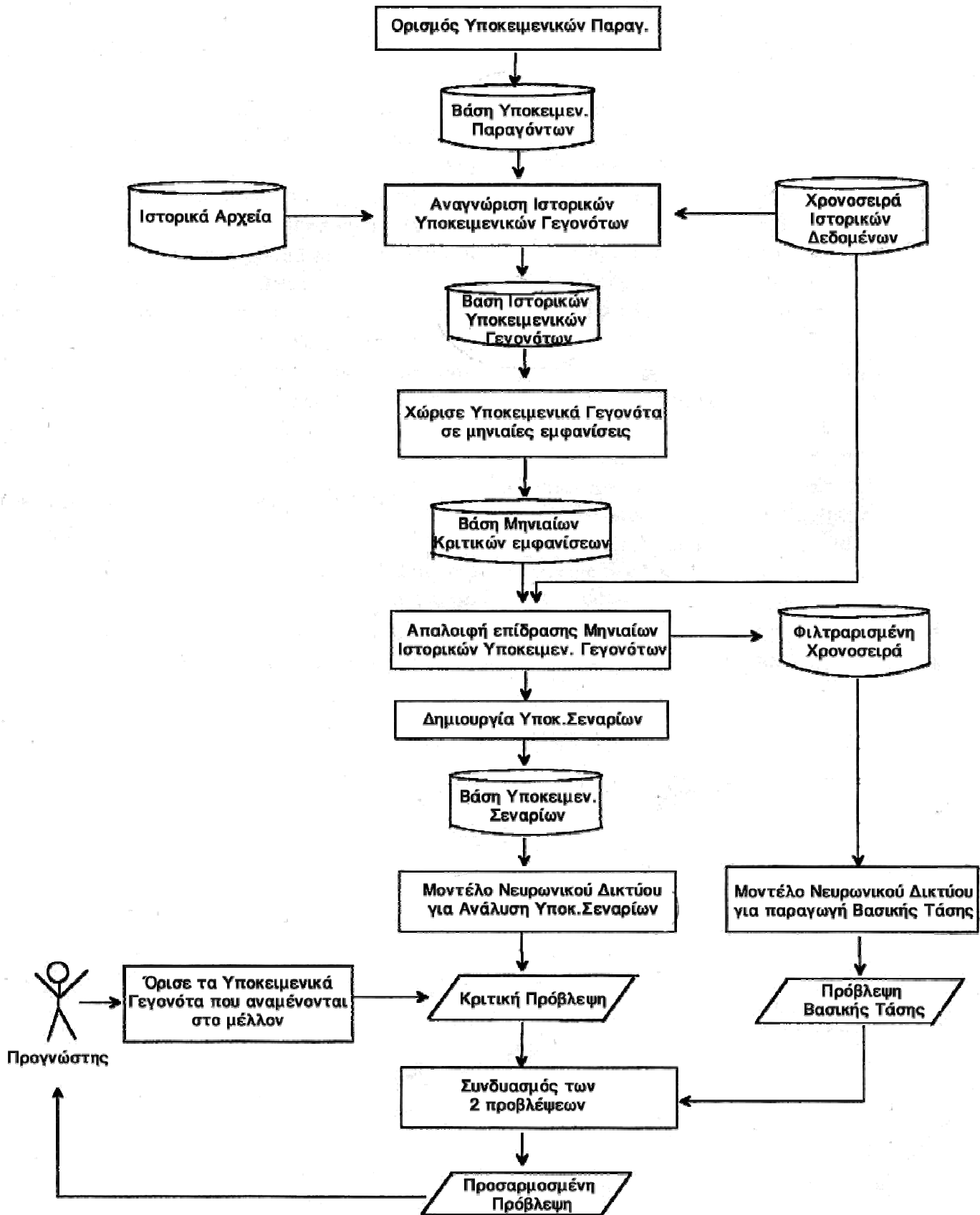
2.3 Μοντέλο Πρόβλεψης

Είναι πλέον σαφές ότι η χρήση των Τ.Ν.Δ. στις στατιστικές προβλέψεις και τις κριτικές επεμβάσεις γίνεται γιατί αυτά είναι πιο κοντά στον τρόπο σκέψης του ανθρώπου. Βέλτιστο μοντέλο προβλέψεων είναι το ανθρωπομορφικότερο.

Το προτεινόμενο μοντέλο αποτελείται από τα ακόλουθα βήματα:

- A) Κατασκευή Βάσης Υποκειμενικών Παραγόντων (Judgmental Factor Base)
- B) Κατασκευή Βάσης Ιστορικών Υποκειμενικών Γεγονότων (Judgmental Event Base)
- Γ) Φιλτράρισμα της χρονοσειράς για απαλοιφή των ιστορικών υποκειμενικών γεγονότων (Monthly Judgmental Instances)
- Δ) Κατασκευή Βάσης Υποκειμενικών Σεναρίων (Judgmental Case Base)
- Ε) Κατασκευή Μοντέλου Νευρωνικού Δικτύου για Επεξεργασία Υποκειμενικών Σεναρίων (Judgmental Adjustment)
- ΣΤ) Κατασκευή Μοντέλου Νευρωνικού Δικτύου Παραγωγής Βασικής Τάσης (Main Trend Forecasting)
- Z) Ο Προγνώστης, ορίζει τις εισόδους στο Νευρωνικό Δίκτυο, δηλαδή τα υποκειμενικά σενάρια προς επεξεργασία (Judgmental Occurrences)
- H) Παραγωγή προβλέψεων από κάθε Μοντέλο Νευρωνικών Δικτύων και συνδυασμός αυτών (Additive Adjustment of Main Trend Forecast)

Σχηματικά το μοντέλο παρουσιάζεται στην επόμενη σελίδα με τις επεξηγήσεις που παραθέσαμε σε κάθε βήμα.



Σχήμα 2. Μοντέλο Πρόβλεψης κατά Jae Kyu Lee και Chang Seon Yum.

Αναλυτική περιγραφή των βασικών βημάτων του αλγορίθμου:

A) Κατασκευή Βάσης Υποκειμενικών Παραγόντων (Judgmental Factor Base)

Η κατασκευή της Βάσης Υποκειμενικών παραγόντων γίνεται ανάλογα την εφαρμογή. Για παράδειγμα, στη περίπτωση της ζήτησης πετρελαίου έχουμε τέσσερις παράγοντες.

Η Βάση περιέχει τους παράγοντες με τις επιμέρους παραμέτρους του κάθε ενός.

B) Κατασκευή Βάσης Ιστορικών Υποκειμενικών Γεγονότων (Judgmental Event Base)

Η Βάση Ιστορικών Υποκειμενικών Γεγονότων γίνεται σε δεύτερη φάση, αφού έχουν οριστεί οι Υποκειμενικοί Παράγοντες.

Τότε, με είσοδο μία Βάση Ιστορικών Γεγονότων, κατασκευάζουμε την Βάση Ιστορικών Υποκειμενικών Γεγονότων τις οποίας οι καταχωρίσεις είναι τα Ιστορικά Υποκειμενικά Γεγονότα που συνέβησαν σε μία χρονική στιγμή (π.χ. 1 μήνας) με επίδραση στο υπό-μελέτη μέγεθος (π.χ. Οκτ.1998 | $H_{98}(1,4)$, $\alpha(22.7,12)$).

Γ) Φιλτράρισμα της χρονοσειράς για απαλοιφή των ιστορικών υποκειμενικών γεγονότων (Monthly Judgmental Instances)

Από τα δεδομένα της χρονοσειράς αφαιρούμε την επίδραση των Υποκειμενικών Γεγονότων για την ελάχιστη περίοδο όπου αυτά συμβαίνουν. Το αποτέλεσμα είναι η φιλτραρισμένη χρονοσειρά που περιέχει μόνο την βασική τάση.

Υπάρχουν 2 μέθοδοι φιλτραρισματος: α) με χρήση εξωτερικής φόρμουλας υπολογισμού της επίδρασης των Υποκειμενικών Γεγονότων π.χ. η επίδραση των «διατάξεων εξοικονόμησης ενέργειας» στο μέγεθος «ζήτηση πετρελαίου» μπορεί να υπολογιστεί από την παρακάτω σχέση, αν είναι διαθέσιμα τα απαιτούμενα στοιχεία:

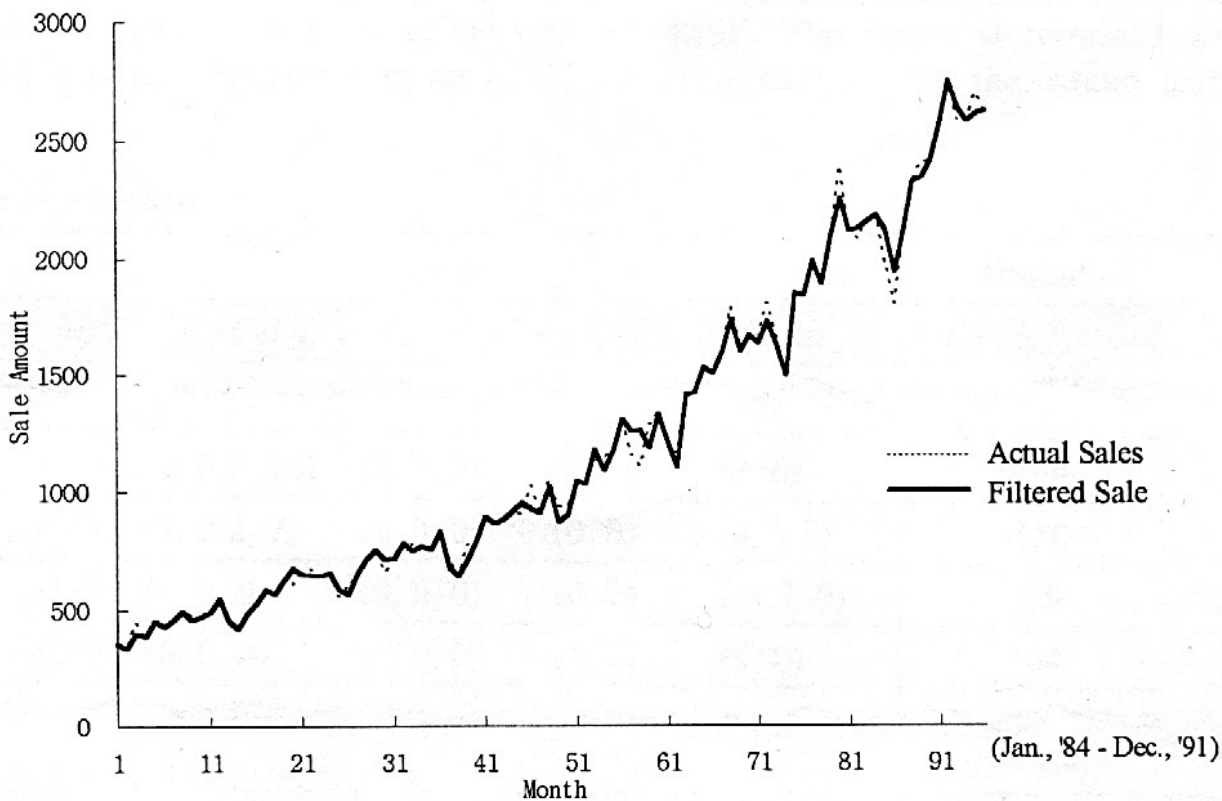
Επίδραση = (αριθμός αυτοκίνητων που αναφέρεται η διάταξη)*(μέση ημερήσια κατανάλωση ανά αυτοκίνητο)*(διάρκεια δράσης της διάταξης)

Από την χρονοσειρά, αφαιρούμε την υπολογισμένη επίδραση, κατασκευάζοντας τελικά την καμπύλη της Βασικής Τάσης, καθώς και μία βάση με τα Ιστορικά Υποκειμενικά Γεγονότα και την επίδρασή τους σε συγκεκριμένη χρονική περίοδο.

β) με την εκτίμηση που κάνει ο προγνώστης. Έχοντας στην διάθεσή του τα ιστορικά στοιχεία, ο προγνώστης, ορίζει για κάθε Υποκειμενικό γεγονός που συνέβη, πόση ήταν η επίδρασή του.

Όπως και παραπάνω, αφαιρείται η ελάχιστη επίδραση από την χρονοσειρά και κατασκευάζουμε την βασική τάση και την Βάση με τα Ιστορικά Υποκειμενικά Γεγονότα και την επίδρασή τους.

Παραθέτουμε ένα παράδειγμα χρονοσειράς, η οποία έχει φιλτραριστεί από τα Υποκειμενικά Γεγονότα στο παρακάτω σχήμα 3. Παρατηρούμε ότι η χρονοσειρά έχει «εξομαλυνθεί» αφού έχουν αφαιρεθεί τα Υπ.Γεγ. Τα Γεγονότα αυτά, μαζί με την επίδρασή τους, θα δημιουργήσουν την Βάση Δεδομένων που εξετάζουμε στο Δ.



Σχήμα 3. Χρονοσειρά Φιλτραρισμένη από τα Υποκειμενικά Γεγονότα.

Δ) Κατασκευή Βάσης Υποκειμενικών Σεναρίων (Judgmental Case Base)

Με την διεργασία Γ. παράγεται, όπως είδαμε, και μία βάση με τα Υποκειμενικά Γεγονότα που συνέβησαν μία χρονική περίοδο, μαζί με την επίδρασή τους στην χρονοσειρά. Αυτή η Βάση Δεδομένων, ονομάζεται **Βάση Υποκειμενικών Σεναρίων** και η μορφή των εγγραφών της είναι: π.χ. Σενάριο 34: Οκτ.1998 | $H_{98}(1,4)$, $\alpha(22.7,12)$ | -150.

Στο παρακάτω σχήμα 4. φαίνεται η δομή μιας τέτοιας βάσης δεδομένων. Η Μηνιαία επίδραση (Monthly Impact) είναι η επίδραση που έχει ένας συνδυασμός Υποκειμενικών Γεγονότων αναλυμένων στους επιμέρους παράγοντές τους, σε συγκεκριμένη χρονική περίοδο (m).

Judgmental Cases	Inputs					Output
	m	$r_m(k, i, d_m)$	$s_m(k, i, d_m)$	$h_m(k, d_m)$	$a_m(p_m, d_m)$	Monthly Impact
Case 20	(57)	(1, 0.2, 16)	(0, 0, 0)	(2, 1)	(0, 0)	-106
Case 21	(58)	(1, 0.2, 7)	(0, 0, 0)	(0, 0)	(4.7, 9)	-150
Case 22	(59)	(0, 0, 0)	(0, 0, 0)	(0, 0)	(-4.7, 9)	99
Case 23	(60)	(0, 0, 0)	(0, 0, 0)	(1, 2)	(0, 0)	64

Σχήμα 4.: Τμήμα Βάσης Δεδομένων Υποκειμενικών Σεναρίων

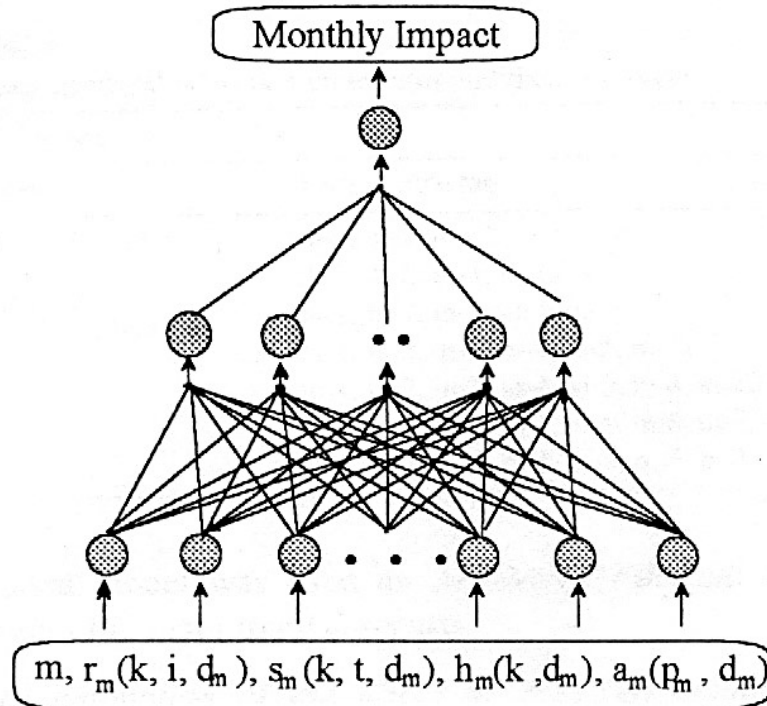
Ε) Κατασκευή Μοντέλου Νευρωνικού Δικτύου για Επεξεργασία Υποκειμενικών Σεναρίων (Judgmental Adjustment)

Η Βάση Δεδομένων με τα Υποκειμενικά Σενάρια είναι η είσοδος σε ένα Νευρωνικό Δίκτυο, κατάλληλα επιλεγμένο, το οποίο αφού **εκπαιδευτεί κατάλληλα**, θα μπορεί να **προβλέπει** την μελλοντική επίδραση που θα έχει ένας ή συνδυασμός υποκειμενικών παραγόντων που θα συμβούν μία χρονική περίοδο, στην χρονοσειρά.

Το Μοντέλο Νευρωνικού Δικτύου θα εκπαιδευτεί σαν «προγνώστης επίδρασης Υποκειμενικών Σεναρίων» χρησιμοποιώντας τη Βάση Δεδομένων. Η εκπαίδευσή του θα το εξειδικεύσει στην υπό-μελέτη χρονοσειρά με τους Υποκειμενικούς παράγοντες μόνο, που υπάρχουν στην Β.Δ.

Στο κεφάλαιο 3. ασχολούμαστε αναλυτικά με την κατασκευή ενός τέτοιου μοντέλου Νευρωνικού Δικτύου και την λειτουργία του.

Το σχήμα 5. δείχνει ένα τέτοιο Νευρωνικό Δίκτυο με εισόδους m=μήνας και τα Υποκειμενικά Γεγονότα αναλυμένα στις παραμέτρους των. Το “Monthly Impact” είναι η επίδραση των Υποκειμενικών Γεγονότων την εκάστοτε χρονική περίοδο (μήνας).



Σχήμα 5. Νευρωνικό Δίκτυο επεξεργασίας Υποκειμενικών Σεναρίων

ΣΤ) Κατασκευή Μοντέλου Νευρωνικού Δικτύου Παραγωγής Βασικής Τάσης (Main Trend Forecasting)

Η φιλτραρισμένη χρονοσειρά από το βήμα Γ. θα χρησιμοποιηθεί σαν είσοδος σε ένα δεύτερο μοντέλο Νευρωνικού Δικτύου το οποίο θα παράγει την Βασική Τάση (χρονοσειρά χωρίς την επίδραση των Υποκειμενικών Γεγονότων).

Το Μοντέλο αυτό θα πρέπει να επιλεγεί κατάλληλα και να **εμπαιδευτεί** ειδικευμένα σαν «**προγνώστης Βασικής Τάσης της Χρονοσειράς**» και ακολούθως θα **προλέγει** τις μελλοντικές τιμές της με βάση τις παρελθοντικές.

Στο σχήμα 6. φαίνονται οι εισοδοι (inputs) που χρειάζεται ένα τέτοιο μοντέλο νευρωνικού, προκειμένου να παράγει την πρόβλεψη (output). Παρατηρούμε ότι οι εισοδοι είναι προσεκτικά επιλεγμένοι ώστε να περιλαμβάνουν τις γειτονικές τιμές της χρονοσειράς ($m-1$, $m-2$, ...) καθώς όμως και τις

απομακρυσμένες. Έτσι εξασφαλίζουμε ότι η πρόβλεψη Βασικής Τάσης (m) θα είναι το δυνατόν ακριβέστερη.

Η Βάση Δεδομένων αυτή, αποτελεί την Βάση Δεδομένων των Σει Εκπαίδευσης με τα οποία θα «μάθει» το Νευρωνικό να προβλέπει.

Patterns	Inputs	Output
	Filtered Data Set at ($m-12, m-6, m-5, m-4, m-3, m-2, m-1$)	Filtered Data at (m)
Pattern 55	(885, 872, 902, 1039, 1031, 1176, 1088)	1,174
Pattern 56	(917, 902, 1039, 1031, 1176, 1088, 1174)	1,306
Pattern 57	(953, 1039, 1031, 1176, 1088, 1174, 1306)	1,259
Pattern 58	(928, 1031, 1176, 1088, 1174, 1306, 1259)	1,257
Pattern 59	(908, 1176, 1088, 1174, 1306, 1259, 1257)	1,182
Pattern 60	(1018, 1088, 1174, 1306, 1259, 1257, 1182)	1,326
Pattern 61	(872, 1174, 1306, 1259, 1257, 1182, 1326)	1,204
Pattern 62	(902, 1306, 1259, 1257, 1182, 1326, 1204)	1,097
Pattern 63	(1039, 1259, 1257, 1182, 1326, 1204, 1097)	1,408
Pattern 64	(1301, 1257, 1182, 1326, 1204, 1097, 1408)	1,419
Pattern 65	(1176, 1182, 1326, 1204, 1097, 1408, 1419)	1,529
Pattern 66	(1088, 1326, 1204, 1097, 1408, 1419, 1529)	1,499

Σχήμα 6.: Είσοδοι και έξοδοι Μοντέλου Νευρωνικού Δικτύου για την πρόβλεψη της Βασικής Τάσης. Τμήμα της Βάσης Δεδομένων Σει Εκπαίδευσης

Ζ) Ο Προγνώστης, ορίζει τις εισόδους στο Νευρωνικό Δίκτυο, δηλαδή τα υποκειμενικά σενάρια προς επεξεργασία (Judgmental Occurrences)

Στο Μοντέλο πρόβλεψης που παραθέτουμε, απαραίτητη είναι και η ύπαρξη ενός εξωτερικού προγνώστη, ο οποίος ορίζει τα Υποκειμενικά Γεγονότα που πρόκειται να συμβούν στο μέλλον.

Ο εξωτερικός προγνώστης δεν είναι απαραίτητο να είναι πρόσωπο, μπορεί να είναι και ένας συνδυασμός αλγορίθμων όπου ο ένας π.χ. υπολογίζει τις αργίες που πρόκειται να συμβούν με βάση το ημερολόγιο, ο άλλος μαζεύει τις ανακοινώσεις του υπουργείου συγκοινωνιών για τα αυτοκίνητα τον τύπο, τις κατατάσσει, τις αξιολογεί και υπολογίζει τις μελλοντικές εξαγγελίες της κυβέρνησης. κ.α.

H) Παραγωγή προβλέψεων από κάθε Μοντέλο Νευρωνικών Δικτύων και συνδυασμός αυτών (Additive Adjustment of Main Trend Forecast)

Από τα Ε. (με κατάλληλη είσοδο για τα Υποκειμενικά Γεγονότα που θα συμβούν Ζ.) και ΣΤ. (με είσοδο την παρελθοντική Βασική Τάση) έχουμε δύο δεδομένα για το μέλλον: α) την επίδραση που θα έχουν οι μελλοντικοί Υποκειμενικοί παράγοντες και β) την τιμή της Βασικής Τάσης στο μέλλον. Με την άθροιση αυτών, έχουμε την ολική πρόβλεψη για την υπό-μελέτη χρονοσειρά.

Από το παραπάνω μοντέλο πρόβλεψης κατά Jae Lee και Chang Seon Yum εμείς θα ασχοληθούμε μόνο με την ανάλυση των υποκειμενικών σεναρίων και την παραγωγή κριτικής πρόβλεψης και όχι με την πρόβλεψη της βασικής τάσης της χρονοσειράς και τον συνδυασμό των δύο προβλέψεων. Θα προσαρμόσουμε δηλαδή το αρχικό μοντέλο έτσι ώστε να περιλαμβάνει μόνο τα βήματα: Α, Β, Δ, Ε, Ζ και Η (έχοντας υπολογίσει μόνο την επίδραση που θα έχουν οι μελλοντικοί υποκειμενικοί παράγοντες).

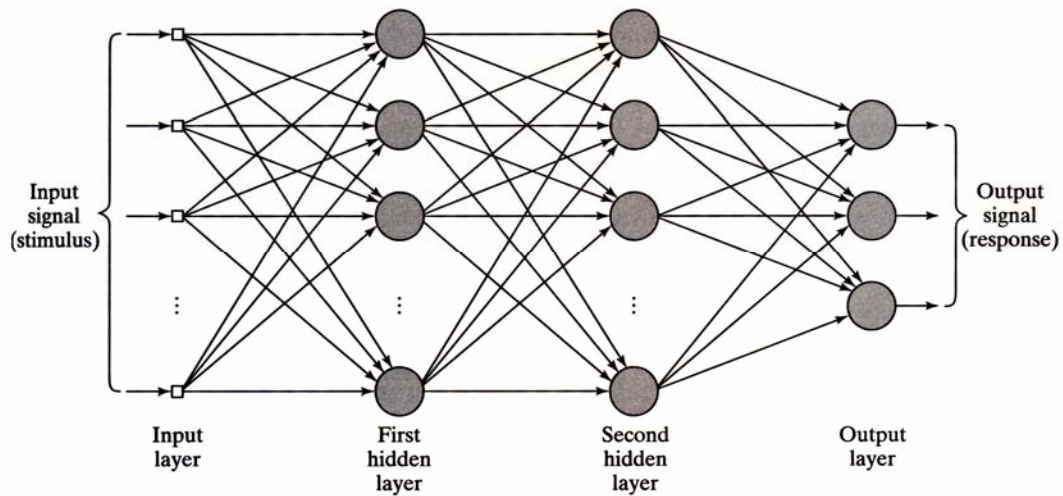


Μη επαναληπτικά Πολυστρωματικά Νευρωνικά Δίκτυα

3.1 Εισαγωγή

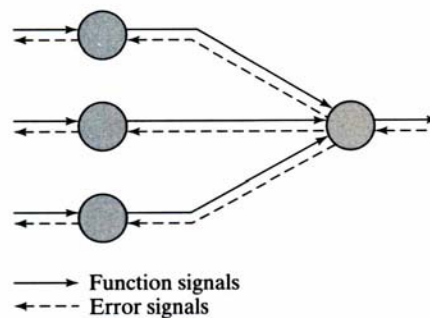
Στο κεφάλαιο αυτό θα ασχοληθούμε με τα μη επαναληπτικά νευρωνικά δίκτυα πολλών επιπέδων. Θα παραθέσουμε όλα τα θεωρητικά στοιχεία που αφορούν τα τελευταία και έχουν χρησιμοποιηθεί για την κατασκευή του Πληροφοριακού συστήματος. Συνοπτικά, θα ασχοληθούμε με τον αλγόριθμο Back Propagation ο οποίος χρησιμοποιείται για την εκπαίδευση του δικτύου καθώς και με ευριστικές μεθόδους που εφαρμόστηκαν σε αυτόν με σκοπό την καλύτερη λειτουργία του. Θα αναφερθούμε στον αλγόριθμο Optimal Brain Surgeon ο οποίος χρησιμοποιείται για το 'κλάδεμα' πολύπλοκων δικτύων και επιτυγχάνει την περικοπή άχρηστων συνάψεων και θα αναφέρουμε και πολλά άλλα θεωρητικά στοιχεία τα οποία λήφθηκαν υπόψη για την κατασκευή του πληροφοριακού συστήματος, όπως για παράδειγμα η μέθοδος Cross Validation σαν μέθοδος πρόωρου τερματισμού και επιλογής καλύτερου μοντέλου ή η μέθοδος Leave One Out, η οποία είναι μια παραλλαγή της πρώτης.

Στο σχήμα 1 στην επόμενη σελίδα φαίνεται το αρχιτεκτονικό διάγραμμα ενός μη επαναληπτικού πολυστρωματικού νευρωνικού δικτύου.



Σχήμα 1. Αρχιτεκτονικό διάγραμμα ενός μη επαναληπτικού πολυστρωματικού νευρωνικού δικτύου

Το συγκεκριμένο δίκτυο αποτελείται από n εισόδους, δύο κρυμμένα επίπεδα και 3 εξόδους. Στο σχήμα 2 φαίνεται η διάδοση των δύο σημάτων κατά τη διαδικασία της εκπαίδευσης. Το πρώτο σήμα είναι το σήμα εισόδου το οποίο διαδίδεται από την αρχή ως τους νευρώνες εξόδου και το δεύτερο τα σήμα σφάλματος, το οποίο διαδίδεται ανάστροφα.



Σχήμα 2. Τα δύο βασικά σήματα διάδοσης ενός μη επαναληπτικού πολυστρωματικού νευρωνικού δικτύου

Κάθε νευρώνας του δικτύου είναι σχεδιασμένος να κάνει δύο λειτουργίες.

1). Τον υπολογισμό του σήματος που θα εμφανιστεί στην έξοδό του ως συνάρτηση του σήματος που φτάνει στην είσοδό του.

2). Τον προσεγγιστικό υπολογισμό του διανύσματος κλίσης της επιφάνειας σφάλματος σε σχέση με τις συνάψεις που συνδέονται στην είσοδο του νευρώνα.

Παρακάτω παρατίθεται η σημειογραφία που έχει χρησιμοποιηθεί στα επόμενα κεφάλαια.

- Οι δείκτες i, j και k αναφέρονται σε νευρώνες του δικτύου.
- Τη χρονική στιγμή n το παράδειγμα με αριθμό σειράς n παρουσιάζεται στο δίκτυο
- Το σύμβολο $E(n)$ αναφέρεται στο στιγμιαίο άθροισμα των τετραγώνων των λαθών των νευρώνων του επιπέδου εξόδου στην επανάληψη n . Ο μέσος όρος όλων των $E(n)$ (για όλο δηλαδή το σετ εκπαίδευσης) συμβολίζεται με E_{av} και ονομάζεται μέση ενέργεια λάθους.

$$E(n) = \frac{1}{2} \cdot \sum_{j \in C} e_j^2(n)$$
 όπου το σύνολο C περιλαμβάνει όλους τους νευρώνες του επιπέδου εξόδου.

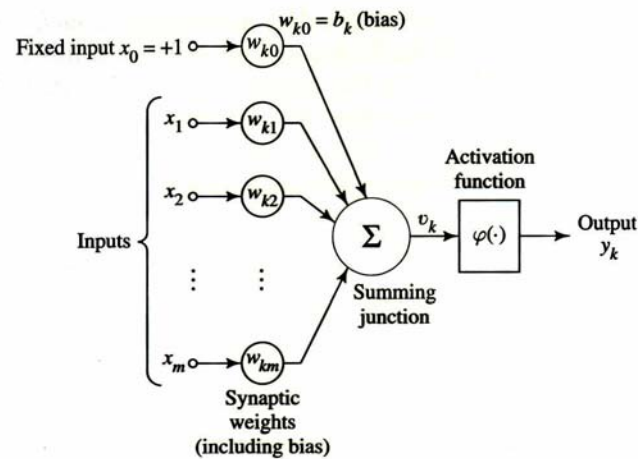
$$E_{av} = \frac{1}{N} \cdot \sum_{n=1}^N E(n)$$
 όπου το N είναι ο αριθμός των παραδειγμάτων που χρησιμοποιούνται για την εκπαίδευση του δικτύου.

- Το σύμβολο $e_j(n)$ αναφέρεται στο σήμα λάθους για τον νευρώνα j στην επανάληψη n .
- Το σύμβολο $d_j(n)$ αναφέρεται στην επιθυμητή έξοδο του νευρώνα j στην επανάληψη n και χρησιμοποιείται για τον υπολογισμό του $e_j(n)$.
- Το σύμβολο $y_j(n)$ αναφέρεται στο σήμα που εμφανίζεται στην έξοδο του νευρώνα j στην επανάληψη n .

Ισχύει: $e_j(n) = d_j(n) - y_j(n)$

- Το σύμβολο $w_{ji}(n)$ αναφέρεται στο βάρος της σύναψης που συνδέει την έξοδο του νευρώνα i με την είσοδο του νευρώνα j στην επανάληψη n . Η διόρθωση που εφαρμόζεται στο βάρος αυτής της σύναψης στην επανάληψη n συμβολίζεται με $\Delta w_{ji}(n)$.
- Το σταθμισμένο άθροισμα όλων των εισόδων του νευρώνα j στην επανάληψη n μαζί με την πόλωση του νευρώνα αποτελεί το σήμα εισόδου του νευρώνα και συμβολίζεται με $u_j(n)$
- Η συνάρτηση ενεργοποίησης που εκφράζει τη σχέση εισόδου εξόδου του νευρώνα j συμβολίζεται με $\phi_j(\bullet)$. Ισχύει: $y_j(n) = \phi_j(u_j(n))$.

- Η πόλωση του νευρώνα j συμβολίζεται με b_j . Αυτή προσομοιάζεται με μία σύναψη με βάρος $w_{j0} = b_j$ με σταθερή είσοδο ίση με +1. (Σχήμα 3)
- Το στοιχείο i του διανύσματος εισόδου συμβολίζεται με $x_i(n)$
- Ο ρυθμός εκπαίδευσης συμβολίζεται με η .
- Το σύμβολο m_l συμβολίζει τον αριθμό των νευρώνων στο επίπεδο $l, l=0,1, \dots, L$ όπου L είναι το 'βάθος' του δικτύου. Έτσι το m_0 συμβολίζει το μέγεθος του επιπέδου εισόδου, το m_1 το μέγεθος του πρώτου κρυμμένου επιπέδου και το m_L το μέγεθος του επιπέδου εξόδου. Μερικές φορές χρησιμοποιείται και ο συμβολισμός $M = m_L$.



Σχήμα 3. Μοντέλο νευρώνα σε ένα μη επαναληπτικό πολυστρωματικό νευρωνικό δίκτυο

3.2 Ο αλγόριθμος Back Propagation

3.2.1 Γενικά

Ο αλγόριθμος Back Propagation είναι ίσως σήμερα από τους πιο δημοφιλείς αλγορίθμους εκπαίδευσης, εξαιτίας κυρίως της εύκολης υλοποίησής του και βέβαια της παραλληλίας που παρουσιάζει στην εκτέλεση των βημάτων του. Βασίζεται κυρίως στη μέθοδο Steepest Descent η οποία δίνει λύση στο εξής πρόβλημα: Δεδομένου ότι έχουμε ένα αρχικό διάνυσμα $w(0)$, ποια είναι η ακολουθία διανυσμάτων $w(1)$, $w(2)$, ..., τέτοια ώστε σε κάθε επανάληψη του αλγορίθμου να προκαλεί μείωση σε μια συνεχώς διαφορίσιμη συνάρτηση κόστους $E(w)$, δηλαδή να ισχύει $E(w(n+1)) < E(w(n))$. Σύμφωνα με τη μέθοδο Steepest Descent η διόρθωση του διανύσματος που πρέπει να γίνει σε κάθε επανάληψη είναι $\Delta w(n) = w(n+1) - w(n) = -n \cdot g(n)$ όπου $g(n) = \nabla E(w)$. Σε αυτή ακριβώς την αρχή βασίζεται και ο Back Propagation. Εδώ η συνάρτηση κόστους είναι το τελικό σφάλμα E_w , το οποίο εξαρτάται από τα βάρη των συνάψεων του δικτύου τα οποία αποτελούν το διάνυσμα w . Σε επόμενες ενότητες θα φανεί αυτή ακριβώς η σχέση όπου και θα δώσουμε αναλυτικά τα βήματα του αλγορίθμου.

Κάθε επανάληψη του αλγορίθμου εκτελείται σε δύο φάσεις. Στην πρώτη γίνεται η διάδοση του σήματος από το επίπεδο εισόδου μέχρι το επίπεδο εξόδου όπου και υπολογίζεται το σφάλμα από την επιθυμητή έξοδο. Στη δεύτερη φάση υπολογίζεται και εφαρμόζεται η διόρθωση που πρέπει να γίνει στα βάρη των συνάψεων προκειμένου να μειωθεί το σφάλμα της εξόδου.

3.2.2 Σύνοψη του αλγορίθμου

Στην επόμενη σελίδα φαίνονται συνοπτικά τα βήματα του Back Propagation. Περαιτέρω πληροφορίες για το πως καταλήξαμε στα παρακάτω αποτελέσματα έχουν παραλειφθεί μιας και δεν είναι το αντικείμενο εξέτασης της συγκεκριμένης εργασίας.

1. Αρχικοποίηση

α). Αρχικοποίηση των συνάψεων και της πόλωσης του κάθε νευρώνα από μία κανονική κατανομή με μέση τιμή μηδέν και διασπορά τέτοια ώστε η τυπική απόκλιση των εισόδων του κάθε νευρώνα να βρίσκεται ενδιάμεσα του κορεσμένου και του γραμμικού τμήματος της συνάρτησης ενεργοποίησης. Η παραπάνω συνθήκη ικανοποιείται αν θέσουμε τη ζητούμενη διασπορά ίση με $\sigma_w = m^{-1/2}$, όπου m είναι ο αριθμός των συνάψεων εισόδου του κάθε νευρώνα.

β). Χρήση **σειριακής μεθόδου** παρουσίασης των παραδειγμάτων εκπαίδευσης. Ορίζουμε εποχή την παρουσίαση όλου του σετ εκπαίδευσης στο δίκτυο. Οι διόρθωση των συνάψεων του δικτύου θα γίνεται σε κάθε επανάληψη μετά από την παρουσίαση κάθε δείγματος. Η εκπαίδευση μπορεί να διαρκέσει αριετές εποχές.

γ). Χρήση του **υπερβολικού ημίτονου** ως συνάρτηση ενεργοποίησης: $\phi(u) = a \cdot \tanh(b \cdot u)$ με $a=1.7159$ και $b=2/3$.

δ). **Γραμμικός μετασχηματισμός του των διανυσμάτων εξόδου** έτσι ώστε η μέγιστη τιμή να παίρνει την τιμή $\max Value = d_j = a - \varepsilon$ και η ελάχιστη την $\min Value = -d_j = -a + \varepsilon$ με $\varepsilon=0.7159$.

ε). **Κανονικοποίηση της εισόδου.** Αφαίρεση τις μέσης τιμές από τα διανύσματα εκπαίδευσης και όμοιος γραμμικός μετασχηματισμός με τα διανύσματα εξόδου.

2). Παρουσίαση του δικτύου με μία εποχή δειγμάτων εκπαίδευσης

α). Τυχαία αρχικοποίηση της σειράς παρουσίασης των δειγμάτων του σετ εκπαίδευσης.

Για κάθε παράδειγμα:

2.1). Εμπρόσθιος υπολογισμός

$$\alpha). w_{j0}^{(l)}(n) = b_j^{(l)}(n), y_0^{(l-1)}(n) = +1, y_j^{(0)}(n) = x_j(n)$$

$$\beta). u_j^{(l)}(n) = \sum_{i=0}^m w_{ji}^{(l)}(n) \cdot y_i^{(l-1)}$$

$$\gamma). y_j^{(l)}(n) = \phi_j(u_j^{(l)}(n))$$

$$\delta). e_j(n) = d_j(n) - y_j^{(L)}(n)$$

2.2). Προς τα πίσω υπολογισμός

$$\alpha). \delta_j^{(l)}(n) = \begin{cases} e_j^{(l)}(n) \cdot \phi_j'(u_j^{(l)}(n)), & j \in \text{output layer} \\ \phi_j'(u_j^{(l)}(n)) \cdot \sum_k \delta_k^{(l+1)}(n) \cdot w_{kj}^{(l+1)}(n), & j \notin \text{output layer} \end{cases}$$

$$\beta). w_{ji}^{(l)}(n+1) = w_{ji}^{(l)}(n) + a \cdot \Delta w_{ji}^{(l)}(n-1) + \eta \cdot \delta_j^{(l)}(n) \cdot y_i^{(l-1)}(n), \quad 0 < |a| < 1$$

$$\gamma). \Delta w_{ji}^{(l)}(n) = w_{ji}^{(l)}(n+1) - w_{ji}^{(l)}(n)$$

3). Επανάληψη

α). Επανάληψη του βήματος 2 παρουσιάζοντας νέες εποχές με παραδείγματα στο δίκτυο μέχρι κάποιο κριτήριο τερματισμού (ενότητα 3.4 – Cross Validation).

4). Τέλος

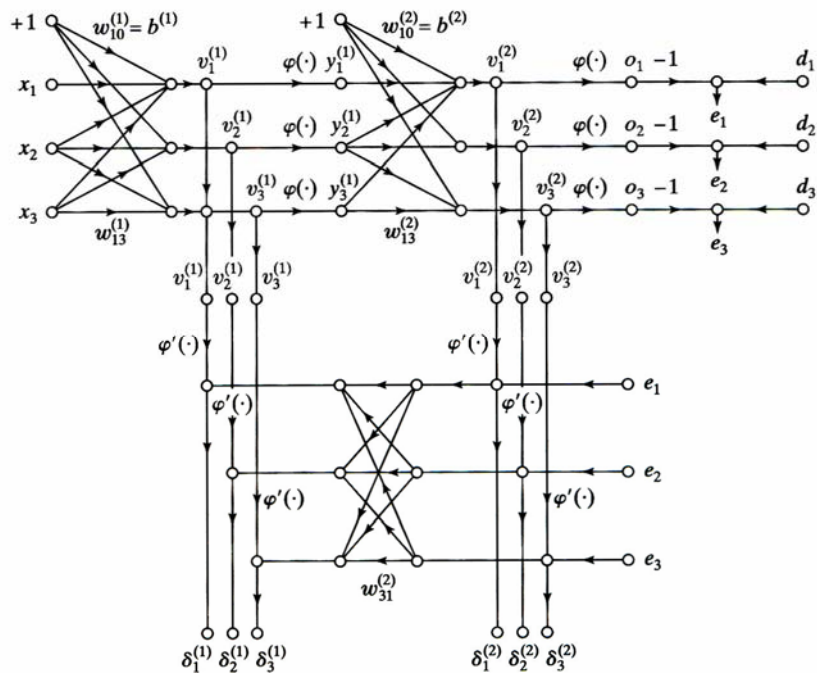
3.2.3 Παρατηρήσεις

Θα πρέπει να σημειωθεί ότι ο παραπάνω αλγόριθμος είναι ο Back Propagation με αρκετές προσθήκες οι οποίες βελτιώνουν τη λειτουργία του. Αυτές είναι κυρίως η αρχικοποίηση των βαρών των συνάψεων με τον τρόπο που περιγράφηκε, ο γραμμικός μετασχηματισμός της εισόδου και της εξόδου, η χρησιμοποίηση του υπερβολικού ημίτονου ως συνάρτησης ενεργοποίησης και η διαδοχική διόρθωση των βαρών μετά την παρουσίαση κάθε παραδείγματος.

Επίσης είναι πολύ σημαντικό να σημειώσουμε την προσθήκη που έγινε στον τύπο που περιγράφει τη διόρθωση των βαρών των συνάψεων σε σχέση με τον αντίστοιχο τύπο της μεθόδου Steepest Descent. Παρατηρούμε ότι στον τύπο : $w_{ji}^{(l)}(n+1) = w_{ji}^{(l)}(n) + a \cdot \Delta w_{ji}^{(l)}(n-1) + \eta \cdot \delta_j^{(l)}(n) \cdot y_i^{(l-1)}(n), \quad 0 < |a| < 1$ υπάρχει ένας επιπλέον όρος $+ a \cdot \Delta w_{ji}^{(l)}(n-1)$. Ο όρος αυτός εκφράζει κάποια μορφή μνήμης των διαδοχικών διορθώσεων που γίνονται σε κάθε σύναψη. Η σημαντικότητα του όρου είναι πολύ μεγάλη γιατί βοηθάει τον αλγόριθμο να συγκλίνει γρήγορα προς κάποιο τοπικό ελάχιστο. Αν για παράδειγμα μετά την τυχαία αρχικοποίηση των συνάψεων του δικτύου, βρεθούμε σε κάποιο σημείο της επιφάνειας σφάλματος με

πολύ μικρή κλίση, τότε ο αλγόριθμος θα συγκλίνει πολύ αργά στο τοπικό ελάχιστο, αφού η ταχύτητα σύγκλισης εξαρτάται από τον παράγοντα $\eta \cdot \delta_j^{(l)}(n) \cdot y_i^{(l-1)}(n)$ που εκφράζει την κλίση της επιφάνειας σφάλματος. Σε αυτή την περίπτωση τώρα όμως ο όρος $\Delta w_{ji}^{(l)}(n-1)$ θα έχει συνέχεια σταθερό πρόσημο με αποτέλεσμα να συνεισφέρει όλο και περισσότερο στην ενίσχυση της διόρθωσης λειτουργώντας κατά κάποιο τρόπο ολοκληρωτικά. Αντίθετα αν η επιφάνεια σφάλματος είναι απότομη με πολλές εναλλαγές ο όρος $\Delta w_{ji}^{(l)}(n-1)$ θα έχει εναλλασσόμενο πρόσημο και η συνεισφορά του θα είναι πολύ μικρότερη. Συνοψίζοντας ο πρόσθετος αυτός όρος εμποδίζει το δίκτυο να παγιδευτεί σε κάποιο σημείο της επιφάνειας με μικρή κλίση επιταχύνοντας τη σύγκλιση του αλγορίθμου κάθε φορά προς το τοπικό ελάχιστο. Ο νέος κανόνας διόρθωσης των βαρών που προκύπτει με την προσθήκη του όρου αυτού ονομάζεται generalized delta rule.

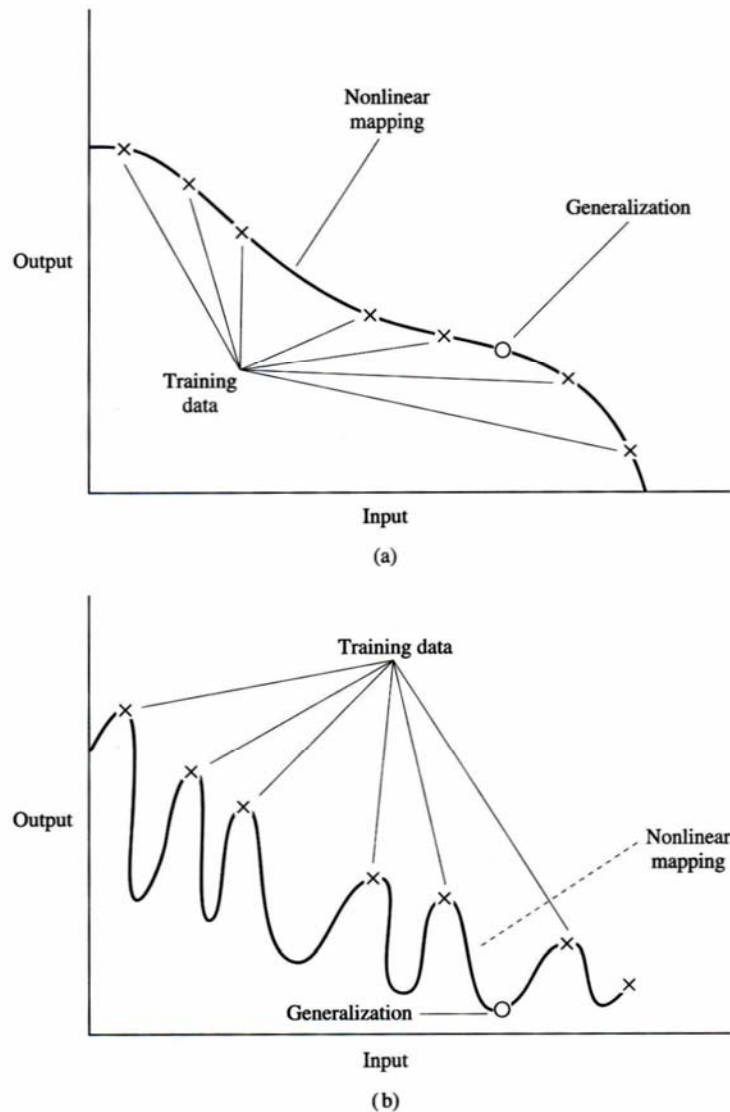
Οι τιμές που έχουμε επιλέξει για τις παραμέτρους η και α είναι 0.1 και 0.3 αντίστοιχα. Αυτές θεωρούνται αρκετά μικρές με αποτέλεσμα να εμποδίζουν τη γρήγορη σύγκλιση, αλλά να επιτυγχάνουν ομαλότερη σύγκλιση προς το τοπικό ελάχιστο. Στην περίπτωσή μας αυτό δε μας ενοχλεί ιδιαίτερα μιας και δεν πρόκειται για κάποια εφαρμογή που απαιτεί επεξεργασία σε πραγματικό χρόνο. Αντίθετα μας ικανοποιεί το γεγονός ότι η σύγκλιση γίνεται ομαλά και σταθερά.



Σχήμα 4. Διάγραμμα ροής σήματος του αλγορίθμου Back Propagation. Στο πάνω μέρος φαίνεται η εμπρόσθια διάδοση και στο κάτω η προς τα πίσω διάδοση.

3.3 Η έννοια της γενίκευσης

Γενίκευση ονομάζουμε την ιδιότητα των νευρωνικών δικτύων να μπορούν να δίνουν αποτελέσματα πολύ κοντά στα πραγματικά, για δεδομένα εισόδου που δεν έχουν ξαναδεί. Δηλαδή αν υποθέσουμε ότι εκπαιδεύουμε ένα νευρωνικό δίκτυο με ένα σετ δεδομένων εκπαίδευσης και μετά το βάλουμε να δώσει αποτελέσματα για δεδομένα εισόδου τα οποία δεν ανήκουν στο σετ εκπαίδευσης, τότε η ορθότητα των αποτελεσμάτων αποτελεί και κριτήριο για το πόσο καλά μπορεί το δίκτυο να γενικεύει. Ουσιαστικά η εκπαίδευση του δικτύου με τον Back Propagation προοικονομεί τον καθορισμό των βαρών των συνάψεων του και επομένως την μη γραμμική αντιστοιχισή εισόδου – εξόδου. Άρα το δίκτυο μαθαίνει μια μη γραμμική συνάρτηση με την οποία προσπαθεί να προσομοιάσει όσο το δυνατόν πιστότερα την αντιστοιχισή αυτή. Στο σχήμα 5 παρακάτω φαίνονται δύο τέτοιες μη γραμμικές αντιστοιχίσεις που έχει μάθει να κάνει ένα ANN. Η πρώτη αποτελεί παράδειγμα καλής γενίκευσης ενώ η δεύτερη κακής.



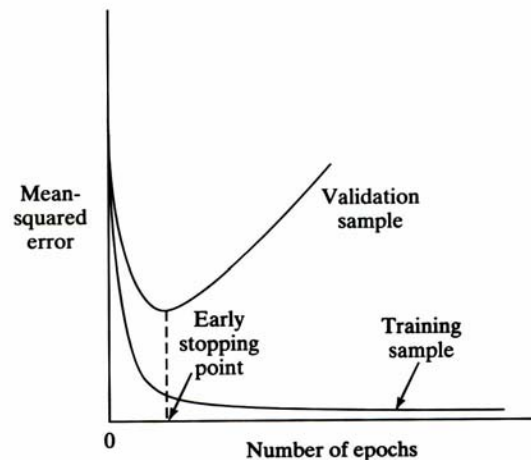
Σχήμα 5. (a) Αποτέλεσμα καλής γενίκευσης (b) Αποτέλεσμα κακής γενίκευσης

Στην πρώτη περίπτωση το δίκτυο έχει εκπαιδευτεί με τέτοιο τρόπο έτσι ώστε η μη γραμμική συνάρτηση που έχει μάθει να αποτελεί μια επιτυχημένη μη γραμμική παρεμβολή των δεδομένων εξόδου. Στη δεύτερη όμως περίπτωση βλέπουμε ότι η αντίστοιχη μη γραμμική παρεμβολή δεν είναι επιτυχημένη. Έτσι σε δεδομένα που το δίκτυο δεν έχει ξαναδεί, υπάρχει η πιθανότητα μεγάλου σφάλματος. Το αποτέλεσμα αυτό οφείλεται κυρίως στην υπερεκπαίδευση. Όταν το δίκτυο αφήνεται πολλές εποχές να εκπαιδεύεται τότε στην προσπάθειά του να μειώσει όλο και περισσότερο το λάθος E_{av} , αναγκάζεται να

προσαρμόσει έτσι τις συνάψεις του προκαλώντας μια έντονη μη γραμμικότητα η οποία επαληθεύει μεν το σετ εκπαίδευσης αλλά όχι αναγκαστικά και τη μη γραμμική σχέση εισόδου – εξόδου που εμείς θέλουμε να μάθει. Επίσης μπορεί να οφείλεται και σε τυχόν θόρυβο που έχουν τα δεδομένα εξόδου. Εμείς δε θα θέλαμε σε καμία περίπτωση να μάθει το δίκτυό μας το θόρυβο αυτό. Σε αυτό το πολύ σημαντικό πρόβλημα, δηλαδή το πότε θα πρέπει να σταματάει η εκπαίδευση του δικτύου χωρίς να προκαλείται υπερεκπαίδευση αλλά μια ικανοποιητική παρεμβολή στα δεδομένα εξόδου δίνει λύση η μέθοδος Cross Validation η οποία εφαρμόστηκε με επιτυχία στο πληροφοριακό σύστημα και εξετάζεται στην επόμενη ενότητα.

3.4 Η μέθοδος Cross Validation

Η μέθοδος αυτή αποτελεί το κριτήριο τερματισμού του αλγορίθμου Back Propagation και δίνει λύση στο πρόβλημα της υπερεκπαίδευσης που εξετάσαμε στην προηγούμενη ενότητα. Η φιλοσοφία της μεθόδου είναι εξαιρετικά απλή. Απλά το σύνολο δεδομένων εκπαίδευσης χωρίζεται σε δύο υποσύνολα, ένα σύνολο εκτίμησης και ένα σύνολο ελέγχου. Το πρώτο σύνολο χρησιμοποιείται για να εκπαιδεύσει το δίκτυο και το δεύτερο για την επικύρωσή του, τον έλεγχο δηλαδή της ικανότητας γενίκευσης του δικτύου σε δεδομένα που δεν έχει ξαναδεί. Στο σχήμα 6 φαίνεται αυτή ακριβώς η διαδικασία. Το ANN εκπαιδεύεται με το σετ επικύρωσης και ταυτόχρονα ελέγχεται με το σετ ελέγχου ανά μια περίοδο εποχών. Τη στιγμή που το σφάλμα απόκρισης στο σετ ελέγχου αρχίζει να αυξάνεται τότε σταματάει πρόωρα και η εκπαίδευση. Τη στιγμή αυτή είναι και που το δίκτυο έχει μάθει μια μη γραμμική συνάρτηση η οποία μπορεί και παρεμβάλλει ικανοποιητικά στα δεδομένα εξόδου χωρίς να έχει υπερεκπαιδευτεί ή να έχει μάθει τυχόν θόρυβο. Από εκεί και μετά βλέπουμε πως στην προσπάθειά του το δίκτυο να μειώσει το σφάλμα E_{av} μπορεί να προσομοιάσει μια έντονα μη γραμμική συνάρτηση η οποία επαληθεύει μεν το σετ εκπαίδευσης, δε μπορεί όμως να γενικεύσει σε άγνωστα δεδομένα.



Σχήμα 6. Παρουσίαση της μεθόδου Cross Validation και του σημείου πρόωρου τερματισμού.

Σημασία έχει επίσης το σημείο στο οποίο πρέπει να χωρίσουμε το αρχικό σύνολο εκπαίδευσης σε δύο υποσύνολα. Αυτό εξαρτάται από το συνολικό αριθμό των συνάψεων του δικτύου και το συνολικό αριθμό των δειγμάτων του αρχικού συνόλου. Έτσι αν N ο συνολικός αριθμός δειγμάτων στο αρχικό σύνολο εκπαίδευση και W ο συνολικός αριθμός συνάψεων στο ANN τότε:

- Αν $N > 30W$ (Asymptotic mode) τότε έχουμε πάρα πολλά δεδομένα εκπαίδευσης. Σε αυτή την περίπτωση δεν υπάρχει λόγος πρόωρου τερματισμού. Εδώ το κριτήριο τερματισμού για τον Back Propagation είναι η μεταβολή του σφάλματος E_{av} να γίνει μικρότερη του 0.01% από εποχή σε εποχή.

- Αν $N < 30W$ (Nonasymptotic mode) τότε έχουμε $r_{opt} = 1 - \frac{\sqrt{2 \cdot w - 1} - 1}{2 \cdot (w - 1)}$. Αν για παράδειγμα $W=100$,

τότε $r_{opt} = 0.07$, δηλαδή 93% του αρχικού συνόλου θα γίνει το σετ εκτίμησης και 7% το σετ ελέγχου.

- Αν $N < 30W$ και N αρκετά μικρό (έχουμε δηλαδή πολύ λίγα αρχικά δεδομένα) τότε χρησιμοποιούμε μια παραλλαγή της μεθόδου Cross Validation, τη μέθοδο Leave One Out. Σύμφωνα με αυτή $N-1$ παραδείγματα χρησιμοποιούνται για την εκπαίδευση του δικτύου και 1 για τον έλεγχο του. Αυτό επαναλαμβάνεται N φορές επιλέγοντας κυκλικά κάθε φορά ένα διαφορετικό παράδειγμα ελέγχου. Το σφάλμα εδώ E_{av} υπολογίζεται πάνω στα N διαφορετικά παραδείγματα ελέγχου και η εποχή ορίζεται ως το τέλος μιας επανάληψης ελέγχου και με τα N παραδείγματα.

3.5 Ο αλγόριθμος Optimal Brain Surgeon

3.5.1 Γενικά

Το πρόβλημα που προσπαθούμε να αντιμετωπίσουμε με τον συγκεκριμένο αλγόριθμο είναι η μείωση της πολυπλοκότητας ενός νευρωνικού δικτύου περικόπτοντας ‘άχρηστες’ συνάψεις χωρίς όμως να προκαλέσουμε μεγάλη αύξηση στο σφάλμα εξόδου E_{av} . Αυτός εφαρμόζεται κυρίως σε μεγάλα δίκτυα όπου και έχει θεαματικά αποτελέσματα. Τέτοιο παράδειγμα αποτελεί το NETalk ANN το οποίο έχει ένα κρυμμένο επίπεδο και 18.000 συνάψεις. Η μείωση του δικτύου που προκύπτει με τον OBS χάρη στους Sejnowski και Rosenberg (1987) είναι μόλις στις 1560 συνάψεις. Απαραίτητος περιορισμός για να εφαρμοστεί ο συγκεκριμένος αλγόριθμος είναι το νευρωνικό δίκτυο να έχει εκπαιδευτεί πρώτα σε κάποιο τοπικό ελάχιστο. Στην επόμενη ενότητα παραθέτουμε συνοπτικά τα βήματα του αλγορίθμου. Στο Κεφάλαιο 5 βρίσκεται και ο πηγαίος κώδικας του OBS μαζί με τον υπόλοιπο κώδικα του πληροφοριακού συστήματος.

3.5.2 Ο Optimal Brain Surgeon συνοπτικά

1). **Εκπαίδευση** του δικτύου σε ένα τοπικό ελάχιστο της επιφάνειας λάθους E_{av} .

2). **Υπολογισμός του διανύσματος** $\xi(n) = \frac{1}{\sqrt{N}} \cdot \frac{\partial F(w, x(n))}{\partial w}$ όπου N ο συνολικός αριθμός των

παραδειγμάτων εκπαίδευσης, F η συνάρτηση απεικόνισης εισόδου στην έξοδο και w , το w -by-1 διάνυσμα με w να συμβολίζει το συνολικό αριθμό συνάψεων. Η F για ένα ANN τριών κρυμμένων επιπέδων και μιας εξόδου είναι:

$$F(w, x(n)) = \phi\left(\sum_{k=0}^{m_3} w_{1k} \cdot \phi\left(\sum_{l=0}^{m_2} w_{kl} \cdot \phi\left(\sum_{j=0}^{m_1} w_{lj} \cdot \phi\left(\sum_{i=0}^{m_0} w_{ji} \cdot x_i\right)\right)\right)\right)$$

- Για ένα νευρώνα του πρώτου κρυμμένου επιπέδου έχουμε:

$$\frac{\partial F(w, x(n))}{\partial w_{ji}^{(1)}} = \phi'(u_1^{(4)}) \cdot \phi'(u_j^{(1)}) \cdot x_i \cdot \sum_{k=0}^{m_3} (w_{1k} \cdot \phi'(u_k^{(3)})) \cdot \sum_{l=0}^{m_2} w_{kl} \cdot \phi'(u_l^{(2)}) \cdot w_{lj}$$

- Για ένα νευρώνα κάποιου άλλου κρυμμένου επιπέδου έχουμε: (πχ. για το δεύτερο κρυμμένο επίπεδο)

$$\frac{\partial F(w, x(n))}{\partial w_{lj}^{(2)}} = \phi'(u_1^{(4)}) \cdot \phi'(u_l^{(2)}) \cdot \phi(u_j^{(1)}) \cdot \sum_{k=0}^{m_3} (w_{1k} \cdot \phi'(u_k^{(3)})) \cdot w_{kl}$$

- Για το νευρώνα του επιπέδου εξόδου έχουμε:

$$\frac{\partial F(w, x(n))}{\partial w_{1k}^{(4)}} = \phi'(u_1^{(4)}) \cdot \phi'(u_k^{(3)})$$

Με παρόμοιο τρόπο υπολογίζονται και οι μερικές παράγωγοι για ένα ANN N κρυμμένων επιπέδων.

3). Υπολογισμός του αντίστροφου πίνακα H^{-1} από τον τύπο:

$$H^{-1}(n) = H^{-1}(n-1) - \frac{H^{-1}(n-1) \cdot \xi(n) \cdot \xi^T(n) \cdot H^{-1}(n-1)}{1 + \xi^T(n) \cdot H^{-1}(n-1) \cdot \xi(n)}$$

με $H^{-1}(0) = \delta^{-1} \cdot I$ όπου δ είναι ένας πολύ μικρός θετικός ακέραιος.

4). Εύρεση του i στο οποίο αντιστοιχεί στο μικρότερη ποσότητα:

$$S_i = \frac{w_i^2}{2 \cdot [H^{-1}]_{i,i}}, \text{ όπου } [H^{-1}]_{i,i} \text{ είναι το στοιχείο στη θέση } i,i \text{ του πίνακα } H.$$

Αν $S_i \ll E_{av}$ τότε διέγραψε τη σύναψη i και επανέλαβε το βήμα 4 αλλιώς πήγαινε στο βήμα 5.

5). Ενημέρωσε όλα τα βάρη των συνάψεων του δικτύου σύμφωνα με τις ποσότητες:

$$\Delta w = -\frac{w_i}{[H^{-1}]_{i,i}} \cdot H^{-1} \cdot 1_i, \text{ όπου } 1_i \text{ είναι το μοναδιαίο διάνυσμα του οποίου τα στοιχεία είναι όλα 0 εκτός}$$

από το στοιχείο i . Πήγαινε στο βήμα 2.

6). Σταμάτησε εάν κανένα $S_i \ll E_{av}$ δεν μπορεί να βρεθεί.

7). Επανειπαιδευσε το δίκτυο.

Το Πληροφοριακό Σύστημα

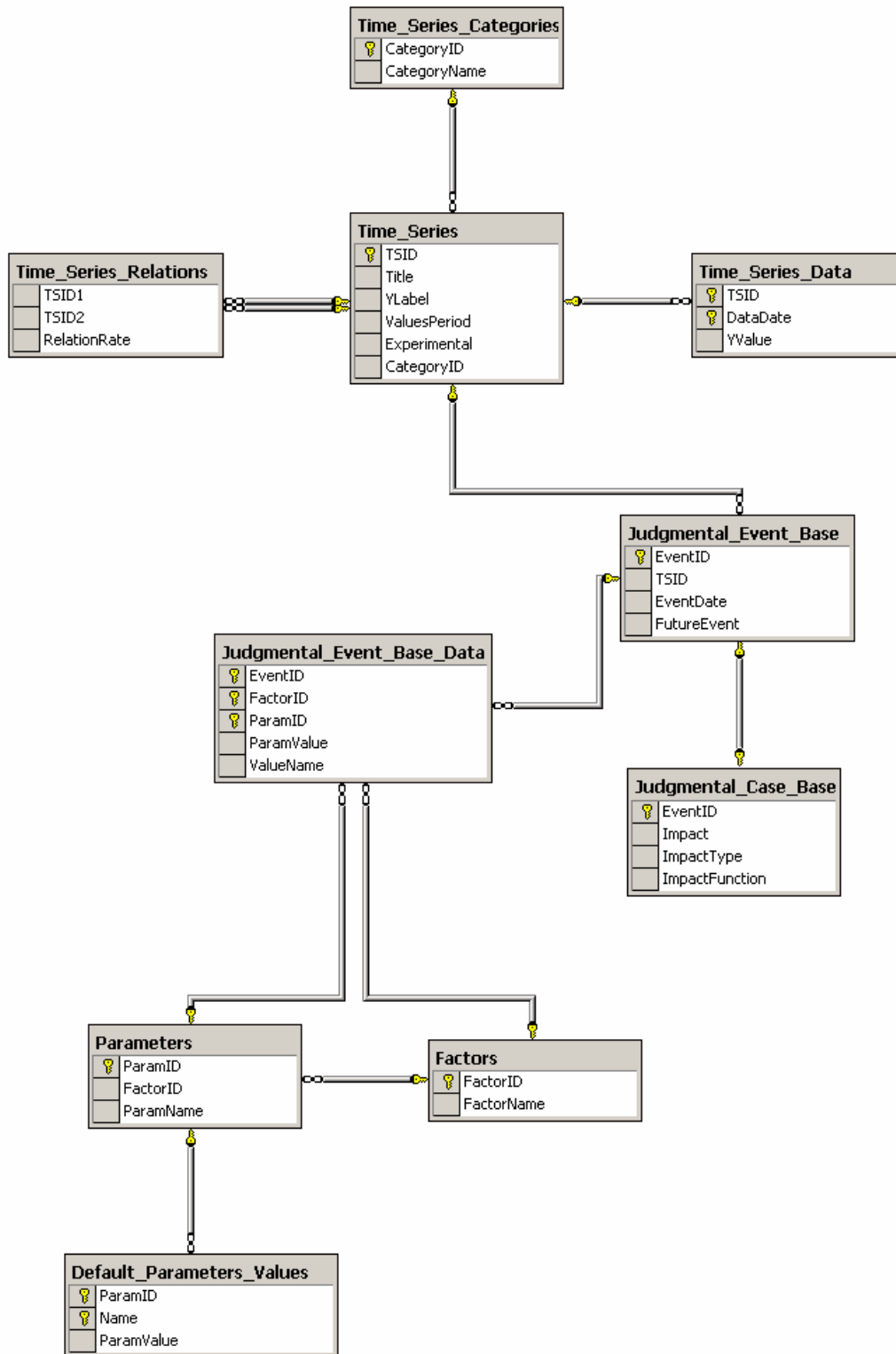
4.1 Εισαγωγή

Στο κεφάλαιο αυτό θα παρουσιάσουμε την εφαρμογή που κατασκευάστηκε στα πλαίσια της συγκεκριμένης πτυχιακής εργασίας εξηγώντας αναλυτικά όλες τις δυνατότητες που παρέχει και τις λειτουργίες που επιτελεί. Για το λόγο αυτό έχουμε εισάγει και πολλά screenshots τα οποία συνοδεύουν το κείμενο. Ουσιαστικά το τέταρτο κεφάλαιο αποτελεί το manual της εφαρμογής η οποία υλοποιεί εκτός άλλων, όλη τη θεωρία των δύο προηγούμενων κεφαλαίων.

Η γλώσσα που χρησιμοποιήθηκε για την κατασκευή της εφαρμογής είναι η C++ και ο compiler ο C++ Builder 5 της Borland. Η βάση δεδομένων που συνοδεύει το πληροφοριακό σύστημα φτιάχτηκε με τον SQL Server 2000 της Microsoft.

4.2 Η Βάση Δεδομένων

4.2.1 Το σχήμα της βάσης δεδομένων.



Σε απόλυτη συμφωνία με το κεφάλαιο 2 και τους ορισμούς που δόθηκαν, οι πίνακες της Βάσης Δεδομένων υλοποιούνε τα παρακάτω:

- Ο πίνακας `Time_Series` περιέχει τα στοιχεία των χρονοσειρών που είναι αποθηκευμένες στη ΒΔ. Περιέχει στοιχεία όπως τον τίτλο της χρονοσειράς, την περιοδικότητα των δεδομένων της, αν είναι πειραματική ή όχι, και την κατηγορία στην οποία ανήκει.
- Ο πίνακας `Time_Series_Data` περιέχει τα δεδομένα όλων των χρονοσειρών της ΒΔ. Δηλαδή ημερομηνίες και αντίστοιχες τιμές.
- Ο πίνακας `Time_Series_Categories` περιέχει διάφορες κατηγορίες στις οποίες μπορούμε να κατατάξουμε τις χρονοσειρές για την ευκολότερη διαχείρισή τους μέσα στη ΒΔ.
- Ο πίνακας `Time_Series_Relations` περιέχει τις συσχετίσεις των χρονοσειρών που ορίζει ο χρήστης του πληροφοριακού συστήματος. Έτσι μια χρονοσειρά μπορεί να συσχετίζεται με μια άλλη ως προς το βαθμό ομοιότητας και συμπεριφοράς απέναντι σε όμοια υποκειμενικά γεγονότα, με κάποιο βαθμό.
- Ο πίνακας `Judgmental_Event_Base` είναι ο πίνακας υποκειμενικών γεγονότων. Περιέχει τα ιστορικά γεγονότα που εμφανίζονται σε κάθε χρονοσειρά αλλά και τα μελλοντικά τα οποία ορίζει ο χρήστης προκειμένου να κάνει κάποια πρόβλεψη. Ο πίνακας αυτός περιέχει μόνο την ημερομηνία εμφάνισης των γεγονότων και το κλειδί `EventID` που είναι χαρακτηριστικό για κάθε γεγονός.
- Ο πίνακας `Judgmental_Case_Base` είναι ο πίνακας υποκειμενικών σεναρίων. Ουσιαστικά αντιστοιχεί κάποιο υποκειμενικό γεγονός με την επίδρασή του στη χρονοσειρά. Ο συνδυασμός αυτών των δύο σύμφωνα και με το κεφάλαιο 2 ονομάζεται υποκειμενικό σενάριο. Ο πίνακας αυτός θα μπορούσε και να συγχωνευτεί με τον προηγούμενο (`Judgmental_Event_Base`) χωρίς τεχνικά να περιοριστούν οι λειτουργικές δυνατότητες της ΒΔ.
- Ο πίνακας `Judgmental_Event_Base_Data` περιέχει τους παράγοντες με τις παραμέτρους τους για κάθε υποκειμενικό γεγονός που εμφανίζεται σε κάθε χρονοσειρά στη ΒΔ. Είναι ίσως λειτουργικά ο σημαντικότερος πίνακας γιατί πάνω στα δεδομένα του στηρίζεται όλη η φιλοσοφία λειτουργίας της εφαρμογής. Κάθε πλειάδα αυτού του πίνακα, όπως φαίνεται και από το σχήμα της ΒΔ, αποτελεί μια παράμετρο ενός παράγοντα ενός υποκειμενικού γεγονότος μιας χρονοσειράς. Η πλειάδα αυτή περιέχει και την τιμή της παραμέτρου. Το πληροφοριακό σύστημα με δεδομένα που παίρνει από τους τρεις τελευταίους πίνακες εφαρμόζει τρεις βασικούς αλγορίθμους πρόβλεψης που θα δούμε παρακάτω.
- Ο πίνακας `Factors` περιέχει τους ορισμούς των παραγόντων που έχει δώσει ο χρήστης μέσα από την εφαρμογή.

- Ο πίνακας Parameters περιέχει τους ορισμούς των παραμέτρων για κάθε παράγοντα που έχει δώσει ο χρήστης μέσα από την εφαρμογή.
- Τέλος, ο πίνακας Default_Parameters_Values περιέχει κάποιες δυνατές τιμές παραμέτρων που αν θέλει μπορεί να ορίσει ο χρήστης. Τις τιμές αυτές μπορεί να τις αναθέτει στις αντίστοιχες παραμέτρους που εμφανίζονται σε κάποιο υποκειμενικό γεγονός σε κάποια χρονοσειρά.

Παρακάτω παραθέτουμε και τον SQL κώδικα που δημιουργεί την παραπάνω βάση δεδομένων.

4.2.2 SQL script

```
CREATE DATABASE JudgmentalDB  
GO
```

```
use JudgmentalDB  
GO
```

```
CREATE TABLE Default_Parameters_Values  
(  
    ParamID      int          NOT NULL ,  
    Name         varchar(250) NOT NULL ,  
    ParamValue   float        NOT NULL  
)  
GO
```

```
CREATE TABLE Factors  
(  
    FactorID      int          IDENTITY (1, 1) NOT NULL ,  
    FactorName    varchar(250) NOT NULL  
)  
GO
```

```
CREATE TABLE Judgmental_Case_Base  
(  
    EventID       int          NOT NULL ,  
    Impact        float        NOT NULL ,  
    ImpactType    int          NOT NULL ,  
    ImpactFunction varchar(250) NOT NULL  
)  
GO
```

```
CREATE TABLE Judgmental_Event_Base
(
    EventID      int          IDENTITY (1, 1)  NOT NULL ,
    TSID         int          NOT NULL ,
    EventDate    datetime    NOT NULL ,
    FutureEvent  bit          NOT NULL
)
GO
```

```
CREATE TABLE Judgmental_Event_Base_Data
(
    EventID      int          NOT NULL ,
    FactorID     int          NOT NULL ,
    ParamID      int          NOT NULL ,
    ParamValue   float        NOT NULL ,
    ValueName    varchar(250) NULL
)
GO
```

```
CREATE TABLE Parameters
(
    ParamID      int          IDENTITY (1, 1)  NOT NULL ,
    FactorID     int          NOT NULL ,
    ParamName    varchar(250) NOT NULL
)
GO
```

```
CREATE TABLE Time_Series
(
    TSID         int          IDENTITY (1, 1)  NOT NULL ,
    Title        varchar(250) NOT NULL ,
    YLabel       varchar(250) NULL ,
    ValuesPeriod int          NULL ,
    Experimental bit          NULL ,
    CategoryID   int          NULL
)
GO
```

```
CREATE TABLE Time_Series_Categories
(
    CategoryID   int          IDENTITY (1, 1)  NOT NULL ,
    CategoryName varchar(50)  NOT NULL
)
GO
```

```
CREATE TABLE Time_Series_Data
(
    TSID          int          NOT NULL ,
    DataDate      datetime    NOT NULL ,
    YValue        float       NOT NULL
)
GO
```

```
CREATE TABLE Time_Series_Relations
(
    TSID1         int          NOT NULL ,
    TSID2         int          NOT NULL ,
    RelationRate  int          NOT NULL
)
GO
```

```
ALTER TABLE Default_Parameters_Values
    WITH NOCHECK
    ADD CONSTRAINT PK_Default_Parameters_Values PRIMARY KEY CLUSTERED
(
    ParamID,
    Name
)
GO
```

```
ALTER TABLE Factors
    WITH NOCHECK
    ADD CONSTRAINT PK_Factors PRIMARY KEY CLUSTERED
(
    FactorID
)
GO
```

```
ALTER TABLE Judgmental_Case_Base
    WITH NOCHECK
    ADD CONSTRAINT PK_Judgmental_Case_Base PRIMARY KEY CLUSTERED
(
    EventID
)
GO
```

```
ALTER TABLE Judgmental_Event_Base
    WITH NOCHECK
    ADD CONSTRAINT PK_Judgmental_Event_Base PRIMARY KEY CLUSTERED
    (
        EventID
    )
GO
```

```
ALTER TABLE Judgmental_Event_Base_Data
    WITH NOCHECK
    ADD CONSTRAINT PK_Judgmental_Event_Base_Data PRIMARY KEY CLUSTERED
    (
        EventID,
        FactorID,
        ParamID
    )
GO
```

```
ALTER TABLE Parameters
    WITH NOCHECK
    ADD CONSTRAINT PK_Parameters PRIMARY KEY CLUSTERED
    (
        ParamID
    )
GO
```

```
ALTER TABLE Time_Series
    WITH NOCHECK
    ADD CONSTRAINT PK_Time_Series PRIMARY KEY CLUSTERED
    (
        TSID
    )
GO
```

```
ALTER TABLE Time_Series_Categories
    WITH NOCHECK
    ADD CONSTRAINT PK_Time_Series_Categories PRIMARY KEY CLUSTERED
    (
        CategoryID
    )
GO
```

```
ALTER TABLE Time_Series_Data
    WITH NOCHECK
    ADD CONSTRAINT PK_Time_Series_Data PRIMARY KEY CLUSTERED
    (
        TSID,
        DataDate
    )
GO
```

```
ALTER TABLE Time_Series
    WITH NOCHECK
    ADD CONSTRAINT IX_Time_Series UNIQUE NONCLUSTERED
    (
        Title
    )
GO
```

```
ALTER TABLE Default_Parameters_Values
    ADD CONSTRAINT FK_Default_Parameters_Values_Parameters FOREIGN KEY
    (
        ParamID
    )
    REFERENCES Parameters
    (
        ParamID
    )
    ON DELETE CASCADE ON UPDATE CASCADE
GO
```

```
ALTER TABLE Judgmental_Case_Base
    ADD CONSTRAINT FK_Judgmental_Case_Base_Judgmental_Event_Base FOREIGN KEY
    (
        EventID
    )
    REFERENCES Judgmental_Event_Base
    (
        EventID
    )
    ON DELETE CASCADE ON UPDATE CASCADE
GO
```

```
ALTER TABLE Judgmental_Event_Base
    ADD CONSTRAINT FK_Judgmental_Event_Base_Time_Series FOREIGN KEY
    (
        TSID
    )
    REFERENCES Time_Series
    (
        TSID
    )
    ON DELETE CASCADE ON UPDATE CASCADE
GO
```

```
ALTER TABLE Judgmental_Event_Base_Data
    ADD CONSTRAINT FK_Judgmental_Event_Base_Data_Factors FOREIGN KEY
    (
        FactorID
    )
    REFERENCES Factors
    (
        FactorID
    ),
    CONSTRAINT FK_Judgmental_Event_Base_Data_Judgmental_Event_Base FOREIGN KEY
    (
        EventID
    )
    REFERENCES Judgmental_Event_Base
    (
        EventID
    )
    ON DELETE CASCADE ON UPDATE CASCADE,
    CONSTRAINT FK_Judgmental_Event_Base_Data_Parameters FOREIGN KEY
    (
        ParamID
    )
    REFERENCES Parameters
    (
        ParamID
    )
    ON DELETE CASCADE ON UPDATE CASCADE
GO
```

```
ALTER TABLE Parameters
  ADD CONSTRAINT FK_Parameters_Factors FOREIGN KEY
  (
    FactorID
  )
  REFERENCES Factors
  (
    FactorID
  )
  ON DELETE CASCADE ON UPDATE CASCADE
GO
```

```
ALTER TABLE Time_Series
  ADD CONSTRAINT FK_Time_Series_Time_Series_Categories FOREIGN KEY
  (
    CategoryID
  )
  REFERENCES Time_Series_Categories
  (
    CategoryID
  )
  ON UPDATE CASCADE
GO
```

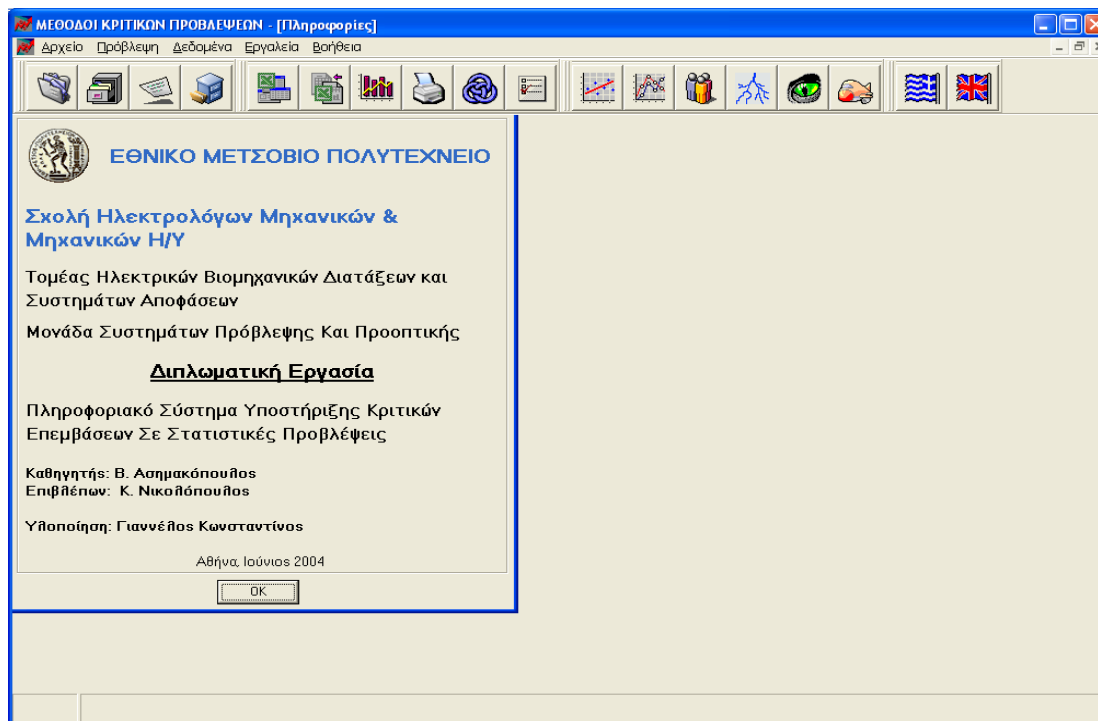
```
ALTER TABLE Time_Series_Data
  ADD CONSTRAINT FK_Time_Series_Data_Time_Series FOREIGN KEY
  (
    TSID
  )
  REFERENCES Time_Series
  (
    TSID
  )
  ON DELETE CASCADE ON UPDATE CASCADE
GO
```

```
ALTER TABLE Time_Series_Relations
  ADD CONSTRAINT FK_Time_Series_Relations_Time_Series FOREIGN KEY
  (
    TSID1
  )
  REFERENCES Time_Series
  (
    TSID
  ),
```


```
CONSTRAINT FK_Time_Series_Relations_Time_Series1 FOREIGN KEY  
(  
    TSID2  
)  
REFERENCES Time_Series  
(  
    TSID  
)  
GO
```

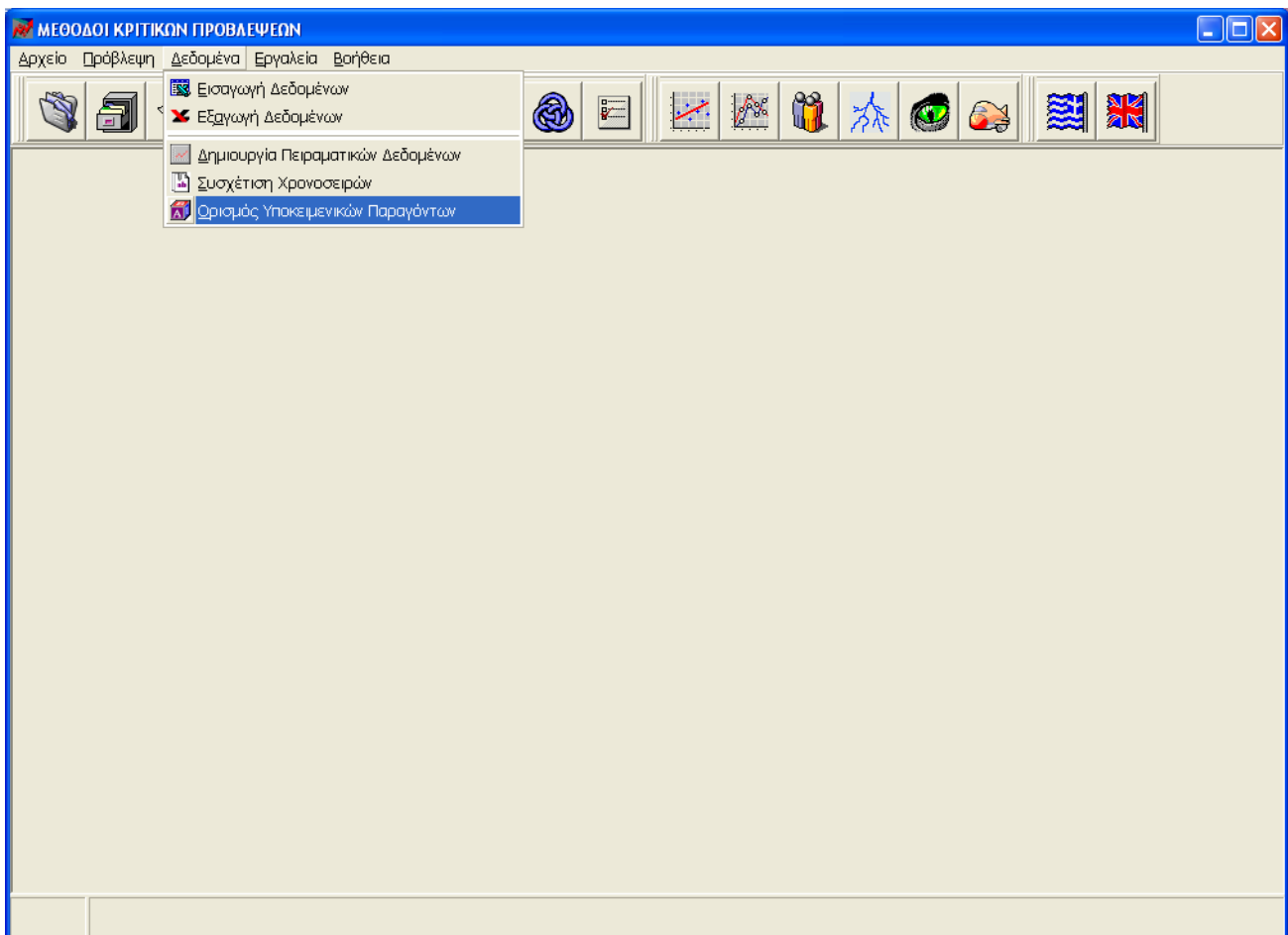
4.3 Το πληροφοριακό σύστημα

Η συγκεκριμένη ενότητα αποτελεί το manual της εφαρμογής, η κατασκευή της οποίας είχε και το μεγαλύτερο βάρος σε αυτήν την εργασία. Παρακάτω θα δούμε αρκετά screenshots με τη βοήθεια των οποίων θα εξηγήσουμε αναλυτικά τις δυνατότητες και τις λειτουργίες που μπορεί ο χρήστης να επιτελέσει. Στην επόμενη εικόνα βλέπουμε το πρώτο στιγμιότυπο τρεξίματος που εμφανίζεται στην οθόνη και αποτελείται από μία φόρμα καλωσορίσματος.

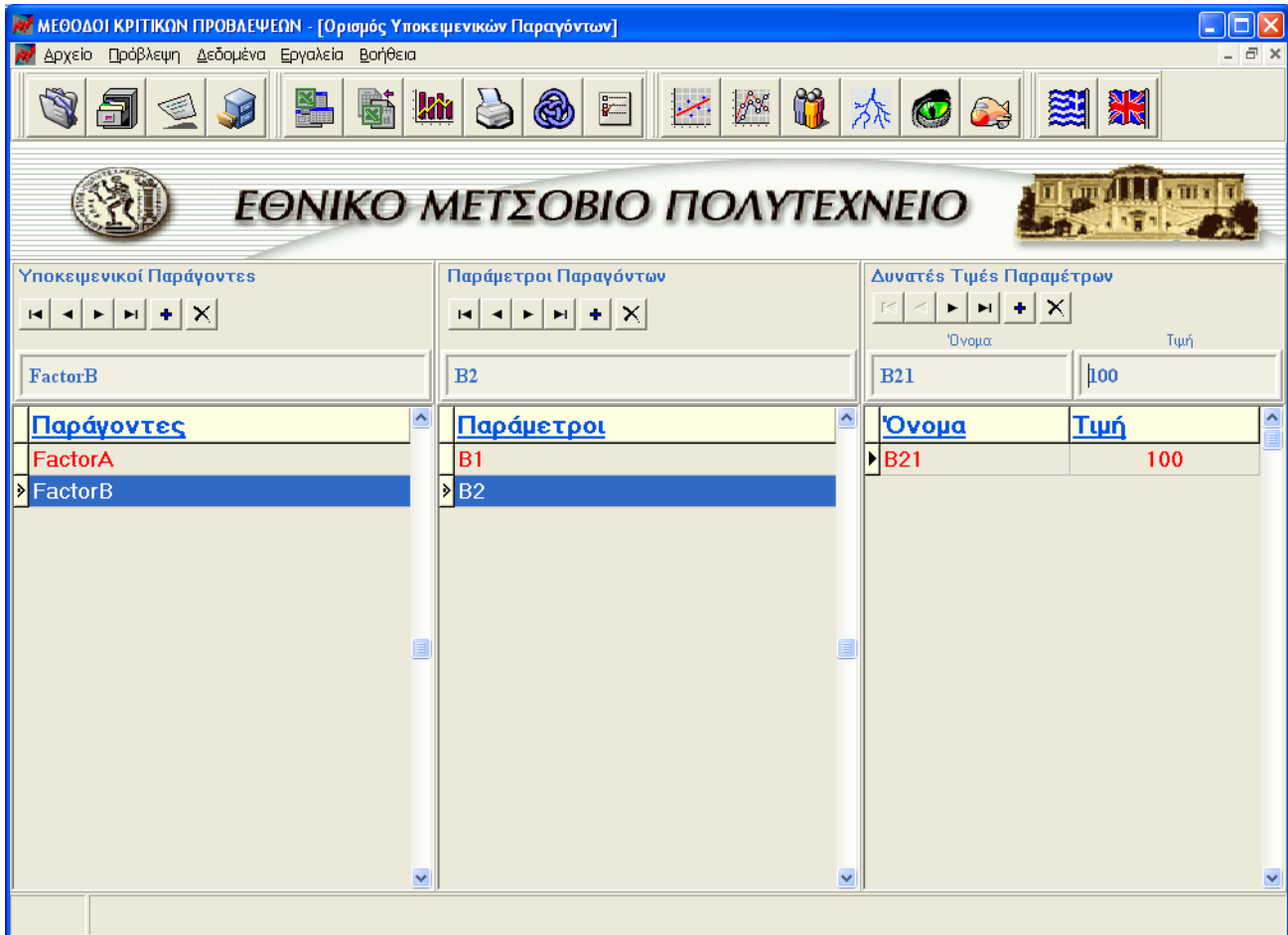


4.3.1 Ορισμός Υποκειμενικών Παραγόντων και των Παραμέτρων τους

Μια από τις δυνατότητες που δίνει η εφαρμογή στο χρήστη είναι ο ορισμός των Υποκειμενικών Παραγόντων και των Παραμέτρων τους. Αυτό γίνεται μέσα από τη φόρμα που εμφανίζεται είτε πατώντας το κουμπί  είτε μέσα από το βασικό menu όπως φαίνεται παρακάτω.



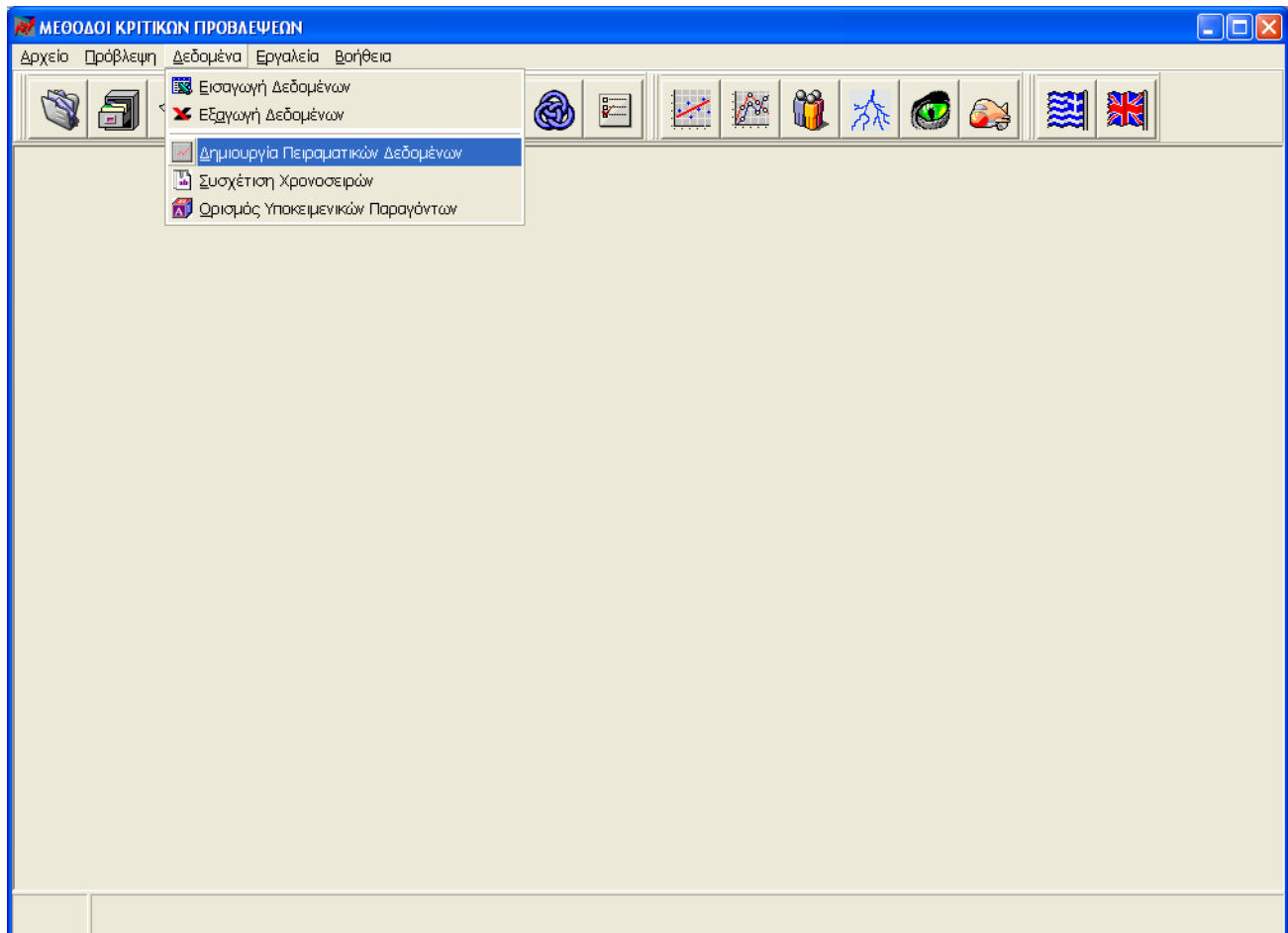
Στην επόμενη φόρμα η οποία φαίνεται στην επόμενη σελίδα μπορούμε να εισάγουμε στη βάση Υποκειμενικών Παραγόντων ένα Παράγοντα, μία Παράμετρο ή μία δυνατή τιμή μιας Παραμέτρου απλά συμπληρώνοντας τα κατάλληλα στοιχεία στα αντίστοιχα κουτιά και χρησιμοποιώντας τα κουμπιά πλοήγησης.



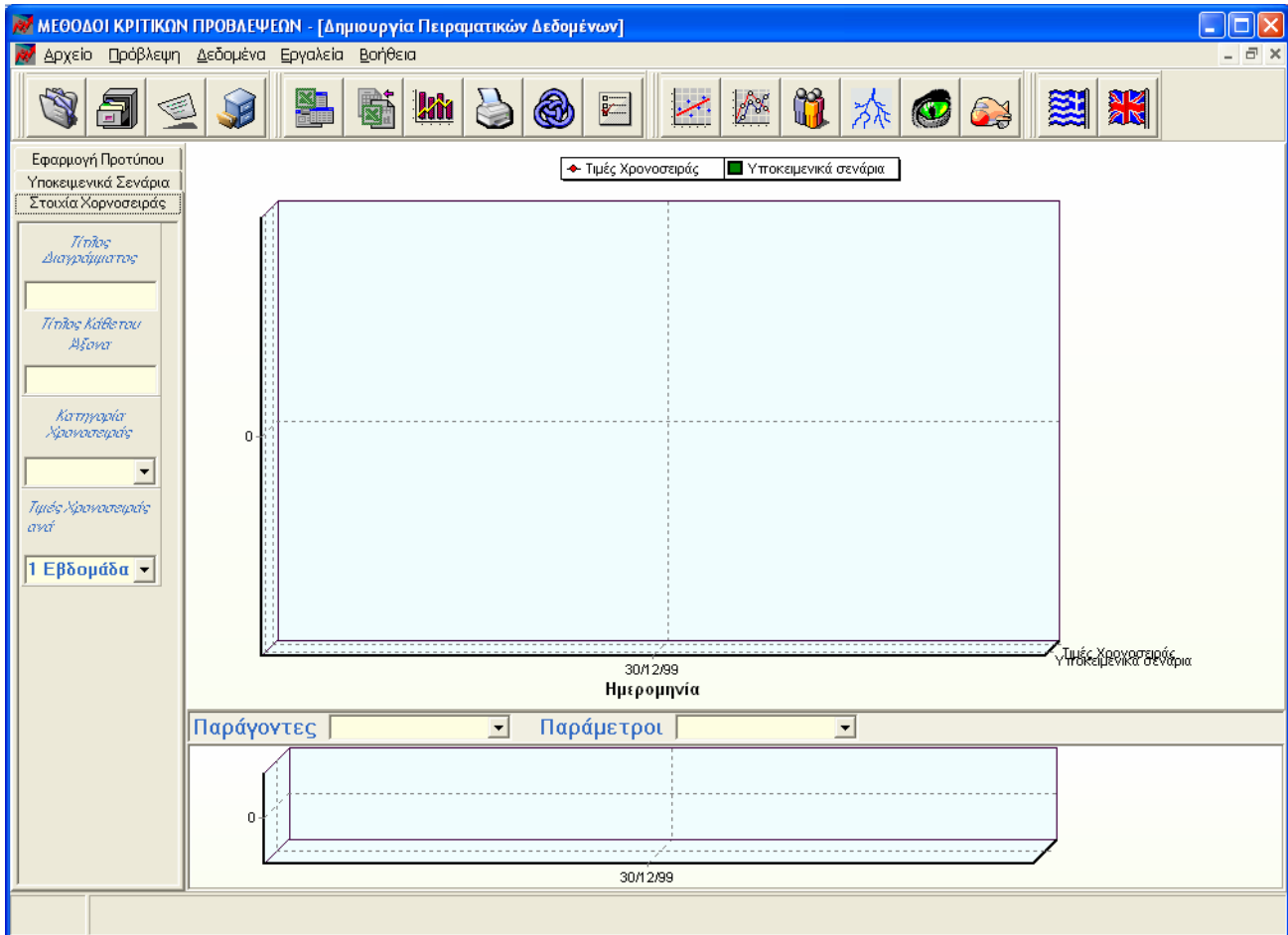
Εδώ βλέπουμε ότι έχουμε εισάγει δύο Παράγοντες τους FactorA και FactorB. Για τον FactorB βλέπουμε ότι έχουμε εισάγει δύο παραμέτρους, τις B1 και B2. Για την παράμετρο B2 έχουμε εισάγει μία δυνατή τιμή, την B21. Για τον Παράγοντα FactorA έχουμε εισάγει μία μόνο παράμετρο την A1. Τα κουμπιά πλοήγησης μας δίνουν τη δυνατότητα και να διαγράψουμε τα επιλεγμένα στοιχεία. Η πολλαπλή επιλογή στοιχείων γίνεται κρατώντας πατημένο το ctrl και επιλέγοντας με το mouse.

4.3.2 Δημιουργία Πειραματικών Δεδομένων

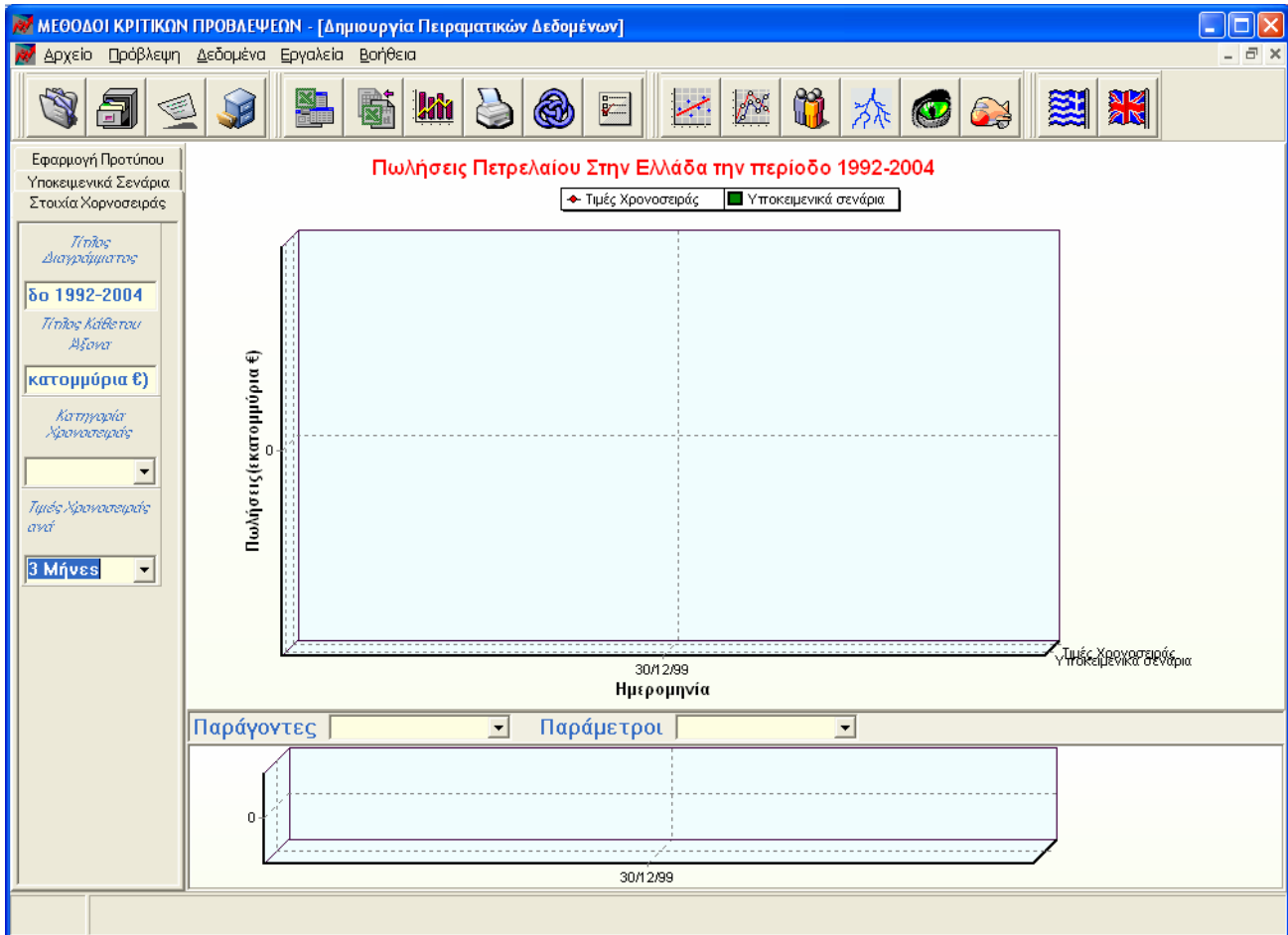
Μία από τις κυριότερες λειτουργίες που μπορεί ο χρήστης να επιτελέσει είναι η δημιουργία πειραματικών δεδομένων. Βασικός στόχος είναι η προσομοίωση πραγματικών χρονοσειρών και υποκειμενικών σεναρίων με σκοπό την επαλήθευση και σύγκριση αποτελεσμάτων των διαφόρων μεθόδων πρόβλεψης. Η δημιουργία μιας πειραματικής χρονοσειράς μπορεί να γίνει είτε από το κυρίως menu είτε πατώντας το κουμπί με το εικονίδιο:



Η επόμενη φόρμα που εμφανίζεται είναι αυτή των πειραματικών χρονοσειρών και φαίνεται στην επόμενη σελίδα.

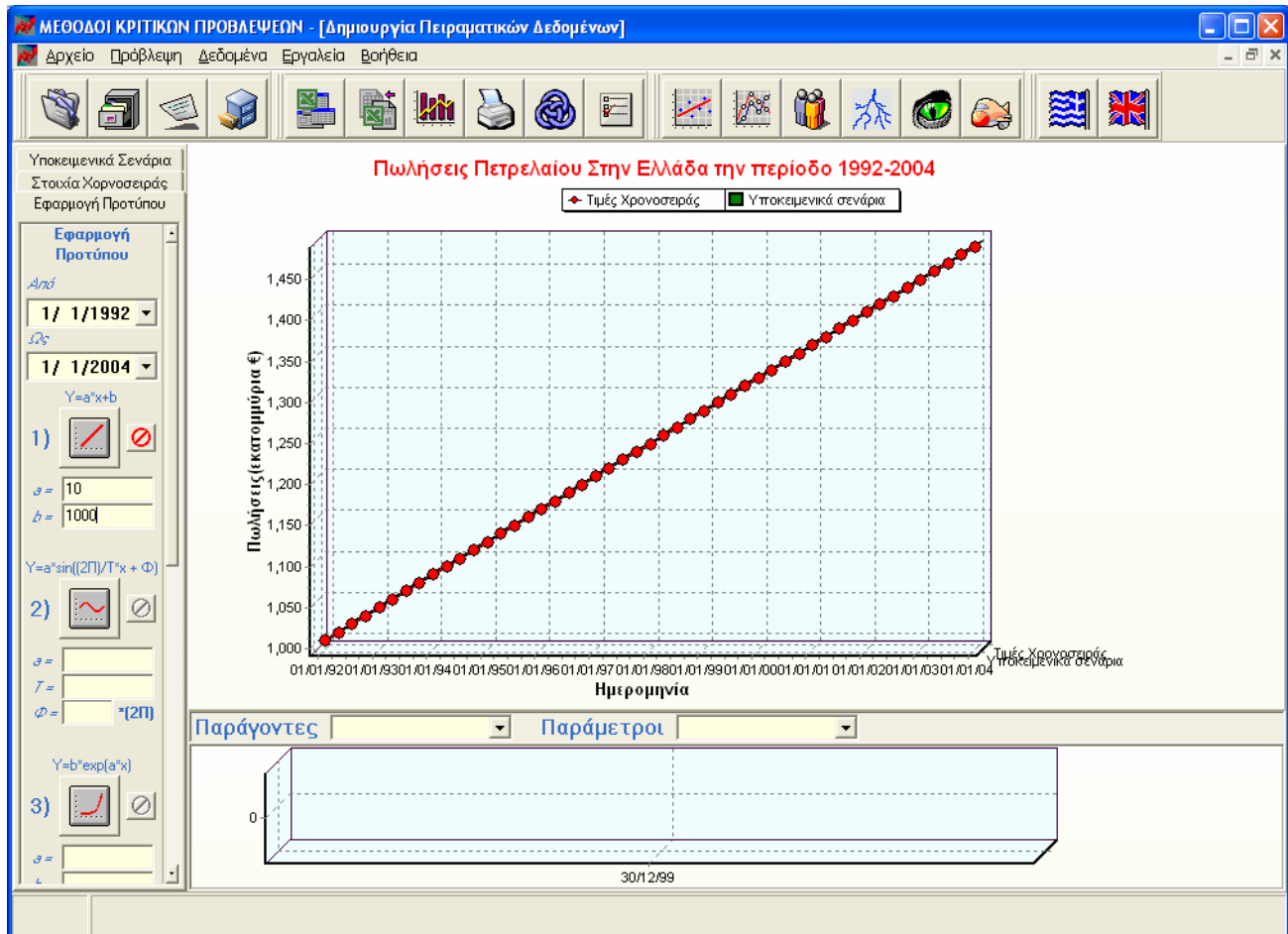


Στα αριστερά της φόρμας βλέπουμε τα τρία βασικά tab της φόρμας με τη βοήθεια των οποίων επιτελούνται όλες οι λειτουργίες. Το αρχικό tab που εμφανίζεται είναι αυτό με τίτλο 'Στοιχεία Χρονοσειράς'. Εδώ μπορούμε να πληκτρολογήσουμε τα βασικά στοιχεία μιας χρονοσειράς όπως τον τίτλο της, τον τίτλο του μεγέθους που απεικονίζεται στον κάθετο άξονα, την περιοδικότητα των δεδομένων και να επιλέξουμε την κατηγορία στην οποία ανήκει. Για παράδειγμα έστω φτιάχνουμε μια χρονοσειρά με τίτλο 'Πωλήσεις Πετρελαίου στην Ελλάδα την περίοδο 1992-2004' και τριμηνιαία δεδομένα. Τότε η εικόνα της εφαρμογής πρέπει να είναι κάπως έτσι:

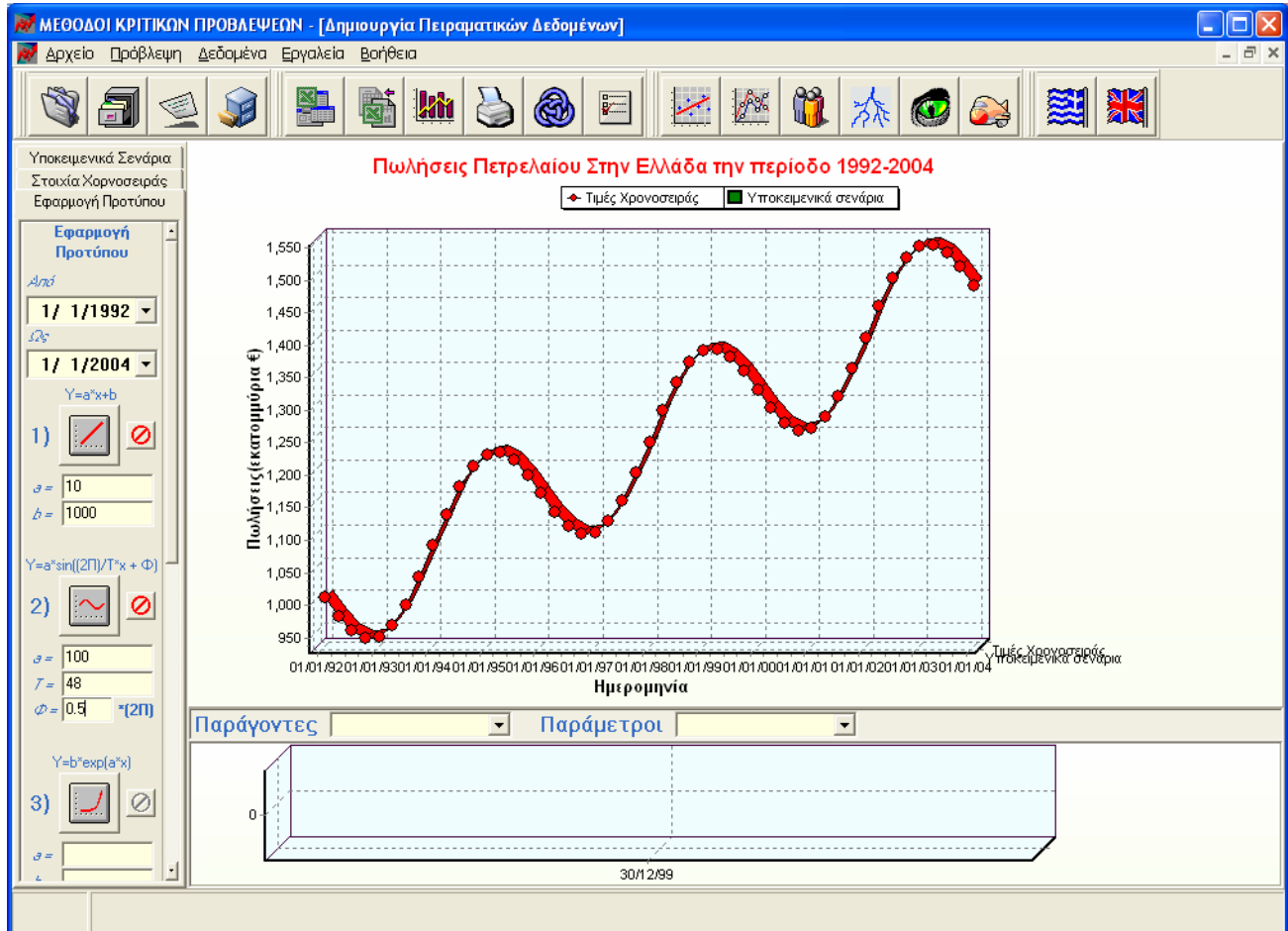


Πατώντας τώρα στο tab εφαρμογή προτύπου εμφανίζεται η εικόνα της επόμενης σελίδας. Στα αριστερά τώρα βλέπουμε τις νέες επιλογές που μας δίνονται. Εδώ μπορούμε να δώσουμε σχεδόν όποια μορφή θέλουμε στην πειραματική χρονοσειρά εφαρμόζοντας κάποια βασικά πρότυπα. Αρχικά διαλέγουμε για ποιο χρονικό διάστημα θέλουμε να εφαρμοστεί κάποιο πρότυπο. Στην περίπτωση μας διαλέγουμε 1-1-1992 ως 1-1-2004. Τα βασικά πρότυπα που μπορούμε να εφαρμόσουμε είναι τα:

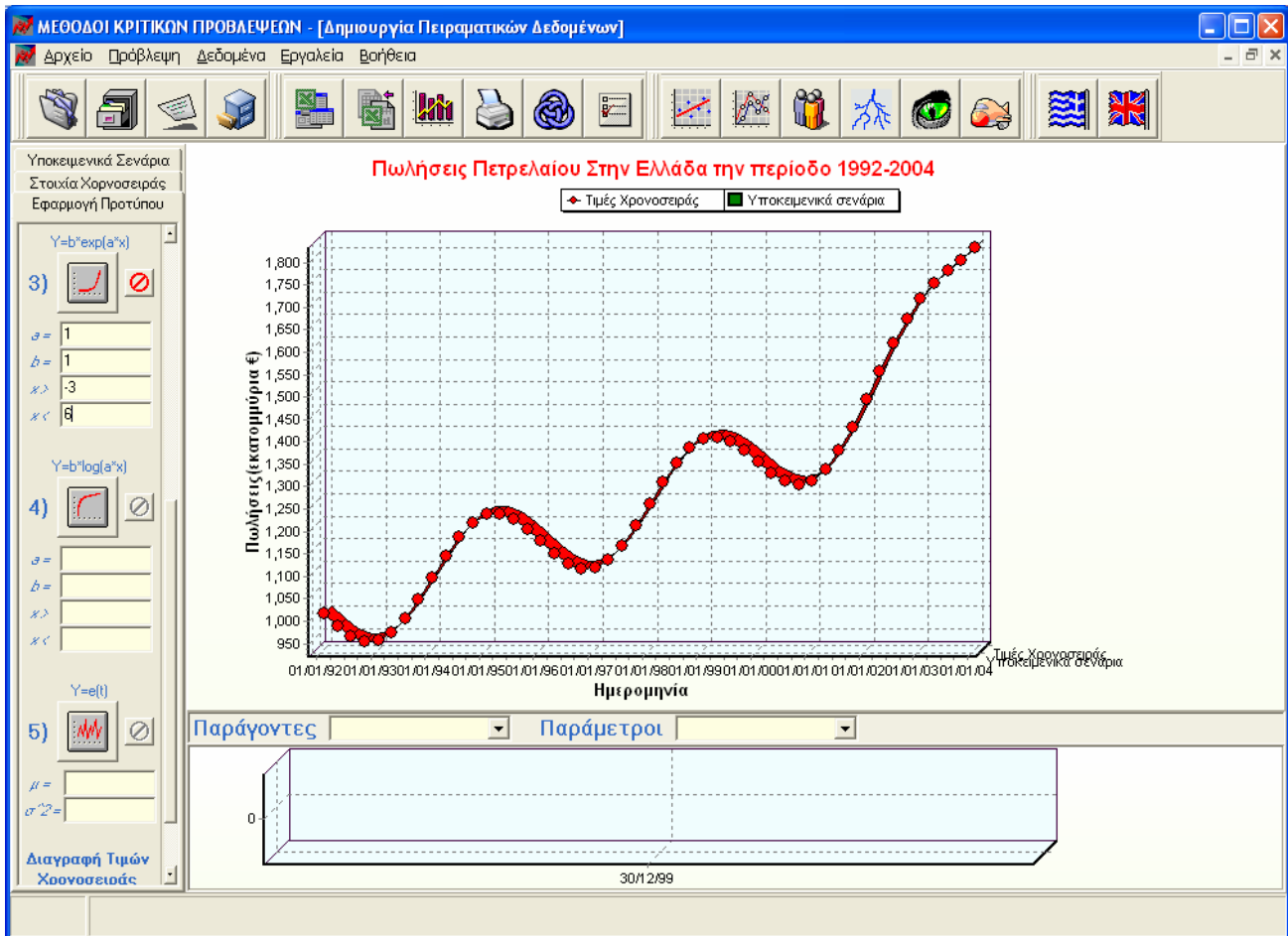
1). **Απλό γραμμικό πρότυπο.** Αποτέλεσμα αυτού είναι να προστεθεί στα δεδομένα της χρονοσειράς για την επιλεγμένη περίοδο η γραμμική συνάρτηση $y = a \cdot x + b$ με το χρήστη να ορίζει τα a και b . Στο παράδειγμά μας έστω επιλέγουμε $a=10$ και $b=1000$. Η εικόνα που θα πρέπει τώρα να βλέπουμε στην οθόνη μας φαίνεται παρακάτω.



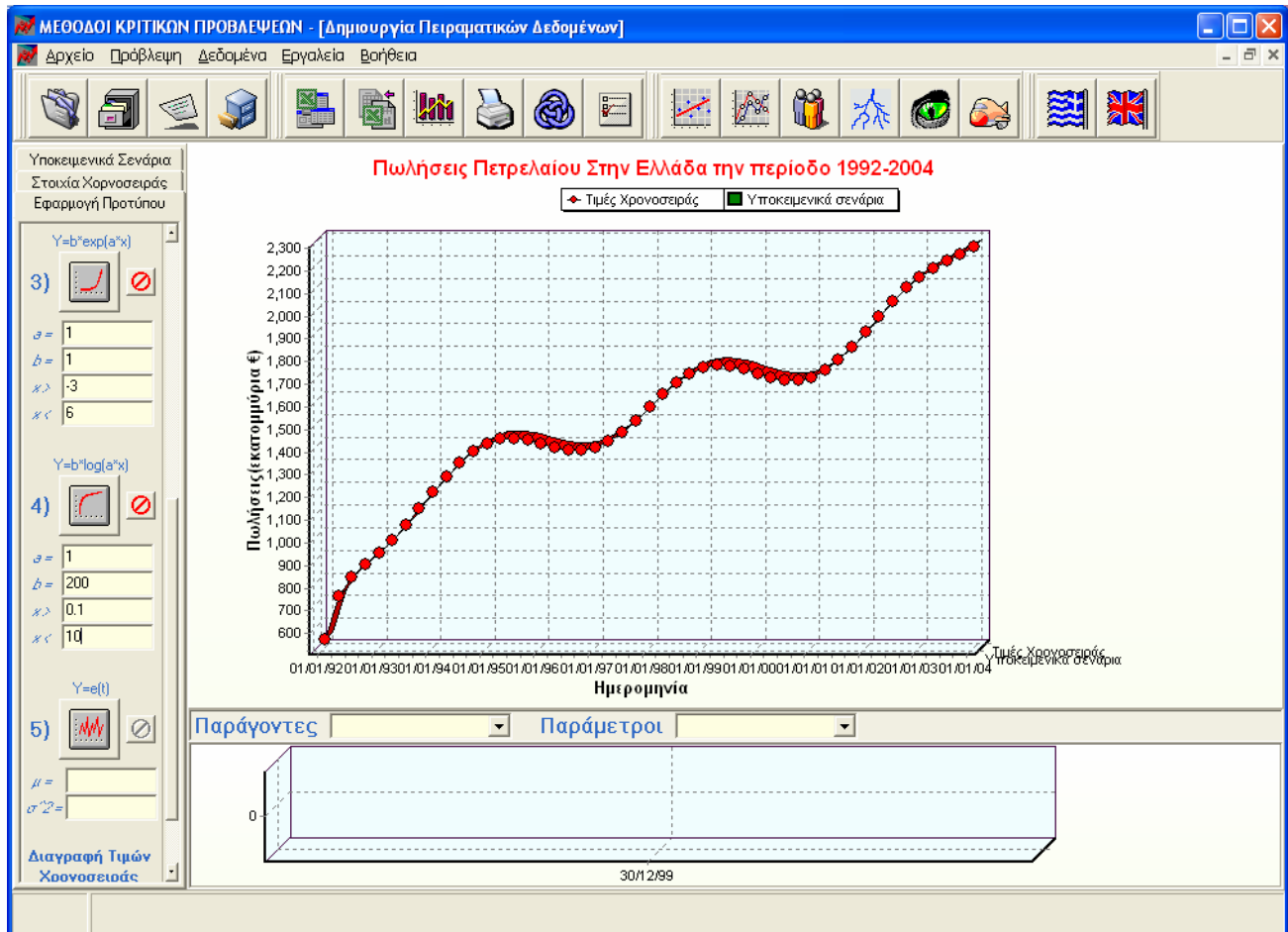
2). **Ημιτονοειδές πρότυπο.** Εδώ ο χρήστης μπορεί να εφαρμόσει κάποιο ημιτονοειδές πρότυπο ορίζοντας την περίοδο ταλάντωσης, το πλάτος και την αρχική φάση. Για παράδειγμα έστω εφαρμόζουμε ένα τέτοιο πρότυπο επιλέγοντας για πλάτος $a=100$ περίοδο $T=48$ μήνες και αρχική φάση $\Phi=0.5*2\pi=\pi$. Η εικόνα που θα πρέπει τώρα να βλέπουμε στην οθόνη φαίνεται παρακάτω.



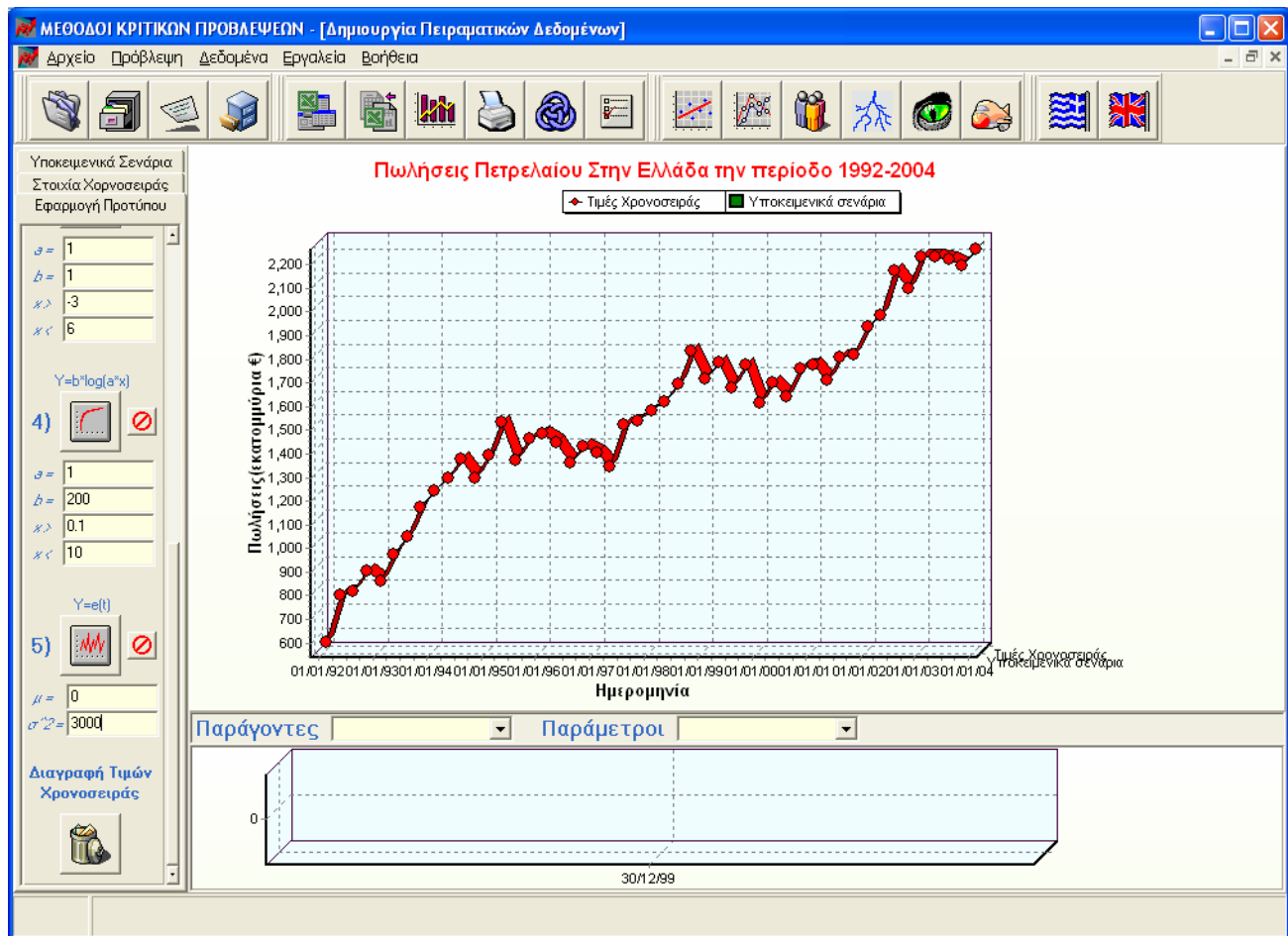
3). **Εκθετικό πρότυπο.** Η εφαρμογή του εκθετικού προτύπου γίνεται ορίζοντας τις παραμέτρους a και b της συνάρτησης $y = b \cdot e^{a \cdot x}$. Επίσης ορίζεται και το διάστημα στον άξονα x για το οποίο θέλουμε να εφαρμόσουμε τη συγκεκριμένη συνάρτηση. Επιλέγοντας για παράδειγμα $a=1$, $b=1$, και $x \in (-3,6)$ παίρνουμε το αποτέλεσμα που φαίνεται παρακάτω.




4). **Λογαριθμικό πρότυπο.** Όμοια με το εκθετικό πρότυπο ο χρήστης πρέπει να συμπληρώσει τις παραμέτρους a και b της συνάρτησης $y = b \cdot \log(a \cdot x)$ καθώς και το διάστημα του άξονα x για το οποίο επιθυμεί αυτή να εφαρμοστεί. Έστω επιλέγουμε $a=1$, $b=200$ και $x \in (-0.1,10)$. Το αποτέλεσμα φαίνεται παρακάτω.

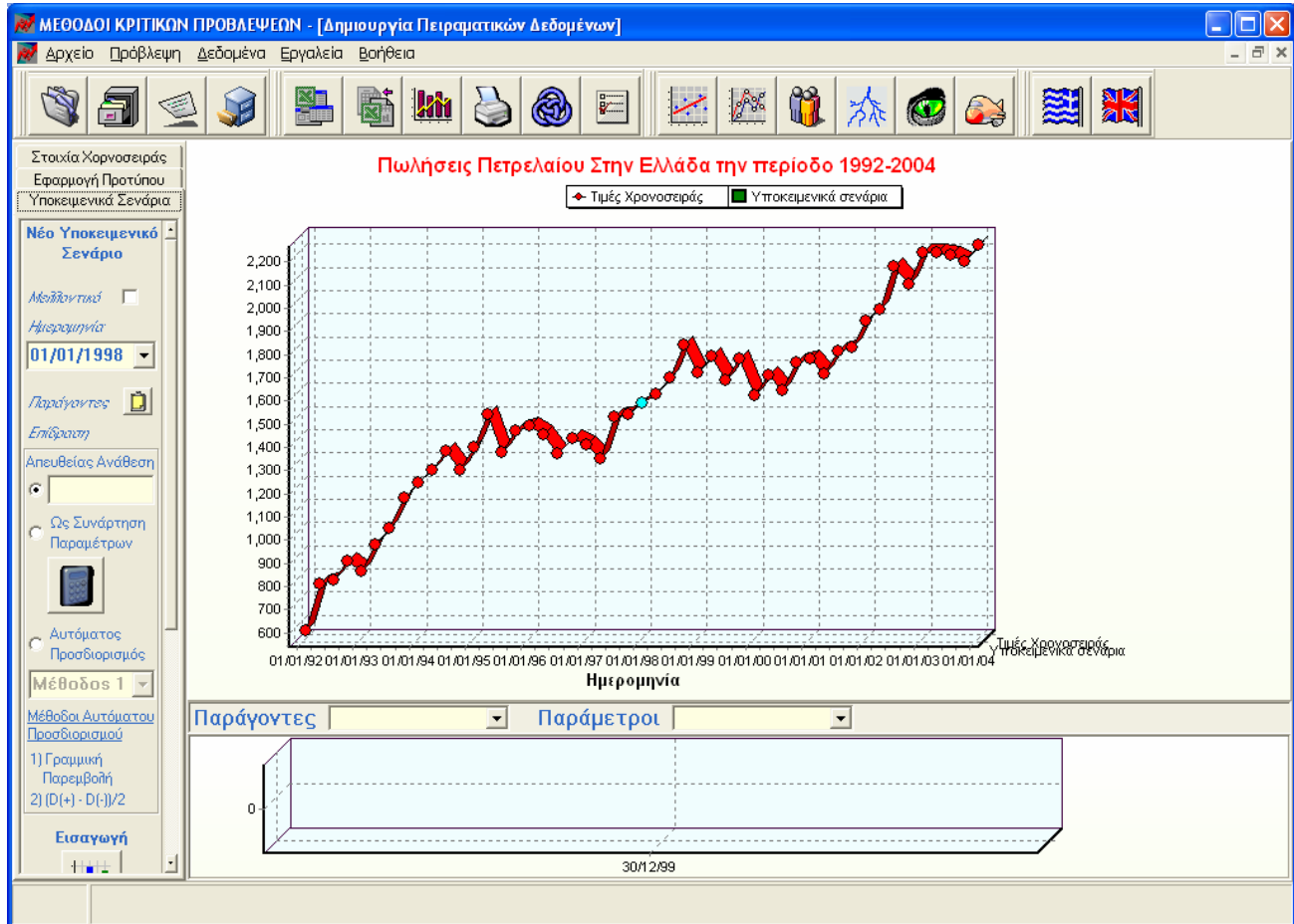


5). **Πρότυπο θορύβου.** Το συγκεκριμένο πρότυπο προσομοιάζει το θόρυβο που μία πραγματική χρονοσειρά μπορεί να παρουσιάζει. Ο θόρυβος είναι μια τυχαία μεταβλητή που ακολουθεί κανονική κατανομή και ο χρήστης πρέπει να δηλώσει τη μέση τιμή και τη διασπορά της. Στο συγκεκριμένο παράδειγμα έστω εφαρμόζουμε θόρυβο στη χρονοσειρά με μέση τιμή 0 και διασπορά 50. Το αποτέλεσμα φαίνεται παρακάτω.




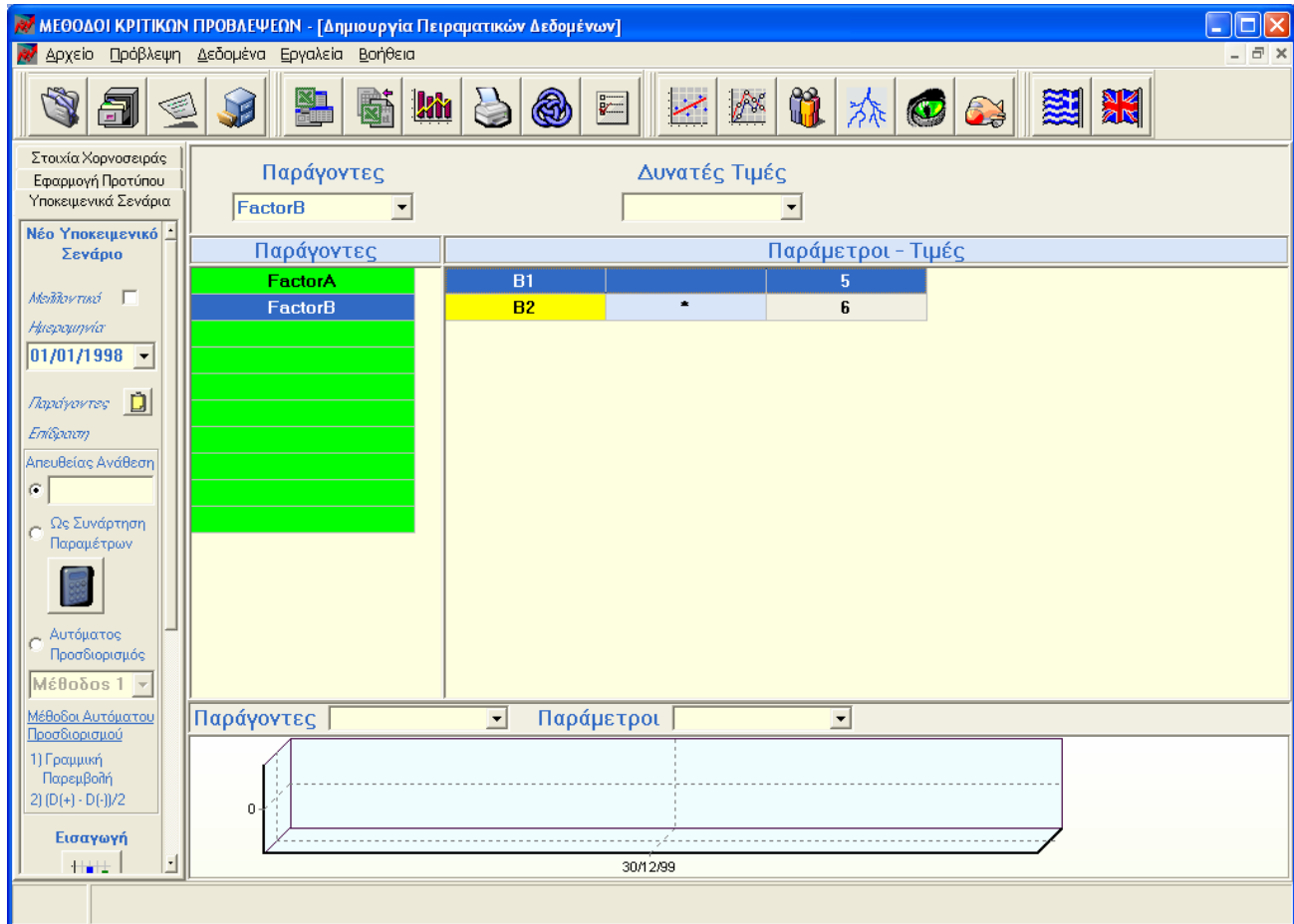
Το κουμπί με τίτλο ‘Διαγραφή τιμών χρονοσειράς’ διαγράφει όλες τις τιμές της χρονοσειράς. Τα κουμπιά με το εικονίδιο  ακυρώνουν διαδοχικές εφαρμογές του προτύπου δίπλα από το οποίο βρισκονται. Επίσης βοηθητικά hint εμφανίζονται για κάθε κουμπί που υπάρχει στην εφαρμογή όταν ο χρήστης αφήσει για μικρό χρονικό διάστημα το mouse από πάνω του.

Το τρίτο tab με τίτλο 'Υποκειμενικά Σενάρια' επιτρέπει στο χρήστη τη δήλωση ιστορικών και μελλοντικών υποκειμενικών γεγονότων. Πατώντας στο συγκεκριμένο tab παίρνουμε την παρακάτω εικόνα. Εδώ μπορεί ο χρήστης να δηλώσει και να επεξεργαστεί ιστορικά αλλά και μελλοντικά υποκειμενικά γεγονότα.




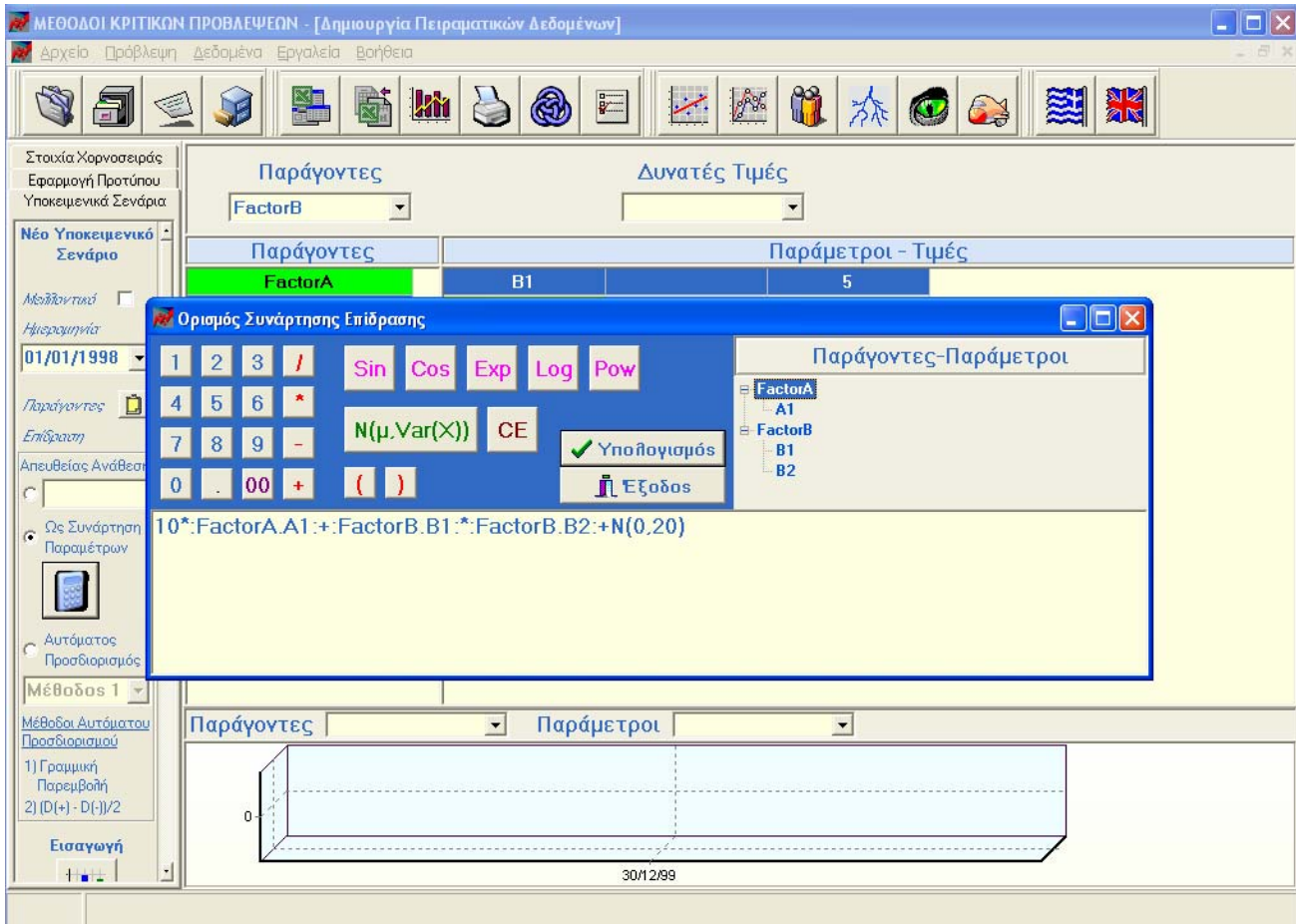
Δήλωση νέου υποκειμενικού γεγονότος. Αρχικά θα πρέπει ο χρήστης να επιλέξει αν πρόκειται για κάποιο ιστορικό ή μελλοντικό υποκειμενικό γεγονός σημειώνοντας το αντίστοιχο πεδίο. Στη συνέχεια θα πρέπει να επιλέξει μια ημερομηνία εισαγωγής του γεγονότος. Αυτό για τα ιστορικά γεγονότα γίνεται είτε επιλέγοντας μια ημερομηνία από το drop down box είτε πατώντας πάνω σε κάποιο σημείο της χρονοσειράς οπότε και αυτό χρωματίζεται. Για τα μελλοντικά γεγονότα η ημερομηνία εισαγωγής επιλέγεται μόνο από το drop down box. Στη συνέχεια θα πρέπει ο χρήστης να δηλώσει τους παράγοντες οι οποίοι αποτελούν το

προς εισαγωγή γεγονός. Η δήλωση των παραγόντων γίνεται πατώντας πάνω στο κουμπί  οπότε και εμφανίζεται η παρακάτω φόρμα.



Εδώ από το drop down box με τίτλο 'Παράγοντες' επιλέγουμε με ποιους παράγοντες θέλουμε να συνθέσουμε το γεγονός προς εισαγωγή. Από το δεύτερο drop down box με τίτλο Δυνατές τιμές μπορούμε να επιλέξουμε κάποια δηλωμένη δυνατή τιμή για κάποια παράμετρο. Για όσες παραμέτρους υπάρχουν δυνατές τιμές εμφανίζεται ένα * στο μεσαίο πεδίο όπως φαίνεται παραπάνω. Ένα παράγοντα μπορούμε να τον διαγράψουμε αφού πρώτα τον επιλέξουμε και πατώντας απλά το delete. Αφού δηλώσουμε τους παράγοντες του υποκειμενικού γεγονότος πρέπει στη συνέχεια αν πρόκειται για ιστορικό γεγονός να δηλώσουμε την επίδρασή του στη χρονοσειρά. Αυτό μπορεί να γίνει με τρεις τρόπους όπως φαίνεται παραπάνω. Είτε αναθέτοντας απευθείας μια τιμή, είτε δηλώνοντας ότι η επίδραση υπολογίζεται από μια συνάρτηση των παραμέτρων είτε αφήνοντας την εφαρμογή να την προσδιορίσει αυτόματα με δύο μεθόδους.

Η πρώτη είναι μια απλή γραμμική παρεμβολή των τιμών της χρονοσειράς προηγούμενων ετών. Η επίδραση προκύπτει ως η διαφορά της αναμενόμενης τιμής σύμφωνα με την γραμμική παρεμβολή από την πραγματική. Η δεύτερη ένας πολύ απλός υπολογισμός, $impact = \frac{D(+)-D(-)}{2}$. Όταν θέλουμε να δηλώσουμε την επίδραση ενός γεγονότος ως συνάρτηση των παραμέτρων πατάμε το κουμπί  αφού πρώτα επιλέξουμε την αντίστοιχη μέθοδο από το κατάλληλο radio button. Τότε εμφανίζεται η φόρμα που φαίνεται παρακάτω η οποία μας δίνει τη δυνατότητα να φτιάξουμε μια όσο πολύπλοκη συνάρτηση θέλουμε. Στο παράδειγμά μας έχει δηλωθεί μια σχετικά απλή συνάρτηση των παραμέτρων. Οι παράμετροι εισάγονται στη φόρμα υπολογισμού κάνοντας απλά διπλό click στο όνομά τους.



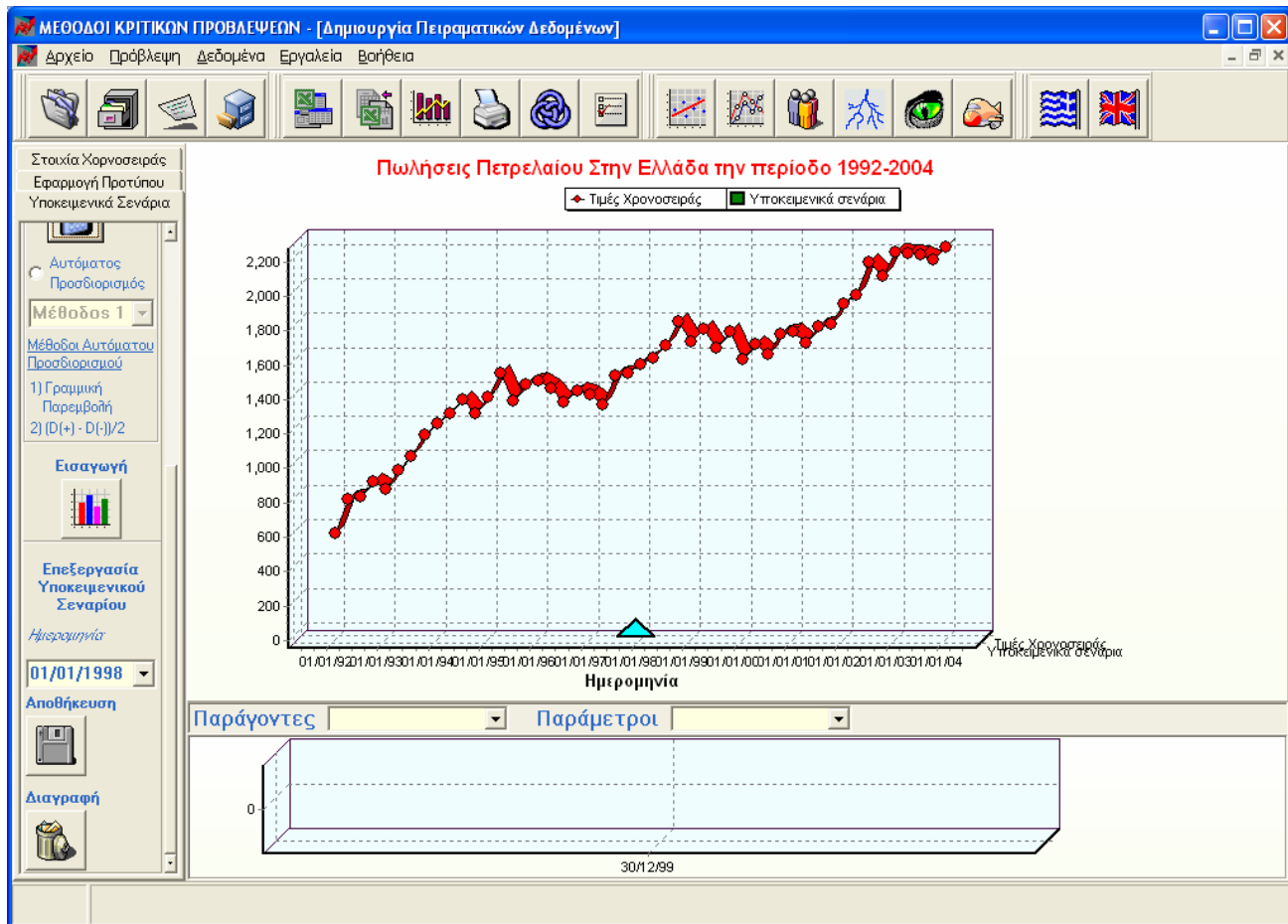
The screenshot shows the 'ΜΕΘΟΔΟΙ ΚΡΙΤΙΚΩΝ ΠΡΟΒΛΕΨΕΩΝ' software interface. A calculator window titled 'Ορισμός Συνάρτησης Επίδρασης' is open, displaying the formula: $10^{*}:\text{FactorA.A1} :+ : \text{FactorB.B1} :^{*} : \text{FactorB.B2} :+ : \text{N}(0.20)$. The calculator interface includes a numeric keypad, function keys (Sin, Cos, Exp, Log, Pow), and a list of parameters (FactorA, A1, B1, B2) on the right. The background window shows a table with columns 'Παράγοντες' and 'Παράμετροι - Τιμές', with FactorA, B1, and B2 listed.

Παράγοντες	Παράμετροι - Τιμές
FactorA	B1
	5

Πατώντας το κουμπί υπολογισμός βλέπουμε το αποτέλεσμα στο κουτί της απευθείας ανάθεσης.



Τώρα είμαστε έτοιμοι να εισάγουμε το νέο γεγονός αυτό γίνεται πατώντας το κουμπί . Το αποτέλεσμα φαίνεται παρακάτω. Με τον ίδιο τρόπο εισάγουμε και άλλα ιστορικά και μελλοντικά γεγονότα.



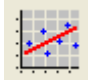
Επεξεργασία υποκειμενικών γεγονότων. Η επεξεργασία ενός γεγονότος γίνεται απλά επιλέγοντας το γεγονός, κάνοντας click πάνω στο αντίστοιχο βέλος ή από το drop down box. Αν έχουμε επιλέξει ένα γεγονός αυτό χρωματίζεται διαφορετικά. Μπορούμε να αλλάξουμε ότι θέλουμε για το γεγονός αυτό με όμοιο τρόπο όπως αυτόν που περιγράψαμε προηγουμένως κατά τη διαδικασία εισαγωγής. Στη συνέχεια όμως θα πρέπει να αποθηκεύσουμε τις αλλαγές πατώντας το κουμπί με τίτλο 'Αποθήκευση'. Αν δεν το κάνουμε αυτό οι αλλαγές θα χαθούν. Με το κουμπί διαγραφή διαγράφουμε από τη χρονοσειρά το επιλεγμένο γεγονός. Μετά από την εισαγωγή αρκετών γεγονότων παίρνουμε την παρακάτω εικόνα:

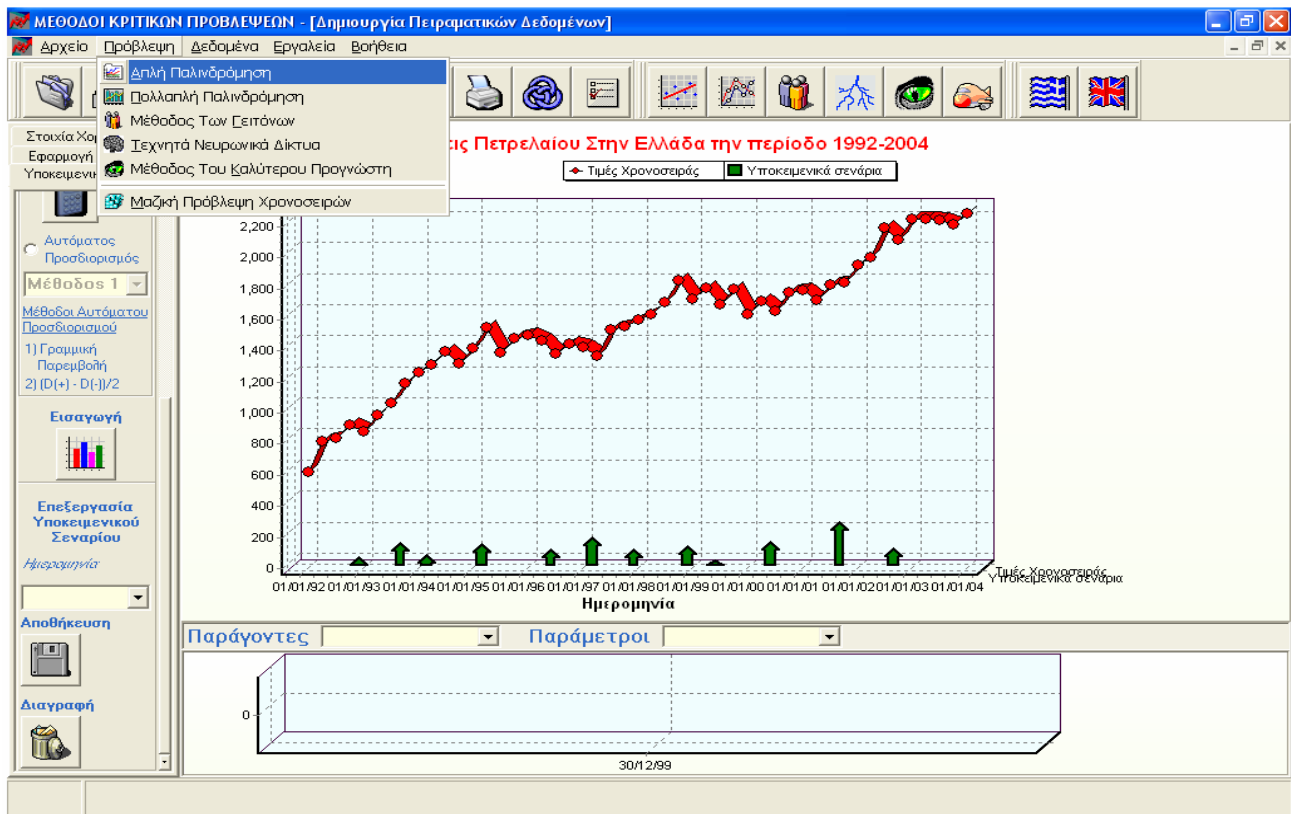


Εδώ έχουμε εισάγει και δύο μελλοντικά γεγονότα για τα οποία και θέλουμε να προβλέψουμε την επίδραση που θα έχουνε στη χρονοσειρά.

4.3.3 Πρόβλεψη επίδρασης μελλοντικών Υποκειμενικών Γεγονότων

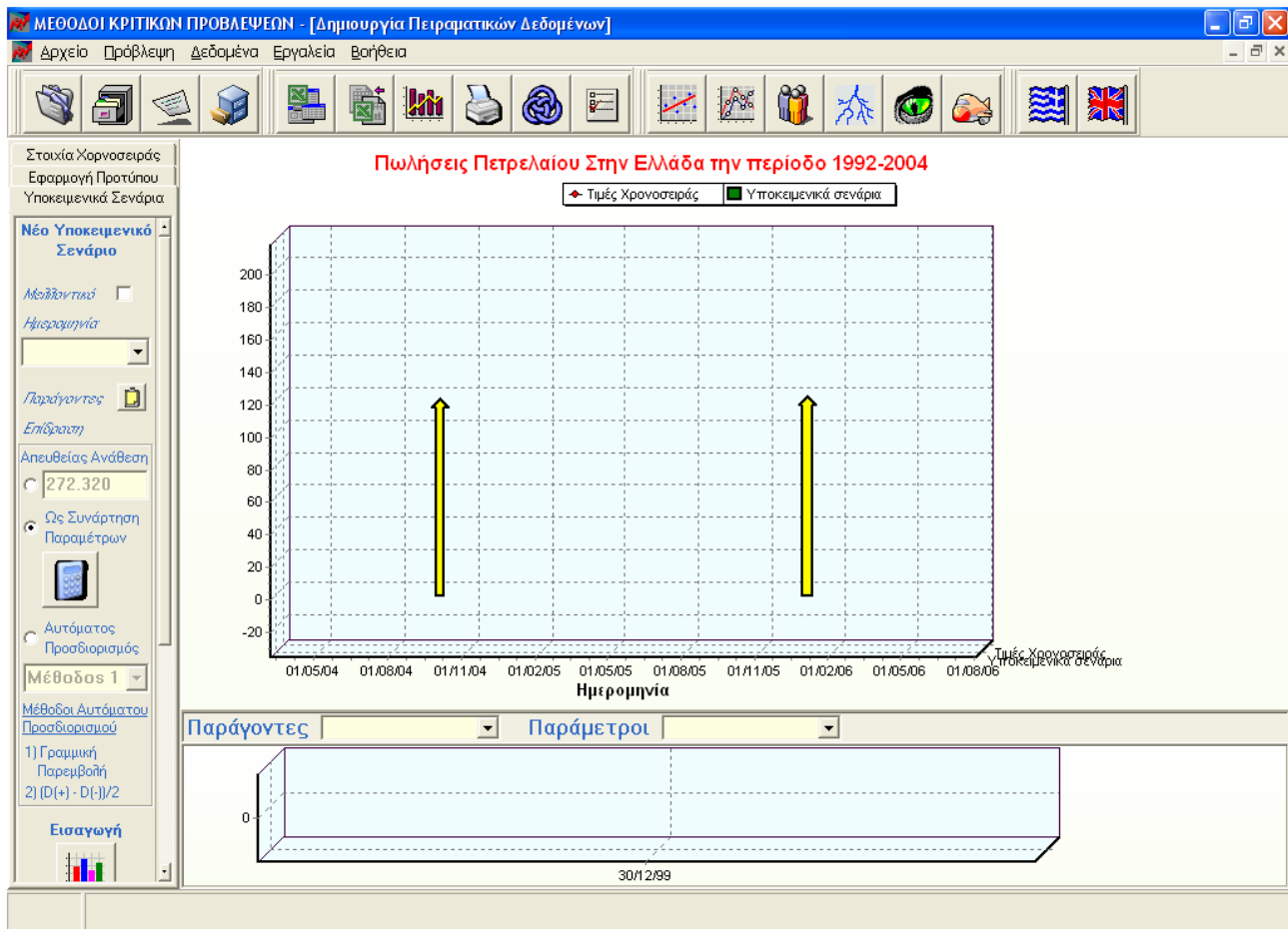
Υπάρχουν τρεις μέθοδοι πρόβλεψης τις οποίες μπορεί να εφαρμόσει ο χρήστης. Αυτές είναι η Απλή Παλινδρόμηση, Η Πολλαπλή Παλινδρόμηση και η πρόβλεψη με τη χρήση Τεχνητών Νευρωνικών Δικτύων. Για να εφαρμοστεί κάθε μία από αυτές πρέπει να πληρούνται κάποιες απαραίτητες προϋποθέσεις. Αρχικά, θα πρέπει ο χρήστης να έχει επιλέξει τη φόρμα με την χρονοσειρά που τον ενδιαφέρει. Επειδή πρόκειται για μια εφαρμογή πολλαπλών φορμών θα πρέπει η συγκεκριμένη χρονοσειρά να βρίσκεται πάνω από κάθε άλλη φόρμα. Έπειτα θα πρέπει να έχει δηλωθεί στη συγκεκριμένη χρονοσειρά τουλάχιστον ένα μελλοντικό υποκειμενικό γεγονός. Ακόμα θα πρέπει να υπάρχουν και κατάλληλα σε είδος και αριθμό ιστορικά υποκειμενικά γεγονότα ανάλογα με το ποια μέθοδο θέλουμε να εφαρμόσουμε.

Απλή Παλινδρόμηση. Η μέθοδος αυτή εφαρμόζεται πατώντας το κουμπί  ή επιλέγοντας από το βασικό menu την κατάλληλη επιλογή όπως φαίνεται παρακάτω:



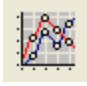
Είναι η απλούστερη μέθοδος και προσπαθεί να προβλέψει την επίδραση κάθε παραμέτρου ξεχωριστά στη χρονοσειρά. Για την πρόβλεψη της επίδρασης ενός μελλοντικού υποκειμενικού γεγονότος κάνει υπέρθεση των αποτελεσμάτων. Προκειμένου λοιπόν να εφαρμοστεί θα πρέπει να έχουμε κατάλληλα δεδομένα στη χρονοσειρά έτσι ώστε να μπορεί να εφαρμοστεί η απλή παλινδρόμηση για κάθε παράμετρο. Θα πρέπει δηλαδή για τουλάχιστον μία παράμετρο να υπάρχουν αρχικά, τουλάχιστον δύο υποκειμενικά γεγονότα τα οποία να περιέχουν μόνο τη συγκεκριμένη παράμετρο με μη μηδενική τιμή. Έτσι η επίδραση των γεγονότων αυτών θα εξαρτάται μόνο από την παράμετρο αυτή και θα μπορεί να εκφραστεί από την ευθεία $y = a \cdot x + \beta$. Μετά τον υπολογισμό των a και β αφαιρείται η επίδραση της παραμέτρου αυτής από όλα τα υποκειμενικά γεγονότα και συνεχίζεται η ίδια διαδικασία μέχρι να υπολογιστούν οι ευθείες $y = a \cdot x + \beta$ για όλες τις παραμέτρους. Η πρόβλεψη όπως είπαμε γίνεται με υπέρθεση των αποτελεσμάτων που δίνει η κάθε εξίσωση ξεχωριστά για κάθε παράμετρο.

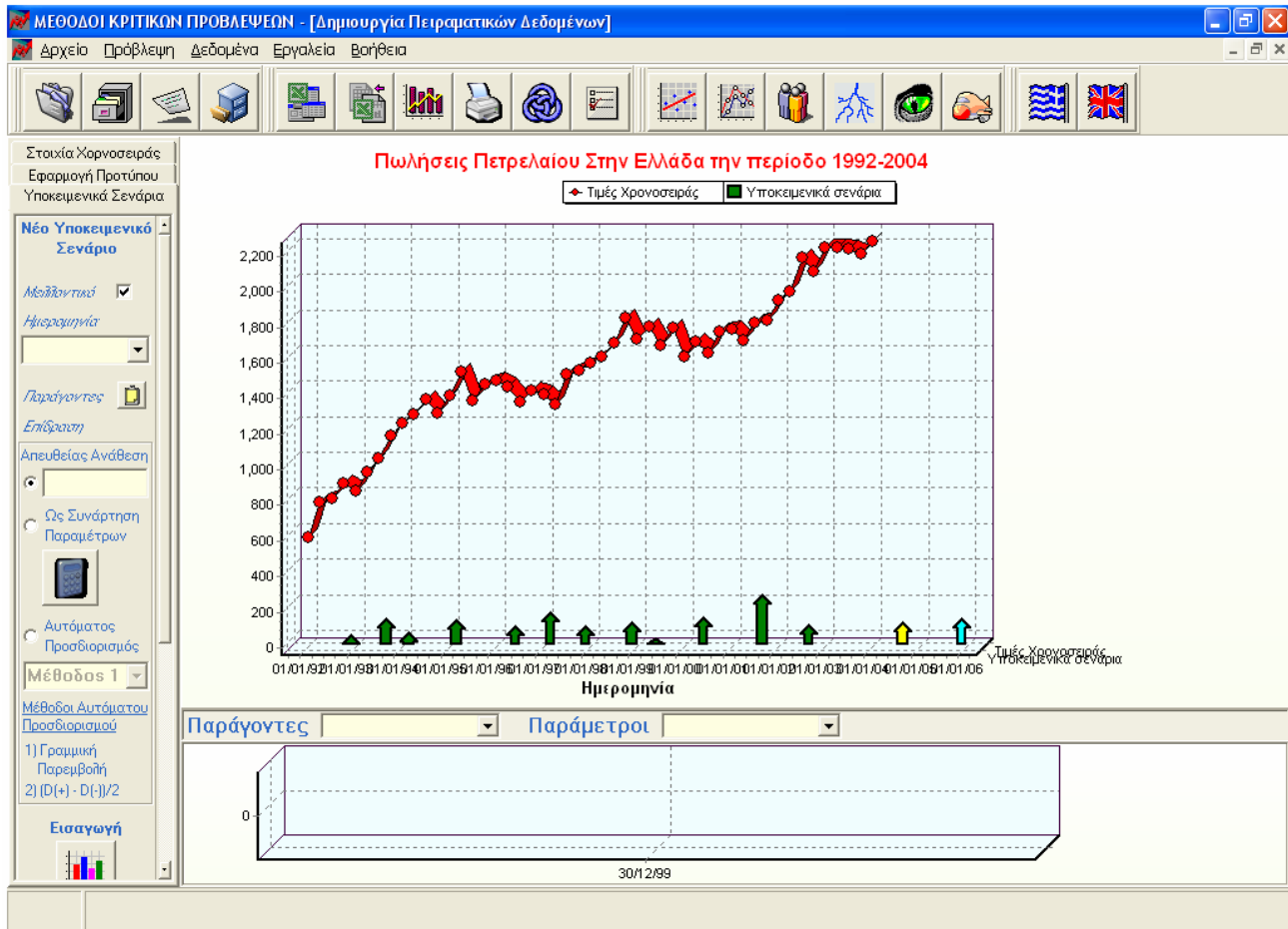
Στη συγκεκριμένη περίπτωση το αποτέλεσμα φαίνεται παρακάτω:



Στο προηγούμενο screenshot έχουμε κάνει zoom στα μελλοντικά υποκειμενικά σενάρια. Η λειτουργία αυτή γίνεται με το mouse απλά επιλέγοντας την επιθυμητή περιοχή. Για το πρώτο μελλοντικό υποκειμενικό γεγονός η πρόβλεψη είναι 121.325. Οι παράμετροι που έχουν δηλωθεί για το γεγονός αυτό παίρνουν τιμές $A1=8$, $B1=4$ και $B2=6$. Η αναμενόμενη τιμή σύμφωνα με τη συνάρτηση επίδρασης που έχουμε ορίσει είναι $10 \cdot \text{FactorA.A1} + \text{FactorB.B1} \cdot \text{FactorB.B2} + N(0,20) = 104 + N(0,20)$. Η τιμή πρόβλεψης παρατηρούμε ότι δεν είναι αρκετά ικανοποιητική αφού δεν βρίσκεται μέσα στα όρια του θορύβου. Για το δεύτερο υποκειμενικό γεγονός προβλέψαμε ότι θα έχει επίδραση ίση με 122,834. Η αναμενόμενη τιμή σύμφωνα με τη συνάρτηση επίδρασης είναι:

$10 \cdot \text{FactorA.A1} + \text{FactorB.B1} \cdot \text{FactorB.B2} + N(0,20) = 134 + N(0,20)$ έχοντας ορίσει τιμές για τις παραμέτρους: $A1=12$, $B1=7$, $B2=2$. Και σε αυτήν την περίπτωση δεν μας ικανοποιεί ιδιαίτερα το αποτέλεσμα αφού βρίσκεται έξω από τα όρια του θορύβου.

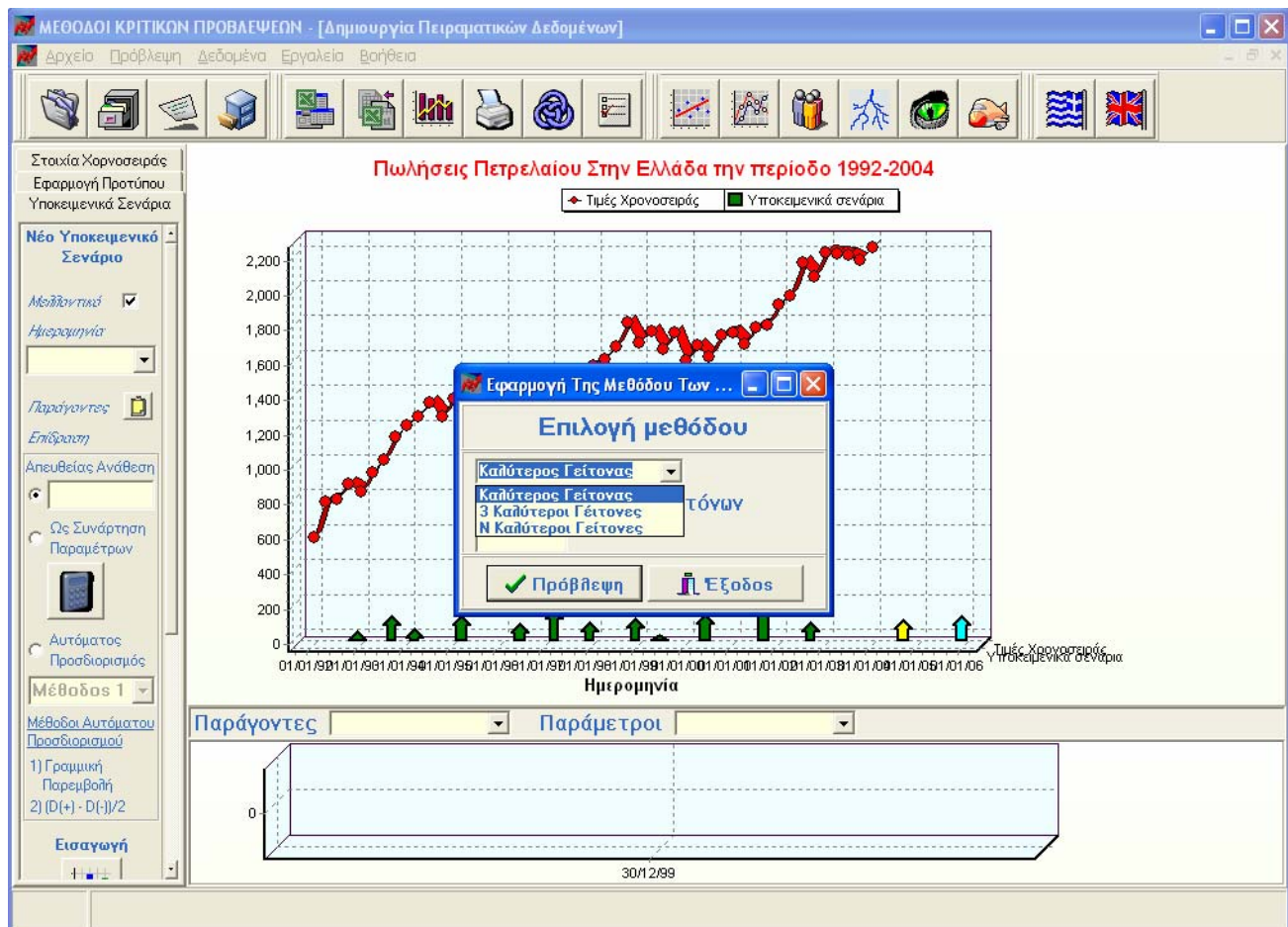
Πολλαπλή Παλινδρόμηση. Αυτή είναι η δεύτερη μέθοδος πρόβλεψης και βασίζεται στην επίλυση του συστήματος $\hat{\beta} = (X' \cdot X)^{-1} \cdot (X' \cdot Y)$ όπου X είναι ο $N \times (M+1)$ πίνακας όπου N ο αριθμός των ιστορικών υποκειμενικών γεγονότων και M ο συνολικός αριθμός των διαφορετικών παραμέτρων που εμφανίζονται στη χρονοσειρά. Ο Y είναι ο $N \times 1$ πίνακας και κάθε στοιχείο του είναι η επίδραση του αντίστοιχου υποκειμενικού γεγονότος στη χρονοσειρά. Σύμφωνα με τη μέθοδο της πολλαπλής παλινδρόμησης η πρόβλεψη της επίδρασης ενός μελλοντικού γεγονότος γίνεται σύμφωνα με την εξίσωση $\hat{Y} = X \cdot \hat{\beta}$. Η μέθοδος εφαρμόζεται όταν ο χρήστης πατήσει το κουμπί  ή την αντίστοιχη επιλογή από το βασικό menu. Το αποτέλεσμα για το προηγούμενο παράδειγμα φαίνεται στην επόμενη σελίδα. Τώρα για το πρώτο μελλοντικό υποκειμενικό γεγονός έχουμε προβλέψει την τιμή 118.807 και η αναμενόμενη είναι $104 + N(0,20)$ ενώ για το δεύτερο υποκειμενικό γεγονός έχουμε προβλέψει την τιμή 141.347 ενώ η αναμενόμενη τιμή είναι $134 + N(0,20)$. Η δεύτερη πρόβλεψη είναι αρκετά καλή ενώ η πρώτη είναι μεν καλύτερη από αυτή της μεθόδου της απλής παλινδρόμησης δεν είναι όμως και αρκετά ικανοποιητική.




Μέθοδος των Γειτόνων. Η τρίτη μέθοδος πρόβλεψης βασίζεται στην εξαγωγή προβλέψεων με βάση την ομοιομορφία που παρουσιάζουν τα μελλοντικά με τα ιστορικά δεδομένα όσον αφορά τις τιμές των παραμέτρων τους. Για κάθε ένα μελλοντικό γεγονός τα ιστορικά δεδομένα ταξινομούνται κατά φθίνουσα σειρά, από αυτό που παρουσιάζει τη μεγαλύτερη ομοιότητα με το μελλοντικό γεγονός σε αυτό που παρουσιάζει τη μικρότερη. Το πρώτο στη λίστα είναι ο καλύτερος γείτονας και το τελευταίο ο χειρότερος. Η πρόβλεψη γίνεται με τρεις τρόπους. Ο πρώτος είναι η επίδραση του μελλοντικού γεγονότος να οριστεί ίδια με αυτήν του καλύτερου γείτονα. Δηλαδή $Impact = \text{Γείτονας1}$. Ο δεύτερος, η επίδραση να υπολογιστεί ως $Impact = 0.5 * \text{Γείτονας1} + 0.25 * \text{Γείτονας2} + 0.25 * \text{Γείτονας3}$, να περιλαμβάνει δηλαδή τους τρεις καλύτερους γείτονες με βάρη 1/2, 1/4 και 1/4 και ο τρίτος να οριστεί ο χρήστης πόσους γείτονες θέλει να περιληφθούν στον υπολογισμό (έστω N), έχοντας ίσα βάρη (1/N) από τον καλύτερο στο χειρότερο. Παραπάνω όπου Γείτονας εννοούμε την επίδραση του αντίστοιχου υποκειμενικού γεγονότος στη

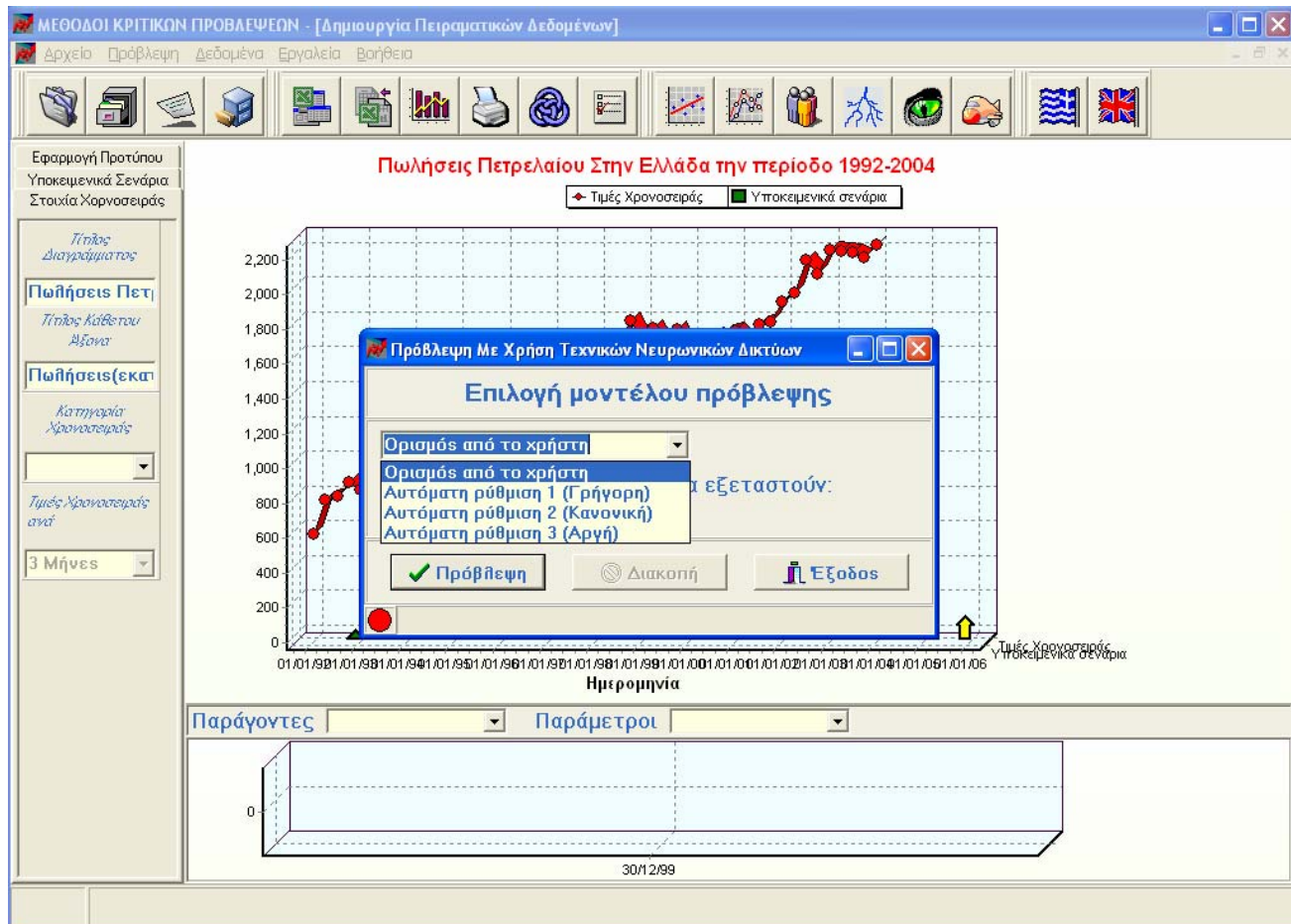
χρονοσειρά. Είναι προφανές ότι κάθε μελλοντικό υποκειμενικό γεγονός θα έχει και διαφορετική λίστα γειτόνων.

Η σύγκριση ενός γείτονα με ένα μελλοντικό υποκειμενικό γεγονός γίνεται με τον εξής τρόπο. Για κάθε κοινή παράμετρο ενός κοινού παράγοντα των δύο γεγονότων η ποσότητα $|(Μελλοντικό\ γεγονός.Παράμετρος - Ιστορικό\ γεγονός.Παράμετρος)| / |Μελλοντικό\ γεγονός.Παράμετρος|$ προστίθεται σε μια μεταβλητή κόστους που δείχνει πόσο «απέχει» ο συγκεκριμένος γείτονας από το γεγονός του οποίου την επίδραση θέλουμε να προβλέψουμε. Για κάθε παράμετρο η οποία παρουσιάζεται μόνο σε ένα από τα δύο γεγονότα η ποσότητα 1 προστίθεται στη μεταβλητή κόστους. Στο τέλος συγκρίνονται οι μεταβλητές κόστους όλων των γειτόνων και αυτοί ταξινομούνται ανάλογα. Παρακάτω φαίνεται η φόρμα επιλογής μιας εκ των τριών μεθόδων πατώντας το κουμπί.



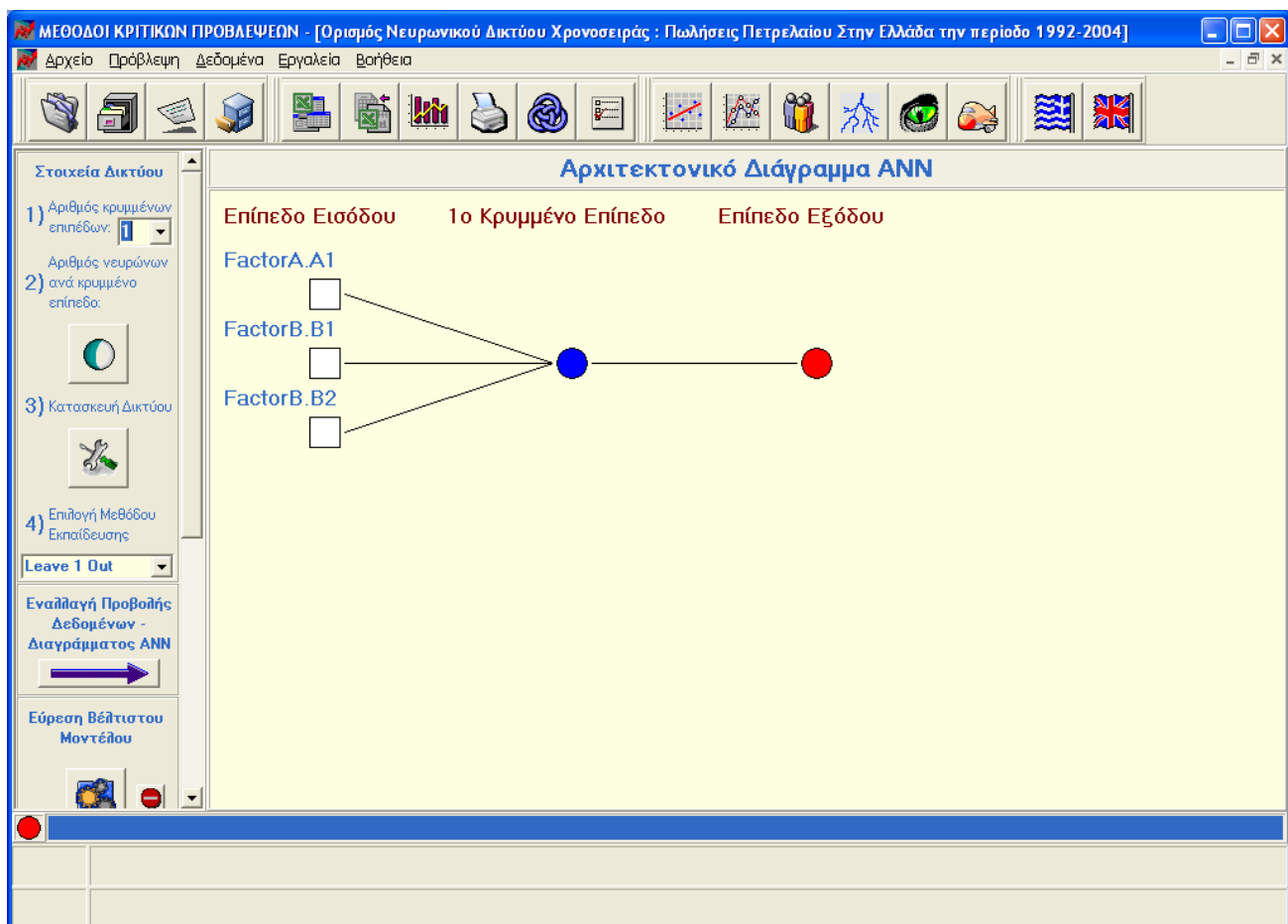
Τώρα για το πρώτο μελλοντικό υποκειμενικό γεγονός με τη μέθοδο του καλύτερου γείτονα έχουμε προβλέψει την τιμή 100.136 και η αναμενόμενη είναι $104+N(0,20)$ ενώ για το δεύτερο υποκειμενικό γεγονός έχουμε προβλέψει την τιμή 105.145 ενώ η αναμενόμενη τιμή είναι $134+N(0,20)$.

Τεχνητά Νευρωνικά Δίκτυα. Η τέταρτη μέθοδος πρόβλεψης αφορά τα τεχνητά νευρωνικά δίκτυα και εφαρμόζεται θεωρητικά όπως είδαμε στο κεφάλαιο 3. Ο χρήστης πρέπει να πατήσει το κουμπί ή την αντίστοιχη επιλογή από το βασικό menu οπότε και εμφανίζεται η φόρμα επιλογής μεθόδου  εκπαίδευσης και πρόβλεψης που φαίνεται παρακάτω.



Εδώ ο χρήστης έχει τέσσερις επιλογές. Η πρώτη είναι να ορίσει μόνος το μοντέλο του νευρωνικού δικτύου που θέλει να χρησιμοποιήσει και να το εκπαιδεύσει ενώ οι άλλες τρεις περιλαμβάνουν αυτόματες μεθόδους πρόβλεψης. Από αυτές η Αυτόματη Ρύθμιση 1(Γρήγορη) προσπαθεί να προβλέψει την επίδραση

των μελλοντικών υποκειμενικών γεγονότων με ένα δίκτυο 2 κρυμμένων επιπέδων πλήρως συνδεδεμένο το οποίο και εκπαιδεύει μία μόνο φορά. Ανεξάρτητα με το τοπικό ελάχιστο το οποίο επιτυγχάνεται η πρόβλεψη γίνεται. Η Αυτόματη Ρύθμιση 2(Κανονική) χρησιμοποιεί πάλι ένα δίκτυο 2 κρυμμένων επιπέδων αλλά το εκπαιδεύει 10 φορές και από αυτές κρατάει αυτήν στην οποία το δίκτυο εκπαιδεύτηκε στο μικρότερο τοπικό ελάχιστο. Τέλος η Αυτόματη Ρύθμιση 3(Αργή) εκπαιδεύει όλα τα δίκτυα μέχρι 2 κρυμμένων επιπέδων από 10 φορές το καθένα και κρατάει πάλι το δίκτυο το οποίο εκπαιδεύεται στο μικρότερο τοπικό ελάχιστο. Με βάση τα παραπάνω η τρίτη μέθοδος είναι πιθανό να δώσει και τα καλύτερα αποτελέσματα. Παρακάτω θα εξετάσουμε τη διαδικασία ορισμού ενός νευρωνικού δικτύου από το χρήστη. Επιλέγοντας λοιπόν την επιλογή ορισμός από το χρήστη εμφανίζεται η παρακάτω φόρμα.



Η επιλογή του μοντέλου πρόβλεψης μπορεί να γίνει με δύο τρόπους. Πρώτον, από τον ίδιο τον χρήστη επιλέγοντας αρχικά τον αριθμό των κρυμμένων επιπέδων από το αντίστοιχο drop down box και

στη συνέχεια πατώντας το κουμπί.



Από τη νέα φόρμα που εμφανίζεται και φαίνεται παρακάτω μπορεί ο χρήστης να ορίσει τους νευρώνες ανά κρυμμένο επίπεδο. Έστω εδώ επιλέγουμε 1 κρυμμένο επίπεδα και τρεις νευρώνες ανά κρυμμένο επίπεδο.

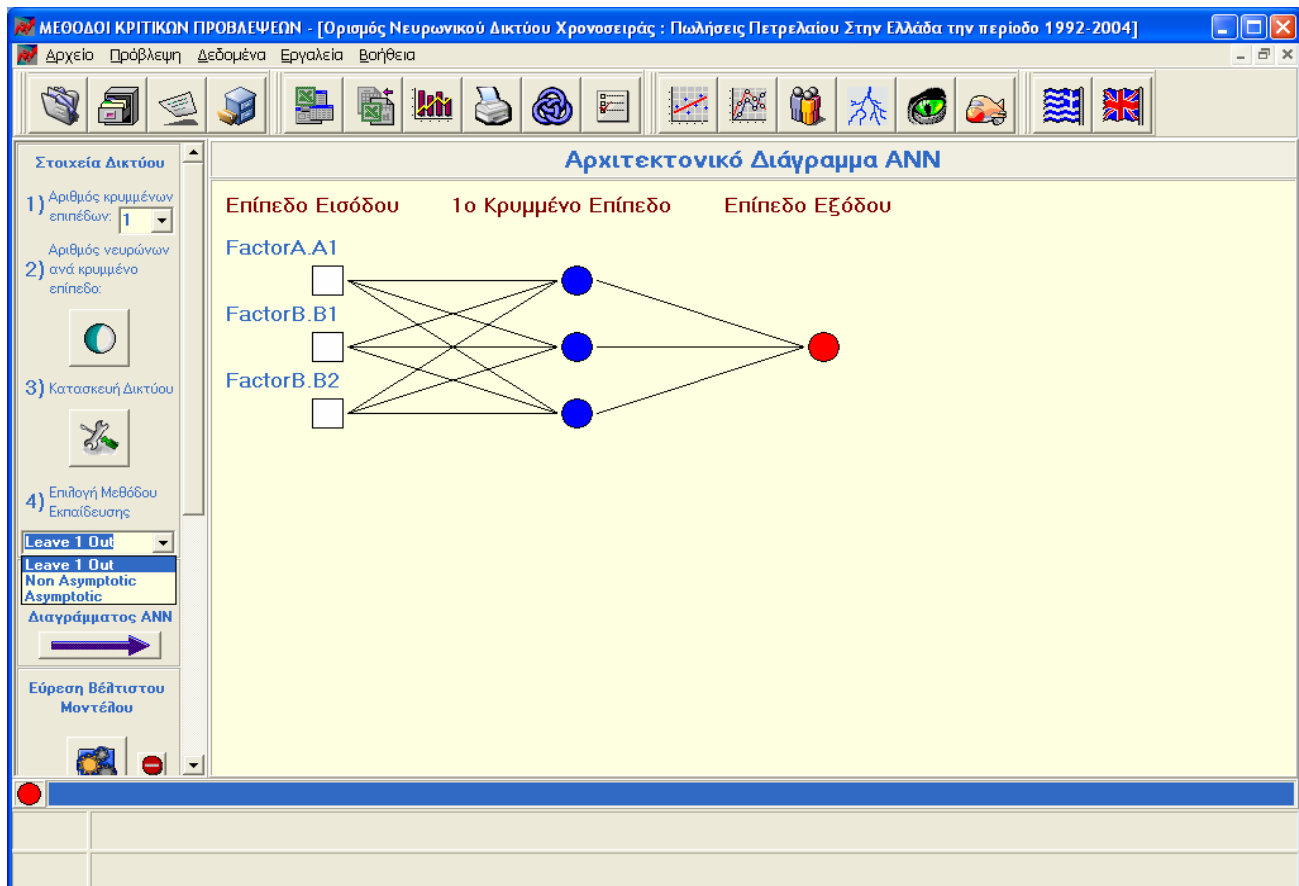
	1ο Κρυμμένο Επίπεδο
Αριθμός Νευρώνων	3



Επιβεβαίωση Εξοδος


Στη συνέχεια πατώντας το κουμπί της επιβεβαίωσης και έπειτα το κουμπί




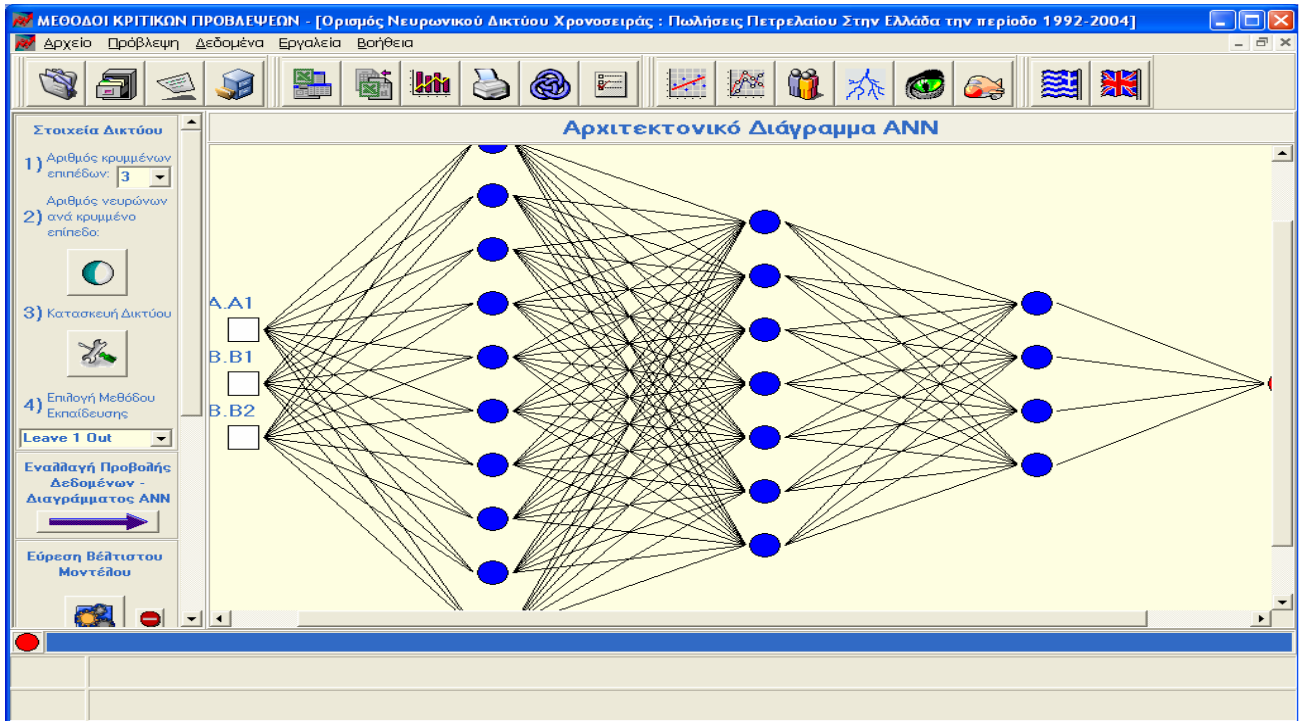
ο χρήστης ,μπορεί να κατασκευάσει το επιλεγμένο δίκτυο. Η μορφή του φαίνεται παρακάτω.



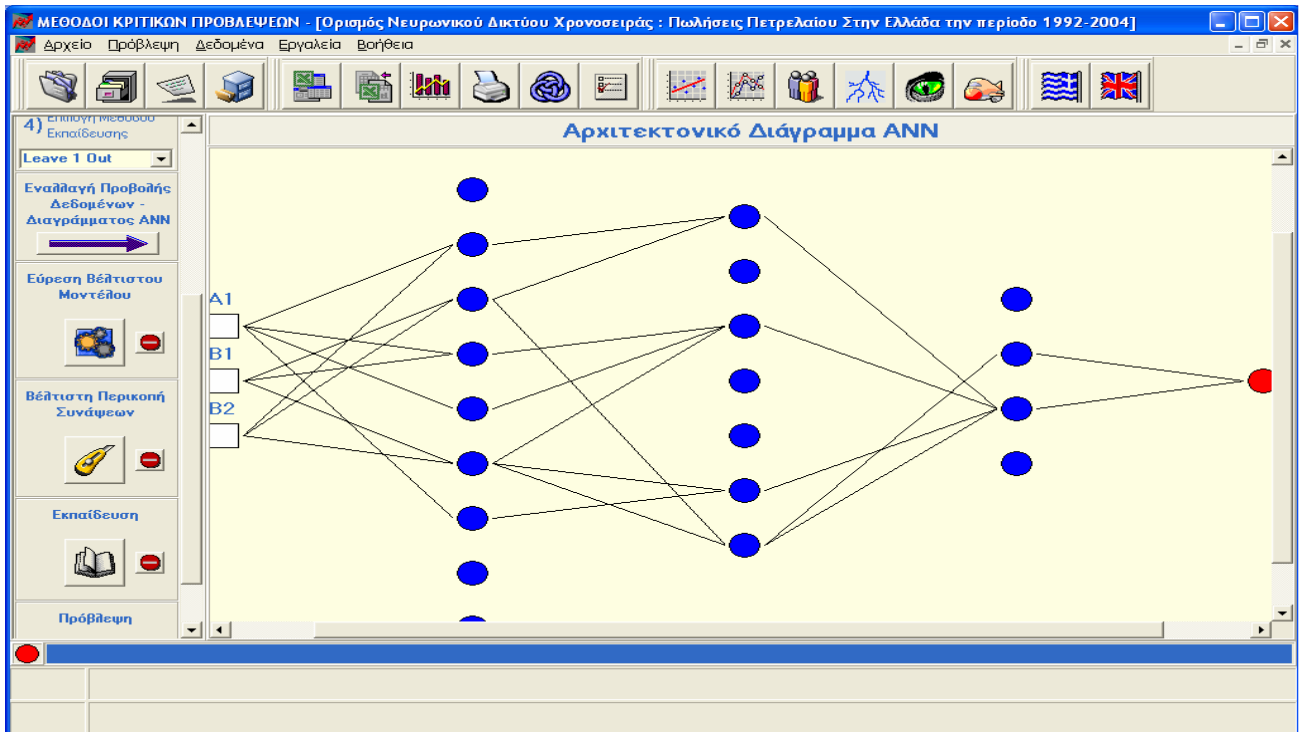
Στη συνέχεια ο χρήστης μπορεί να επιλέξει τη μέθοδο εκπαίδευσης που θέλει να εφαρμόσει. Σύμφωνα και με το κεφάλαιο 3 η καταλληλότερη μέθοδος για την περίπτωσή μας είναι η Leave One Out. Η εκπαίδευση του δικτύου γίνεται σε κάποιο τοπικό ελάχιστο πατώντας το κουμπί.  Τέλος η πρόβλεψη γίνεται πατώντας το κουμπί.  Στη συγκεκριμένη περίπτωση πήραμε για το πρώτο υποκειμενικό γεγονός 97.257 με αναμενόμενη τιμή $104+N(0,20)$ ενώ για το δεύτερο υποκειμενικό γεγονός πήραμε την τιμή 135.310 με αναμενόμενη τιμή την $134+N(0,20)$. Τα αποτελέσματα μπορούμε να δούμε πως είναι τα καλύτερα και από τις τρεις μεθόδους. Αυτό είναι φυσικό αφού τα ANN μπόρεσαν και προσομοίωσαν τη μη γραμμική συνάρτηση της επίδρασης με τις παραμέτρους των Υποκειμενικών Παραγόντων.

Η επιλογή του μοντέλου πρόβλεψης μπορεί να γίνει και με αυτόματο τρόπο από την ίδια την εφαρμογή. Η λειτουργία αυτή γίνεται με το πάτημα του κουμπιού.  Η εφαρμογή εκπαιδεύει όλα τα δίκτυα μέχρι δύο κρυμμένα επίπεδα και μέχρι N αριθμό νευρώνων ανά κρυμμένο επίπεδο όπου N το μέγεθος του διανύσματος εισόδου. Βέβαια θα πρέπει να σημειωθεί ότι διαφορετικά αποτελέσματα είναι δυνατόν να προκύψουν κάθε φορά αφού η εκπαίδευση του δικτύου γίνεται κάθε φορά σε κάποιο τοπικό και όχι ολικό ελάχιστο. Έτσι είναι δυνατόν να επιλεγεί κάποιο δίκτυο με μικρότερο ολικό ελάχιστο από κάποιο άλλο αν τύχει και κατά την εκπαίδευσή του συγκλίνει σε κάποιο τοπικό ελάχιστο μικρότερο από το δεύτερο.

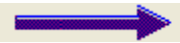
Έστω τώρα φτιάχνουμε ένα πολύπλοκο ANN με τρία κρυμμένα επίπεδα, 10 νευρώνες στο πρώτο κρυμμένο επίπεδο, 7 στο δεύτερο και 4 στο τρίτο. Εκπαιδεύουμε αρχικά το δίκτυο σε κάποιο τοπικό ελάχιστο και στη συνέχεια εφαρμόζουμε τον αλγόριθμο Optimal Brain Surgeon πατώντας το κουμπί.  Τα αποτελέσματα φαίνονται στην επόμενη σελίδα:

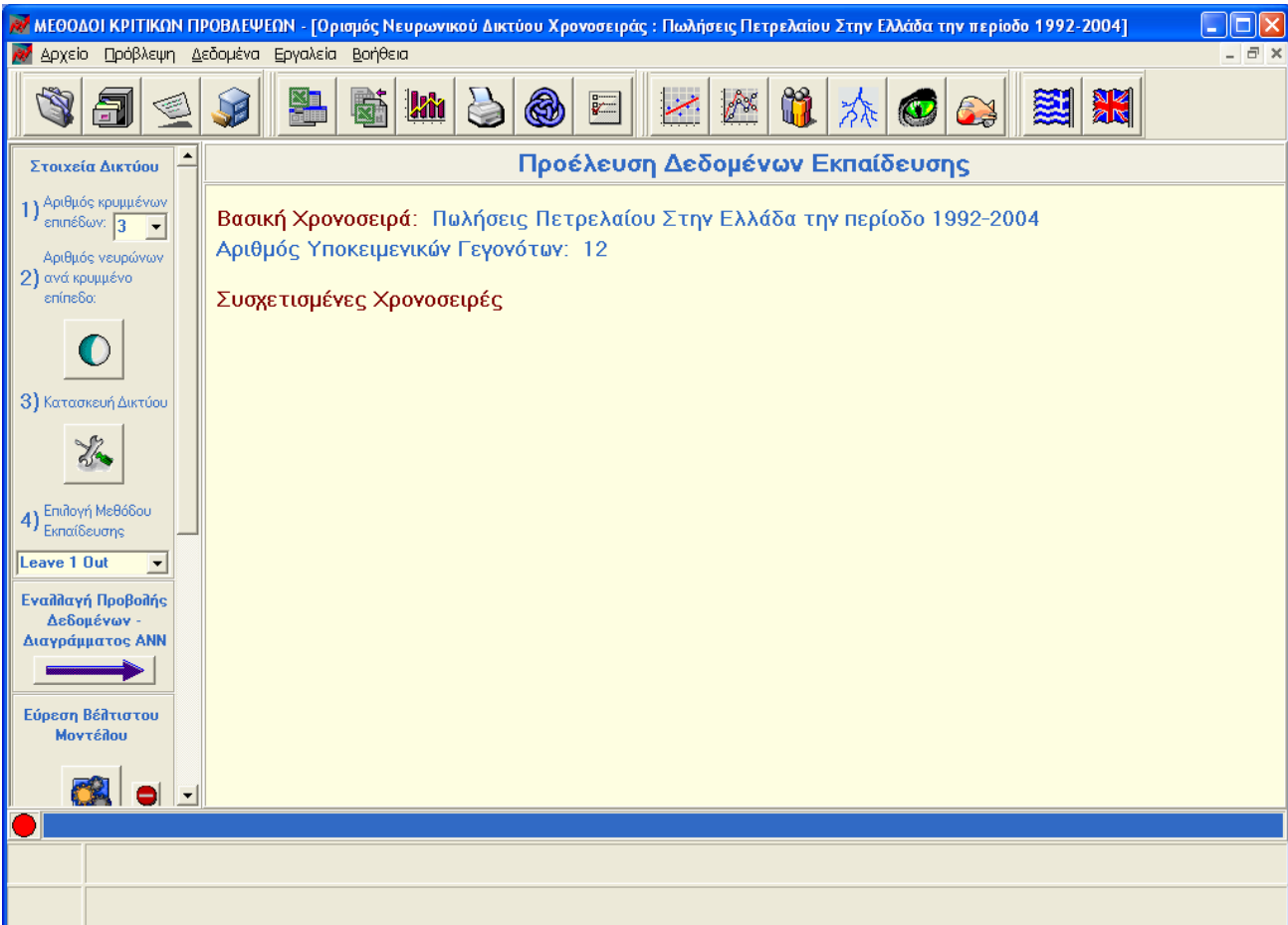


Μετά την περικοπή συνάψεων:




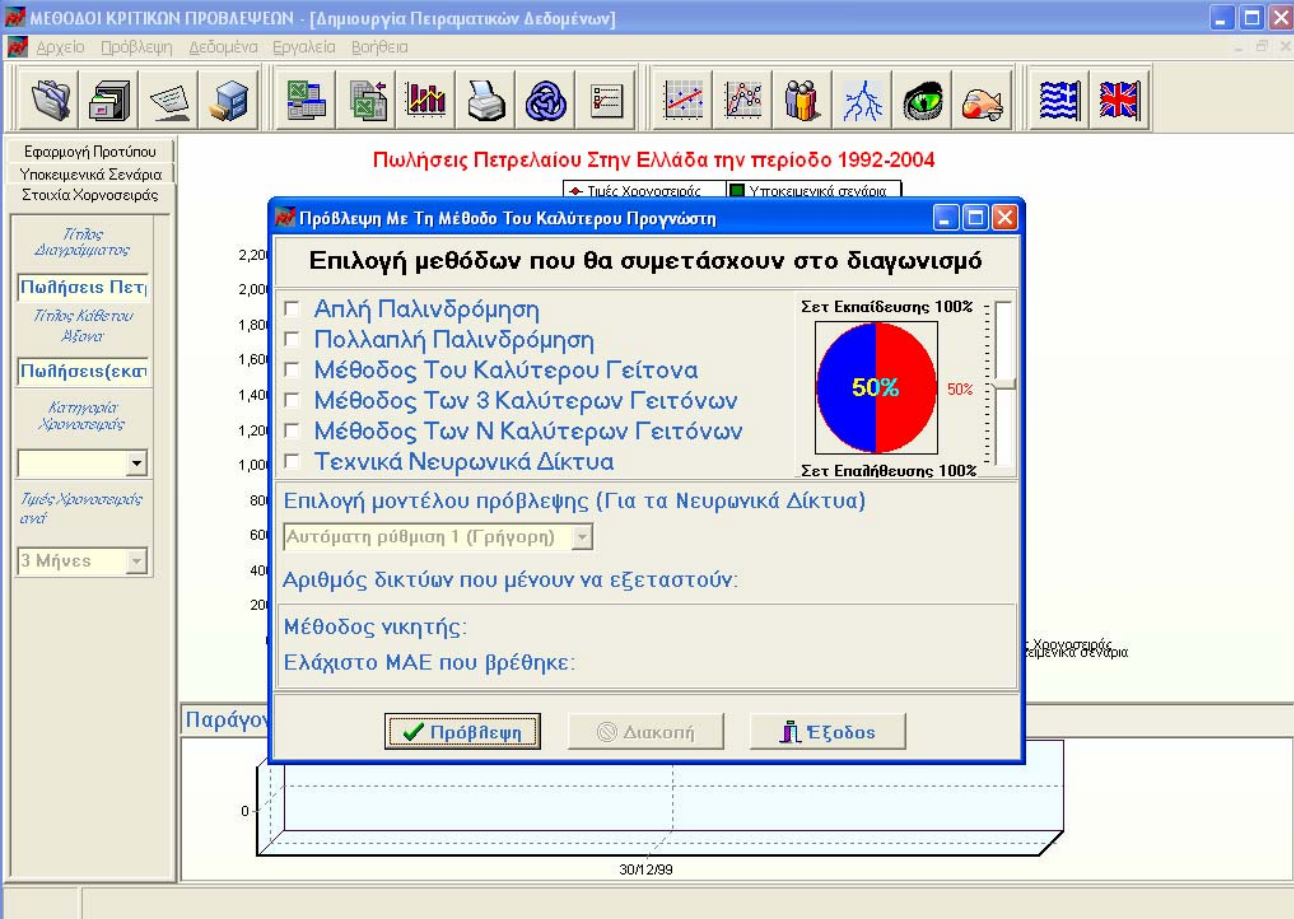
Παρατηρούμε μια δραματική μείωση στον αριθμό των συνάψεων του δικτύου. Βέβαια στη δικιά μας περίπτωση δεν έχει ιδιαίτερο νόημα να επιλέξουμε ένα τόσο πολύπλοκο δίκτυο αφού πολύ μικρότερα από αυτό μπορούν και προσεγγίζουν αρκετά ικανοποιητικά τη μη γραμμική συνάρτηση. Τώρα μπορούμε να εκπαιδεύσουμε το νέο δίκτυο και να προβλέψουμε με αυτό.

Τέλος, μπορούμε να δούμε και την προέλευση των δεδομένων εκπαίδευσης πατώντας πάνω στο πλήκτρο . Τα αποτελέσματα φαίνονται στην οθόνη ως εξής:



Στη δικιά μας περίπτωση δεν υπάρχουν συσχετισμένες χρονοσειρές.

Ο Καλύτερος Προγνώστης. Πρόκειται για μία συγκριτική μέθοδο η οποία χρησιμοποιεί ουσιαστικά τις 4 προηγούμενες μεθόδους. Η μέθοδος διαχωρίζει το σύνολο εκπαίδευσης των δεδομένων Γ σε δύο υποσύνολα. Ένα σύνολο εκπαίδευσης A και ένα σύνολο επαλήθευσης B με $A \cap B = \emptyset$ και $A \cup B = \Gamma$. Το ποσοστό διαχωρισμού ορίζεται από το χρήστη. Κάθε μέθοδος που εξετάσαμε μέχρι τώρα εκπαιδεύεται με τη σειρά στο σύνολο A και επαληθεύεται στο σύνολο B . Για κάθε μέθοδο υπολογίζεται το μέσο απόλυτο σφάλμα και τελικά χρησιμοποιείται αυτή η οποία στο σετ επαλήθευσης B παρουσιάζει το μικρότερο σφάλμα. Αυτή προβλέπει την επίδραση των μελλοντικών υποκειμενικών γεγονότων. Η μέθοδος του καλύτερου προγνώστη εφαρμόζεται όταν ο χρήστης πατήσει στο κουμπί  ή την κατάλληλη επιλογή από το βασικό menu οπότε και εμφανίζεται η παρακάτω φόρμα.



The screenshot displays the 'ΜΕΘΟΔΟΙ ΚΡΙΤΙΚΩΝ ΠΡΟΒΛΕΨΕΩΝ' software interface. The main window is titled 'Πωλήσεις Πετρελαίου Στην Ελλάδα την περίοδο 1992-2004'. A dialog box titled 'Πρόβλεψη Με Τη Μέθοδο Του Καλύτερου Προγνώστη' is open, showing a list of prediction methods with checkboxes:


- Απλή Παλινδρόμηση
- Πολλαπλή Παλινδρόμηση
- Μέθοδος Του Καλύτερου Γείτονα
- Μέθοδος Των 3 Καλύτερων Γειτόνων
- Μέθοδος Των N Καλύτερων Γειτόνων
- Τεχνικά Νευρωνικά Δίκτυα

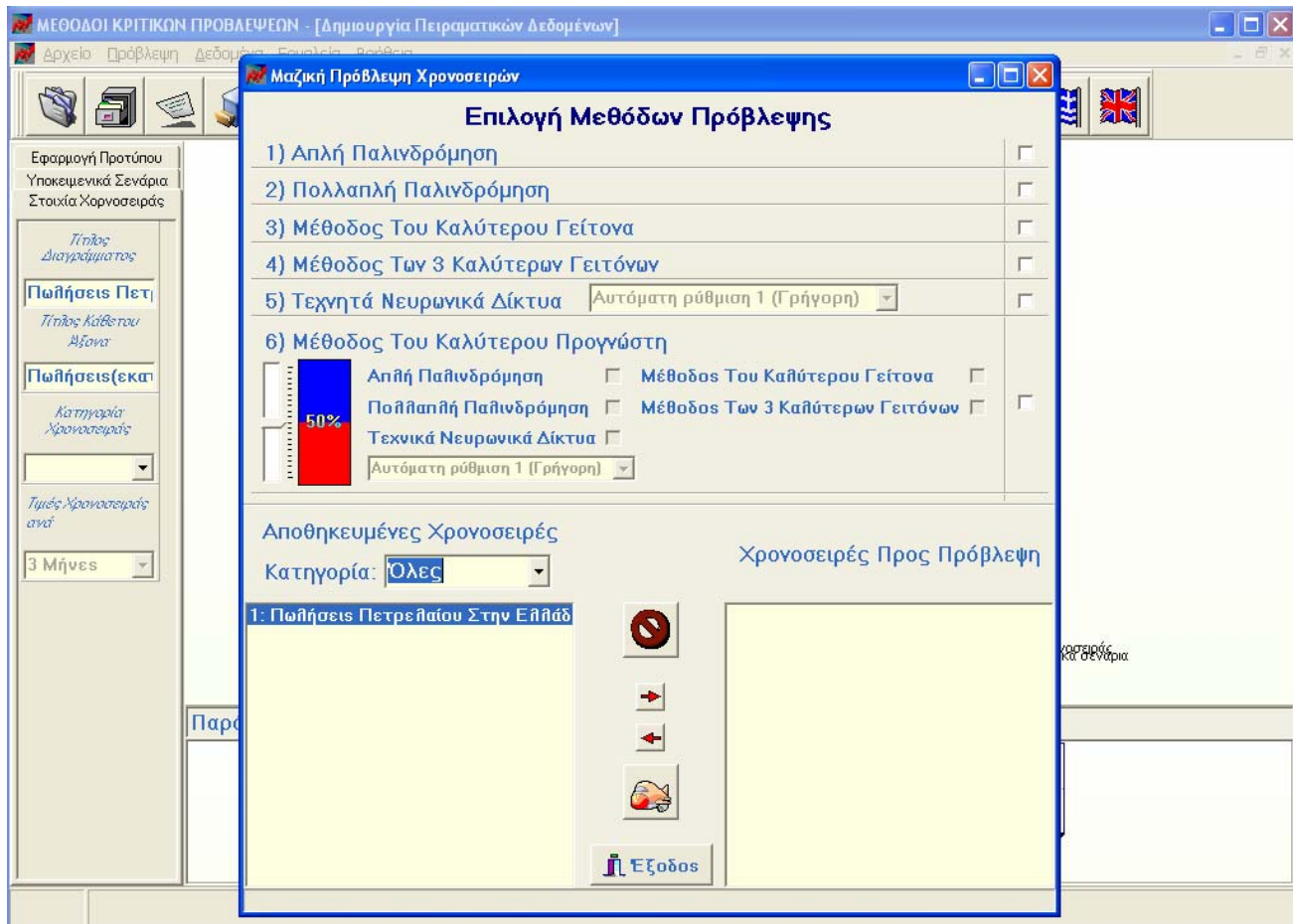
Below the list, there is a section for 'Επιλογή μοντέλου πρόβλεψης (Για τα Νευρωνικά Δίκτυα)' with a dropdown menu set to 'Αυτόματη ρύθμιση 1 (Γρήγορη)'. The 'Αριθμός δικτύων που μένουν να εξεταστούν:' is set to 20. The 'Μέθοδος νικητής:' and 'Ελάχιστο MAE που βρέθηκε:' fields are empty.

A pie chart on the right shows a 50% split between 'Σετ Εκπαίδευσης 100%' (blue) and 'Σετ Επαλήθευσης 100%' (red). The 'Εξομοίωση' (Simulation) button is highlighted.

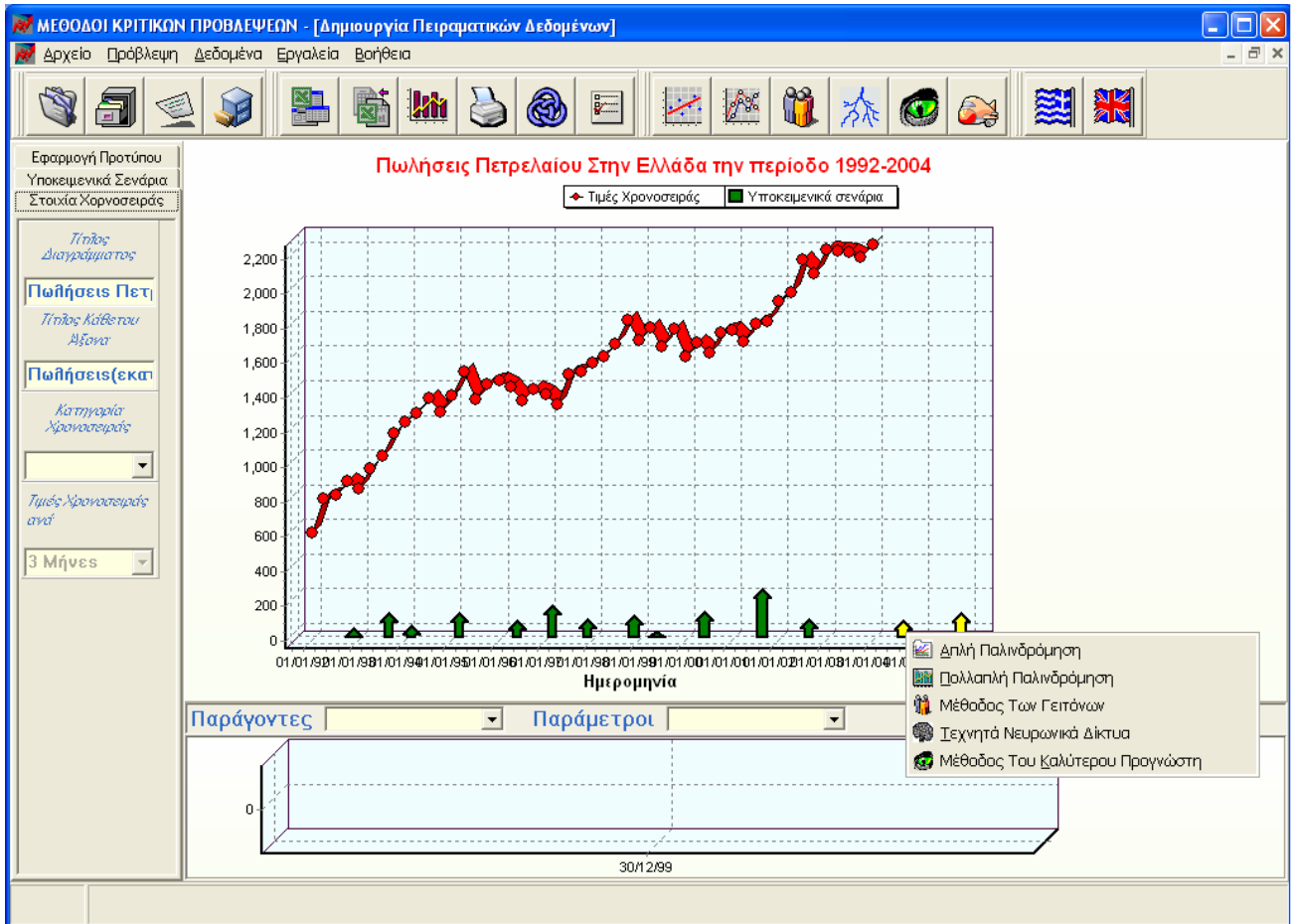
Ο χρήστης επιλέγει ποια μέθοδος θα συμμετάσχει στο διαγωνισμό σημειώνοντας τα αντίστοιχα checkbox στα αριστερά. Το ποσοστό του σετ επαλήθευσης και του σετ εκπαίδευσης από το αρχικό σετ

ιστορικών δεδομένων επιλέγεται μετακινώντας την μπάρα στα δεξιά της φόρμας. Π.χ. όταν ο δείκτης βρίσκεται στο 90% αυτό σημαίνει ότι 90% του σετ δεδομένων θα αποδοθεί στο σετ εκπαίδευσης και το υπόλοιπο 10% στο σετ επαλήθευσης. Κάθε φορά που εκτελείται η πρόβλεψη και γίνεται ο διαχωρισμός των δύο υποσυνόλων τα δεδομένα επιλέγονται για το κάθε υποσύνολο με τυχαία σειρά. Τα ακραία ποσοστά 100% και 0% μπορούν να επιλεγούν από το χρήστη χωρίς όμως να έχουν πραγματικό αντίκρισμα αφού το λιγότερο 1 δεδομένο θα ανήκει και στα δύο υποσύνολα προκειμένου να εφαρμοστεί η μέθοδος. Για την εκπαίδευση των νευρωνικών δικτύων παρέχεται η δυνατότητα επιλογής μιας από τις τρεις αυτόματες μεθόδους. Στο τέλος της διαδικασίας εμφανίζεται η μέθοδος που κέρδισε το διαγωνισμό, το μέσο απόλυτο σφάλμα αυτής στο σετ εκπαίδευσης και εκτελείται η πρόβλεψη.

Μαζική Πρόβλεψη Χρονοσειρών. Η εφαρμογή παρέχει στο χρήστη μια επιπλέον δυνατότητα να χρησιμοποιήσει και τις 5 μεθόδους προβλέποντας μαζικά την επίδραση μελλοντικών υποκειμενικών γεγονότων πολλών χρονοσειρών μαζί. Είτε πατώντας το κουμπί  είτε από το βασικό menu την αντίστοιχη επιλογή εμφανίζεται η φόρμα που φαίνεται στην επόμενη σελίδα. Ο χρήστης επιλέγει ποιες μεθόδους θέλει να εφαρμόσει, με ποιες παραμέτρους και σε ποιες χρονοσειρές. Τα αποτελέσματα αποθηκεύονται τελικά σε ένα αρχείο excel με μια συγκεκριμένη μορφή την οποία θα εξετάσουμε σε επόμενη ενότητα. Παράλληλα με τα αποτελέσματα της πρόβλεψης κάθε μεθόδου υπολογίζονται και τα σφάλματα MAPE MdAPE και GR-RAE για κάθε μέθοδο ξεχωριστά και για κάθε χρονοσειρά με βάση την τιμή της επίδρασης των μελλοντικών υποκειμενικών γεγονότων πριν την πρόβλεψη.




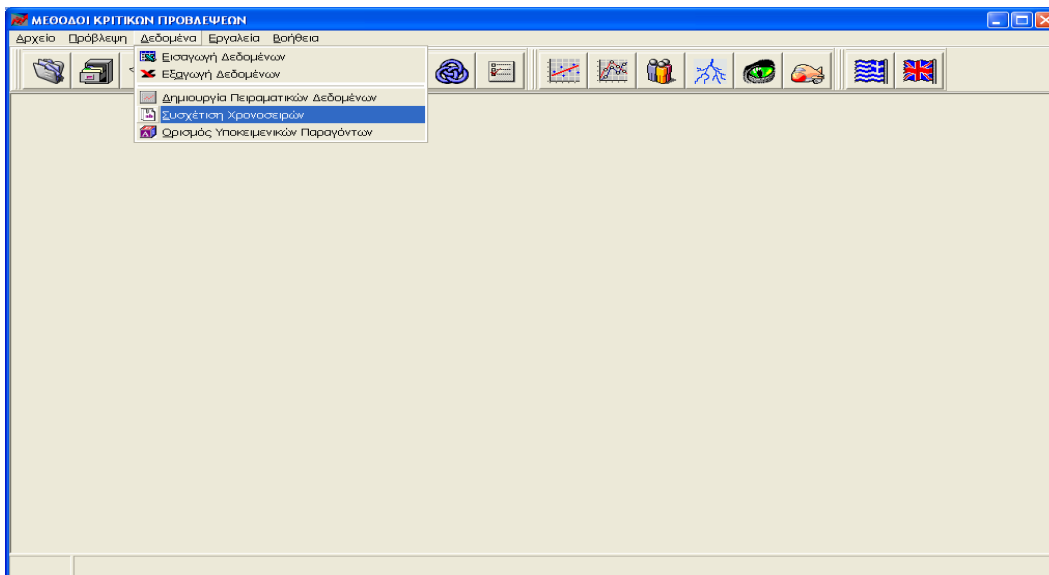
Η εφαρμογή κάθε μιας από τις 5 μεθόδους μπορεί να γίνει και ξεχωριστά για κάθε μελλοντικό υποκειμενικό γεγονός κάνοντας δεξί click πάνω στην αντίστοιχη μπάρα όπως φαίνεται στο screenshot της επόμενης σελίδας.



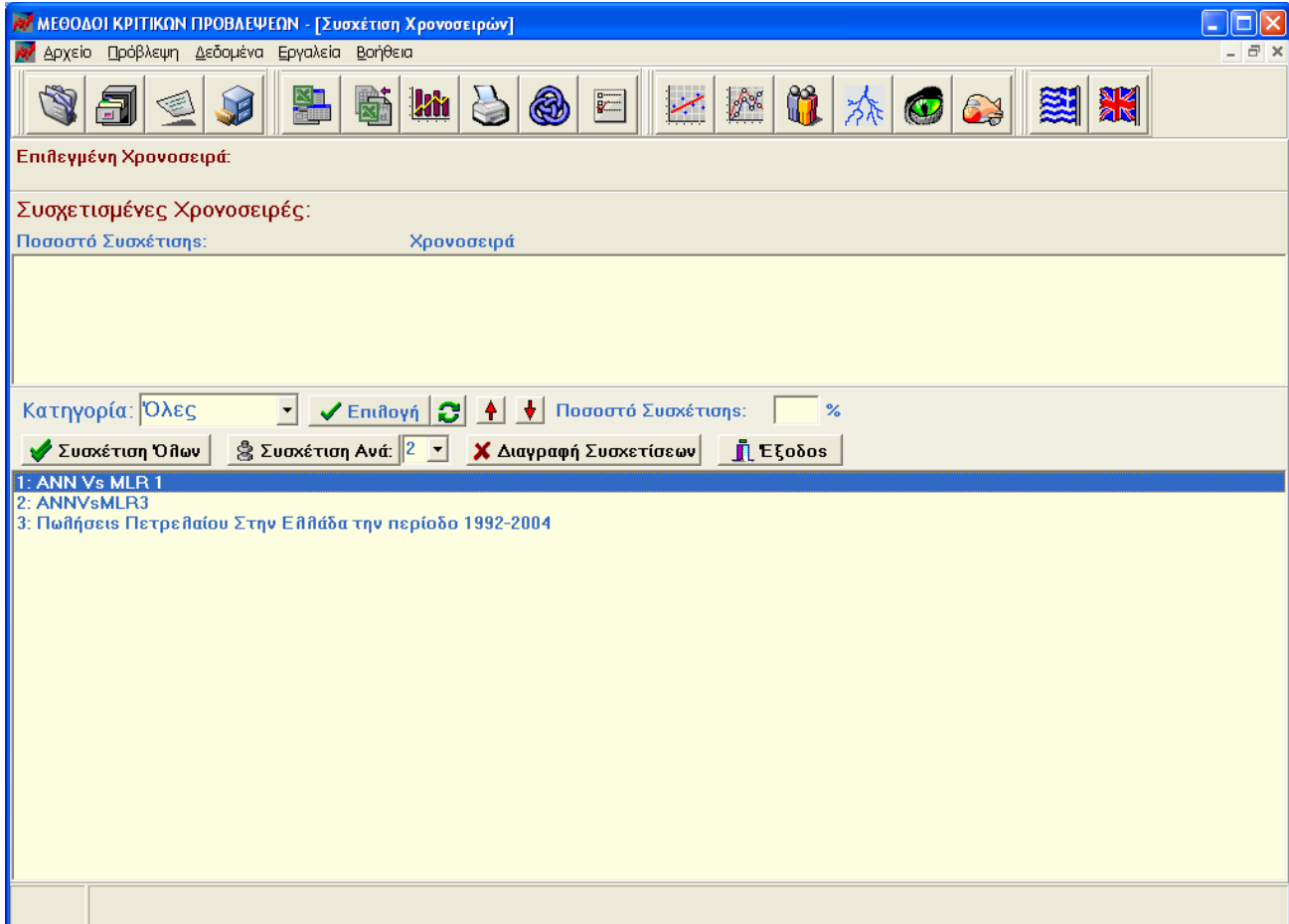
4.3.4 Συσχέτιση Χρονοσειρών


Μία πολύ χρήσιμη λειτουργία για την πρόβλεψη με χρήση Τεχνητών Νευρωνικών Δικτύων είναι και η συσχέτιση χρονοσειρών όμοιων ως προς τη συμπεριφορά αντίδρασης σε παρόμοια ή ίδια υποκειμενικά γεγονότα. Η χρήση Τεχνητών Νευρωνικών Δικτύων προϋποθέτει την ύπαρξη αρχειτών ιστορικών δεδομένων προκειμένου να μπορέσει το δίκτυο να προσεγγίσει σωστά και σε μεγάλο εύρος την συνάρτηση εξάρτησης της επίδρασης από τις παραμέτρους. Αν τα δεδομένα δεν είναι αρχειτά μπορεί να παραπλανηθεί και να προσεγγίσει μεν τα ιστορικά δεδομένα με μεγάλη ακρίβεια αλλά με μια τελείως διαφορετική μη γραμμική συνάρτηση. Η συσχέτιση των χρονοσειρών επιτρέπει τη χρήση ιστορικών δεδομένων από πολλές χρονοσειρές που παρουσιάζουν ομοιότητες, για την πρόβλεψη μελλοντικών γεγονότων μιας χρονοσειράς. Έτσι αυξάνει σημαντικά το πλήθος των δεδομένων εκπαίδευσης του ANN και βελτιώνει κατά πολύ την ποιότητα των αποτελεσμάτων.

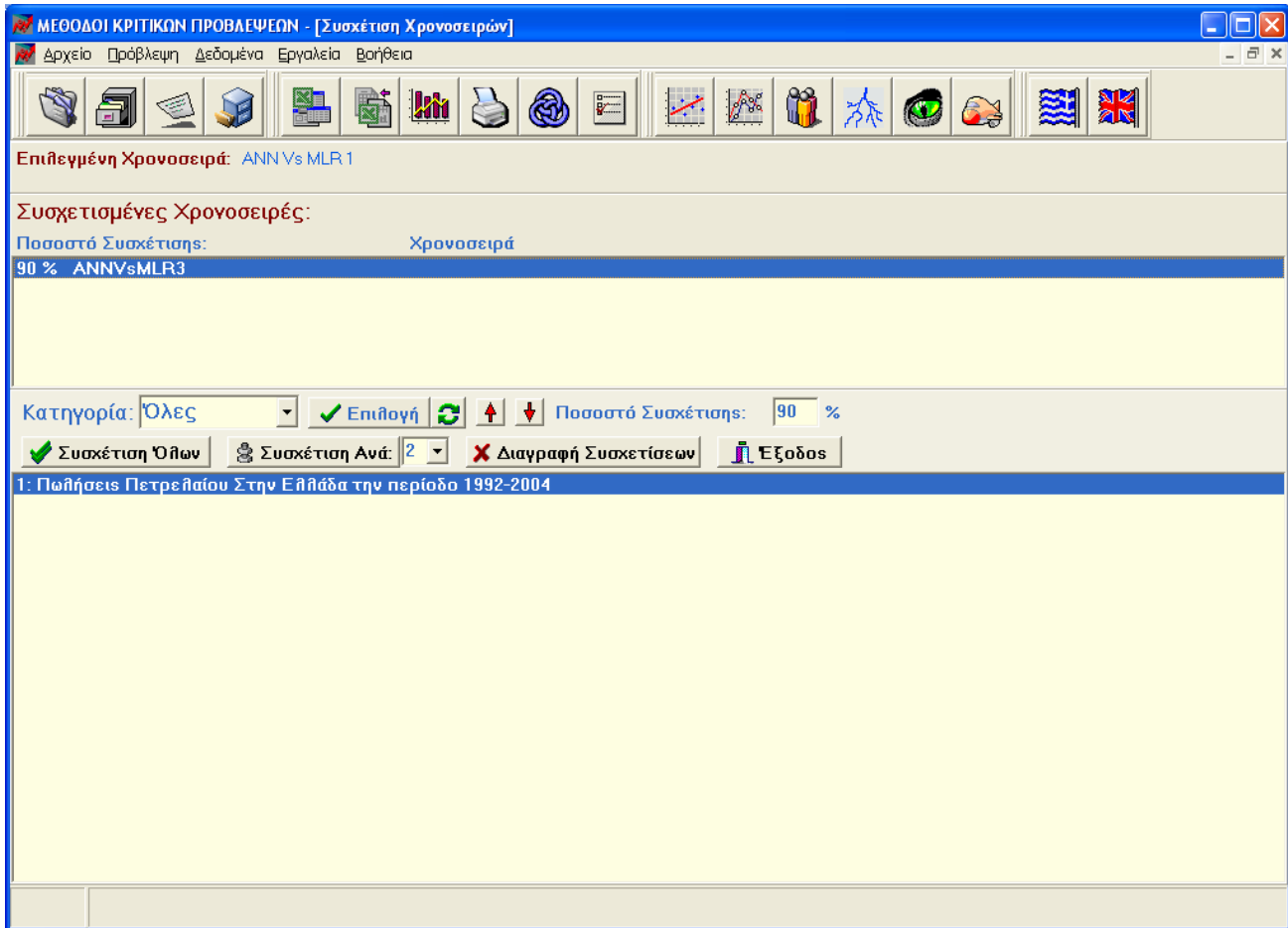
Ο χρήστης της εφαρμογής είναι αποκλειστικά υπεύθυνος για τη συσχέτιση των χρονοσειρών και γι' αυτό θα πρέπει να προσέξει οι συσχετίσεις που κάνει να ανταποκρίνονται στην πραγματικότητα. Λανθασμένες συσχετίσεις είναι πολύ πιθανό να οδηγήσουν σε μεγάλα λάθη πρόβλεψης. Ενδεικτικά παρακάτω θα δείξουμε πως μπορεί να γίνει η συσχέτιση μερικών χρονοσειρών χωρίς όμως αυτές να σχετίζονται πραγματικά. Ο χρήστης θα πρέπει να πατήσει το κουμπί ή  να επιλέξει την ίδια λειτουργία από το βασικό menu όπως φαίνεται παρακάτω.





Τότε εμφανίζεται η φόρμα της συσχέτισης χρονοσειρών:



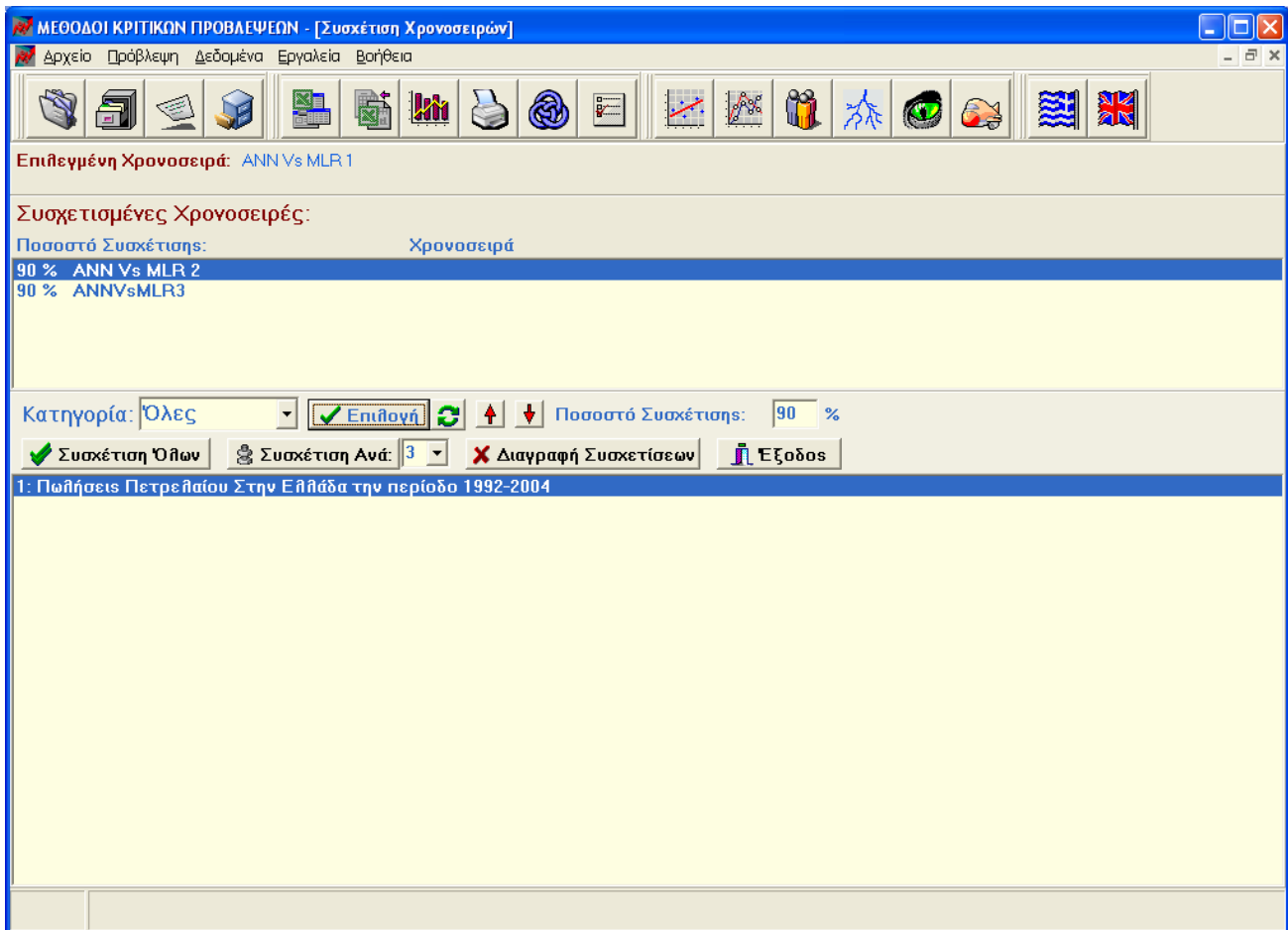
Στη συγκεκριμένη περίπτωση έχουμε αποθηκευμένες στη ΒΔ τρεις μόνο χρονοσειρές τα ονόματα των οποίων φαίνονται στο παραπάνω screenshot. Από το drop down box με τίτλο Κατηγορία μπορούμε να επιλέξουμε να φαίνονται στη λίστα οι χρονοσειρές μόνο μιας συγκεκριμένης κατηγορίας. Έστω θεωρούμε ότι οι χρονοσειρές 1 και 2 σχετίζονται σε ένα βαθμό 90% και ότι οι 2 και 3 με ένα βαθμό 85%. Για να ο δηλώσουμε αυτό στη ΒΔ ακολουθούμε τα εξής βήματα. Επιλέγουμε αρχικά τη χρονοσειρά 1 όπως φαίνεται παραπάνω. Έπειτα, πατάμε στο κουμπί με τίτλο επιλογή. Η χρονοσειρά τότε επιλέγεται και μπορούμε να τη συσχετίσουμε με άλλες. Επιλέγουμε στη συνέχεια τη χρονοσειρά 2 και στο κουτί με το ποσοστό συσχέτιση πληκτρολογούμε 90. Τέλος πατάμε το κουμπί  και η συσχέτιση δηλώνεται. Το αποτέλεσμα φαίνεται στην επόμενη σελίδα.



Για να επανέλθουμε στην αρχική κατάσταση πατάμε το κουμπί της αναιρέσης  επιλογής και ακολουθούμε την ίδια διαδικασία για τη δεύτερη συσχέτιση. Το κουμπί  χρησιμεύει στην διαγραφή μιας συσχέτισης. Αυτό μεταφέρει τις επιλεγμένες χρονοσειρές από τη λίστα συσχέτισης στη λίστα των χρονοσειρών.

Η φόρμα συσχετίσεων παρέχει ορισμένες ακόμα δυνατότητες. Πατώντας το πλήκτρο με τίτλο 'Διαγραφή Συσχετίσεων' ο χρήστης μπορεί να διαγράψει όλες τις συσχετίσεις που είναι αποθηκευμένες στη ΒΔ. Με το κουμπί 'Συσχέτιση Όλων' συσχετίζονται με βάση το δηλωμένο ποσοστό συσχέτισης όλες οι επιλεγμένες χρονοσειρές στη λίστα χρονοσειρών μεταξύ τους. Με το κουμπί 'Συσχέτιση Ανά' συσχετίζονται μεταξύ τους όλες οι επιλεγμένες χρονοσειρές στη λίστα χρονοσειρών ανά τον αριθμό που επιλέγεται από το αντίστοιχο drop down box δίπλα από το κουμπί. Αν για παράδειγμα έχουν επιλεγεί 10 χρονοσειρές και θέλουμε να τις συσχετίσουμε μεταξύ τους ανά 6 τότε οι 6 πρώτες θα συσχετιστούν κανονικά και οι υπόλοιπες 4 αναγκαστικά ανά 4 μεταξύ τους. Στο παρακάτω παράδειγμα έχουμε εισάγει στη ΒΔ μία

ακόμα χρονοσειρά και έχουμε διαγράψει όλες τις συσχετίσεις από τη ΒΔ. Θέλουμε να συσχετίσουμε όλες τις χρονοσειρές στη ΒΔ μεταξύ τους ανά 3 με ποσοστό συσχέτισης έστω 90%. Για το λόγο αυτό επιλέγουμε όλες τις χρονοσειρές (4 στον αριθμό) από τη λίστα χρονοσειρών και από το drop down box τον αριθμό 3. Τέλος πατάμε το κουμπι 'Συσχέτιση Ανά'. Αφού η εφαρμογή μας ενημερώσει ότι η συσχέτιση εκτελέστηκε με επιτυχία για να δούμε το αποτέλεσμα επιλέγουμε έστω την πρώτη χρονοσειρά και πατάμε το κουμπι επιλογή. Το αποτέλεσμα που παίρνουμε φαίνεται παρακάτω.



Παρατηρούμε πως η πρώτη χρονοσειρά συσχετίστηκε με τις επόμενες δύο. Το ίδιο θα παρατηρήσουμε αν επιλέξουμε τις χρονοσειρές δύο και τρία ενώ για την τέταρτη θα δούμε πως δεν έχει συσχετιστεί με καμία αφού περισεψε τελευταία.

4.3.5 Διαχείριση Χρονοσειρών

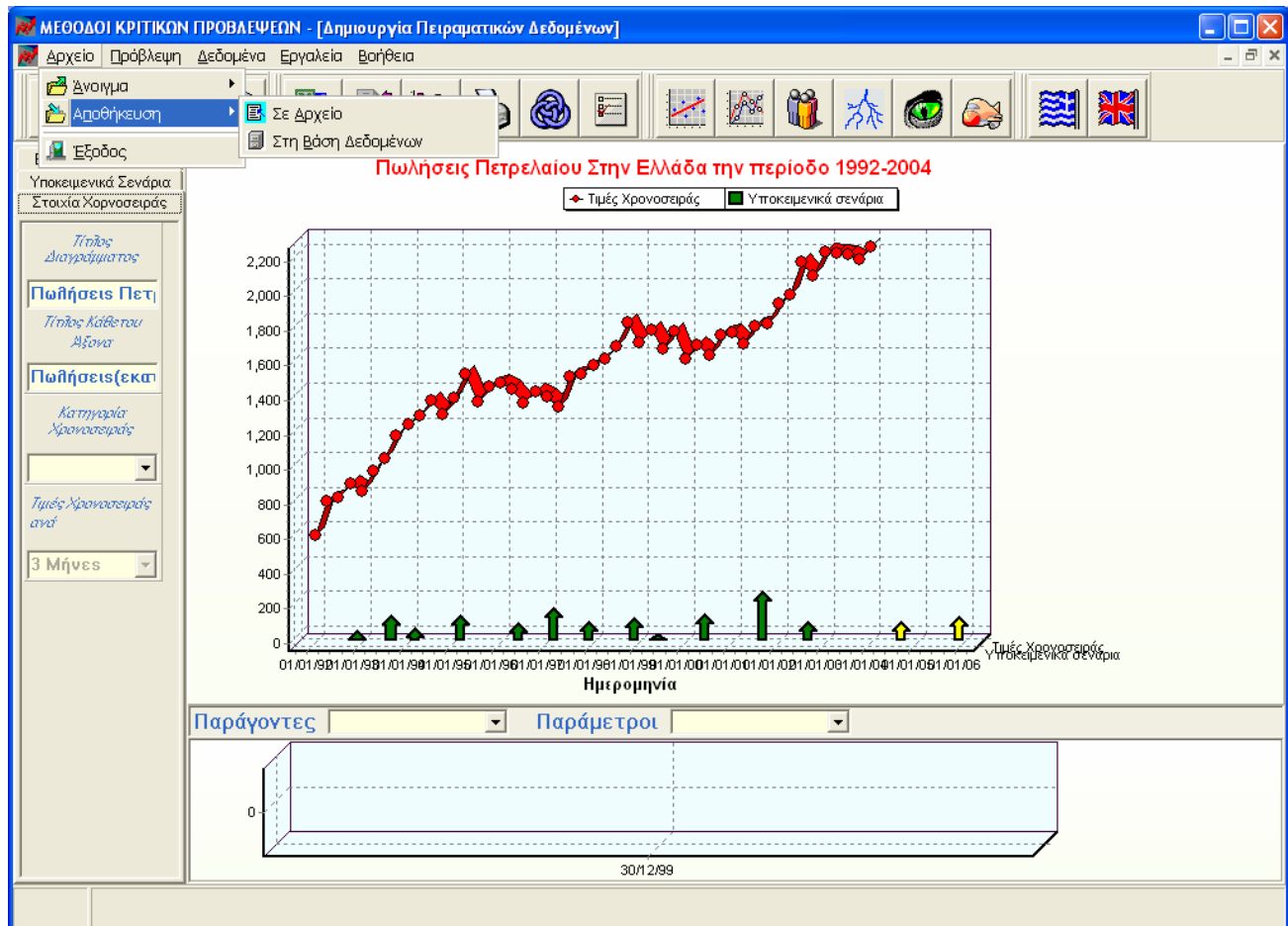
Η διαχείριση των χρονοσειρών αφορά στην αποθήκευσή τους στη ΒΔ ή σε κάποιο αρχείο ή την ανάκτησή τους από τη ΒΔ ή από κάποιο αρχείο. Η αποθήκευση μιας χρονοσειράς γίνεται είτε από το βασικό menu όπως φαίνεται παρακάτω είτε από τα κουμπιά:



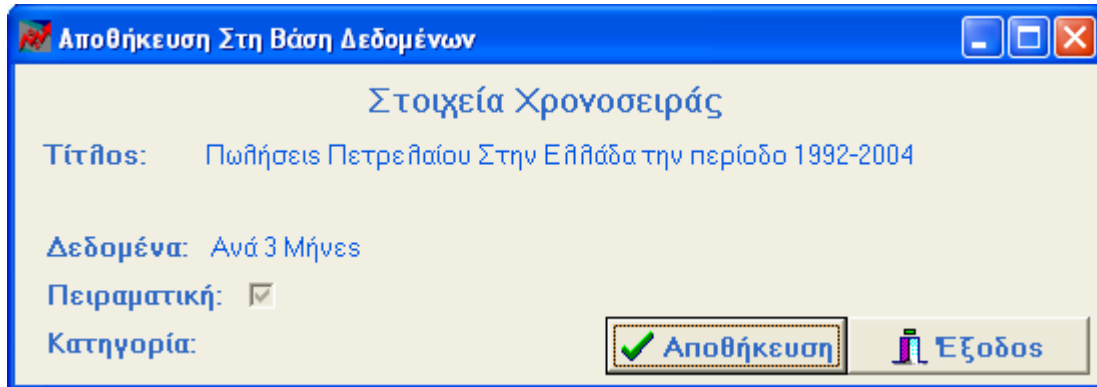
και ‘Αποθήκευση στη ΒΔ’



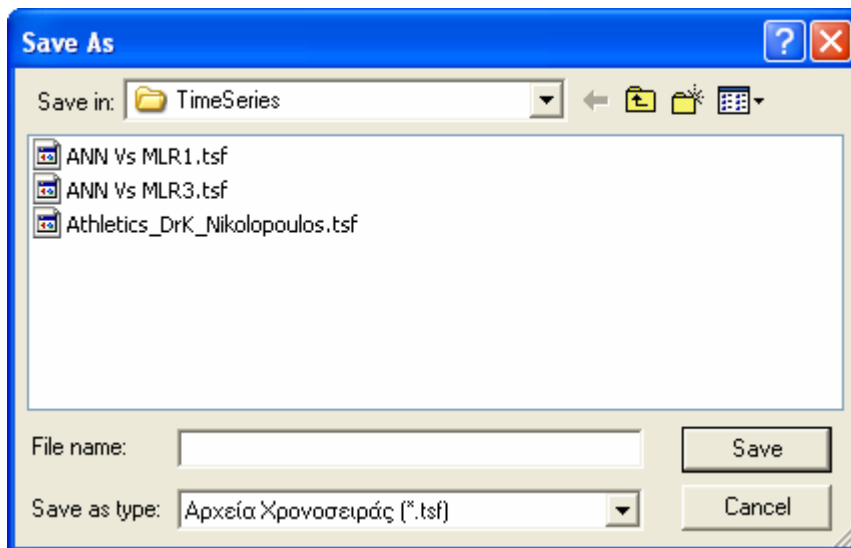
‘Αποθήκευση στη ΒΔ’



Κατά την επιλογή της αποθήκευσης μια χρονοσειράς στη ΒΔ εμφανίζεται η φόρμα επιβεβαίωσης που φαίνεται στην επόμενη σελίδα και περιέχει βασικές πληροφορίες για τη χρονοσειρά.



Κατά την επιλογή της αποθήκευσης σε κάποιο αρχείο εμφανίζεται η παρακάτω φόρμα στην οποία ο χρήστης δηλώνει το όνομα της χρονοσειράς με το οποίο θέλει να αποθηκευτεί. Το αρχείο που θα δημιουργήσει η εφαρμογή στο δίσκο είναι δυαδικό και μπορεί να διαβαστεί μόνο από την ίδια την εφαρμογή. Αυτό έχει κατάληξη tsf.



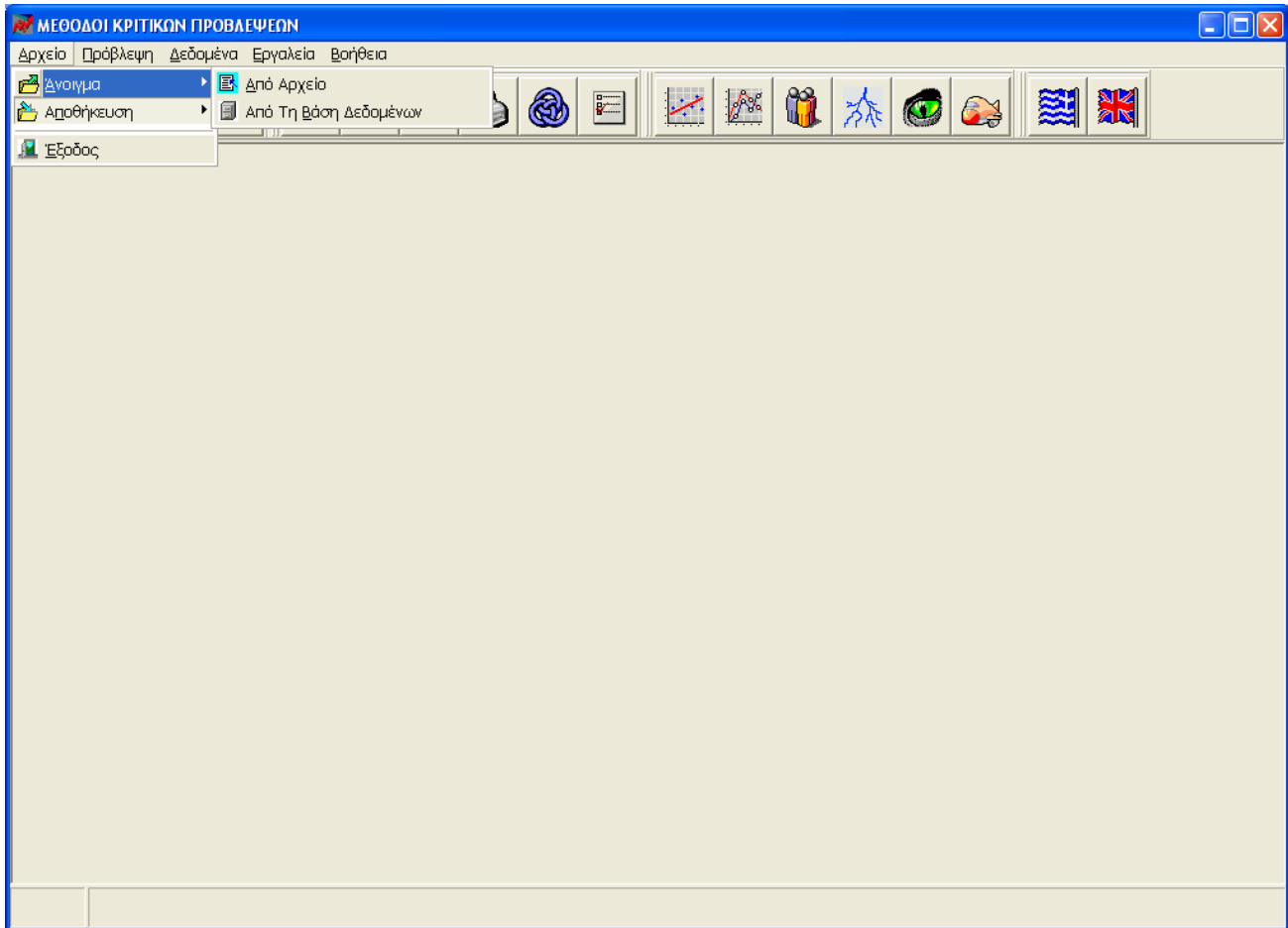
Η λειτουργία της ανάκτησης μιας χρονοσειράς γίνεται είτε από τη ΒΔ είτε από το δίσκο από κάποιο αρχείο της μορφής που περιγράφηκε προηγουμένως. Αυτή γίνεται από το βασικό menu όπως φαίνεται στην επόμενη σελίδα ή από τα κουμπιά:



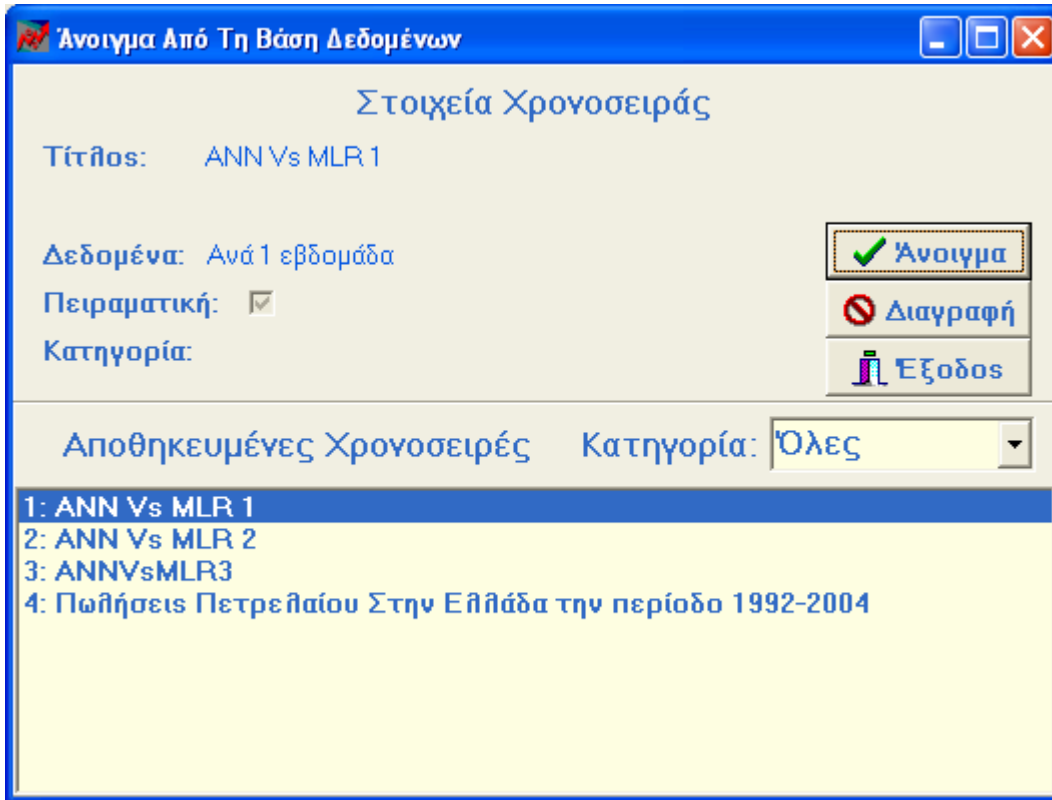
‘Ανοιγμα από Αρχείο’



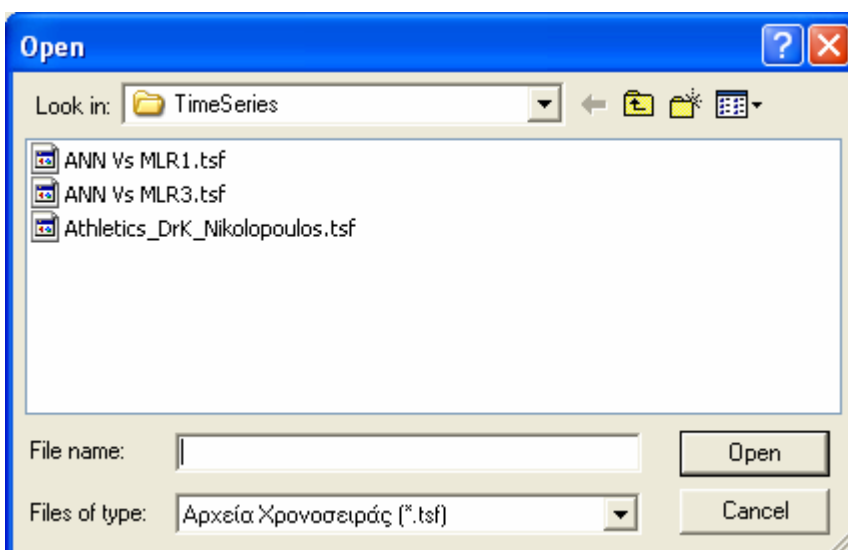
‘Ανοιγμα από τη ΒΔ’ και



Κατά την επιλογή της ανάκτησης από τη ΒΔ εμφανίζεται η φόρμα επιλογής της επόμενης σελίδας μέσα από την οποία μπορούμε να ανοίξουμε ταυτόχρονα πολλές χρονοσειρές καθώς και να διαγράψουμε όποιες επιθυμούμε από τη ΒΔ. Από το drop down box μπορούμε να επιλέξουμε να εμφανίζονται στη λίστα μόνο οι χρονοσειρές κάποιας συγκεκριμένης κατηγορίας. Η πολλαπλή επιλογή είναι δυνατή είτε κρατώντας πατημένο το ctrl και επιλέγοντας τις χρονοσειρές είτε κάνοντας drag το mouse από πάνω και κρατώντας πατημένο το αριστερό κουμπί του.



Κατά την επιλογή της ανάκτησης από αρχείο εμφανίζεται η παρακάτω φόρμα η οποία μας επιτρέπει να επιλέξουμε το κατάλληλο αρχείο από το δίσκο.



4.3.6 Εισαγωγή – Εξαγωγή Δεδομένων

Εισαγωγή – Εξαγωγή Δεδομένων. Η Λειτουργία αυτή περιλαμβάνει την εισαγωγή και εξαγωγή χρονοσειρών από και σε αρχεία του excel. Μια χρονοσειρά για να μπορέσει να εισαχθεί από αρχείο του excel θα πρέπει να έχει συγκεκριμένη μορφή όπως φαίνεται παρακάτω.

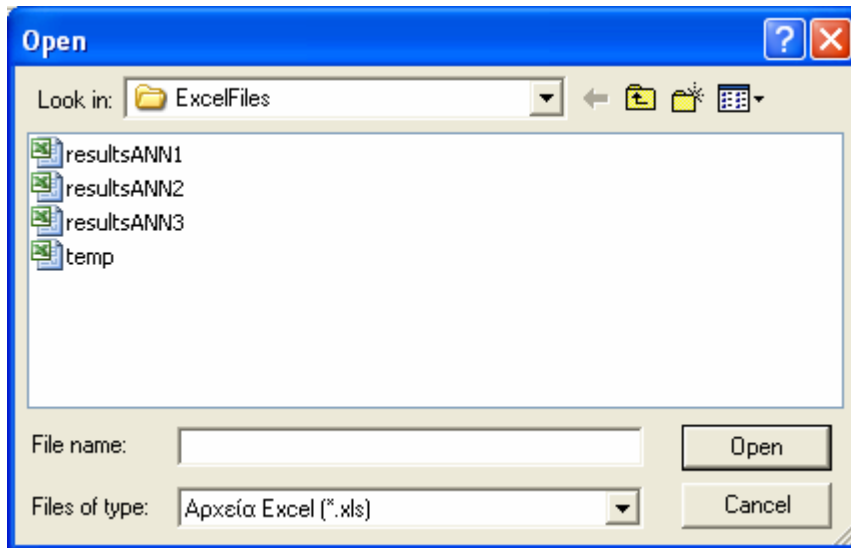
	A	B	C	D	E	F	G	H	I	J	K
1	Πωλήσεις Πετρελαίου Στην Ελλάδα την περίοδο 1992-2004										
2		FactorA	FactorB	Impact							
3		A1	B1 B2								
4	Πωλήσεις Πετρελαίου Στην Ελλάδα την περίοδο 1992-2004_EVENT01	5	2 1	52.682							
5	Πωλήσεις Πετρελαίου Στην Ελλάδα την περίοδο 1992-2004_EVENT02	12	6 3	138.682							
6	Πωλήσεις Πετρελαίου Στην Ελλάδα την περίοδο 1992-2004_EVENT03	7	0 0	66.042							
7	Πωλήσεις Πετρελαίου Στην Ελλάδα την περίοδο 1992-2004_EVENT04	12	2 8	135.318							
8	Πωλήσεις Πετρελαίου Στην Ελλάδα την περίοδο 1992-2004_EVENT05	9	12 0	95.869							
9	Πωλήσεις Πετρελαίου Στην Ελλάδα την περίοδο 1992-2004_EVENT06	10	7 11	177.955							
10	Πωλήσεις Πετρελαίου Στην Ελλάδα την περίοδο 1992-2004_EVENT07	7	5 6	100.136							
11	Πωλήσεις Πετρελαίου Στην Ελλάδα την περίοδο 1992-2004_EVENT08	3	6 15	121.228							
12	Πωλήσεις Πετρελαίου Στην Ελλάδα την περίοδο 1992-2004_EVENT09	3	4 0	30.409							
13	Πωλήσεις Πετρελαίου Στην Ελλάδα την περίοδο 1992-2004_EVENT10	14	0 0	146.142							
14	Πωλήσεις Πετρελαίου Στην Ελλάδα την περίοδο 1992-2004_EVENT11	6	14 15	272.32							
15	Πωλήσεις Πετρελαίου Στην Ελλάδα την περίοδο 1992-2004_EVENT12	9	8 2	105.045							
16	Πωλήσεις Πετρελαίου Στην Ελλάδα την περίοδο 1992-2004_EVENT13	8	4 6	102.1361085	F						
17	Πωλήσεις Πετρελαίου Στην Ελλάδα την περίοδο 1992-2004_EVENT14	12	7 2	134.1668645	F						
18											
19	END										
20											
21											
22											
23											
24											
25											
26											
27											
28											
29											
30											
31											
32											
33											
34											
35											

Στο πάνω αριστερό κελί δηλώνεται η ονομασία της χρονοσειράς (A1). Στο κελί B2 αρχίζουμε να δηλώνουμε τους παράγοντες με τις παραμέτρους τους που εμφανίζονται στα ιστορικά και μελλοντικά υποκειμενικά γεγονότα. Για κάθε παράγοντα γράφουμε ακριβώς από κάτω του, τις παραμέτρους από τις οποίες αυτός αποτελείται με τη σειρά. Στο κελί που βρίσκεται ακριβώς κάτω από κάθε παράγοντα δηλώνεται η πρώτη παράμετρός του. Όταν δηλωθούν όλες οι παράμετροι όλων των παραγόντων στο

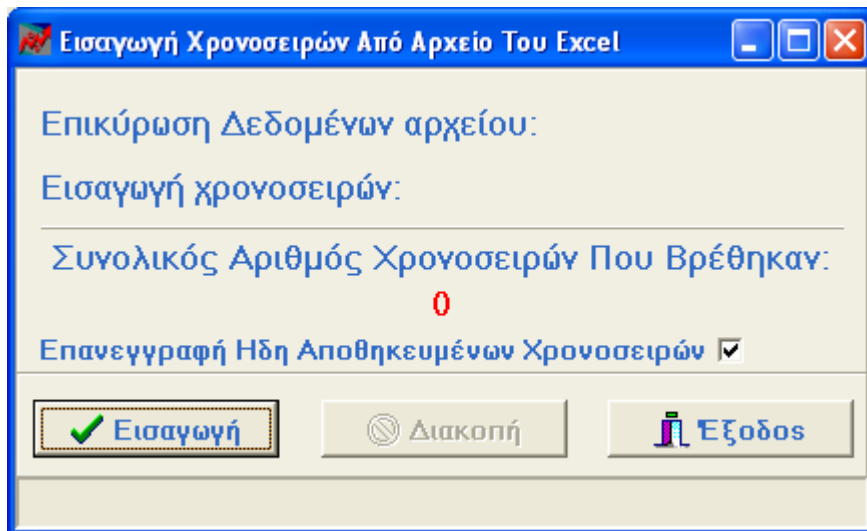
αμέσως δεξιότερο κελί και στο ύψος που είναι δηλωμένοι οι παράγοντες πρέπει να υπάρχει η λέξη 'Impact'. Η στήλη αυτή περιέχει την επίδραση των υποκειμενικών γεγονότων. Αν πρόκειται για πραγματικά δεδομένα και δε ξέρουμε την επίδραση των μελλοντικών γεγονότων τότε θα πρέπει να συμπληρωθεί το 0 στην επίδραση κάθε γεγονότος και να μην αφεθεί κενό το αντίστοιχο κελί. Ακριβώς δεξιότερα της επίδρασης των μελλοντικών γεγονότων για να δηλωθεί ότι αυτά είναι μελλοντικά θα πρέπει να υπάρχει το σύμβολο 'F'. Στα κελιά που ακολουθούνε κάτω από τις ονομασίες των παραμέτρων συμπληρώνεται η τιμή της κάθε παραμέτρου για το αντίστοιχο γεγονός. Κάθε γεγονός χαρακτηρίζεται από μια ονομασία που αρχίζει με το όνομα της χρονοσειράς και καταλήγει με τη λέξη 'Event' και τον αριθμό του γεγονότος. Είναι δυνατόν ένα αρχείο excel να περιέχει περισσότερες από μία χρονοσειρές, αρκεί αυτές να διαχωρίζονται από τουλάχιστον μία κενή γραμμή όπως φαίνεται παρακάτω. Σε κάθε περίπτωση θα πρέπει μετά την τελευταία χρονοσειρά και μετά από μια τουλάχιστον κενή γραμμή στην πρώτη στήλη να υπάρχει η λέξη 'END'. Τέλος το όνομα του sheet στο οποίο δηλώνεται μια χρονοσειρά αποτελεί και την ονομασία της κατηγορίας στην οποία ανήκει. Μπορεί ένα αρχείο excel να περιέχει περισσότερα του ενός sheets με περισσότερες από μία χρονοσειρές το καθένα.

Πωλήσεις Πετρελαίου Στην Ελλάδα την περίοδο 1992-2004					
Event	FactorA	FactorB	Impact		
1	FactorA	FactorB	Impact		
2	A1	B1	B2		
3					
4	Πωλήσεις Πετρελαίου Στην Ελλάδα την περίοδο 1992-2004_EVENT01	5	2	1	52.682
5	Πωλήσεις Πετρελαίου Στην Ελλάδα την περίοδο 1992-2004_EVENT02	12	6	3	138.682
6	Πωλήσεις Πετρελαίου Στην Ελλάδα την περίοδο 1992-2004_EVENT03	7	0	0	66.042
7	Πωλήσεις Πετρελαίου Στην Ελλάδα την περίοδο 1992-2004_EVENT04	12	2	8	135.318
8	Πωλήσεις Πετρελαίου Στην Ελλάδα την περίοδο 1992-2004_EVENT05	9	12	0	95.869
9	Πωλήσεις Πετρελαίου Στην Ελλάδα την περίοδο 1992-2004_EVENT06	10	7	11	177.955
10	Πωλήσεις Πετρελαίου Στην Ελλάδα την περίοδο 1992-2004_EVENT07	7	5	6	100.136
11	Πωλήσεις Πετρελαίου Στην Ελλάδα την περίοδο 1992-2004_EVENT08	3	6	15	121.228
12	Πωλήσεις Πετρελαίου Στην Ελλάδα την περίοδο 1992-2004_EVENT09	3	4	0	30.409
13	Πωλήσεις Πετρελαίου Στην Ελλάδα την περίοδο 1992-2004_EVENT10	14	0	0	146.142
14	Πωλήσεις Πετρελαίου Στην Ελλάδα την περίοδο 1992-2004_EVENT11	6	14	15	272.32
15	Πωλήσεις Πετρελαίου Στην Ελλάδα την περίοδο 1992-2004_EVENT12	9	8	2	105.045
16	Πωλήσεις Πετρελαίου Στην Ελλάδα την περίοδο 1992-2004_EVENT13	8	4	6	102.1361085 F
17	Πωλήσεις Πετρελαίου Στην Ελλάδα την περίοδο 1992-2004_EVENT14	12	7	2	134.1668645 F
18					
19	ANN Vs MLR 1				
20		Promotion		Impact	
21		Duration	Investment		
22	ANN Vs MLR 1_EVENT01	18	150000	42000	
23	ANN Vs MLR 1_EVENT02	15	100000	25000	
24	ANN Vs MLR 1_EVENT03	15	120000	30000	
25	ANN Vs MLR 1_EVENT04	22	136000	43520	
26	ANN Vs MLR 1_EVENT05	8	44000	7920	
27	ANN Vs MLR 1_EVENT06	7	69000	11730	
28	ANN Vs MLR 1_EVENT07	24	90000	30600	
29	ANN Vs MLR 1_EVENT08	7	110000	18700	
30	ANN Vs MLR 1_EVENT09	12	60000	13200	
31	ANN Vs MLR 1_EVENT10	14	45000	10800	
32	ANN Vs MLR 1_EVENT11	11	111000	23310	
33	ANN Vs MLR 1_EVENT12	17	164000	44280	
34	ANN Vs MLR 1_EVENT13	5	37000	5550	
35	ANN Vs MLR 1_EVENT14	26	189000	68940	

Η εισαγωγή δεδομένων από ένα αρχείο excel γίνεται όταν ο χρήστης πατήσει το κουμπί ή την αντίστοιχη επιλογή από το βασικό menu. Τότε εμφανίζεται η φόρμα επιλογής αρχείου:



και αμέσως μετά η φόρμα εισαγωγής:



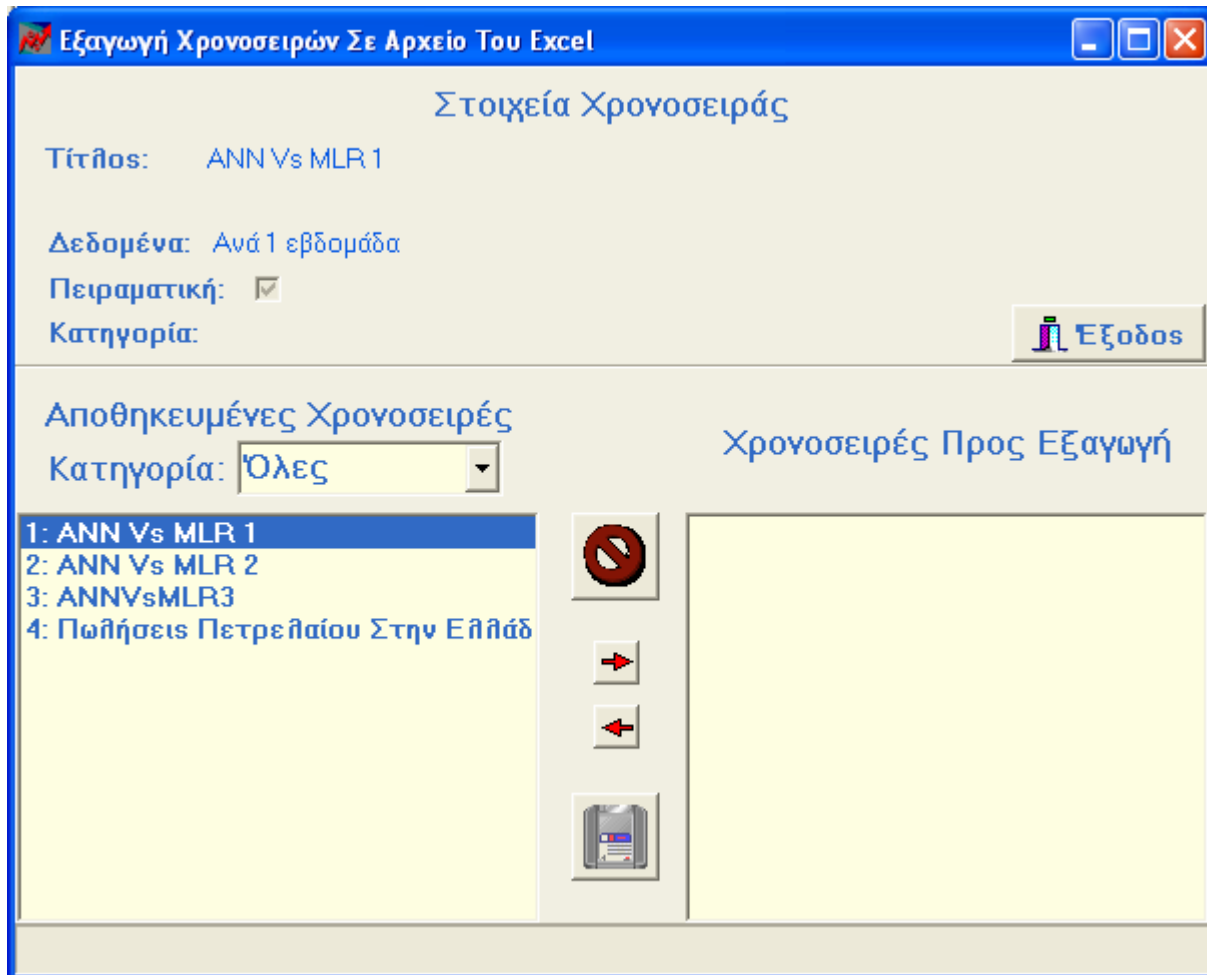
Πριν την εισαγωγή γίνεται επαλήθευση των δεδομένων του αρχείου και αν υπάρχει οποιοδήποτε πρόβλημα μη συμβατότητας εμφανίζεται το κατάλληλο μήνυμα ειδοποιώντας σε ποιο ακριβώς κελί εντοπίστηκε το πρόβλημα. Στην αντίθετη περίπτωση ολοκληρώνεται η εισαγωγή στη ΒΔ.

Η εξαγωγή των δεδομένων γίνεται όταν ο χρήστης πατήσει το κουμπί

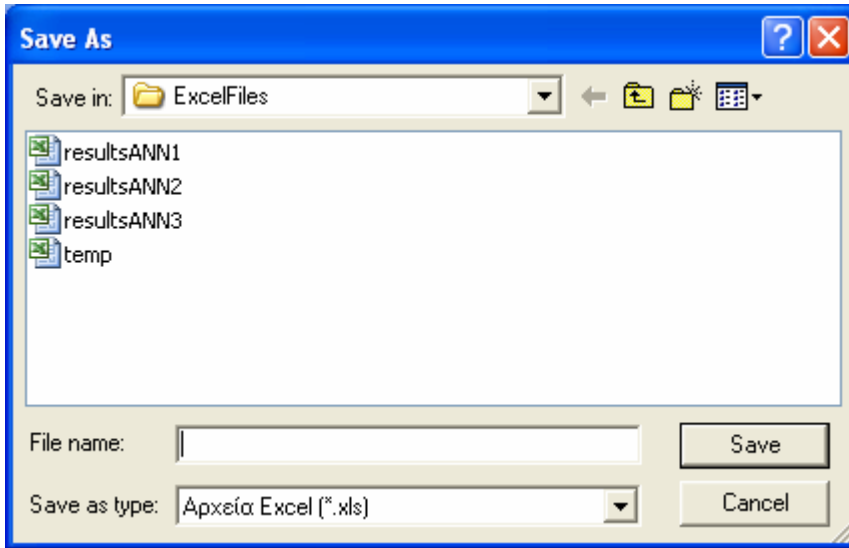


ή από το βασικό

menu. Τότε εμφανίζεται η φόρμα που φαίνεται παρακάτω.



Ο χρήστης θα πρέπει να επιλέξει ποιες χρονοσειρές θέλει να εξάγει και στη συνέχεια να πατήσει το κουμπί με τη δισκέτα. Τότε θα εμφανιστεί η φόρμα της επόμενης σελίδας στην οποία θα δηλώσει το όνομα του αρχείου και την τοποθεσία στην οποία θέλει να αποθηκευτεί.



Το αρχείο που θα δημιουργηθεί θα ακολουθεί όλους τους παραπάνω κανόνες και θα περιέχει ομαδοποιημένες τις χρονοσειρές σε διαφορετικά sheets ανάλογα με την κατηγορία στην οποία αυτές ανήκουν. Κάθε sheet θα ονομαστεί από την αντίστοιχη κατηγορία.

4.3.7 Επιπλέον Δυνατότητες

Επεξεργασία Διαγραμμάτων. Μέσα από το βασικό menu Εργαλεία->Προβολή Εργαλείων ο χρήστης έχει τη δυνατότητα να επιλέξει ποια εργαλεία θα εμφανίζονται στην οθόνη. Η συγκεκριμένη επιλογή φαίνεται στο παρακάτω screenshot. Μέχρι εδώ έχουμε επεξηγήσει όλες τις μπάρες εργαλείων εκτός από μία. Αυτή της επεξεργασίας διαγραμμάτων. Η τελευταία δίνει στον χρήστη κάποιες επιπλέον δυνατότητες όσον αφορά την προβολή των χρονοσειρών.



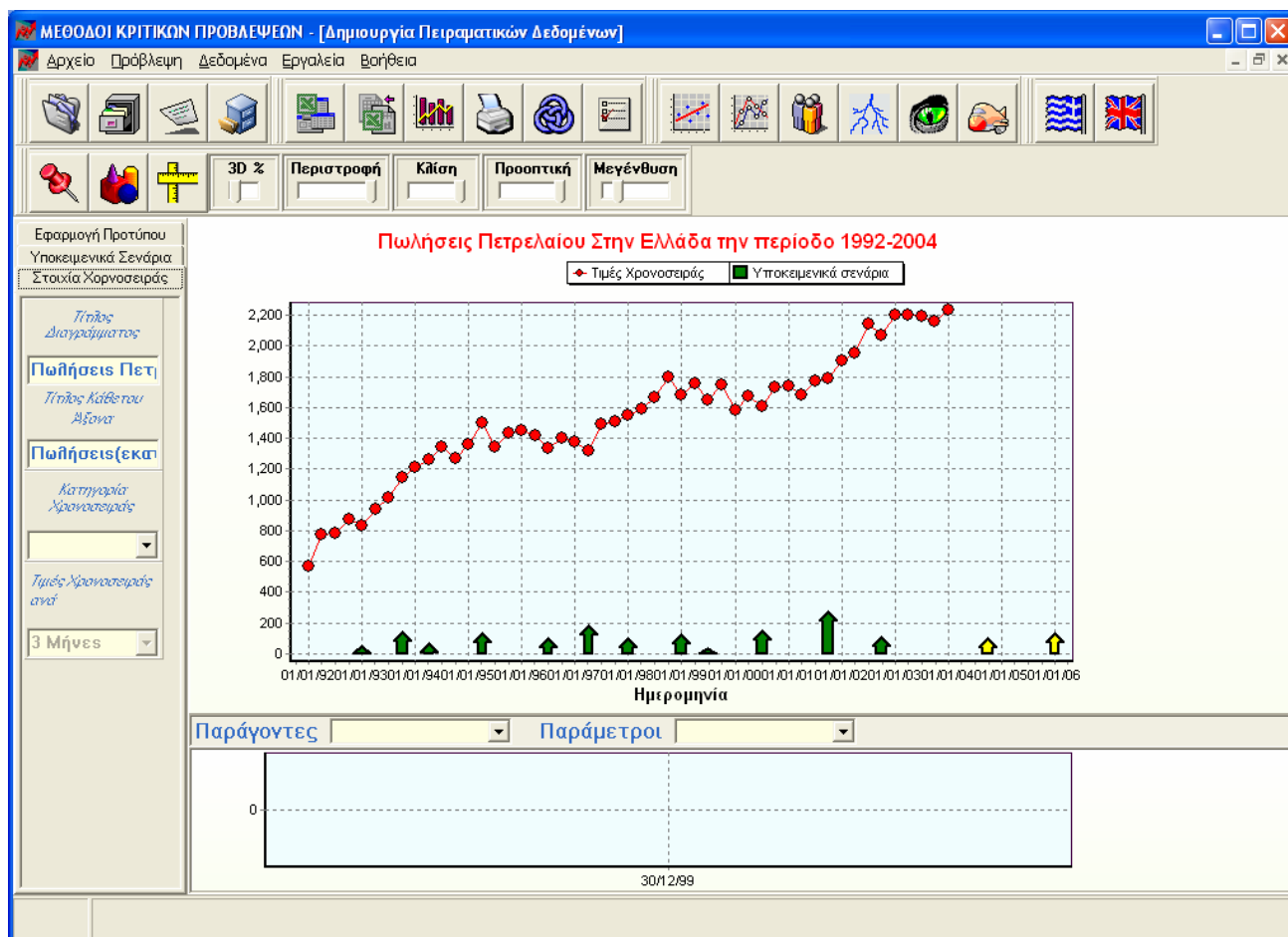
Αυτές είναι:



Επιλογή προβολής των τιμών των σημείων της χρονοσειράς πάνω στη γραφική παράσταση.



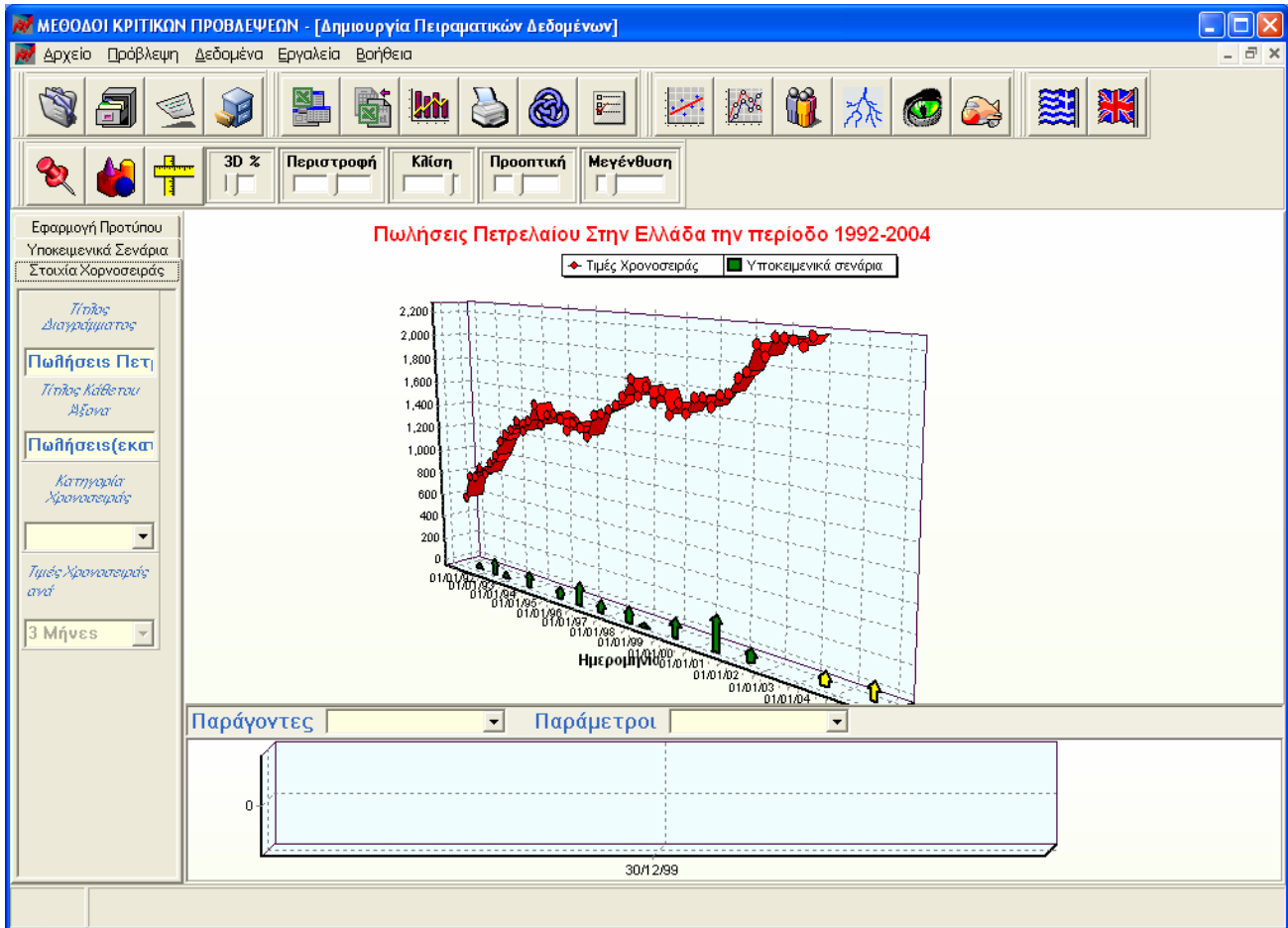
Εναλλαγή τρισδιάστατης-διδιάστατης προβολής. Παρακάτω φαίνεται ένα στιγμιότυπο διδιάστατης προβολής της ίδιας χρονοσειράς.



Εναλλαγή προβολής ορθοκανονικού-μη ορθοκανονικού συστήματος. Η συγκεκριμένη επιλογή μας δίνει τη δυνατότητα να δούμε τη χρονοσειρά που επιθυμούμε κάτω από διαφορετικές οπτικές γωνίες τις οποίες μπορούμε να ρυθμίσουμε από την μπάρα:



Ένα τέτοιο στιγμιότυπο φαίνεται στην επόμενη σελίδα.



Τακτοποίηση Παραθύρων. Από τη συγκεκριμένη επιλογή του βασικού menu ο χρήστης μπορεί να τακτοποιήσει τα παράθυρα τα οποία έχει ανοίξει με τέσσερις διαφορετικούς τρόπους. Ένα τέτοιο παράδειγμα φαίνεται παρακάτω.

The screenshot displays the main application window titled "ΜΕΘΟΔΟΙ ΚΡΙΤΙΚΩΝ ΠΡΟΒΛΕΨΕΩΝ". The menu bar includes "Αρχείο", "Πρόβλεψη", "Δεδομένα", "Εργαλεία", and "Βοήθεια". The "Εργαλεία" menu is open, showing options: "Παράθυρα", "Επιλογή Γλώσσας", "Περιστροφή", and "Κλίση". A sub-menu is also visible with options: "Τακτοποίηση", "Τακτοποίηση Οριζόντια", "Τακτοποίηση Κάθετα", and "Ελαχιστοποίηση Όλων".

Below the menu, there are two windows titled "Δημιουργία Πειραματικών Δεδομένων".

The left window is titled "ANN Vs MLR 1". It shows a scatter plot with red diamonds representing "Τιμές Χρονοσειράς" and black bars representing "Υποκειμενικά σενάρια". The y-axis ranges from 0 to 140,000. The x-axis is labeled "Ημερομηνία" with ticks for 01/01/03, 01/01/04, and 01/01/05. The left sidebar contains settings for "Εφαρμογή Προτύπου", "Υποκειμενικά Σενάρια", "Στοιχεία Χρονοσειράς", "Τύπος Διαγράμματος", "Τύπος Κάθετου Άξονα", "Κατηγορία Χρονοσειράς", and "Τιμές Χρονοσειράς ανά".

The right window is titled "Πωλήσεις Πετρελαίου Στην Ελλάδα την περίοδο 1992-20...". It shows a line graph with red diamonds for "Τιμές Χρονοσειράς" and black bars for "Υποκειμενικά σενάρια". The y-axis ranges from 0 to 2,200. The x-axis is labeled "Ημερομηνία" with ticks from 01/01/92 to 01/01/2000. The left sidebar contains settings for "Εφαρμογή Προτύπου", "Υποκειμενικά Σενάρια", "Στοιχεία Χρονοσειράς", "Τύπος Διαγράμματος", "Τύπος Κάθετου Άξονα", "Κατηγορία Χρονοσειράς", and "Τιμές Χρονοσειράς ανά".

Επιλογή Γλώσσας. Ο χρήστης έχει τη δυνατότητα επιλογής ανάμεσα σε Ελληνικά και Αγγλικά μέσα από το βασικό menu ή από τα κουμπιά:

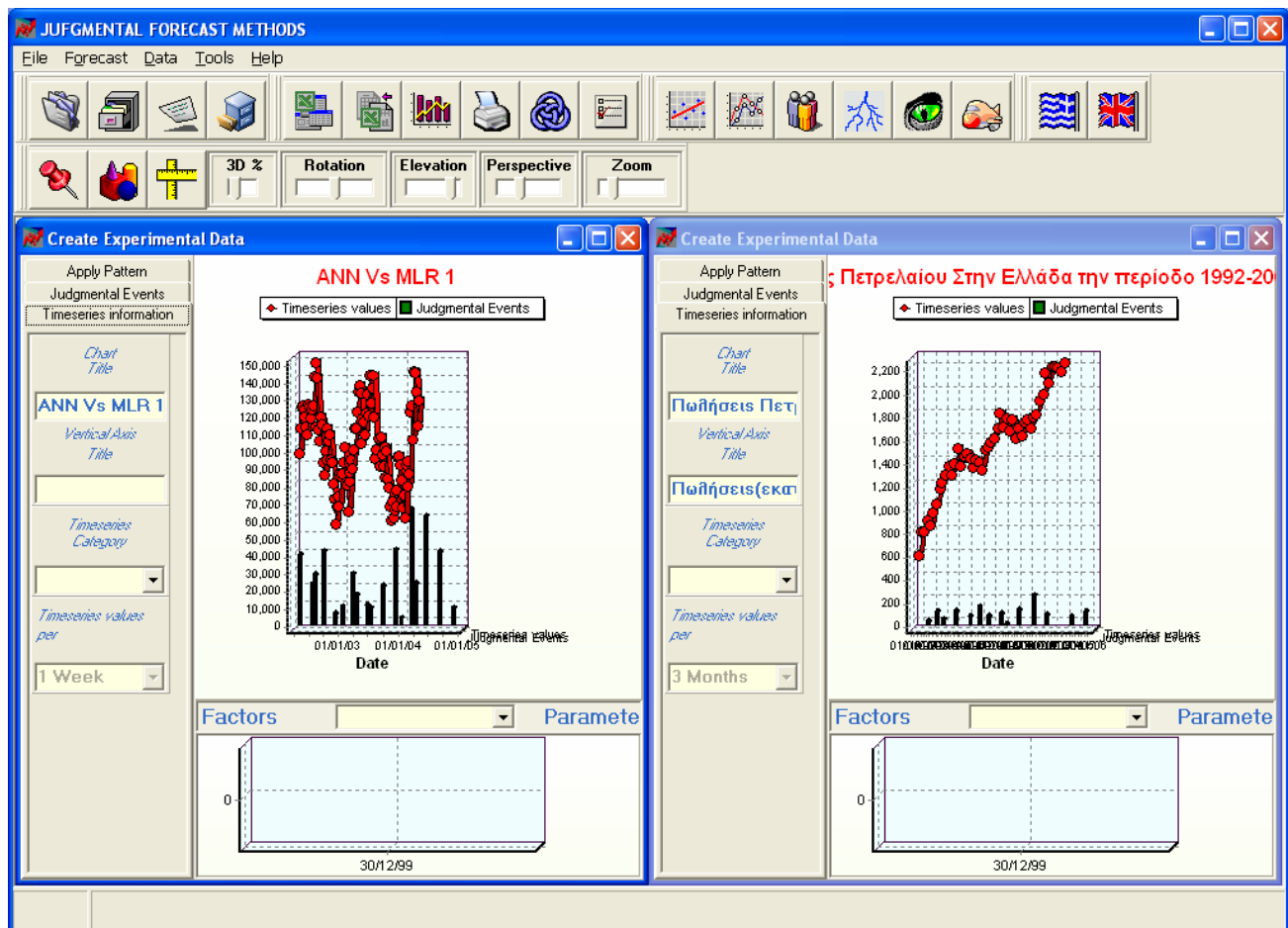


‘Επιλογή Αγγλικών’

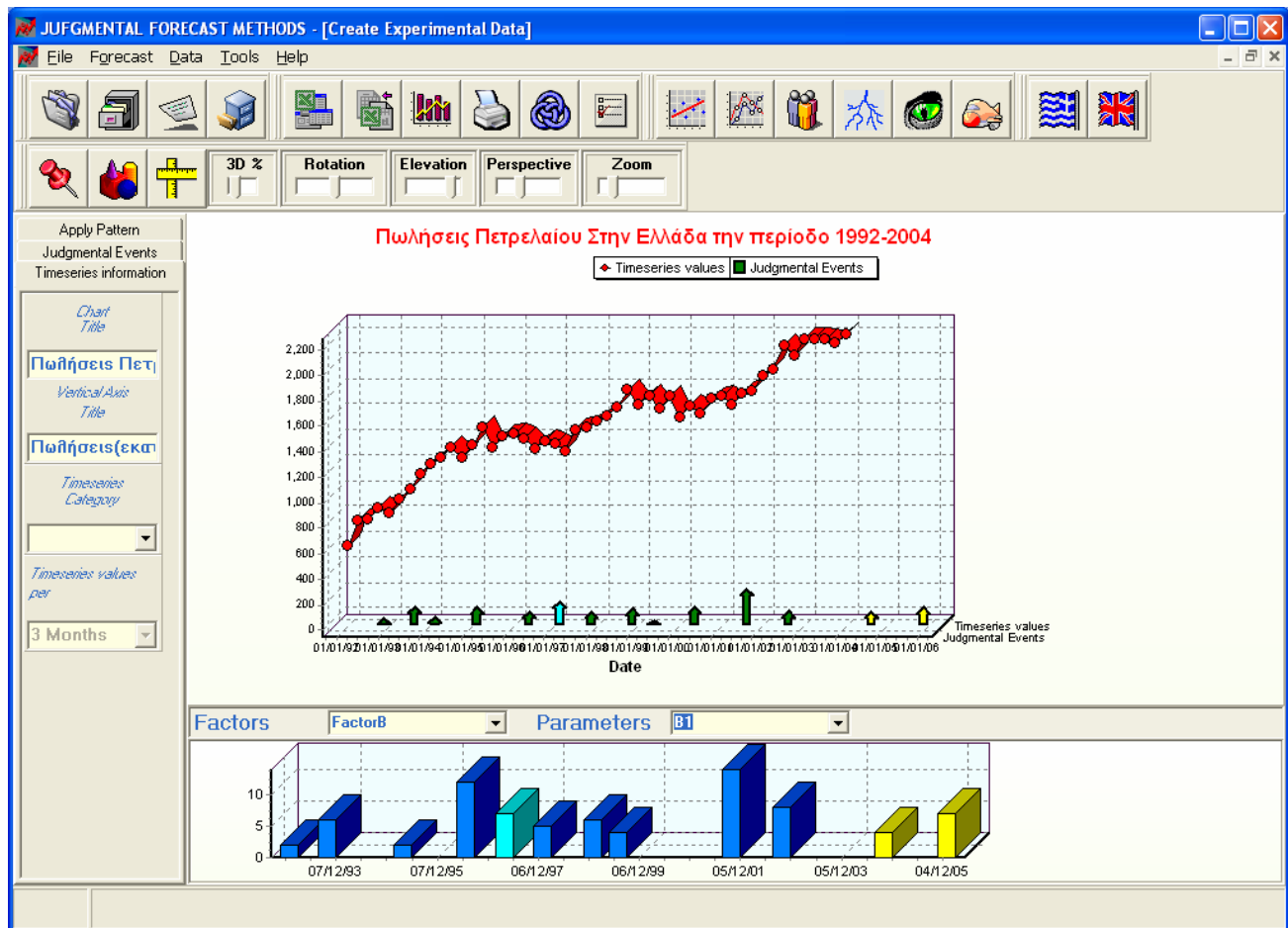


‘Επιλογή Ελληνικών’ και

Με το πάτημα ενός εκ των δύο όλα τα κείμενα και τα μηνύματα της εφαρμογής προσαρμόζονται κατάλληλα. Το παραπάνω στιγμιότυπο με επιλεγμένη την Αγγλική γλώσσα φαίνεται παρακάτω.



Διάγραμμα προβολής παραμέτρων. Το συγκεκριμένο διάγραμμα βρίσκεται κάτω από κάθε χρονοσειρά και επιτρέπει στο χρήστη να δει παράλληλα με το διάγραμμα της χρονοσειράς, το διάγραμμα κάθε παραμέτρου που εμφανίζεται στα ιστορικά και μελλοντικά υποκειμενικά γεγονότα. Στο παρακάτω στιγμιότυπο φαίνεται το διάγραμμα της παραμέτρου B1 για την χρονοσειρά των προηγούμενων παραδειγμάτων.



Κάθε φορά που ένα γεγονός επιλέγεται χρωματίζεται και η παράμετρος που αντιστοιχεί σε αυτό και το αντίστροφο.



Πείραμα

5.1 Εισαγωγή

Στο κεφάλαιο αυτό θα παρουσιάσουμε το πείραμα που εκτελέστηκε με σκοπό τον έλεγχο της αποτελεσματικότητας των μεθόδων που παρουσιάσαμε στο προηγούμενο κεφάλαιο. Το πείραμα σχεδιάστηκε εξολοκλήρου από τον επιβλέποντα αυτής της διπλωματικής εργασίας Κ.Νικολόπουλο. Αυτό περιλαμβάνει την εφαρμογή των προαναφερομένων μεθόδων για την πρόβλεψη της επίδρασης μελλοντικών υποκειμενικών γεγονότων πολλών χρονοσειρών. Πρόκειται για πειραματικές χρονοσειρές οι οποίες κατασκευάστηκαν με κατάλληλο τρόπο ώστε να πληρούν ορισμένες προδιαγραφές. Η σύγκριση των μεθόδων που διαγωνίστηκαν έγινε με βάση τα σφάλματα MAPE MdAPE και GM-RAE. Ακολουθεί μια σύντομη περιγραφή των προδιαγραφών του πειράματος.

A) Χρονοσειρές. Η κάθε χρονοσειρά αποτελείται από 15 υποκειμενικά γεγονότα, 10 ιστορικά τα οποία αποτελούν και το σετ εκπαίδευσης της κάθε μεθόδου και 5 μελλοντικά πάνω στα οποία εκτελούνται οι προβλέψεις. Το κάθε γεγονός μπορεί να είναι απλό ή σύνθετο, να αποτελείται δηλαδή από ένα ή περισσότερους παράγοντες.

B) Παράγοντες-Παράμετροι. Θεωρούμε δύο παράγοντες.:

Ο πρώτος είναι ο **'Promotions'**, έχει θετική επίδραση και περιγράφεται από τρεις παραμέτρους..

1) Budget. Παίρνει τιμές από 50-150 με βήμα 10. (αντιπροσωπεύει 1000 €).

2) Duration. Παίρνει τιμές από 1-14 (μέρες).

3) Media. Παίρνει τις τιμές: 1 (Εντυπα), 2 (Εντυπα + Ραδιόφωνο), 3 (Εντυπα + Ραδιόφωνο + Τηλεόραση)

Ο δεύτερος είναι ο **'Strike'** με αρνητική επίδραση και περιγράφεται από δύο παραμέτρους.

1) Percentage. Κυμαίνεται από 20%-100%=0.2-1 με βήμα 0.05 (Αντιπροσωπεύει % συμμετοχή)

2) Duration. Παίρνει τιμές από 1-7 (μέρες).

Οι παράμετροι έχουν γραφτεί με σειρά προτεραιότητας. Δηλαδή ο παράγοντας Promotions περιγράφεται είτε μόνο από την παράμετρο Budget είτε από τις Budget και Duration είτε και από τις τρεις και όχι για παράδειγμα από τις Budget και Media.

Γ) Συνάρτηση Επίδρασης. Η επίδραση των υποκειμενικών γεγονότων έχει στη γενική περίπτωση τη μορφή: $\text{Impact} = f(\text{Factors, Parameters}) + \text{Noise}$. Για τη συνάρτηση f διακρίνουμε δύο περιπτώσεις. Στην πρώτη, αυτή είναι γραμμική και στη δεύτερη μη γραμμική όπως φαίνεται παρακάτω:

Promotion – Linear : $0.7 \times \text{Budget} + 5 \times \text{Duration} + 20 \times \text{Media}$

Strike – Linear : $-100 \times \text{Percentage} - 2 \times \text{Duration}$

Promotion – Non Linear : $(0.5 \times \text{Budget}) \times ((\text{Duration}/14) + \text{Media})$

Strike – Non Linear : $-50 \times \text{Percentage} \times ((\text{Duration}/7) + 1)$

Για το θόρυβο διακρίνουμε επίσης δύο περιπτώσεις. Στην πρώτη έχουμε μικρό θόρυβο $N(0, 10)$ και στη δεύτερη μεγάλο $N(0, 30)$.

Δ) Τρεξίματα. Θεωρούμε 10 διαφορετικές αρχικοποιήσεις της γεννήτριας θορύβου για κάθε συνδυασμό των παραπάνω (Παραμέτρων, Συνάρτησης επίδρασης, Επίπεδο θορύβου) και 5 τυχαία σετ όσον αφορά τον αριθμό των απλών και σύνθετων γεγονότων σε κάθε χρονοσειρά. Αναλυτικότερα αυτά επεξηγούνται στην επόμενη ενότητα.

5.2 Πειραματικά Δεδομένα

Η κατασκευή των πειραματικών δεδομένων ακολουθεί τον ακόλουθο κανόνα:

Part1_Part2_Part3_Part4_Part5

Κάθε χρονοσειρά αποτελεί ένα στιγμιότυπο του παραπάνω κανόνα και κάθε τμήμα του κανόνα Part(i) μπορεί να πάρει τις τιμές που ακολουθούν:

Part1: P1, P2, P3, P1S1, P3S2 όπου το γράμμα P συμβολίζει τον παράγοντα Promotions, το γράμμα S τον παράγοντα Strike και τα νούμερα τον αριθμό των παραμέτρων από τις οποίες αποτελείται ο κάθε παράγοντας. Έτσι για παράδειγμα, για όλες οι χρονοσειρές για τις οποίες το Part1 παίρνει την τιμή P2 τα υποκειμενικά γεγονότα περιλαμβάνουν μόνο τον παράγοντα Promotions ο οποίος αποτελείται μόνο από τις δύο πρώτες παραμέτρους του. Η κάθε παράμετρος αποτελεί μια τυχαία μεταβλητή η οποία παίρνει τιμές μέσα από ένα εύρος τιμών που περιγράψαμε στην εισαγωγή και ακολουθεί ομοιόμορφη κατανομή.

Part2: FL, FNL. Διακρίνουμε δύο περιπτώσεις: FL : function Linear και FNL : function non linear σύμφωνα με τις οποίες ορίζεται η επίδραση των υποκειμενικών γεγονότων όπως είδαμε στην εισαγωγή.

Part3: NL, NH. Διακρίνουμε άλλες δύο περιπτώσεις ανάλογα με το επίπεδο του θορύβου. NL : noise low και NH : noise high.

Part4: R1...R10. Για κάθε συνδυασμό των Part1, Part2 και Part3 δημιουργούμε 10 συνδυασμούς με διαφορετικό θόρυβο πάνω στην επίδραση των υποκειμενικών γεγονότων στον κάθε ένα. Για κάθε λοιπόν συνδυασμό των Part1, Part2 και Part3 παίρνουμε άλλες 10 περιπτώσεις με το Part4, στις οποίες έχουμε διαφοροποίηση του θορύβου πάνω στην συνάρτηση επίδρασης, προκαλώντας έτσι διαφορετική επίδραση κάθε φορά.

Part5: H1...H5. Μόνο στην περίπτωση των που το Part1 παίρνει τις τιμές P1S1 και P3S2 δημιουργούμε άλλες 5 διαφορετικές περιπτώσεις οι οποίες διαφέρουν όσον αφορά την κατανομή των απλών και σύνθετων

γεγονότων. Δημιουργούμε δηλαδή κάθε φορά χρονοσειρές οι οποίες περιέχουν διαφορετικό αριθμό απλών και σύνθετων γεγονότων τόσο στα ιστορικά όσο και στα μελλοντικά γεγονότα. Σε κάθε περίπτωση όμως επιβάλλουμε τον περιορισμό τόσο στα ιστορικά όσο και στα μελλοντικά γεγονότα να υπάρχει τουλάχιστον ένα σύνθετο γεγονός (που περιέχει και P1S1 και P3S2) αλλά και άλλα δύο απλά (P1 και S1 ή P3 και S3), δεσμεύοντας έτσι στο σύνολο 6 γεγονότα και αφήνοντας ελεύθερα τα υπόλοιπα 9.

Οι χρονοσειρές δημιουργούνται από όλους τους δυνατούς συνδυασμούς των Part1 – Part5. Θα πρέπει όμως να συμπληρώσουμε ότι στην περίπτωση που το Part1 παίρνει τις τιμές P1 και P1S1 το Part2 δεν μπορεί να πάρει την τιμή FNL αφού αυτή εκφυλλίζεται στην FL σύμφωνα με τον ορισμό της συνάρτησης επίδρασης στην εισαγωγή. Μόνο λοιπόν για τις δύο αυτές τιμές του Part1 το Part2 περιορίζεται στην τιμή FL. Επίσης όταν το Part1 δεν παίρνει τις τιμές P1S1 και P3S2 το Part5 δεν έχει νόημα αφού δεν υπάρχουν σύνθετα υποκειμενικά γεγονότα. Συνολικά λοιπόν έχουμε αριθμό χρονοσειρών:

Από το P1: $1 \times 2 \times 10 = 20$ χρονοσειρές

Από το P2: $2 \times 2 \times 10 = 40$ χρονοσειρές

Από το P3: $2 \times 2 \times 10 = 40$ χρονοσειρές

Από το P1S1: $1 \times 2 \times 10 \times 5 = 100$ χρονοσειρές

Από το P3S2: $2 \times 2 \times 10 \times 5 = 200$ χρονοσειρές

Σύνολο : 400 χρονοσειρές ή $400 \times 5 = 2000$ μελλοντικά υποκειμενικά γεγονότα πάνω στα οποία ελέγχεται η ακρίβεια πρόβλεψης των διαφόρων μεθόδων.

Παρακάτω παραθέτουμε δύο παραδείγματα χρονοσειρών για να γίνει σαφές πως ακριβώς αυτές κατασκευάζονται.

- 1) **P1_FL_NL_R1.** Η χρονοσειρά αυτή περιέχει γεγονότα που χαρακτηρίζονται μόνο από τον παράγοντα Promotions ο οποίος περιγράφεται μόνο από την παράμετρο Budget. Η συνάρτηση επίδρασης είναι η : $\text{Impact} = 0.7 \times \text{Budget} + N(0, 10)$. Από τις 10 χρονοσειρές που δημιουργούνται με διαφορετικό θόρυβο στα αντίστοιχα υποκειμενικά γεγονότα αυτή είναι η πρώτη (R1).

- 2) **P1S1_FL_NH_R2_H3**. Η συνάρτηση αυτή περιέχει γεγονότα που χαρακτηρίζονται και από τις δύο παραμέτρους (σύνθετα) ή μόνο από τη μία (απλά). Η επίδραση ακολουθεί το γραμμικό πρότυπο και ο θόρυβος είναι υψηλός. Εδώ ορίζεται ως :
- Impact = 0.7 x Budget – 100 x Percentage. Από τις 10 διαφορετικές ομάδες χρονοσειρών με διαφορετικό θόρυβο πάνω στα αντίστοιχα γεγονότα αυτή ανήκει στη δεύτερη ομάδα και από τις 5 διαφορετικές χρονοσειρές ως προς την κατανομή των απλών και σύνθετων γεγονότων αυτή είναι η τρίτη χρονοσειρά.

Κάθε υποκειμενικό γεγονός ονομάζεται με ένα χαρακτηριστικό όνομα που ξεκινάει με την ονομασία της χρονοσειράς και καταλήγει με τη λέξη EVENT και τον αριθμό του γεγονότος. Πχ P1S1_FL_NH_R2_H3_EVENT09.

5.3 Αποτελέσματα του πειράματος

Τα αναλυτικά αποτελέσματα του πειράματος βρίσκονται στο αρχείο excel στο συνοδευτικό cd της διπλωματικής εργασίας. Εδώ θα παρουσιάσουμε μόνο τα τελικά συγκεντρωτικά αποτελέσματα πάνω στις 5 διαφορετικές κατηγορίες. Αυτά έχουν παραχθεί με τη μέθοδο της μαζικής πρόβλεψης χρησιμοποιώντας την αργή και ακριβέστερη μέθοδο εκπαίδευσης για τα νευρωνικά δίκτυα. Με κίτρινο χρώμα φαίνεται κάθε φορά η κατηγορία των χρονοσειρών την οποία αφορούν τα υπολογισμένα σφάλματα.

Για την κατηγορία P3S2:

P3S2_FL_NH						
	SLR	MLR	BN	B3N	ANN	Expert
MAPE	#DIV/0!	13.38235912	47.56809916	49.26503662	28.92737215	26.22916252
MdAPE	#NUM!	6.737820272	25.79361549	24.78347292	16.04495981	11.7245138
GM-RAE	#DIV/0!	0.27242459		1	1.061621331	0.639646898
P3S2_FL_NL						
	SLR	MLR	BN	B3N	ANN	Expert
MAPE	#DIV/0!	13.33828353	46.96598695	50.31469319	29.72856089	25.92215539
MdAPE	#NUM!	4.264273964	24.98958845	28.39826077	12.33361119	8.080467349
GM-RAE	#DIV/0!	0.182284353		1	1.047440666	0.359000609

P3S2_FNL_NH

	SLR	MLR	BN	B3N	ANN	Expert
MAPE	#DIV/0!	80.81494342	94.26770298	90.08095563	66.15712028	60.7491079
MdAPE	#NUM!	34.15660539	47.03302705	52.83432404	31.37512265	28.8914195
GM-RAE	#DIV/0!	0.859192317	1	1.104843767	0.76502963	0.608511282

P3S2_FNL_NL

	SLR	MLR	BN	B3N	ANN	Expert
MAPE	#DIV/0!	65.66541944	74.79385707	78.53261538	45.75693495	48.89571162
MdAPE	#NUM!	34.33812855	37.90794141	43.24607359	19.62063931	21.10513675
GM-RAE	#DIV/0!	0.877938696	1	1.143570695	0.532384162	0.5979733

P3S2_FL

	SLR	MLR	BN	B3N	ANN	Expert
MAPE	#DIV/0!	13.36032132	47.26704306	49.78986491	29.32796652	26.07565895
MdAPE	#NUM!	5.760018909	25.38867437	26.50215865	14.19982098	9.633303863
GM-RAE	#DIV/0!	0	1	1.054507162	0.562232481	0.441729428

P3S2_FNL

	SLR	MLR	BN	B3N	ANN	Expert
MAPE	#DIV/0!	73.24018143	84.53078002	84.30678551	55.95702761	54.82240976
MdAPE	#NUM!	34.17615482	42.25455309	48.87698666	25.767711	26.02873501
GM-RAE	#DIV/0!	0.86851493	1	1.124040459	0.638192494	0.60321928

P3S2_NH

	SLR	MLR	BN	B3N	ANN	Expert
MAPE	#DIV/0!	47.09865127	70.91790107	69.67299612	47.54224621	43.48913521
MdAPE	#NUM!	15.04564728	33.00010886	36.50160125	22.26167301	18.24680214
GM-RAE	#DIV/0!	0.483802764	1	1.083016949	0.699534724	0.575099589

P3S2_NL

	SLR	MLR	BN	B3N	ANN	Expert
MAPE	#DIV/0!	39.50185148	60.87992201	64.42365429	37.74274792	37.4089335
MdAPE	#NUM!	12.33299195	28.59727446	35.88101931	15.88017267	14.54243503
GM-RAE	#DIV/0!	0.400043106	1	1.094450753	0.512930291	0.463327939

P3S2

	SLR	MLR	BN	B3N	ANN	Expert
MAPE	#DIV/0!	43.30025138	65.89891154	67.04832521	42.64249706	40.44903436
MdAPE	#NUM!	13.86882694	30.81997159	36.24046961	18.61141082	16.0239679
GM-RAE	#DIV/0!	0	1	1.088718841	0.59900964	0.516197353

Για την κατηγορία P1S1:

	P1S1_FL_NH					
	SLR	MLR	BN	B3N	ANN	Expert
MAPE	29.47681913	23.26381738	61.55370006	61.45903888	32.94838791	33.73009842
MdAPE	13.47960706	10.36084227	24.89587006	37.92448286	15.4372113	15.46289217
GM-RAE	0.513169731	0.380972326		1	1.260960822	0.613874837

	P1S1_FL_NL					
	SLR	MLR	BN	B3N	ANN	Expert
MAPE	21.843084	19.32362246	61.65454424	54.9946563	28.50774933	28.05239489
MdAPE	7.496553337	6.118604084	24.35010336	31.67083244	11.51823767	10.42702183
GM-RAE	0.297293864	0.270327087		1	1.146696692	0.410159091

	P1S1					
	SLR	MLR	BN	B3N	ANN	Expert
MAPE	25.62139735	21.29371992	61.60412215	58.22684759	30.72806862	30.89124665
MdAPE	10.01784124	8.013082416	24.38852675	34.99053955	12.53078573	12.30723627
GM-RAE	0.389516752	0.320916094		1	1.202472288	0.545658103

Για την κατηγορία P3:

	P3_FL_NH					
	SLR	MLR	BN	B3N	ANN	Expert
MAPE	#DIV/0!	3.243762162	14.77218016	15.20640898	5.998005827	5.838240428
MdAPE	#NUM!	2.340155022	12.84767231	11.14633683	4.865729174	5.185310428
GM-RAE	#DIV/0!	0.230725605		1	0.910234084	0.344295934

	P3_FL_NL					
	SLR	MLR	BN	B3N	ANN	Expert
MAPE	#DIV/0!	2.592509659	18.08070314	17.98435954	5.206978783	3.930896061
MdAPE	#NUM!	2.393994435	14.15858051	12.59779978	4.027242836	3.199319635
GM-RAE	#DIV/0!	0.156081452		1	0.76001883	0.182148371

	P3_FNL_NH					
	SLR	MLR	BN	B3N	ANN	Expert
MAPE	#DIV/0!	22.28482251	39.98964096	45.38507236	11.81040928	18.73031109
MdAPE	#NUM!	7.874190287	35.08202576	36.86983206	8.360361145	9.82280409
GM-RAE	#DIV/0!	0.341571443		1	1.030696961	0.280885474

	P3_FNL_NL					
	SLR	MLR	BN	B3N	ANN	Expert
MAPE	#DIV/0!	13.76049079	34.94409277	39.05373724	12.06210232	10.83940999
MdAPE	#NUM!	9.014150335	27.19046949	23.52388419	8.523330036	6.143942562
GM-RAE	#DIV/0!	0.494331358		1	1.256778605	0.338669434

P3_FL

	SLR	MLR	BN	B3N	ANN	Expert
MAPE	#DIV/0!	2.918135911	16.42644165	16.59538426	5.602492305	4.884568244
MdAPE	#NUM!	2.393994435	13.77036211	12.016669	4.586915899	3.77010614
GM-RAE	#DIV/0!	0.189768247	1	0.831742174	0.253234176	0.250425525

P3_FNL

	SLR	MLR	BN	B3N	ANN	Expert
MAPE	#DIV/0!	18.02265665	37.46686686	42.2194048	11.9362558	14.78486054
MdAPE	#NUM!	8.858143157	28.78446704	31.79257865	8.523330036	8.818743013
GM-RAE	#DIV/0!	0.410912978	1	1.138137904	0.330613765	0.3376316

P3_NH

	SLR	MLR	BN	B3N	ANN	Expert
MAPE	#DIV/0!	12.76429233	27.38091056	30.29574067	8.904207554	12.28427576
MdAPE	#NUM!	3.89965174	17.66654112	17.79315089	5.786712369	6.321236006
GM-RAE	#DIV/0!	0.280729902	1	0.968594603	0.294958405	0.340424677

P3_NL

	SLR	MLR	BN	B3N	ANN	Expert
MAPE	#DIV/0!	8.176500224	26.51239795	28.51904839	8.634540551	7.385153027
MdAPE	#NUM!	3.585163225	17.24123013	14.83903862	5.971568829	4.280323328
GM-RAE	#DIV/0!	0.27776961	1	0.977330755	0.2838458	0.248370863

P3

	SLR	MLR	BN	B3N	ANN	Expert
MAPE	#DIV/0!	10.47039628	26.94665426	29.40739453	8.769374052	9.834714393
MdAPE	#NUM!	3.764330252	17.59178623	15.93994512	5.946645539	5.26866117
GM-RAE	#DIV/0!	0.279245833	1	0.972952874	0.289348759	0.290777528

Για την κατηγορία P2:

P2_FL_NH

	SLR	MLR	BN	B3N	ANN	Expert
MAPE	#DIV/0!	6.224952024	21.08944823	23.61587608	7.479510957	8.323595883
MdAPE	#NUM!	5.352673413	14.21289269	15.35374024	5.006647883	5.514688918
GM-RAE	#DIV/0!	0.368619089	1	1.059119769	0.337469838	0.355115584

P2_FL_NL

	SLR	MLR	BN	B3N	ANN	Expert
MAPE	#DIV/0!	3.054682477	19.35622029	20.75887625	5.812999421	3.430838464
MdAPE	#NUM!	2.125283831	13.0330538	16.34070519	4.633170513	3.001246928
GM-RAE	#DIV/0!	0.16090918	1	1.026736663	0.264026961	0.17758962

P2_FNL_NH

	SLR	MLR	BN	B3N	ANN	Expert
MAPE	#DIV/0!	52.33949626	50.26588638	51.31948298	57.85291302	46.81283588
MdAPE	#NUM!	31.07552438	28.60767386	31.14649616	24.59574182	29.95052386
GM-RAE	#DIV/0!	1.091850108	1	1.112550914	0.949533188	0.905739152

P2_FNL_NL

	SLR	MLR	BN	B3N	ANN	Expert
MAPE	#DIV/0!	44.37345537	37.05496113	36.92405139	43.72117882	35.41311823
MdAPE	#NUM!	25.52460378	26.5895847	25.97999562	22.08697752	16.92846038
GM-RAE	#DIV/0!	1.142074876	1	1.097517882	0.89617688	0.751066894

P2_FL

	SLR	MLR	BN	B3N	ANN	Expert
MAPE	#DIV/0!	4.639817251	20.22283426	22.18737616	6.646255189	5.877217174
MdAPE	#NUM!	3.732120669	13.33340018	15.77580495	4.822437782	4.232004503
GM-RAE	#DIV/0!	0.243545058	1	1.042802521	0.298498134	0.251127142

P2_FNL

	SLR	MLR	BN	B3N	ANN	Expert
MAPE	#DIV/0!	48.35647582	43.66042376	44.12176719	50.78704592	41.11297705
MdAPE	#NUM!	28.55005808	27.08678124	29.09821265	24.23892024	25.13632369
GM-RAE	#DIV/0!	1.116680158	1	1.105008834	0.922469344	0.82478524

P2_NH

	SLR	MLR	BN	B3N	ANN	Expert
MAPE	#DIV/0!	29.28222414	35.67766731	37.46767953	32.66621199	27.56821588
MdAPE	#NUM!	11.14415235	17.45644536	20.85226472	9.219846554	11.16496588
GM-RAE	#DIV/0!	0.634410586	1	1.085506641	0.56607315	0.567134982

P2_NL

	SLR	MLR	BN	B3N	ANN	Expert
MAPE	#DIV/0!	23.71406892	28.20559071	28.84146382	24.76708912	19.42197835
MdAPE	#NUM!	6.05431463	18.65836727	20.38531578	7.125530055	5.741826223
GM-RAE	#DIV/0!	0.428684419	1	1.061537493	0.486430733	0.365214573

P2

	SLR	MLR	BN	B3N	ANN	Expert
MAPE	#DIV/0!	26.49814653	31.94162901	33.15457167	28.71665055	23.49509711
MdAPE	#NUM!	8.367490225	18.03967269	20.63538189	8.261712364	7.374315675
GM-RAE	#DIV/0!	0.521499697	1	1.073455168	0.524743154	0.455110932

Για την κατηγορία P1:

	P1_FL_NH					
	SLR	MLR	BN	B3N	ANN	Expert
MAPE	10.14977211	10.14977211	15.67165423	16.46828835	10.30596469	10.398958
MdAPE	7.979314011	7.979314011	11.40835093	11.38460253	7.729063343	7.960019806
GM-RAE	0.695368302	0.695368302	1	1.007118545	0.635493396	0.706391303

	P1_FL_NL					
	SLR	MLR	BN	B3N	ANN	Expert
MAPE	4.273403733	4.273403733	7.726619093	9.052714581	6.71659811	5.620415018
MdAPE	3.224272969	3.224272969	4.974218108	4.956563604	4.009460346	3.511343052
GM-RAE	0.693990323	0.693990323	1	1.335051584	0.91018967	0.868081094

	P1					
	SLR	MLR	BN	B3N	ANN	Expert
MAPE	7.21158792	7.21158792	11.69913666	12.76050147	8.511281399	8.009686508
MdAPE	4.338043491	4.338043491	7.547209183	5.987616478	5.643531013	4.895938395
GM-RAE	0.694678971	0.694678971	1	1.159549571	0.76053897	0.783074029

5.4 Παρατηρήσεις

Γενικά μπορούμε να παρατηρήσουμε ότι τα αποτελέσματα επαληθεύουν τις αρχικές υποψίες μας. Τα νευρωνικά δίκτυα αποδίδουν καλύτερα στις χρονοσειρές της κατηγορίας FNL όπου η επίδραση εξαρτάται μη γραμμικά από τις παραμέτρους. Αντίθετα, στις χρονοσειρές της κατηγορίας FL αποδίδει καλύτερα η μέθοδος Multiple Regression αφού μπορεί και προσδιορίζει με μεγαλύτερη ακρίβεια τη γραμμική σχέση επίδρασης και παραμέτρων. Αν δεν υπήρχε ο θόρυβος τότε η MLR θα έδινε μηδενικό σφάλμα σε αυτήν την κατηγορία χρονοσειρών. Επίσης στις χρονοσειρές της κατηγορίας NH το σφάλμα όλων των μεθόδων είναι γενικά υψηλότερο από αυτό της κατηγορίας NL των ίδιων χρονοσειρών. Και αυτό το αποτέλεσμα είναι φυσιολογικό και αναμενόμενο.

Στο συγκεκριμένο πείραμα για τη μέθοδο expert χρησιμοποιήθηκε το 60% του σετ εκπαίδευσης ως σετ εκπαίδευσης τόσο για τα νευρωνικά δίκτυα όσο και για την πολλαπλή παλινδρόμηση και το 40% για την σύγκριση και επιλογή της καταλληλότερης μεθόδου. Από τα αναλυτικότερα αποτελέσματα μέσα στο αρχείο των αποτελεσμάτων μπορούμε να παρατηρήσουμε ότι σε πολλές χρονοσειρές της κατηγορίας FL

επιλέγει η πολλαπλή παλινδρόμηση ως καταλληλότερη για την πρόβλεψη ενώ αντίθετα στην κατηγορία FNL επιλέχτηκαν τα νευρωνικά δίκτυα ως η καταλληλότερη μέθοδος. Γι' αυτό και στα συγκεντρωτικά αποτελέσματα παρατηρούμε η μέθοδος expert να παρουσιάζει γενικά στην κατηγορία χρονοσειρών FL μικρότερο σφάλμα από τα νευρωνικά δίκτυα αλλά μεγαλύτερο από αυτό της πολλαπλής παλινδρόμησης. Αν υποθέσουμε ότι η επιλογή της καταλληλότερης μεθόδου ήταν ιδανική και η expert μέθοδος διάλεγε για όλες τις χρονοσειρές της κατηγορίας FL την πολλαπλή παλινδρόμηση ως μέθοδο πρόβλεψης, τότε θα παρουσίαζε το ίδιο ακριβώς σφάλμα με αυτό της πολλαπλής παλινδρόμησης. Το ίδιο ακριβώς ισχύει και για την κατηγορία FNL στην οποία μάλιστα η expert παρουσιάζει σε αρκετές περιπτώσεις μικρότερο σφάλμα και από τα νευρωνικά δίκτυα. Αυτό συμβαίνει γιατί στην κατηγορία FNL η μέθοδος expert βασίζεται κυρίως στα νευρωνικά δίκτυα για την πρόβλεψη, τα οποία δεν εκπαιδεύονται ποτέ στο ίδιο τοπικό ελάχιστο της συνάρτησης σφάλματος, και επομένως δεν παρουσιάζουν ποτέ το ίδιο σφάλμα πρόβλεψης. Συνοψίζοντας, η μέθοδος expert φαίνεται πως αποδίδει καλύτερα από όλες τις μεθόδους σφού μπορεί και επιλέγει με κάποιο σφάλμα βέβαια την καταλληλότερη μέθοδο ανάλογα με τη γραμμικότητα ή μη γραμμικότητα που παρουσιάζει η κάθε χρονοσειρά.

Τα ίδια αποτελέσματα του πειράματος επαληθεύτηκαν αρκετές φορές αφού έγιναν περισσότερα του ενός τρεξίματα δίνοντας κάθε φορά τυχαίες τιμές στις παραμέτρους των παραγόντων των υποκειμενικών γεγονότων. Στη γενική περίπτωση λοιπόν τα νευρωνικά δίκτυα φαίνεται πως μπορούν και προβλέπουν καλύτερα στις μη γραμμικές ομάδες χρονοσειρών. Μάλιστα όταν η εκπαίδευσή τους γίνεται από το χρήστη και δοκιμάζονται και πολυπλοκότερα δίκτυα είναι εφικτό να επιτευχθεί πολύ μικρότερο τοπικό ελάχιστο στην επιφάνεια σφάλματος (κατά την εκπαίδευση) και οι προβλέψεις να προσεγγίζουν σε μεγαλύτερο βαθμό τις πραγματικές τιμές.

Πηγαίος Κώδικας

Παρακάτω παρατίθεται ο κώδικας της εφαρμογής. Ο κώδικας αυτός αποτελεί μικρό τμήμα του κώδικα της εφαρμογής ο οποίος ανέρχεται περίπου στις 35.000 γραμμές. Παρατίθονται κυρίως οι αλγόριθμοι που αφορούν στα νευρωνικά δίκτυα και στις άλλες μεθόδους πρόβλεψης που εξετάσαμε στα προηγούμενα κεφάλαια. Κανένα τμήμα του κώδικα δεν έχει αντιγραφεί από οποιαδήποτε άλλη πηγή. Το μόνο που έχει χρησιμοποιηθεί έτοιμο είναι ο ακόλουθος αλγόριθμος αντιστροφής πίνακα ο οποίος έχει ληφθεί από το διαδίκτυο.

```
double **darray_invert(double **a1, int n)
{
    int i, j, k;
    int *p = ivector_alloc(0, n);
    double **a = darray_alloc(0, 0, n, n);
    double h, q, s, sup, pivot;

    for (i = 0; i < n; i++)
        for (j = 0; j < n; j++)
            a[i][j] = a1[i][j];

    for (k = 0; k < n; k++)
    {
        sup = 0.0;
        p[k] = 0;
        for (i = k; i < n; i++)
        {
            s = 0.0;
            for (j = k; j < n; j++)
                s += fabs(a[i][j]);
            q = fabs(a[i][k]) / s;
            if (sup < q)
            {
                sup = q;
                p[k] = i;
            }
        }
        if (sup == 0.0)
            return (NULL);
        if (p[k] != k)
```

```
    for (j = 0; j < n; j++)
    {
        h = a[k][j];
        a[k][j] = a[p[k]][j];
        a[p[k]][j] = h;
    }
    pivot = a[k][k];
    for (j = 0; j < n; j++)
        if (j != k)
        {
            a[k][j] = -a[k][j] / pivot;
            for (i = 0; i < n; i++)
                if (i != k)
                    a[i][j] += a[i][k] * a[k][j];
        }
    for (i = 0; i < n; i++)
        a[i][k] = a[i][k] / pivot;
    a[k][k] = 1.0 / pivot;
}
for (k = n - 1; k >= 0; k--)
    if (p[k] != k)
        for (i = 0; i < n; i++)
        {
            h = a[i][k];
            a[i][k] = a[i][p[k]];
            a[i][p[k]] = h;
        }

ivector_free((void *) p, 0);
return (a);
}
```

Η πηγή προέλευσης του παραπάνω αλγορίθμου είναι η ακόλουθη:

GNU LIBRARY

Free Software Foundation, Inc.

59 Temple Place, Suite 330, Boston, MA 02111-1307 USA

Δηλώσεις τάξης Μη Επαναληπτικών Πολυστρωματικών Νευρωνικών Δικτύων

ANNHeaderFile.h

```
//-----  
  
#ifndef ANNHeaderFileH  
#define ANNHeaderFileH  
//-----  
#include <list.h>  
#include <deque.h>  
#include <math.h>  
//-----  
typedef enum {asymptotic, nonAsymptotic, leaveOneOut} TTrainingMethod;  
//-----  
class TNode;  
class TSynapse;  
double HyperbolicTangent(double U);  
double HyperbolicTangentDerivative(double Y);  
double NDistribution(double X, double s, double m);  
bool MatrixTranspoze(long double **a, int aRows, int aCols,  
                     long double **b, int bRows, int bCols);  
bool MatrixSubtract(long double **a, int aRows, int aCols,  
                   long double **b, int bRows, int bCols,  
                   long double **c, int cRows, int cCols);  
bool MatrixMultiply(long double **a, int aRows, int aCols,  
                   long double **b, int bRows, int bCols,  
                   long double **c, int cRows, int cCols);  
//-----  
class TSynapse  
{  
public:  
    __fastcall TSynapse();  
    __fastcall ~TSynapse();  
    __property double synapticWeight = {read = FSynapticWeight, write = FSynapticWeight};  
    __property double synapticWeightDif = {read = FSynapticWeightDif, write = FSynapticWeightDif};  
    __property TNode *inputNode = {read = FInputNode, write = FInputNode};  
    __property TNode *outputNode = {read = FOutputNode, write = FOutputNode};  
private:  
    double FSynapticWeight, FSynapticWeightDif;  
    TNode *FInputNode, *FOutputNode;  
};  
//-----  
class TNode  
{  
public:  
    __fastcall TNode();  
    __fastcall ~TNode();  
    __property double response = {read = FResponse, write = FResponse};  
    __property double inducedLocalField = {read = FInducedLocalField, write = FInducedLocalField};  
    __property double error = {read = FError, write = FError};  
    __property double Dj = {read = FDj, write = FDj};  
    __property double SUMDjW = {read = FSUMDjW, write = FSUMDjW};  
    __property double a = {read = Fa, write = Fa};  
    __property double n = {read = Fn, write = Fn};  
    __property AnsiString name = {read = FName, write = FName};  
    __property list<TSynapse> synapses = {read = FSynapses, write = FSynapses};  
    __property double (*activationFunction)(double) = {read = FActivationFunction, write = FActivationFunction};  
    __property double (*activationFunctionDerivative)(double) = {read = FActivationFunctionDerivative, write = FActivationFunctionDerivative};  
    __property TShape *referenceShape = {read = FReferenceShape, write = FReferenceShape};  
private:  

```

```

TNode(const TNode &);
TNode & operator=(const TNode &);
double FResponse, FInducedLocalField, FError, FDj, FSUMDjW, Fa, Fn;
AnsiString FName;
list<TSynapse> FSynapses;
double (*FActivationFunction)(double);
double (*FActivationFunctionDerivative)(double);
TShape *FReferenceShape;
};
//-----
class TNeuralNetwork
{
public:
__fastcall TNeuralNetwork(int *NeuronsPerHiddenLayer, int InputSize = 1, int HiddenLayers = 1, int OutputSize = 1);
__fastcall ~TNeuralNetwork();
TNeuralNetwork(const TNeuralNetwork &rhs);
TNeuralNetwork & operator=(const TNeuralNetwork &rhs);
bool __fastcall TrainANN(TObject *Sender, double **tData, double **dResponse, int nOfExamples, bool *stop, double *MeanSquareError, int
maxNumberOfEpochs);
void __fastcall PruneANN(double **tData, double **dResponse, int nOfExamples, bool *stop);
void __fastcall Forecast(double **tData, int nOfExamples, double *inputVector, double *outputVector);
void __fastcall RandomizeTrainingData(double **trainingData, double **randomizedTrainingData,
double **desiredResponse, double **randomizedDesiredResponse, int nOfExamples);
double __fastcall SumCalculation(int layersLeft, TNode *currentNode, TNode *endNode);
__property double *minResponse = {read = FMinResponse, write = FMinResponse};
__property double *maxResponse = {read = FMaxResponse, write = FMaxResponse};
__property double *minInput = {read = FMinInput, write = FMinInput};
__property double *maxInput = {read = FMaxInput, write = FMaxInput};
__property int inputSize = {read = FInputSize, write = FInputSize};
__property int outputSize = {read = FOutputSize, write = FOutputSize};
__property int hiddenLayers = {read = FHiddenLayers, write = FHiddenLayers};
__property TTrainingMethod forecastMethod = {read = FForecastMethod, write = FForecastMethod};
__property TNode fixedInput = {read = FFixedInput, write = FFixedInput};
__property int *neuronsPerHiddenLayer = {read = FNeuronsPerHiddenLayer, write = FNeuronsPerHiddenLayer};
__property TNode **nodes = {read = FNodes, write = FNodes};
private:
double *FMinResponse, *FMaxResponse, *FMinInput, *FMaxInput;
int FInputSize, FOutputSize, FHiddenLayers;
TTrainingMethod FForecastMethod;
TNode FFixedInput;
int *FNeuronsPerHiddenLayer;
TNode **FNodes;
};
//-----
#endif

```

Υλοποίηση των κυριότερων αλγορίθμων που αφορούν στα Νευρωνικά Δίκτυα

ANNHeaderFile.cpp

```
//-----  
  
#include <vcl.h>  
#pragma hdrstop  
  
#include "ANNHeaderFile.h"  
#include "ANNFormUnit.h"  
#include "DataModuleUnit.h"  
  
//-----  
  
#pragma package(smart_init)  
  
//-----  
__fastcall TANeuralNetwork::TANeuralNetwork(int *NeuronsPerHiddenLayer, int InputSize, int HiddenLayers, int OutputSize)  
{  
    TSynapse tempSynapse;  
  
    neuronsPerHiddenLayer = 0;  
    nodes = 0;  
    minResponse = 0;  
    maxResponse = 0;  
    minInput = 0;  
    maxInput = 0;  
  
    if((InputSize < 1) || (HiddenLayers < 1) || (OutputSize < 1)) return;  
    for(int i = 0; i < HiddenLayers; i++)  
    {  
        if(NeuronsPerHiddenLayer[i] < 1) return;  
    }  
  
    inputSize = InputSize;  
    hiddenLayers = HiddenLayers;  
    outputSize = OutputSize;  
    fixedInput.response = 1;  
  
    neuronsPerHiddenLayer = new int[HiddenLayers];  
    for(int i = 0; i < hiddenLayers; i++)  
    {  
        neuronsPerHiddenLayer[i] = NeuronsPerHiddenLayer[i];  
    }  
  
    nodes = new TNode*[hiddenLayers + 2];  
    for(int i = 0; i < hiddenLayers + 2; i++)  
    {  
        if(i == 0)  
        {  
            nodes[i] = new TNode[inputSize];  
        }  
        else if(i == (hiddenLayers + 1))  
        {  
            nodes[i] = new TNode[outputSize];  
        }  
        else  
        {  
            nodes[i] = new TNode[neuronsPerHiddenLayer[i - 1]];  
        }  
    }  
}
```

```

minResponse = new double[outputSize];
maxResponse = new double[outputSize];
minInput = new double[inputSize];
maxInput = new double[inputSize];

for(int i = 0; i < hiddenLayers + 2; i++)
{
    if(i == 0)
    {
        for(int j = 0; j < inputSize; j++)
        {
            nodes[i][j].name = AnsiString(IntToStr(i) + "-" + IntToStr(j));
            nodes[i][j].activationFunction = 0;
            nodes[i][j].activationFunctionDerivative = 0;
            nodes[i][j].response = 0;
            nodes[i][j].inducedLocalField = 0;
            nodes[i][j].Dj = 0;
            nodes[i][j].SUMDjW = 0;
            nodes[i][j].a = 0;
            nodes[i][j].n = 0;
        }
    }
    else if(i == (hiddenLayers + 1))
    {
        for(int j = 0; j < outputSize; j++)
        {
            nodes[i][j].name = AnsiString(IntToStr(i) + "-" + IntToStr(j));
            nodes[i][j].activationFunction = HyperbolicTangent;
            nodes[i][j].activationFunctionDerivative = HyperbolicTangentDerivative;
            nodes[i][j].response = 0;
            nodes[i][j].inducedLocalField = 0;
            nodes[i][j].Dj = 0;
            nodes[i][j].SUMDjW = 0;
            nodes[i][j].a = 0.3;
            nodes[i][j].n = 0.1;
        }
    }
    else
    {
        for(int j = 0; j < neuronsPerHiddenLayer[i - 1]; j++)
        {
            nodes[i][j].name = AnsiString(IntToStr(i) + "-" + IntToStr(j));
            nodes[i][j].activationFunction = HyperbolicTangent;
            nodes[i][j].activationFunctionDerivative = HyperbolicTangentDerivative;
            nodes[i][j].response = 0;
            nodes[i][j].inducedLocalField = 0;
            nodes[i][j].Dj = 0;
            nodes[i][j].SUMDjW = 0;
            nodes[i][j].a = 0.3;
            nodes[i][j].n = 0.1;
        }
    }
}

for(int i = 1; i < hiddenLayers + 2; i++)
{
    if(i == 1)
    {
        for(int j = 0; j < neuronsPerHiddenLayer[i - 1]; j++)
        {
            tempSynapse.synapticWeight = 0;
            tempSynapse.synapticWeightDif = 0;
            tempSynapse.inputNode = &fixedInput;
            tempSynapse.outputNode = &nodes[i][j];
            nodes[i][j].synapses.push_back(tempSynapse);

            for(int k = 0; k < inputSize; k++)

```



```

forecastMethod = rhs.forecastMethod;

neuronsPerHiddenLayer = new int[rhs.hiddenLayers];
for(int i = 0; i < hiddenLayers; i++)
{
    neuronsPerHiddenLayer[i] = rhs.neuronsPerHiddenLayer[i];
}

minResponse = new double[outputSize];
maxResponse = new double[outputSize];
minInput = new double[inputSize];
maxInput = new double[inputSize];

for(int i = 0; i < outputSize; i++)
{
    minResponse[i] = rhs.minResponse[i];
    maxResponse[i] = rhs.maxResponse[i];
}

for(int i = 0; i < inputSize; i++)
{
    minInput[i] = rhs.minInput[i];
    maxInput[i] = rhs.maxInput[i];
}

nodes = new TNode*[hiddenLayers + 2];
for(int i = 0; i < hiddenLayers + 2; i++)
{
    if(i == 0)
    {
        nodes[i] = new TNode[inputSize];
    }
    else if(i == (hiddenLayers + 1))
    {
        nodes[i] = new TNode[outputSize];
    }
    else
    {
        nodes[i] = new TNode[neuronsPerHiddenLayer[i - 1]];
    }
}

for(int i = 0; i < hiddenLayers + 2; i++)
{
    if(i == 0)
    {
        for(int j = 0; j < inputSize; j++)
        {
            nodes[i][j].name = rhs.nodes[i][j].name;
            nodes[i][j].activationFunction = rhs.nodes[i][j].activationFunction;
            nodes[i][j].activationFunctionDerivative = rhs.nodes[i][j].activationFunctionDerivative;
            nodes[i][j].response = rhs.nodes[i][j].response;
            nodes[i][j].inducedLocalField = rhs.nodes[i][j].inducedLocalField;
            nodes[i][j].Dj = rhs.nodes[i][j].Dj;
            nodes[i][j].SUMDjW = rhs.nodes[i][j].SUMDjW;
            nodes[i][j].a = rhs.nodes[i][j].a;
            nodes[i][j].n = rhs.nodes[i][j].n;
        }
    }
    else if(i == (hiddenLayers + 1))
    {
        for(int j = 0; j < outputSize; j++)
        {
            nodes[i][j].name = rhs.nodes[i][j].name;
            nodes[i][j].activationFunction = rhs.nodes[i][j].activationFunction;
            nodes[i][j].activationFunctionDerivative = rhs.nodes[i][j].activationFunctionDerivative;
            nodes[i][j].response = rhs.nodes[i][j].response;
        }
    }
}

```

```

        nodes[i][j].inducedLocalField = rhs.nodes[i][j].inducedLocalField;
        nodes[i][j].Dj = rhs.nodes[i][j].Dj;
        nodes[i][j].SUMDjW = rhs.nodes[i][j].SUMDjW;
        nodes[i][j].a = rhs.nodes[i][j].a;
        nodes[i][j].n = rhs.nodes[i][j].n;
    }
}
else
{
    for(int j = 0; j < neuronsPerHiddenLayer[i - 1]; j++)
    {
        nodes[i][j].name = rhs.nodes[i][j].name;
        nodes[i][j].activationFunction = rhs.nodes[i][j].activationFunction;
        nodes[i][j].activationFunctionDerivative = rhs.nodes[i][j].activationFunctionDerivative;
        nodes[i][j].response = rhs.nodes[i][j].response;
        nodes[i][j].inducedLocalField = rhs.nodes[i][j].inducedLocalField;
        nodes[i][j].Dj = rhs.nodes[i][j].Dj;
        nodes[i][j].SUMDjW = rhs.nodes[i][j].SUMDjW;
        nodes[i][j].a = rhs.nodes[i][j].a;
        nodes[i][j].n = rhs.nodes[i][j].n;
    }
}
}

for(int i = 1; i < hiddenLayers + 2; i++)
{
    if(i == 1)
    {
        for(int j = 0; j < neuronsPerHiddenLayer[i - 1]; j++)
        {
            for(list<TSynapse>::iterator k = rhs.nodes[i][j].synapses.begin(); k != rhs.nodes[i][j].synapses.end(); k++)
            {
                if((*k).inputNode != &(rhs.fixedInput))
                {
                    tempSynapse.synapticWeight = (*k).synapticWeight;
                    tempSynapse.synapticWeightDif = (*k).synapticWeightDif;
                    for(int l = 0; l < inputSize; l++)
                    {
                        if(nodes[i-1][l].name == (*k).inputNode->name)
                        {
                            tempSynapse.inputNode = &nodes[i - 1][l];
                            break;
                        }
                    }
                    tempSynapse.outputNode = &nodes[i][j];
                    nodes[i][j].synapses.push_back(tempSynapse);
                }
                else
                {
                    tempSynapse.synapticWeight = (*k).synapticWeight;
                    tempSynapse.synapticWeightDif = (*k).synapticWeightDif;
                    tempSynapse.inputNode = &fixedInput;
                    tempSynapse.outputNode = &nodes[i][j];
                    nodes[i][j].synapses.push_back(tempSynapse);
                }
            }
        }
    }
    else if(i == (hiddenLayers + 1))
    {
        for(int j = 0; j < outputSize; j++)
        {
            for(list<TSynapse>::iterator k = rhs.nodes[i][j].synapses.begin(); k != rhs.nodes[i][j].synapses.end(); k++)
            {
                if((*k).inputNode != &(rhs.fixedInput))
                {
                    tempSynapse.synapticWeight = (*k).synapticWeight;

```



```
{
    for(int i = 0; i < hiddenLayers + 2; i++)
    {
        delete [] nodes[i];
    }
    delete [] nodes;
}

if(minResponse) delete [] minResponse;
if(maxResponse) delete [] maxResponse;
if(minInput) delete [] minInput;
if(maxInput) delete [] maxInput;

neuronsPerHiddenLayer = 0;
nodes = 0;
minResponse = 0;
maxResponse = 0;
minInput = 0;
maxInput = 0;

inputSize = rhs.inputSize;
hiddenLayers = rhs.hiddenLayers;
outputSize = rhs.outputSize;
fixedInput.response = 1;
forecastMethod = rhs.forecastMethod;

neuronsPerHiddenLayer = new int[rhs.hiddenLayers];
for(int i = 0; i < hiddenLayers; i++)
{
    neuronsPerHiddenLayer[i] = rhs.neuronsPerHiddenLayer[i];
}

minResponse = new double[outputSize];
maxResponse = new double[outputSize];
minInput = new double[inputSize];
maxInput = new double[inputSize];

for(int i = 0; i < outputSize; i++)
{
    minResponse[i] = rhs.minResponse[i];
    maxResponse[i] = rhs.maxResponse[i];
}

for(int i = 0; i < inputSize; i++)
{
    minInput[i] = rhs.minInput[i];
    maxInput[i] = rhs.maxInput[i];
}

nodes = new TNode*[hiddenLayers + 2];
for(int i = 0; i < hiddenLayers + 2; i++)
{
    if(i == 0)
    {
        nodes[i] = new TNode[inputSize];
    }
    else if(i == (hiddenLayers + 1))
    {
        nodes[i] = new TNode[outputSize];
    }
    else
    {
        nodes[i] = new TNode[neuronsPerHiddenLayer[i - 1]];
    }
}

for(int i = 0; i < hiddenLayers + 2; i++)
```

```

{
  if(i == 0)
  {
    for(int j = 0; j < inputSize; j++)
    {
      nodes[i][j].name = rhs.nodes[i][j].name;
      nodes[i][j].activationFunction = rhs.nodes[i][j].activationFunction;
      nodes[i][j].activationFunctionDerivative = rhs.nodes[i][j].activationFunctionDerivative;
      nodes[i][j].response = rhs.nodes[i][j].response;
      nodes[i][j].inducedLocalField = rhs.nodes[i][j].inducedLocalField;
      nodes[i][j].Dj = rhs.nodes[i][j].Dj;
      nodes[i][j].SUMDjW = rhs.nodes[i][j].SUMDjW;
      nodes[i][j].a = rhs.nodes[i][j].a;
      nodes[i][j].n = rhs.nodes[i][j].n;
    }
  }
  else if(i == (hiddenLayers + 1))
  {
    for(int j = 0; j < outputSize; j++)
    {
      nodes[i][j].name = rhs.nodes[i][j].name;
      nodes[i][j].activationFunction = rhs.nodes[i][j].activationFunction;
      nodes[i][j].activationFunctionDerivative = rhs.nodes[i][j].activationFunctionDerivative;
      nodes[i][j].response = rhs.nodes[i][j].response;
      nodes[i][j].inducedLocalField = rhs.nodes[i][j].inducedLocalField;
      nodes[i][j].Dj = rhs.nodes[i][j].Dj;
      nodes[i][j].SUMDjW = rhs.nodes[i][j].SUMDjW;
      nodes[i][j].a = rhs.nodes[i][j].a;
      nodes[i][j].n = rhs.nodes[i][j].n;
    }
  }
  else
  {
    for(int j = 0; j < neuronsPerHiddenLayer[i - 1]; j++)
    {
      nodes[i][j].name = rhs.nodes[i][j].name;
      nodes[i][j].activationFunction = rhs.nodes[i][j].activationFunction;
      nodes[i][j].activationFunctionDerivative = rhs.nodes[i][j].activationFunctionDerivative;
      nodes[i][j].response = rhs.nodes[i][j].response;
      nodes[i][j].inducedLocalField = rhs.nodes[i][j].inducedLocalField;
      nodes[i][j].Dj = rhs.nodes[i][j].Dj;
      nodes[i][j].SUMDjW = rhs.nodes[i][j].SUMDjW;
      nodes[i][j].a = rhs.nodes[i][j].a;
      nodes[i][j].n = rhs.nodes[i][j].n;
    }
  }
}

for(int i = 1; i < hiddenLayers + 2; i++)
{
  if(i == 1)
  {
    for(int j = 0; j < neuronsPerHiddenLayer[i - 1]; j++)
    {
      for(list<TSynapse>::iterator k = rhs.nodes[i][j].synapses.begin(); k != rhs.nodes[i][j].synapses.end(); k++)
      {
        if((*k).inputNode != &(rhs.fixedInput))
        {
          tempSynapse.synapticWeight = (*k).synapticWeight;
          tempSynapse.synapticWeightDif = (*k).synapticWeightDif;
          for(int l = 0; l < inputSize; l++)
          {
            if(nodes[i-1][l].name == (*k).inputNode->name)
            {
              tempSynapse.inputNode = &nodes[i - 1][l];
              break;
            }
          }
        }
      }
    }
  }
}

```

```

    }
    tempSynapse.outputNode = &nodes[i][j];
    nodes[i][j].synapses.push_back(tempSynapse);
}
else
{
    tempSynapse.synapticWeight = (*k).synapticWeight;
    tempSynapse.synapticWeightDif = (*k).synapticWeightDif;
    tempSynapse.inputNode = &fixedInput;
    tempSynapse.outputNode = &nodes[i][j];
    nodes[i][j].synapses.push_back(tempSynapse);
}
}
}
}
else if(i == (hiddenLayers + 1))
{
    for(int j = 0; j < outputSize; j++)
    {
        for(list<TSynapse>::iterator k = rhs.nodes[i][j].synapses.begin(); k != rhs.nodes[i][j].synapses.end(); k++)
        {
            if((*k).inputNode != &(rhs.fixedInput))
            {
                tempSynapse.synapticWeight = (*k).synapticWeight;
                tempSynapse.synapticWeightDif = (*k).synapticWeightDif;
                for(int l = 0; l < neuronsPerHiddenLayer[i - 2]; l++)
                {
                    if(nodes[i-1][l].name == (*k).inputNode->name)
                    {
                        tempSynapse.inputNode = &nodes[i - 1][l];
                        break;
                    }
                }
                tempSynapse.outputNode = &nodes[i][j];
                nodes[i][j].synapses.push_back(tempSynapse);
            }
            else
            {
                tempSynapse.synapticWeight = (*k).synapticWeight;
                tempSynapse.synapticWeightDif = (*k).synapticWeightDif;
                tempSynapse.inputNode = &fixedInput;
                tempSynapse.outputNode = &nodes[i][j];
                nodes[i][j].synapses.push_back(tempSynapse);
            }
        }
    }
}
}
else
{
    for(int j = 0; j < neuronsPerHiddenLayer[i - 1]; j++)
    {
        for(list<TSynapse>::iterator k = rhs.nodes[i][j].synapses.begin(); k != rhs.nodes[i][j].synapses.end(); k++)
        {
            if((*k).inputNode != &(rhs.fixedInput))
            {
                tempSynapse.synapticWeight = (*k).synapticWeight;
                tempSynapse.synapticWeightDif = (*k).synapticWeightDif;
                for(int l = 0; l < neuronsPerHiddenLayer[i - 2]; l++)
                {
                    if(nodes[i-1][l].name == (*k).inputNode->name)
                    {
                        tempSynapse.inputNode = &nodes[i - 1][l];
                        break;
                    }
                }
                tempSynapse.outputNode = &nodes[i][j];
                nodes[i][j].synapses.push_back(tempSynapse);
            }
        }
    }
}
}
}

```

```

    }
    else
    {
        tempSynapse.synapticWeight = (*k).synapticWeight;
        tempSynapse.synapticWeightDif = (*k).synapticWeightDif;
        tempSynapse.inputNode = &fixedInput;
        tempSynapse.outputNode = &nodes[i][j];
        nodes[i][j].synapses.push_back(tempSynapse);
    }
}
}
}

return *this;
}
//-----
__fastcall TANNeuralNetwork::~TANNeuralNetwork()
{
    if(neuronsPerHiddenLayer) delete [] neuronsPerHiddenLayer;

    if(nodes)
    {
        for(int i = 0; i < hiddenLayers + 2; i++)
        {
            delete [] nodes[i];
        }
        delete [] nodes;
    }

    if(minResponse) delete [] minResponse;
    if(maxResponse) delete [] maxResponse;
    if(minInput) delete [] minInput;
    if(maxInput) delete [] maxInput;
}
//-----
__fastcall TNode::TNode()
{
}
//-----
__fastcall TNode::~TNode()
{
}
//-----
__fastcall TSynapse::TSynapse()
{
}
//-----
__fastcall TSynapse::~TSynapse()
{
}
//-----
bool __fastcall TANNeuralNetwork::TrainANN(TObject *Sender, double **tData, double **dResponse, int nOfExamples, bool *stop, double
*MeanSquareError, int maxNumberOfEpochs)
{
    try
    {
        int totalSynapses, numberOfEpochs, estimationSize, validationSize, period;
        double c, s, m, U1, U2, X, Y, result, rOptimal;
        double tempDouble, AROASE, ASE, pASE, MSE, pMSE;
        double **trainingData, **desiredResponse, *meanVector;
        double **randomizedTrainingData, **randomizedDesiredResponse;
        double **estimationSubset, **validationSubset, **estimationResponse, **validationResponse;
        bool valueFound;
        TANNForm *myForm;
        TMainForm *myForm2;
    }
}

```

```
trainingData = 0;  
desiredResponse = 0;  
meanVector = 0;  
randomizedTrainingData = 0;  
randomizedDesiredResponse = 0;  
estimationSubset = 0;  
validationSubset = 0;  
estimationResponse = 0;  
validationResponse = 0;  
  
myForm = dynamic_cast<TANNForm *>(Sender);  
myForm2 = dynamic_cast<TMainForm *>(Sender);
```

// 1) INITIALIZATION

```
trainingData = new double*[nOfExamples];  
for(int i = 0; i < nOfExamples; i++)  
{  
    trainingData[i] = new double[inputSize];  
}  
  
desiredResponse = new double*[nOfExamples];  
for(int i = 0; i < nOfExamples; i++)  
{  
    desiredResponse[i] = new double[outputSize];  
}  
  
meanVector = new double[inputSize];
```

// 1A) INITIALIZE SYNAPTIC WEIGHTS AND THRESHOLDS FROM A UNIFORM DISTRIBUTION

```
RandSeed = rand();  
  
if(myForm)  
{  
    myForm->Timer1->Enabled = false;  
    myForm->curAction = countAction;  
    if(DataModule1->curLanguage == Greek)  
    {  
        myForm->StatusBar1->Panels->Items[1]->Text = "Αρχικοποίηση δικτύου.";  
    }  
    else if(DataModule1->curLanguage == English)  
    {  
        myForm->StatusBar1->Panels->Items[1]->Text = "Network initialization.";  
    }  
    myForm->StatusBar1->Invalidate();  
}  
if(myForm2)  
{  
    DataModule1->Timer1->Enabled = false;  
    myForm2->curAction = countAction;  
    if(DataModule1->curLanguage == Greek)  
    {  
        myForm2->StatusBar1->Panels->Items[1]->Text = "Αρχικοποίηση δικτύου.";  
    }  
    else if(DataModule1->curLanguage == English)  
    {  
        myForm2->StatusBar1->Panels->Items[1]->Text = "Network initialization.";  
    }  
    myForm2->StatusBar1->Invalidate();  
}  
  
for(int i = 0; i < hiddenLayers; i++)  
{  
    for(int j = 0; j < neuronsPerHiddenLayer[i]; j++)  
    {  
        Application->ProcessMessages();  
    }  
}
```

```

m = 0;
if(nodes[i + 1][j].synapses.size() > 0) s = double(1)/sqrt(double(nodes[i + 1][j].synapses.size()));
for(list<TSynapse>::iterator k = nodes[i + 1][j].synapses.begin(); k != nodes[i + 1][j].synapses.end(); k++)
{
    valueFound = false;
    while(!valueFound)
    {
        c = double(1)/(s*sqrt(double(2)*M_PI));
        U1 = double(rand()) / double(RAND_MAX);
        U2 = double(rand()) / double(RAND_MAX);
        X = m - double(1000*s) + double(2000*s) * U1;
        Y = c * U2;
        if(Y < NDistribution(X, s, m))
        {
            result = X;
            valueFound = true;
        }
    }
    (*k).synapticWeight = result;

    if(*stop)
    {
        if(trainingData)
        {
            for(int i = 0; i < nOfExamples; i++)
            {
                delete [] trainingData[i];
            }
            delete [] trainingData;
        }

        if(desiredResponse)
        {
            for(int i = 0; i < nOfExamples; i++)
            {
                delete [] desiredResponse[i];
            }
            delete [] desiredResponse;
        }

        if(meanVector)
        {
            delete [] meanVector;
        }

        return false;
    }
}
}

for(int i = 0; i < outputSize; i++)
{
    Application->ProcessMessages();
    m = 0;
    if(nodes[hiddenLayers + 1][i].synapses.size() > 0) s = double(1)/sqrt(double(nodes[hiddenLayers + 1][i].synapses.size()));
    for(list<TSynapse>::iterator j = nodes[hiddenLayers + 1][i].synapses.begin(); j != nodes[hiddenLayers + 1][i].synapses.end(); j++)
    {
        valueFound = false;
        while(!valueFound)
        {
            c = double(1)/(s*sqrt(double(2)*M_PI));
            U1 = double(rand()) / double(RAND_MAX);
            U2 = double(rand()) / double(RAND_MAX);
            X = m - double(1000*s) + double(2000*s) * U1;
            Y = c * U2;
            if(Y < NDistribution(X, s, m))

```

```

        {
            result = X;
            valueFound = true;
        }
    }
    (*j).synapticWeight = result;

    if(*stop)
    {
        if(trainingData)
        {
            for(int i = 0; i < nOfExamples; i++)
            {
                delete [] trainingData[i];
            }
            delete [] trainingData;
        }

        if(desiredResponse)
        {
            for(int i = 0; i < nOfExamples; i++)
            {
                delete [] desiredResponse[i];
            }
            delete [] desiredResponse;
        }

        if(meanVector)
        {
            delete [] meanVector;
        }

        return false;
    }
}

// 1B) TRANSFORM TARGET VALUES AND NORMALIZE INPUTS

for(int i = 0; i < outputSize; i++)
{
    minResponse[i] = dResponse[0][i];
    maxResponse[i] = dResponse[0][i];
}

for(int i = 0; i < inputSize; i++)
{
    meanVector[i] = 0;
}

for(int i = 1; i < nOfExamples; i++)
{
    for(int j = 0; j < outputSize; j++)
    {
        if(dResponse[i][j] > maxResponse[j]) maxResponse[j] = dResponse[i][j];
        if(dResponse[i][j] < minResponse[j]) minResponse[j] = dResponse[i][j];
    }
}

for(int i = 0; i < nOfExamples; i++)
{
    for(int j = 0; j < outputSize; j++)
    {
        desiredResponse[i][j] = double(-1) + double(2)*((dResponse[i][j] - minResponse[j])/(maxResponse[j] - minResponse[j]));
    }
}

for(int j = 0; j < inputSize; j++)

```

```

    {
        meanVector[j] += tData[i][j];
    }
}

for(int i = 0; i < inputSize; i++)
{
    meanVector[i] = meanVector[i]/double(nOfExamples);
}

for(int i = 0; i < nOfExamples; i++)
{
    for(int j = 0; j < inputSize; j++)
    {
        trainingData[i][j] = tData[i][j] - meanVector[j];
    }
}

for(int i = 0; i < inputSize; i++)
{
    minInput[i] = trainingData[0][i];
    maxInput[i] = trainingData[0][i];
}

for(int i = 1; i < nOfExamples; i++)
{
    for(int j = 0; j < inputSize; j++)
    {
        if(trainingData[i][j] > maxInput[j]) maxInput[j] = trainingData[i][j];
        if(trainingData[i][j] < minInput[j]) minInput[j] = trainingData[i][j];
    }
}

for(int i = 0; i < nOfExamples; i++)
{
    for(int j = 0; j < inputSize; j++)
    {
        trainingData[i][j] = double(-1) + double(2)*((trainingData[i][j] - minInput[j])/(maxInput[j] - minInput[j]));
    }
}

// 2)CALCULATE TOTAL NTEWORK SYNAPSES

totalSynapses = 0;
for(int i = 0; i < hiddenLayers + 1; i++)
{
    if(i != hiddenLayers)
    {
        for(int j = 0; j < neuronsPerHiddenLayer[i]; j++)
        {
            totalSynapses += nodes[i + 1][j].synapses.size();
        }
    }
    else
    {
        for(int j = 0; j < outputSize; j++)
        {
            totalSynapses += nodes[i + 1][j].synapses.size();
        }
    }
}

// 3) TRAIN THE NETWORK USING THE BACK-PROPAGATION ALGORITHM AND THE APPROPRIATE STOPPING CRITERIA

if(forecastMethod == asymptotic)
{
    //ASYMPTOTIC MODE

```

```

AROASE = 1;
ASE = 0;
numberOfEpochs = 0;

randomizedTrainingData = new double*[nOfExamples];
for(int i = 0; i < nOfExamples; i++)
{
    randomizedTrainingData[i] = new double[inputSize];
}

randomizedDesiredResponse = new double*[nOfExamples];
for(int i = 0; i < nOfExamples; i++)
{
    randomizedDesiredResponse[i] = new double[outputSize];
}

while(AROASE >= 0.01)
{
    //EPOCH START - RANDOMIZE TRAINING DATA

    RandomizeTrainingData(trainingData, randomizedTrainingData, desiredResponse, randomizedDesiredResponse, nOfExamples);
    pASE = ASE;
    ASE = 0;

    for(int i = 0; i < nOfExamples; i++)
    {
        Application->ProcessMessages();

        //FORWARD COMPUTATION
        for(int j = 0; j < inputSize; j++)
        {
            nodes[0][j].response = randomizedTrainingData[i][j];
        }

        for(int j = 0; j < hiddenLayers; j++)
        {
            for(int k = 0; k < neuronsPerHiddenLayer[j]; k++)
            {
                nodes[j + 1][k].inducedLocalField = 0;

                for(list<TSynapse>::iterator l = nodes[j + 1][k].synapses.begin(); l != nodes[j + 1][k].synapses.end(); l++)
                {
                    nodes[j + 1][k].inducedLocalField += ((*l).synapticWeight) * ((*l).inputNode->response);
                }

                nodes[j + 1][k].response = nodes[j + 1][k].activationFunction(nodes[j + 1][k].inducedLocalField);
            }
        }

        for(int j = 0; j < outputSize; j++)
        {
            nodes[hiddenLayers + 1][j].inducedLocalField = 0;

            for(list<TSynapse>::iterator k = nodes[hiddenLayers + 1][j].synapses.begin(); k != nodes[hiddenLayers + 1][j].synapses.end(); k++)
            {
                nodes[hiddenLayers + 1][j].inducedLocalField += ((*k).synapticWeight) * ((*k).inputNode->response);
            }

            nodes[hiddenLayers + 1][j].response = nodes[hiddenLayers + 1][j].activationFunction(nodes[hiddenLayers + 1][j].inducedLocalField);
            nodes[hiddenLayers + 1][j].error = randomizedDesiredResponse[i][j] - nodes[hiddenLayers + 1][j].response;
        }

        //BACKWARD COMPUTATION

        for(int j = 0; j < neuronsPerHiddenLayer[hiddenLayers - 1]; j++)
        {

```

```

        nodes[hiddenLayers][j].SUMDjW = 0;
    }
    for(int j = 0; j < outputSize; j++)
    {
        nodes[hiddenLayers + 1][j].Dj = nodes[hiddenLayers + 1][j].error * nodes[hiddenLayers +
1][j].activationFunctionDerivative(nodes[hiddenLayers + 1][j].response);
        for(list<TSynapse>::iterator k = nodes[hiddenLayers + 1][j].synapses.begin(); k!= nodes[hiddenLayers + 1][j].synapses.end(); k++)
        {
            tempDouble = (*k).synapticWeight;
            (*k).synapticWeight = (*k).synapticWeight + (nodes[hiddenLayers + 1][j].a * ((*k).synapticWeightDif) + (nodes[hiddenLayers + 1][j].n
* nodes[hiddenLayers + 1][j].Dj * ((*k).inputNode->response));
            (*k).synapticWeightDif = (*k).synapticWeight - tempDouble;
            (*k).inputNode->SUMDjW += (*k).synapticWeight * nodes[hiddenLayers + 1][j].Dj;
        }
    }

    for(int j = hiddenLayers; j > 0; j--)
    {
        if(j > 1)
        {
            for(int k = 0; k < neuronsPerHiddenLayer[j - 2]; k++)
            {
                nodes[j - 1][k].SUMDjW = 0;
            }
        }
        else
        {
            for(int k = 0; k < inputSize; k++)
            {
                nodes[j - 1][k].SUMDjW = 0;
            }
        }

        for(int k = 0; k < neuronsPerHiddenLayer[j - 1]; k++)
        {
            nodes[j][k].Dj = nodes[j][k].SUMDjW * nodes[j][k].activationFunctionDerivative(nodes[j][k].response);

            for(list<TSynapse>::iterator l = nodes[j][k].synapses.begin(); l!= nodes[j][k].synapses.end(); l++)
            {
                tempDouble = (*l).synapticWeight;
                (*l).synapticWeight = (*l).synapticWeight + (nodes[j][k].a * ((*l).synapticWeightDif) + (nodes[j][k].n * nodes[j][k].Dj *
(*l).inputNode->response));
                (*l).synapticWeightDif = (*l).synapticWeight - tempDouble;
                (*l).inputNode->SUMDjW += (*l).synapticWeight * nodes[j][k].Dj;
            }
        }
    }

    //CALCULATE AVERAGE SQUARED ERROR

    for(int j = 0; j < outputSize; j++)
    {
        ASE += pow(nodes[hiddenLayers + 1][j].error, double(2))/double(2);
    }

    if(*stop)
    {
        if(trainingData)
        {
            for(int i = 0; i < nOfExamples; i++)
            {
                delete [] trainingData[i];
            }
            delete [] trainingData;
        }

        if(desiredResponse)

```

```

    {
        for(int i = 0; i < nOfExamples; i++)
        {
            delete [] desiredResponse[i];
        }
        delete [] desiredResponse;
    }

    if(meanVector)
    {
        delete [] meanVector;
    }

    if(randomizedTrainingData)
    {
        for(int i = 0; i < nOfExamples; i++)
        {
            delete [] randomizedTrainingData[i];
        }
        delete [] randomizedTrainingData;
    }

    if(randomizedDesiredResponse)
    {
        for(int i = 0; i < nOfExamples; i++)
        {
            delete [] randomizedDesiredResponse[i];
        }
        delete [] randomizedDesiredResponse;
    }

    ASE = ASE / double(i + 1);
    if(myForm)
    {
        myForm->curAction = trainAction;
        if(DataModule1->curLanguage == Greek)
        {
            myForm->StatusBar1->Panels->Items[1]->Text = "Η εκπαίδευση του δικτύου διακόπηκε. MSE: " + FloatToStrF(ASE, ffExponent, 4,
3);
        }
        else if(DataModule1->curLanguage == English)
        {
            myForm->StatusBar1->Panels->Items[1]->Text = "Network training was interrupted. MSE: " + FloatToStrF(ASE, ffExponent, 4, 3);
        }
        myForm->StatusBar1->Invalidate();
        myForm->Timer1->Enabled = true;
    }
    if(myForm2)
    {
        DataModule1->Timer1->Enabled = true;
    }

    return true;
}
}

ASE = ASE / double(nOfExamples);
if(numberOfEpochs > 0) AROASE = double(100) * (fabs(ASE - pASE)/ASE);
else AROASE = 1;
numberOfEpochs++;

if(maxNumberOfEpochs !=0)
{
    if(numberOfEpochs > maxNumberOfEpochs) *stop = true;
}

if(myForm)

```

```

{
  myForm->curAction = countAction;
  if(DataModule1->curLanguage == Greek)
  {
    myForm->StatusBar1->Panels->Items[1]->Text = "Αριθμός Εποχών: " + IntToStr(numberOfEpochs);
  }
  else if(DataModule1->curLanguage == English)
  {
    myForm->StatusBar1->Panels->Items[1]->Text = "Number Of Epochs: " + IntToStr(numberOfEpochs);
  }
  myForm->StatusBar1->Invalidate();
}
if(myForm2)
{
  myForm2->curAction = countAction;
  if(DataModule1->curLanguage == Greek)
  {
    myForm2->StatusBar1->Panels->Items[1]->Text = "Αριθμός Εποχών: " + IntToStr(numberOfEpochs);
  }
  else if(DataModule1->curLanguage == English)
  {
    myForm2->StatusBar1->Panels->Items[1]->Text = "Number Of Epochs: " + IntToStr(numberOfEpochs);
  }
  myForm2->StatusBar1->Invalidate();
}
}

(*MeanSquareError) = ASE;

if(randomizedTrainingData)
{
  for(int i = 0; i < nOfExamples; i++)
  {
    delete [] randomizedTrainingData[i];
  }
  delete [] randomizedTrainingData;
}

if(randomizedDesiredResponse)
{
  for(int i = 0; i < nOfExamples; i++)
  {
    delete [] randomizedDesiredResponse[i];
  }
  delete [] randomizedDesiredResponse;
}

if(myForm)
{
  myForm->curAction = trainAction;
  if(DataModule1->curLanguage == Greek)
  {
    myForm->StatusBar1->Panels->Items[1]->Text = "Η εκπαίδευση του δικτύου ολοκληρώθηκε με επιτυχία. MSE: " + FloatToStrF(ASE,
ffExponent, 4, 3);
  }
  else if(DataModule1->curLanguage == English)
  {
    myForm->StatusBar1->Panels->Items[1]->Text = "Network training completed successfully. MSE: " + FloatToStrF(ASE, ffExponent, 4, 3);
  }
  myForm->StatusBar1->Invalidate();
  myForm->Timer1->Enabled = true;
}
if(myForm2)
{
  DataModule1->Timer1->Enabled = true;
}
}

```

```

else if(forecastMethod == nonAsymptotic)
{
//NONASYMPTOTIC MODE

rOptimal = (sqrt(double(2)*double(totalSynapses) - double(1)) - double(1))/(double(2)*(double(totalSynapses) - double(1)));
validationSize = int(double(nOfExamples) * rOptimal);
if(validationSize == 0) validationSize = 1;
if(validationSize == nOfExamples) validationSize = nOfExamples - 1;
estimationSize = nOfExamples - validationSize;

estimationSubset = new double*[estimationSize];
for(int i = 0; i < estimationSize; i++)
{
estimationSubset[i] = new double[inputSize];
}

estimationResponse = new double*[estimationSize];
for(int i = 0; i < estimationSize; i++)
{
estimationResponse[i] = new double[outputSize];
}

validationSubset = new double*[validationSize];
for(int i = 0; i < validationSize; i++)
{
validationSubset[i] = new double[inputSize];
}

validationResponse = new double*[validationSize];
for(int i = 0; i < validationSize; i++)
{
validationResponse[i] = new double[outputSize];
}

randomizedTrainingData = new double*[estimationSize];
for(int i = 0; i < estimationSize; i++)
{
randomizedTrainingData[i] = new double[inputSize];
}

randomizedDesiredResponse = new double*[estimationSize];
for(int i = 0; i < estimationSize; i++)
{
randomizedDesiredResponse[i] = new double[outputSize];
}

for(int i = 0; i < validationSize; i++)
{
for(int j = 0; j < inputSize; j++)
{
validationSubset[i][j] = trainingData[nOfExamples - 1 - i][j];
}
for(int j = 0; j < outputSize; j++)
{
validationResponse[i][j] = desiredResponse[nOfExamples - 1 - i][j];
}
}

for(int i = 0; i < estimationSize; i++)
{
for(int j = 0; j < inputSize; j++)
{
estimationSubset[i][j] = trainingData[i][j];
}
for(int j = 0; j < outputSize; j++)
{
estimationResponse[i][j] = desiredResponse[i][j];
}
}
}

```

```
    }  
  }  
  
  pMSE = -1;  
  MSE = -2;  
  numberOfEpochs = 1;  
  period = 20;  
  
  while(MSE <= pMSE)  
  {  
    //EPOCH START - RANDOMIZE TRAINING DATA  
  
    RandomizeTrainingData(estimationSubset, randomizedTrainingData, estimationResponse, randomizedDesiredResponse, estimationSize);  
    pMSE = MSE;  
  
    for(int i = 0; i < estimationSize; i++)  
    {  
      Application->ProcessMessages();  
  
      if(*stop)  
      {  
        if(trainingData)  
        {  
          for(int i = 0; i < nOfExamples; i++)  
          {  
            delete [] trainingData[i];  
          }  
          delete [] trainingData;  
        }  
  
        if(desiredResponse)  
        {  
          for(int i = 0; i < nOfExamples; i++)  
          {  
            delete [] desiredResponse[i];  
          }  
          delete [] desiredResponse;  
        }  
  
        if(meanVector)  
        {  
          delete [] meanVector;  
        }  
  
        if(estimationSubset)  
        {  
          for(int i = 0; i < estimationSize; i++)  
          {  
            delete [] estimationSubset[i];  
          }  
          delete [] estimationSubset;  
        }  
  
        if(estimationResponse)  
        {  
          for(int i = 0; i < estimationSize; i++)  
          {  
            delete [] estimationResponse[i];  
          }  
          delete [] estimationResponse;  
        }  
  
        if(validationSubset)  
        {  
          for(int i = 0; i < validationSize; i++)  
          {  
            delete [] validationSubset[i];  
          }  
        }  
      }  
    }  
  }  
}
```

```

    }
    delete [] validationSubset;
}

if(validationResponse)
{
    for(int i = 0; i < validationSize; i++)
    {
        delete [] validationResponse[i];
    }
    delete [] validationResponse;
}

if(randomizedTrainingData)
{
    for(int i = 0; i < estimationSize; i++)
    {
        delete [] randomizedTrainingData[i];
    }
    delete [] randomizedTrainingData;
}

if(randomizedDesiredResponse)
{
    for(int i = 0; i < estimationSize; i++)
    {
        delete [] randomizedDesiredResponse[i];
    }
    delete [] randomizedDesiredResponse;
}

if(numberOfEpochs > period)
{
    if(myForm)
    {
        myForm->curAction = trainAction;
        if(DataModule1->curLanguage == Greek)
        {
            myForm->StatusBar1->Panels->Items[1]->Text = "Η εκπαίδευση του δικτύου διακόπηκε. MSE: " + FloatToStrF(pMSE, ffExponent,
4, 3);
        }
        else if(DataModule1->curLanguage == English)
        {
            myForm->StatusBar1->Panels->Items[1]->Text = "Network training was interrupted. MSE: " + FloatToStrF(pMSE, ffExponent, 4,
3);
        }
        myForm->StatusBar1->Invalidate();
        myForm->Timer1->Enabled = true;
    }
    if(myForm2)
    {
        DataModule1->Timer1->Enabled = true;
    }

    return true;
}
else return false;
}

//FORWARD COMPUTATION
for(int j = 0; j < inputSize; j++)
{
    nodes[0][j].response = randomizedTrainingData[i][j];
}

for(int j = 0; j < hiddenLayers; j++)
{

```

```

for(int k = 0; k < neuronsPerHiddenLayer[j]; k++)
{
    nodes[j + 1][k].inducedLocalField = 0;

    for(list<TSynapse>::iterator l = nodes[j + 1][k].synapses.begin(); l != nodes[j + 1][k].synapses.end(); l++)
    {
        nodes[j + 1][k].inducedLocalField += ((*l).synapticWeight) * ((*l).inputNode->response);
    }

    nodes[j + 1][k].response = nodes[j + 1][k].activationFunction(nodes[j + 1][k].inducedLocalField);
}
}

for(int j = 0; j < outputSize; j++)
{
    nodes[hiddenLayers + 1][j].inducedLocalField = 0;

    for(list<TSynapse>::iterator k = nodes[hiddenLayers + 1][j].synapses.begin(); k != nodes[hiddenLayers + 1][j].synapses.end(); k++)
    {
        nodes[hiddenLayers + 1][j].inducedLocalField += ((*k).synapticWeight) * ((*k).inputNode->response);
    }

    nodes[hiddenLayers + 1][j].response = nodes[hiddenLayers + 1][j].activationFunction(nodes[hiddenLayers + 1][j].inducedLocalField);
    nodes[hiddenLayers + 1][j].error = randomizedDesiredResponse[i][j] - nodes[hiddenLayers + 1][j].response;
}

//BACKWARD COMPUTATION

for(int j = 0; j < neuronsPerHiddenLayer[hiddenLayers - 1]; j++)
{
    nodes[hiddenLayers][j].SUMDjW = 0;
}
for(int j = 0; j < outputSize; j++)
{
    nodes[hiddenLayers + 1][j].Dj = nodes[hiddenLayers + 1][j].error * nodes[hiddenLayers +
1][j].activationFunctionDerivative(nodes[hiddenLayers + 1][j].response);
    for(list<TSynapse>::iterator k = nodes[hiddenLayers + 1][j].synapses.begin(); k != nodes[hiddenLayers + 1][j].synapses.end(); k++)
    {
        tempDouble = (*k).synapticWeight;
        (*k).synapticWeight = (*k).synapticWeight + (nodes[hiddenLayers + 1][j].a * ((*k).synapticWeightDif) + (nodes[hiddenLayers + 1][j].n
* nodes[hiddenLayers + 1][j].Dj * ((*k).inputNode->response));
        (*k).synapticWeightDif = (*k).synapticWeight - tempDouble;
        (*k).inputNode->SUMDjW += (*k).synapticWeight * nodes[hiddenLayers + 1][j].Dj;
    }
}

for(int j = hiddenLayers; j > 0; j--)
{
    if(j > 1)
    {
        for(int k = 0; k < neuronsPerHiddenLayer[j - 2]; k++)
        {
            nodes[j - 1][k].SUMDjW = 0;
        }
    }
    else
    {
        for(int k = 0; k < inputSize; k++)
        {
            nodes[j - 1][k].SUMDjW = 0;
        }
    }

    for(int k = 0; k < neuronsPerHiddenLayer[j - 1]; k++)
    {
        nodes[j][k].Dj = nodes[j][k].SUMDjW * nodes[j][k].activationFunctionDerivative(nodes[j][k].response);
    }
}

```

```

        for(list<TSynapse>::iterator l = nodes[j][k].synapses.begin(); l != nodes[j][k].synapses.end(); l++)
        {
            tempDouble = (*l).synapticWeight;
            (*l).synapticWeight = (*l).synapticWeight + (nodes[j][k].a * ((*l).synapticWeightDif) + (nodes[j][k].n * nodes[j][k].Dj *
            ((*l).inputNode->response));
            (*l).synapticWeightDif = (*l).synapticWeight - tempDouble;
            (*l).inputNode->SUMDjW += (*l).synapticWeight * nodes[j][k].Dj;
        }
    }
}

//PRESENT VALIDATION SUBSET EVERY PERIOD OF EPOCHS

if((numberOfEpochs % period) == 0)
{
    MSE = 0;

    for(int i = 0; i < validationSize; i++)
    {
        Application->ProcessMessages();

        //FORWARD COMPUTATION
        for(int j = 0; j < inputSize; j++)
        {
            nodes[0][j].response = validationSubset[i][j];
        }

        for(int j = 0; j < hiddenLayers; j++)
        {
            for(int k = 0; k < neuronsPerHiddenLayer[j]; k++)
            {
                nodes[j + 1][k].inducedLocalField = 0;

                for(list<TSynapse>::iterator l = nodes[j + 1][k].synapses.begin(); l != nodes[j + 1][k].synapses.end(); l++)
                {
                    nodes[j + 1][k].inducedLocalField += ((*l).synapticWeight) * ((*l).inputNode->response);
                }

                nodes[j + 1][k].response = nodes[j + 1][k].activationFunction(nodes[j + 1][k].inducedLocalField);
            }
        }

        for(int j = 0; j < outputSize; j++)
        {
            nodes[hiddenLayers + 1][j].inducedLocalField = 0;

            for(list<TSynapse>::iterator k = nodes[hiddenLayers + 1][j].synapses.begin(); k != nodes[hiddenLayers + 1][j].synapses.end(); k++)
            {
                nodes[hiddenLayers + 1][j].inducedLocalField += ((*k).synapticWeight) * ((*k).inputNode->response);
            }

            nodes[hiddenLayers + 1][j].response = nodes[hiddenLayers + 1][j].activationFunction(nodes[hiddenLayers + 1][j].inducedLocalField);
            nodes[hiddenLayers + 1][j].error = validationResponse[i][j] - nodes[hiddenLayers + 1][j].response;
        }
    }

    //CALCULATE MEAN SQUARED ERROR OVER VALIDATION SUBSET

    for(int j = 0; j < outputSize; j++)
    {
        MSE += pow(nodes[hiddenLayers + 1][j].error, double(2))/double(2);
    }
}

MSE = MSE / double(validationSize);
}

```

```
if(numberOfEpochs == period) pMSE = MSE;

numberOfEpochs++;

if(maxNumberOfEpochs !=0)
{
    if(numberOfEpochs > maxNumberOfEpochs) *stop = true;
}

if(myForm)
{
    myForm->curAction = countAction;
    if(DataModule1->curLanguage == Greek)
    {
        myForm->StatusBar1->Panels->Items[1]->Text = "Αριθμός Εποχών: " + IntToStr(numberOfEpochs);
    }
    else if(DataModule1->curLanguage == English)
    {
        myForm->StatusBar1->Panels->Items[1]->Text = "Number Of Epochs: " + IntToStr(numberOfEpochs);
    }
    myForm->StatusBar1->Invalidate();
}
if(myForm2)
{
    myForm2->curAction = countAction;
    if(DataModule1->curLanguage == Greek)
    {
        myForm2->StatusBar1->Panels->Items[1]->Text = "Αριθμός Εποχών: " + IntToStr(numberOfEpochs);
    }
    else if(DataModule1->curLanguage == English)
    {
        myForm2->StatusBar1->Panels->Items[1]->Text = "Number Of Epochs: " + IntToStr(numberOfEpochs);
    }
    myForm2->StatusBar1->Invalidate();
}
}

(*MeanSquareError) = MSE;

if(estimationSubset)
{
    for(int i = 0; i < estimationSize; i++)
    {
        delete [] estimationSubset[i];
    }
    delete [] estimationSubset;
}

if(estimationResponse)
{
    for(int i = 0; i < estimationSize; i++)
    {
        delete [] estimationResponse[i];
    }
    delete [] estimationResponse;
}

if(validationSubset)
{
    for(int i = 0; i < validationSize; i++)
    {
        delete [] validationSubset[i];
    }
    delete [] validationSubset;
}

if(validationResponse)
```

```

{
    for(int i = 0; i < validationSize; i++)
    {
        delete [] validationResponse[i];
    }
    delete [] validationResponse;
}

if(randomizedTrainingData)
{
    for(int i = 0; i < estimationSize; i++)
    {
        delete [] randomizedTrainingData[i];
    }
    delete [] randomizedTrainingData;
}

if(randomizedDesiredResponse)
{
    for(int i = 0; i < estimationSize; i++)
    {
        delete [] randomizedDesiredResponse[i];
    }
    delete [] randomizedDesiredResponse;
}

if(myForm)
{
    myForm->curAction = trainAction;
    if(DataModule1->curLanguage == Greek)
    {
        myForm->StatusBar1->Panels->Items[1]->Text = "Η εκπαίδευση του δικτύου ολοκληρώθηκε με επιτυχία. MSE: " + FloatToStrF(MSE,
ffExponent, 4, 3);
    }
    else if(DataModule1->curLanguage == English)
    {
        myForm->StatusBar1->Panels->Items[1]->Text = "Network training completed successfully. MSE: " + FloatToStrF(MSE, ffExponent, 4, 3);
    }
    myForm->StatusBar1->Invalidate();
    myForm->Timer1->Enabled = true;
}
if(myForm2)
{
    DataModule1->Timer1->Enabled = true;
}
}
else if(forecastMethod == leaveOneOut)
{
    //LEAVE-ONE-OUT METHOD

    validationSize = 1;
    estimationSize = nOfExamples - validationSize;

    estimationSubset = new double*[estimationSize];
    for(int i = 0; i < estimationSize; i++)
    {
        estimationSubset[i] = new double[inputSize];
    }

    estimationResponse = new double*[estimationSize];
    for(int i = 0; i < estimationSize; i++)
    {
        estimationResponse[i] = new double[outputSize];
    }

    validationSubset = new double*[validationSize];
    for(int i = 0; i < validationSize; i++)

```

```
{
    validationSubset[i] = new double[inputSize];
}

validationResponse = new double*[validationSize];
for(int i = 0; i < validationSize; i++)
{
    validationResponse[i] = new double[outputSize];
}

randomizedTrainingData = new double*[estimationSize];
for(int i = 0; i < estimationSize; i++)
{
    randomizedTrainingData[i] = new double[inputSize];
}

randomizedDesiredResponse = new double*[estimationSize];
for(int i = 0; i < estimationSize; i++)
{
    randomizedDesiredResponse[i] = new double[outputSize];
}

pMSE = -1;
MSE = -2;
numberOfEpochs = 1;
period = 2;

while(MSE <= pMSE)
{
    //EPOCH START - RANDOMIZE TRAINING DATA

    pMSE = MSE;
    if((numberOfEpochs % period) == 0)
    {
        MSE = 0;
    }

    for(int z = 0; z < nOfExamples; z++)
    {
        if(*stop)
        {
            if(trainingData)
            {
                for(int i = 0; i < nOfExamples; i++)
                {
                    delete [] trainingData[i];
                }
                delete [] trainingData;
            }

            if(desiredResponse)
            {
                for(int i = 0; i < nOfExamples; i++)
                {
                    delete [] desiredResponse[i];
                }
                delete [] desiredResponse;
            }

            if(meanVector)
            {
                delete [] meanVector;
            }

            if(estimationSubset)
            {
                for(int i = 0; i < estimationSize; i++)
```

```
{
    delete [] estimationSubset[i];
}
delete [] estimationSubset;
}

if(estimationResponse)
{
    for(int i = 0; i < estimationSize; i++)
    {
        delete [] estimationResponse[i];
    }
    delete [] estimationResponse;
}

if(validationSubset)
{
    for(int i = 0; i < validationSize; i++)
    {
        delete [] validationSubset[i];
    }
    delete [] validationSubset;
}

if(validationResponse)
{
    for(int i = 0; i < validationSize; i++)
    {
        delete [] validationResponse[i];
    }
    delete [] validationResponse;
}

if(randomizedTrainingData)
{
    for(int i = 0; i < estimationSize; i++)
    {
        delete [] randomizedTrainingData[i];
    }
    delete [] randomizedTrainingData;
}

if(randomizedDesiredResponse)
{
    for(int i = 0; i < estimationSize; i++)
    {
        delete [] randomizedDesiredResponse[i];
    }
    delete [] randomizedDesiredResponse;
}

if(numberOfEpochs > period)
{
    if(myForm)
    {
        myForm->curAction = trainAction;
        if(DataModule1->curLanguage == Greek)
        {
            myForm->StatusBar1->Panels->Items[1]->Text = "Η εκπαίδευση του δικτύου διακόπηκε. pMSE: " + FloatToStrF(MSE, ffExponent,
4, 3);
        }
        else if(DataModule1->curLanguage == English)
        {
            myForm->StatusBar1->Panels->Items[1]->Text = "Network training was interrupted. pMSE: " + FloatToStrF(MSE, ffExponent, 4,
3);
        }
        myForm->StatusBar1->Invalidate();
    }
}
```

```

        myForm->Timer1->Enabled = true;
    }
    if(myForm2)
    {
        DataModule1->Timer1->Enabled = true;
    }

    return true;
}
else return false;
}

for(int i = 0; i < validationSize; i++)
{
    for(int j = 0; j < inputSize; j++)
    {
        validationSubset[i][j] = trainingData[nOfExamples - 1 - z][j];
    }
    for(int j = 0; j < outputSize; j++)
    {
        validationResponse[i][j] = desiredResponse[nOfExamples - 1 - z][j];
    }
}

for(int i = 0; i < estimationSize; i++)
{
    for(int j = 0; j < inputSize; j++)
    {
        if(i < (nOfExamples - 1 - z)) estimationSubset[i][j] = trainingData[i][j];
        else estimationSubset[i][j] = trainingData[i + 1][j];
    }
    for(int j = 0; j < outputSize; j++)
    {
        if(i < (nOfExamples - 1 - z)) estimationResponse[i][j] = desiredResponse[i][j];
        else estimationResponse[i][j] = desiredResponse[i + 1][j];
    }
}

RandomizeTrainingData(estimationSubset, randomizedTrainingData, estimationResponse, randomizedDesiredResponse, estimationSize);

for(int i = 0; i < estimationSize; i++)
{
    Application->ProcessMessages();

    //FORWARD COMPUTATION
    for(int j = 0; j < inputSize; j++)
    {
        nodes[0][j].response = randomizedTrainingData[i][j];
    }

    for(int j = 0; j < hiddenLayers; j++)
    {
        for(int k = 0; k < neuronsPerHiddenLayer[j]; k++)
        {
            nodes[j + 1][k].inducedLocalField = 0;

            for(list<TSynapse>::iterator l = nodes[j + 1][k].synapses.begin(); l != nodes[j + 1][k].synapses.end(); l++)
            {
                nodes[j + 1][k].inducedLocalField += ((*l).synapticWeight) * ((*l).inputNode->response);
            }

            nodes[j + 1][k].response = nodes[j + 1][k].activationFunction(nodes[j + 1][k].inducedLocalField);
        }
    }

    for(int j = 0; j < outputSize; j++)
    {

```

```

nodes[hiddenLayers + 1][j].inducedLocalField = 0;

for(list<TSynapse>::iterator k = nodes[hiddenLayers + 1][j].synapses.begin(); k != nodes[hiddenLayers + 1][j].synapses.end(); k++)
{
    nodes[hiddenLayers + 1][j].inducedLocalField += ((*k).synapticWeight) * ((*k).inputNode->response);
}

nodes[hiddenLayers + 1][j].response = nodes[hiddenLayers + 1][j].activationFunction(nodes[hiddenLayers + 1][j].inducedLocalField);
nodes[hiddenLayers + 1][j].error = randomizedDesiredResponse[i][j] - nodes[hiddenLayers + 1][j].response;
}

//BACKWARD COMPUTATION

for(int j = 0; j < neuronsPerHiddenLayer[hiddenLayers - 1]; j++)
{
    nodes[hiddenLayers][j].SUMDjW = 0;
}
for(int j = 0; j < outputSize; j++)
{
    nodes[hiddenLayers + 1][j].Dj = nodes[hiddenLayers + 1][j].error * nodes[hiddenLayers +
1][j].activationFunctionDerivative(nodes[hiddenLayers + 1][j].response);
    for(list<TSynapse>::iterator k = nodes[hiddenLayers + 1][j].synapses.begin(); k!= nodes[hiddenLayers + 1][j].synapses.end(); k++)
    {
        tempDouble = (*k).synapticWeight;
        (*k).synapticWeight = (*k).synapticWeight + (nodes[hiddenLayers + 1][j].a * ((*k).synapticWeightDif) + (nodes[hiddenLayers +
1][j].n * nodes[hiddenLayers + 1][j].Dj * ((*k).inputNode->response));
        (*k).synapticWeightDif = (*k).synapticWeight - tempDouble;
        (*k).inputNode->SUMDjW += (*k).synapticWeight * nodes[hiddenLayers + 1][j].Dj;
    }
}

for(int j = hiddenLayers; j > 0; j--)
{
    if(j > 1)
    {
        for(int k = 0; k < neuronsPerHiddenLayer[j - 2]; k++)
        {
            nodes[j - 1][k].SUMDjW = 0;
        }
    }
    else
    {
        for(int k = 0; k < inputSize; k++)
        {
            nodes[j - 1][k].SUMDjW = 0;
        }
    }

    for(int k = 0; k < neuronsPerHiddenLayer[j - 1]; k++)
    {
        nodes[j][k].Dj = nodes[j][k].SUMDjW * nodes[j][k].activationFunctionDerivative(nodes[j][k].response);

        for(list<TSynapse>::iterator l = nodes[j][k].synapses.begin(); l!= nodes[j][k].synapses.end(); l++)
        {
            tempDouble = (*l).synapticWeight;
            (*l).synapticWeight = (*l).synapticWeight + (nodes[j][k].a * ((*l).synapticWeightDif) + (nodes[j][k].n * nodes[j][k].Dj *
(*l).inputNode->response));
            (*l).synapticWeightDif = (*l).synapticWeight - tempDouble;
            (*l).inputNode->SUMDjW += (*l).synapticWeight * nodes[j][k].Dj;
        }
    }
}
}

//PRESENT VALIDATION SUBSET

if((numberOfEpochs % period) == 0)

```

```

{
for(int i = 0; i < validationSize; i++)
{
Application->ProcessMessages();

//FORWARD COMPUTATION
for(int j = 0; j < inputSize; j++)
{
nodes[0][j].response = validationSubset[i][j];
}

for(int j = 0; j < hiddenLayers; j++)
{
for(int k = 0; k < neuronsPerHiddenLayer[j]; k++)
{
nodes[j + 1][k].inducedLocalField = 0;

for(list<TSynapse>::iterator l = nodes[j + 1][k].synapses.begin(); l != nodes[j + 1][k].synapses.end(); l++)
{
nodes[j + 1][k].inducedLocalField += ((*l).synapticWeight) * ((*l).inputNode->response);
}

nodes[j + 1][k].response = nodes[j + 1][k].activationFunction(nodes[j + 1][k].inducedLocalField);
}
}

for(int j = 0; j < outputSize; j++)
{
nodes[hiddenLayers + 1][j].inducedLocalField = 0;

for(list<TSynapse>::iterator k = nodes[hiddenLayers + 1][j].synapses.begin(); k != nodes[hiddenLayers + 1][j].synapses.end(); k++)
{
nodes[hiddenLayers + 1][j].inducedLocalField += ((*k).synapticWeight) * ((*k).inputNode->response);
}

nodes[hiddenLayers + 1][j].response = nodes[hiddenLayers + 1][j].activationFunction(nodes[hiddenLayers + 1][j].inducedLocalField);
nodes[hiddenLayers + 1][j].error = validationResponse[i][j] - nodes[hiddenLayers + 1][j].response;
}

//CALCULATE MEAN SQUARED ERROR OVER VALIDATION SUBSET

for(int j = 0; j < outputSize; j++)
{
MSE += pow(nodes[hiddenLayers + 1][j].error, double(2))/double(2);
}
}

}

if((numberOfEpochs % period) == 0)
{
MSE = MSE / double(nOfExamples);
}
if(numberOfEpochs == period) pMSE = MSE;

numberOfEpochs++;

if(maxNumberOfEpochs !=0)
{
if(numberOfEpochs > maxNumberOfEpochs) *stop = true;
}

if(myForm)
{
myForm->curAction = countAction;
if(DataModule1->curLanguage == Greek)
{

```

```
        myForm->StatusBar1->Panels->Items[1]->Text = "Αριθμός Εποχών: " + IntToStr(numberOfEpochs);
    }
    else if(DataModule1->curLanguage == English)
    {
        myForm->StatusBar1->Panels->Items[1]->Text = "Number Of Epochs: " + IntToStr(numberOfEpochs);
    }
    myForm->StatusBar1->Invalidate();
}
if(myForm2)
{
    myForm2->curAction = countAction;
    if(DataModule1->curLanguage == Greek)
    {
        myForm2->StatusBar1->Panels->Items[1]->Text = "Αριθμός Εποχών: " + IntToStr(numberOfEpochs);
    }
    else if(DataModule1->curLanguage == English)
    {
        myForm2->StatusBar1->Panels->Items[1]->Text = "Number Of Epochs: " + IntToStr(numberOfEpochs);
    }
    myForm2->StatusBar1->Invalidate();
}
}

(*MeanSquareError) = MSE;

if(estimationSubset)
{
    for(int i = 0; i < estimationSize; i++)
    {
        delete [] estimationSubset[i];
    }
    delete [] estimationSubset;
}

if(estimationResponse)
{
    for(int i = 0; i < estimationSize; i++)
    {
        delete [] estimationResponse[i];
    }
    delete [] estimationResponse;
}

if(validationSubset)
{
    for(int i = 0; i < validationSize; i++)
    {
        delete [] validationSubset[i];
    }
    delete [] validationSubset;
}

if(validationResponse)
{
    for(int i = 0; i < validationSize; i++)
    {
        delete [] validationResponse[i];
    }
    delete [] validationResponse;
}

if(randomizedTrainingData)
{
    for(int i = 0; i < estimationSize; i++)
    {
        delete [] randomizedTrainingData[i];
    }
}
```

```
        delete [] randomizedTrainingData;
    }

    if(randomizedDesiredResponse)
    {
        for(int i = 0; i < estimationSize; i++)
        {
            delete [] randomizedDesiredResponse[i];
        }
        delete [] randomizedDesiredResponse;
    }

    if(myForm)
    {
        myForm->curAction = trainAction;
        if(DataModule1->curLanguage == Greek)
        {
            myForm->StatusBar1->Panels->Items[1]->Text = "Η εκπαίδευση του δικτύου ολοκληρώθηκε με επιτυχία. MSE: " + FloatToStrF(MSE,
ffExponent, 4, 3);
        }
        else if(DataModule1->curLanguage == English)
        {
            myForm->StatusBar1->Panels->Items[1]->Text = "Network training completed successfully. MSE: " + FloatToStrF(MSE, ffExponent, 4, 3);
        }
        myForm->StatusBar1->Invalidate();
        myForm->Timer1->Enabled = true;
    }
    if(myForm2)
    {
        DataModule1->Timer1->Enabled = true;
    }
}

//FREE MEMORY

if(trainingData)
{
    for(int i = 0; i < nOfExamples; i++)
    {
        delete [] trainingData[i];
    }
    delete [] trainingData;
}

if(desiredResponse)
{
    for(int i = 0; i < nOfExamples; i++)
    {
        delete [] desiredResponse[i];
    }
    delete [] desiredResponse;
}

if(meanVector)
{
    delete [] meanVector;
}

return true;
}
catch(Exception &e)
{
    ShowMessage(e.Message);
    ShowMessage("An unexpected error occurred on TrainANN function in TANeuralNetwork Unit.");
    return false;
}
}
```

```
//-----
void __fastcall TANNeuralNetwork::PruneANN(double **tData, double **dResponse, int nOfExamples, bool *stop)
{
    try
    {
        int totalSynapsesWithBias, counter, counter2, synapseToDelete, totalDeletedSynapses;
        long double saliency, rOptimal, tempDouble, MSE, comparator;
        bool *deletedSynapses, synapseDeleted, cannotDeleteMore, foundSynapseToDelete;
        bool firstIteration, finishedDeleting, deleteNodeSynapses;
        int estimationSize, totalSynapses, tempInt;
        long double **trainingData, **desiredResponse, **partialDerivativeVector, **inverseHessianMatrix, **resA, *meanVector;
        long double **tempHessian, **tempVector, **tempVectorT, **vectorT;

        //CALCULATE TOTAL SYNAPSES OF NETWORK

        estimationSize = nOfExamples;
        totalSynapsesWithBias = 0;
        totalSynapses = 0;
        totalDeletedSynapses = 0;
        MSE = 0;

        ANNForm->Timer1->Enabled = false;
        ANNForm->curAction = buildAction;
        if(DataModule1->curLanguage == Greek)
        {
            ANNForm->StatusBar1->Panels->Items[1]->Text = "Έναρξη διαδικασίας περικοπής συνάψεων.";
        }
        else if(DataModule1->curLanguage == English)
        {
            ANNForm->StatusBar1->Panels->Items[1]->Text = "Network pruning initiation.";
        }
        ANNForm->StatusBar1->Invalidate();

        for(int i = 0; i < hiddenLayers + 1; i++)
        {
            Application->ProcessMessages();
            if(i != hiddenLayers)
            {
                for(int j = 0; j < neuronsPerHiddenLayer[i]; j++)
                {
                    totalSynapsesWithBias += nodes[i + 1][j].synapses.size();
                    totalSynapses += nodes[i + 1][j].synapses.size() - 1;
                }
            }
            else
            {
                for(int j = 0; j < outputSize; j++)
                {
                    totalSynapsesWithBias += nodes[i + 1][j].synapses.size();
                    totalSynapses += nodes[i + 1][j].synapses.size() - 1;
                }
            }
        }

        if(forecastMethod == nonAsymptotic)
        {
            //NONASYMPTOTIC MODE

            rOptimal = ( sqrt(((long double)(2)) * ((long double)(totalSynapsesWithBias)) - ((long double)(1))) - ((long double)(1))) / (((long double)(2)) *
            ((long double)(totalSynapsesWithBias)) - ((long double)(1)) );
            estimationSize = int(((long double)(nOfExamples)) * (((long double)(1)) - rOptimal));
            if(estimationSize == nOfExamples) estimationSize = nOfExamples - 1;
            if(estimationSize == 0) estimationSize = 1;
        }

        if(forecastMethod == leaveOneOut)
        {

```

```
        comparator = 1000000;
    }
    else
    {
        comparator = 1000;
    }

    if(*stop)
    {
        return;
    }

    trainingData = new long double*[nOfExamples];
    for(int i = 0; i < nOfExamples; i++)
    {
        trainingData[i] = new long double[inputSize];
    }

    desiredResponse = new long double*[nOfExamples];
    for(int i = 0; i < nOfExamples; i++)
    {
        desiredResponse[i] = new long double[outputSize];
    }

    partialDerivativeVector = new long double*[totalSynapses];
    for(int i = 0; i < totalSynapses; i++)
    {
        partialDerivativeVector[i] = new long double[1];
    }

    inverseHessianMatrix = new long double*[totalSynapses];
    for(int i = 0; i < totalSynapses; i++)
    {
        inverseHessianMatrix[i] = new long double[totalSynapses];
    }

    resA = new long double*[1];
    resA[0] = new long double[1];

    meanVector = new long double[inputSize];

    for(int i = 0; i < inputSize; i++)
    {
        meanVector[i] = 0;
    }

    for(int i = 0; i < nOfExamples; i++)
    {
        Application->ProcessMessages();
        for(int j = 0; j < inputSize; j++)
        {
            meanVector[j] += tData[i][j];
        }
    }

    for(int i = 0; i < inputSize; i++)
    {
        meanVector[i] = meanVector[i]/((long double)nOfExamples);
    }

    for(int i = 0; i < nOfExamples; i++)
    {
        Application->ProcessMessages();
        for(int j = 0; j < inputSize; j++)
        {
            trainingData[i][j] = tData[i][j] - meanVector[j];
        }
    }
}
```

```

}

for(int i = 0; i < inputSize; i++)
{
    minInput[i] = trainingData[0][i];
    maxInput[i] = trainingData[0][i];
}

for(int i = 1; i < nOfExamples; i++)
{
    for(int j = 0; j < inputSize; j++)
    {
        if(trainingData[i][j] > maxInput[j]) maxInput[j] = trainingData[i][j];
        if(trainingData[i][j] < minInput[j]) minInput[j] = trainingData[i][j];
    }
}

for(int i = 0; i < nOfExamples; i++)
{
    for(int j = 0; j < inputSize; j++)
    {
        trainingData[i][j] = double(-1) + double(2)*((trainingData[i][j] - minInput[j])/(maxInput[j] - minInput[j]));
    }
}

for(int i = 0; i < outputSize; i++)
{
    minResponse[i] = dResponse[0][i];
    maxResponse[i] = dResponse[0][i];
}

for(int i = 1; i < nOfExamples; i++)
{
    for(int j = 0; j < outputSize; j++)
    {
        if(dResponse[i][j] > maxResponse[j]) maxResponse[j] = dResponse[i][j];
        if(dResponse[i][j] < minResponse[j]) minResponse[j] = dResponse[i][j];
    }
}

for(int i = 0; i < nOfExamples; i++)
{
    for(int j = 0; j < outputSize; j++)
    {
        desiredResponse[i][j] = ((long double)(-1)) + ((long double)(2))*((dResponse[i][j] - minResponse[j])/(maxResponse[j] - minResponse[j]));
    }
}

for(int i = 0; i < totalSynapses; i++)
{
    partialDerivativeVector[i][0] = 0;
    for(int j = 0; j < totalSynapses; j++)
    {
        if(j != i) inverseHessianMatrix[i][j] = 0;
        else inverseHessianMatrix[i][j] = ((long double)(1))/((long double)(10E-200));
    }
}

if(*stop)
{
    for(int i = 0; i < nOfExamples; i++)
    {
        delete [] trainingData[i];
    }
    delete [] trainingData;

    for(int i = 0; i < nOfExamples; i++)

```

```

    {
        delete [] desiredResponse[i];
    }
    delete [] desiredResponse;

    for(int i = 0; i < totalSynapses; i++)
    {
        delete [] partialDerivativeVector[i];
    }
    delete [] partialDerivativeVector;

    for(int i = 0; i < totalSynapses; i++)
    {
        delete [] inverseHessianMatrix[i];
    }
    delete [] inverseHessianMatrix;

    delete [] resA[0];
    delete [] resA;

    delete [] meanVector;

    return;
}

//START OPTIMAL BRAIN SURGEON ALGORITHM

foundSynapseToDelete = true;
firstIteration = true;
finishedDeleting = false;

while((foundSynapseToDelete) && (!finishedDeleting))
{
    ANNForm->curAction = buildAction;
    if(DataModule1->curLanguage == Greek)
    {
        ANNForm->StatusBar1->Panels->Items[1]->Text = "Υπολογισμός μερικών παραγώγων ΔF/ΔW.";
    }
    else if(DataModule1->curLanguage == English)
    {
        ANNForm->StatusBar1->Panels->Items[1]->Text = "Calculation of Partial Derivatives ΔF/ΔW.";
    }
    ANNForm->StatusBar1->Invalidate();

    ANNForm->ProgressBar1->Position = 0;
    ANNForm->Shape1->Brush->Color = clGreen;
    Application->ProcessMessages();

    tempHessian = new long double*[totalSynapses];
    for(int j = 0; j < totalSynapses; j++)
    {
        tempHessian[j] = new long double[totalSynapses];
    }

    vectorT = new long double*[1];
    vectorT[0] = new long double[totalSynapses];

    tempVector = new long double*[totalSynapses];
    for(int j = 0; j < totalSynapses; j++)
    {
        tempVector[j] = new long double[1];
    }

    tempVectorT = new long double*[1];
    tempVectorT[0] = new long double[totalSynapses];

    tempInt = totalSynapses;

```

//PRESENT ALL EXAMPLES

```

for(int i = 0; i < estimationSize; i++)
{
    Application->ProcessMessages();

    //FORWARD COMPUTATION
    for(int j = 0; j < inputSize; j++)
    {
        nodes[0][j].response = trainingData[i][j];
    }

    for(int j = 0; j < hiddenLayers; j++)
    {
        for(int k = 0; k < neuronsPerHiddenLayer[j]; k++)
        {
            nodes[j + 1][k].inducedLocalField = 0;

            for(list<TSynapse>::iterator l = nodes[j + 1][k].synapses.begin(); l != nodes[j + 1][k].synapses.end(); l++)
            {
                nodes[j + 1][k].inducedLocalField += ((*l).synapticWeight) * ((*l).inputNode->response);
            }

            nodes[j + 1][k].response = nodes[j + 1][k].activationFunction(nodes[j + 1][k].inducedLocalField);
        }
    }

    for(int j = 0; j < outputSize; j++)
    {
        nodes[hiddenLayers + 1][j].inducedLocalField = 0;

        for(list<TSynapse>::iterator k = nodes[hiddenLayers + 1][j].synapses.begin(); k != nodes[hiddenLayers + 1][j].synapses.end(); k++)
        {
            nodes[hiddenLayers + 1][j].inducedLocalField += ((*k).synapticWeight) * ((*k).inputNode->response);
        }

        nodes[hiddenLayers + 1][j].response = nodes[hiddenLayers + 1][j].activationFunction(nodes[hiddenLayers + 1][j].inducedLocalField);
        nodes[hiddenLayers + 1][j].error = desiredResponse[i][j] - nodes[hiddenLayers + 1][j].response;
    }

    if(firstIteration)
    {
        for(int j = 0; j < outputSize; j++)
        {
            MSE += pow(nodes[hiddenLayers + 1][j].error, ((long double)(2)))/((long double)(2));
        }
    }

    //COMPUTE partialDerivativeVector
    counter = 0;
    for(int j = 1; j < hiddenLayers + 2; j++)
    {
        if(*stop)
        {
            for(int i = 0; i < nOfExamples; i++)
            {
                delete [] trainingData[i];
            }
            delete [] trainingData;

            for(int i = 0; i < nOfExamples; i++)
            {
                delete [] desiredResponse[i];
            }
            delete [] desiredResponse;
        }
    }
}

```

```

for(int i = 0; i < totalSynapses; i++)
{
    delete [] partialDerivativeVector[i];
}
delete [] partialDerivativeVector;

for(int i = 0; i < totalSynapses; i++)
{
    delete [] inverseHessianMatrix[i];
}
delete [] inverseHessianMatrix;

delete [] resA[0];
delete [] resA;

delete [] meanVector;

for(int j = 0; j < totalSynapses; j++)
{
    delete [] tempHessian[j];
}
delete [] tempHessian;
delete [] tempVectorT[0];
delete [] tempVectorT;
delete [] vectorT[0];
delete [] vectorT;

for(int j = 0; j < tempInt; j++)
{
    delete [] tempVector[j];
}
delete [] tempVector;

return;
}

if(j == 1)
{
    for(int k = 0; k < neuronsPerHiddenLayer[j - 1]; k++)
    {
        Application->ProcessMessages();
        for(list<TSynapse>::iterator l = nodes[j][k].synapses.begin(); l != nodes[j][k].synapses.end(); l++)
        {
            if((*l).inputNode != &(fixedInput))
            {
                if(counter < totalSynapses)
                {
                    partialDerivativeVector[counter][0] = (((long double)(1)) / sqrt(estimationSize)) *
HyperbolicTangentDerivative(nodes[hiddenLayers + 1][0].response) * HyperbolicTangentDerivative(nodes[j][k].response) * ((*l).inputNode-
>response) * SumCalculation(hiddenLayers - j, &nodes[hiddenLayers + 1][0], (*l).outputNode);
                    counter++;
                    ANNForm->ProgressBar1->Position = (500 * (i * totalSynapses + counter)) / (estimationSize * totalSynapses);
                }
                else
                {
                    ShowMessage("An unexpected error occurred on PruneANN function in TANeuralNetwork Unit.\nTotal Synapses not synchronized
with count variable.");
                }
            }
        }
    }
}
}
}
}
else if(j == (hiddenLayers + 1))
{
    Application->ProcessMessages();
}

```



```
MatrixSubtract(inverseHessianMatrix, totalSynapses, totalSynapses, tempHessian, totalSynapses, totalSynapses, inverseHessianMatrix,  
totalSynapses, totalSynapses);  
}
```

```
ANNForm->Shape1->Brush->Color = clRed;
```

```
//CALCULATE MEAN SQUARE ERROR
```

```
if(firstIteration)  
{  
    MSE = MSE / ((long double)(estimationSize));  
  
    firstIteration = false;  
}
```

```
Application->ProcessMessages();  
for(int j = 0; j < totalSynapses; j++)  
{  
    delete [] tempHessian[j];  
}  
delete [] tempHessian;  
delete [] tempVectorT[0];  
delete [] tempVectorT;  
delete [] vectorT[0];  
delete [] vectorT;
```

```
//STORE ALL SYNAPTIC WEIGHTS
```

```
counter = 0;  
  
deletedSynapses = new bool[totalSynapses];  
  
for(int j = 1; j < hiddenLayers + 2; j++)  
{  
    Application->ProcessMessages();  
  
    if(*stop)  
    {  
        for(int i = 0; i < nOfExamples; i++)  
        {  
            delete [] trainingData[i];  
        }  
        delete [] trainingData;  
  
        for(int i = 0; i < nOfExamples; i++)  
        {  
            delete [] desiredResponse[i];  
        }  
        delete [] desiredResponse;  
  
        for(int i = 0; i < totalSynapses; i++)  
        {  
            delete [] partialDerivativeVector[i];  
        }  
        delete [] partialDerivativeVector;  
  
        for(int i = 0; i < totalSynapses; i++)  
        {  
            delete [] inverseHessianMatrix[i];  
        }  
        delete [] inverseHessianMatrix;  
  
        delete [] resA[0];  
        delete [] resA;  
  
        delete [] meanVector;
```



```

        delete [] desiredResponse[i];
    }
    delete [] desiredResponse;

    for(int i = 0; i < totalSynapses; i++)
    {
        delete [] partialDerivativeVector[i];
    }
    delete [] partialDerivativeVector;

    for(int i = 0; i < totalSynapses; i++)
    {
        delete [] inverseHessianMatrix[i];
    }
    delete [] inverseHessianMatrix;

    delete [] resA[0];
    delete [] resA;

    delete [] meanVector;

    for(int j = 0; j < tempInt; j++)
    {
        delete [] tempVector[j];
    }
    delete [] tempVector;

    delete [] deletedSynapses;

    return;
}

if(j != (hiddenLayers + 1))
{
    for(int k = 0; k < neuronsPerHiddenLayer[j - 1]; k++)
    {
        for(list<TSynapse>::iterator l = nodes[j][k].synapses.begin(); l != nodes[j][k].synapses.end(); l++)
        {
            if((*l).inputNode != &(fixedInput))
            {
                if(inverseHessianMatrix[counter][counter] == 0)
                {
                    counter++;
                    continue;
                }
                tempDouble = pow((*l).synapticWeight, ((long double)(2))) / (((long double)(2)) * inverseHessianMatrix[counter][counter]);
                if(saliency > tempDouble)
                {
                    if(tempDouble > 0)
                    {
                        saliency = tempDouble;
                        synapseToDelete = counter;
                    }
                    else
                    {
                        finishedDeleting = true;
                    }
                }
            }
            counter++;
        }
    }
}
}
else
{
    for(int k = 0; k < outputSize; k++)
    {

```

```

for(list<TSynapse>::iterator l = nodes[j][k].synapses.begin(); l != nodes[j][k].synapses.end(); l++)
{
    if((*l).inputNode != &(fixedInput))
    {
        if(inverseHessianMatrix[counter][counter] == 0)
        {
            counter++;
            continue;
        }
        tempDouble = pow((*l).synapticWeight, ((long double)(2))) / (((long double)(2)) * inverseHessianMatrix[counter][counter]);
        if(saliency > tempDouble)
        {
            if(tempDouble > 0)
            {
                saliency = tempDouble;
                synapseToDelete = counter;
            }
            else
            {
                finishedDeleting = true;
            }
        }
        counter++;
    }
}
}
}

counter = 0;
counter2 = 0;
synapseDeleted = false;
cannotDeleteMore = false;

if((saliency < (MSE / ((long double)(comparator)))) && (!finishedDeleting))
{
    for(int j = 1; j < hiddenLayers + 2; j++)
    {
        Application->ProcessMessages();

        if(*stop)
        {
            for(int i = 0; i < nOfExamples; i++)
            {
                delete [] trainingData[i];
            }
            delete [] trainingData;

            for(int i = 0; i < nOfExamples; i++)
            {
                delete [] desiredResponse[i];
            }
            delete [] desiredResponse;

            for(int i = 0; i < totalSynapses; i++)
            {
                delete [] partialDerivativeVector[i];
            }
            delete [] partialDerivativeVector;

            for(int i = 0; i < totalSynapses; i++)
            {
                delete [] inverseHessianMatrix[i];
            }
            delete [] inverseHessianMatrix;

            delete [] resA[0];
        }
    }
}

```

```

delete [] resA;

delete [] meanVector;

for(int j = 0; j < tempInt; j++)
{
    delete [] tempVector[j];
}
delete [] tempVector;

delete [] deletedSynapses;

return;
}

if(j != (hiddenLayers + 1))
{
    for(int k = 0; k < neuronsPerHiddenLayer[j - 1]; k++)
    {
        for(list<TSynapse>::iterator l = nodes[j][k].synapses.begin(); l != nodes[j][k].synapses.end(); l++)
        {
            if((*l).inputNode != &(fixedInput))
            {
                while(deletedSynapses[counter2]) counter2++;
                if(counter != synapseToDelete)
                {
                    counter++;
                    counter2++;
                }
                else
                {
                    if(nodes[j][k].synapses.size() > 2)
                    {
                        nodes[j][k].synapses.erase(l);
                        deletedSynapses[counter2] = true;
                        synapseDeleted = true;
                        foundSynapseToDelete = true;
                        totalDeletedSynapses++;

                        ANNForm->curAction = buildAction;
                        if(DataModule1->curLanguage == Greek)
                        {
                            ANNForm->StatusBar1->Panels->Items[1]->Text = "Συνολικός αριθμός συνάψεων που περικόπηκαν : " +
IntToStr(totalDeletedSynapses);
                        }
                        else if(DataModule1->curLanguage == English)
                        {
                            ANNForm->StatusBar1->Panels->Items[1]->Text = "Total number of pruned synapses : " + IntToStr(totalDeletedSynapses);
                        }
                        ANNForm->StatusBar1->Invalidate();
                    }
                    else
                    {
                        cannotDeleteMore = true;
                    }
                }
            }
        }

        if(synapseDeleted) break;
    }

    if(synapseDeleted) break;
}
}
else
{
    for(int k = 0; k < outputSize; k++)

```

```

{
for(list<TSynapse>::iterator l = nodes[j][k].synapses.begin(); l != nodes[j][k].synapses.end(); l++)
{
if((*l).inputNode != &(fixedInput))
{
while(deletedSynapses[counter2]) counter2++;
if(counter != synapseToDelete)
{
counter++;
counter2++;
}
else
{
if(nodes[j][k].synapses.size() > 2)
{
nodes[j][k].synapses.erase(l);
deletedSynapses[counter2] = true;
synapseDeleted = true;
foundSynapseToDelete = true;
totalDeletedSynapses++;

ANNForm->curAction = buildAction;
if(DataModule1->curLanguage == Greek)
{
ANNForm->StatusBar1->Panels->Items[1]->Text = "Συνολικός αριθμός συνάψεων που περικόπηκαν : " +
IntToStr(totalDeletedSynapses);
}
else if(DataModule1->curLanguage == English)
{
ANNForm->StatusBar1->Panels->Items[1]->Text = "Total number of pruned synapses : " + IntToStr(totalDeletedSynapses);
}
ANNForm->StatusBar1->Invalidate();
}
else
{
cannotDeleteMore = true;
}
}
}

if(synapseDeleted) break;
}

if(synapseDeleted) break;
}

if(synapseDeleted) break;
}

//UPDATE ALL SYNAPTIC WEIGHTS TEMPORARY

counter = 0;
counter2 = 0;

for(int j = 1; j < hiddenLayers + 2; j++)
{
Application->ProcessMessages();

if(*stop)
{
for(int i = 0; i < nOfExamples; i++)
{
delete [] trainingData[i];
}
delete [] trainingData;
}
}

```

```

for(int i = 0; i < nOfExamples; i++)
{
    delete [] desiredResponse[i];
}
delete [] desiredResponse;

for(int i = 0; i < totalSynapses; i++)
{
    delete [] partialDerivativeVector[i];
}
delete [] partialDerivativeVector;

for(int i = 0; i < totalSynapses; i++)
{
    delete [] inverseHessianMatrix[i];
}
delete [] inverseHessianMatrix;

delete [] resA[0];
delete [] resA;

delete [] meanVector;

for(int j = 0; j < tempInt; j++)
{
    delete [] tempVector[j];
}
delete [] tempVector;

delete [] deletedSynapses;

return;
}

if(j != (hiddenLayers + 1))
{
    for(int k = 0; k < neuronsPerHiddenLayer[j - 1]; k++)
    {
        for(list<TSynapse>::iterator l = nodes[j][k].synapses.begin(); l != nodes[j][k].synapses.end(); l++)
        {
            if((*l).inputNode != &(fixedInput))
            {
                while(deletedSynapses[counter2]) counter2++;
                if(inverseHessianMatrix[counter][counter] == 0) inverseHessianMatrix[counter][counter] = 0.00000000000000000001;
                tempVector[counter2][0] = ((long double)(-1)) * (inverseHessianMatrix[counter][synapseToDelete] /
inverseHessianMatrix[counter][counter]) * ((*l).synapticWeight);
                counter++;
                counter2++;
            }
        }
    }
}
else
{
    for(int k = 0; k < outputSize; k++)
    {
        for(list<TSynapse>::iterator l = nodes[j][k].synapses.begin(); l != nodes[j][k].synapses.end(); l++)
        {
            if((*l).inputNode != &(fixedInput))
            {
                while(deletedSynapses[counter2]) counter2++;
                if(inverseHessianMatrix[counter][counter] == 0) inverseHessianMatrix[counter][counter] = 0.00000000000000000001;
                tempVector[counter2][0] = ((long double)(-1)) * (inverseHessianMatrix[counter][synapseToDelete] /
inverseHessianMatrix[counter][counter]) * ((*l).synapticWeight);
                counter++;
                counter2++;
            }
        }
    }
}
}

```

```
    }  
  }  
}  
  
//UPDATE HESSIAN MATRIX  
  
if(synapseDeleted)  
{  
  tempHessian = new long double*[totalSynapses];  
  for(int j = 0; j < totalSynapses; j++)  
  {  
    tempHessian[j] = new long double[totalSynapses];  
  }  
  
  for(int j = 0; j < totalSynapses; j++)  
  {  
    for(int k = 0; k < totalSynapses; k++)  
    {  
      tempHessian[j][k] = inverseHessianMatrix[j][k];  
    }  
  }  
  
  for(int j = 0; j < totalSynapses; j++)  
  {  
    delete [] inverseHessianMatrix[j];  
    delete [] partialDerivativeVector[j];  
  }  
  delete [] inverseHessianMatrix;  
  delete [] partialDerivativeVector;  
  
  totalSynapses--;  
  
  inverseHessianMatrix = new long double*[totalSynapses];  
  partialDerivativeVector = new long double*[totalSynapses];  
  for(int j = 0; j < totalSynapses; j++)  
  {  
    inverseHessianMatrix[j] = new long double[totalSynapses];  
    partialDerivativeVector[j] = new long double[1];  
  }  
  
  for(int j = 0; j < totalSynapses + 1; j++)  
  {  
    if(j < synapseToDelete)  
    {  
      for(int k = 0; k < totalSynapses + 1; k++)  
      {  
        if(k < synapseToDelete)  
        {  
          inverseHessianMatrix[j][k] = tempHessian[j][k];  
        }  
        else if(k > synapseToDelete)  
        {  
          inverseHessianMatrix[j][k - 1] = tempHessian[j][k];  
        }  
      }  
    }  
    else if(j > synapseToDelete)  
    {  
      for(int k = 0; k < totalSynapses + 1; k++)  
      {  
        if(k < synapseToDelete)  
        {  
          inverseHessianMatrix[j - 1][k] = tempHessian[j][k];  
        }  
        else if(k > synapseToDelete)  
        {  
          }  
        }  
    }  
  }  
}
```

```

        inverseHessianMatrix[j - 1][k - 1] = tempHessian[j][k];
    }
}
}

for(int j = 0; j < totalSynapses + 1; j++)
{
    delete [] tempHessian[j];
}
delete [] tempHessian;
}
}
} while((saliency < (MSE / ((long double)comparator))) && (!cannotDeleteMore) && (!finishedDeleting));

//UPDATE ALL SYNAPTIC WEIGHTS IN THE NETWORK

counter = 0;

for(int j = 1; j < hiddenLayers + 2; j++)
{
    Application->ProcessMessages();

    if(*stop)
    {
        for(int i = 0; i < nOfExamples; i++)
        {
            delete [] trainingData[i];
        }
        delete [] trainingData;

        for(int i = 0; i < nOfExamples; i++)
        {
            delete [] desiredResponse[i];
        }
        delete [] desiredResponse;

        for(int i = 0; i < totalSynapses; i++)
        {
            delete [] partialDerivativeVector[i];
        }
        delete [] partialDerivativeVector;

        for(int i = 0; i < totalSynapses; i++)
        {
            delete [] inverseHessianMatrix[i];
        }
        delete [] inverseHessianMatrix;

        delete [] resA[0];
        delete [] resA;

        delete [] meanVector;

        for(int j = 0; j < tempInt; j++)
        {
            delete [] tempVector[j];
        }
        delete [] tempVector;

        delete [] deletedSynapses;

        return;
    }
}

if(j != (hiddenLayers + 1))
{

```

```

for(int k = 0; k < neuronsPerHiddenLayer[j - 1]; k++)
{
    for(list<TSynapse>::iterator l = nodes[j][k].synapses.begin(); l != nodes[j][k].synapses.end(); l++)
    {
        if((*l).inputNode != &(fixedInput))
        {
            while(deletedSynapses[counter]) counter++;
            (*l).synapticWeight = tempVector[counter][0];
            counter++;
        }
    }
}
else
{
    for(int k = 0; k < outputSize; k++)
    {
        for(list<TSynapse>::iterator l = nodes[j][k].synapses.begin(); l != nodes[j][k].synapses.end(); l++)
        {
            if((*l).inputNode != &(fixedInput))
            {
                while(deletedSynapses[counter]) counter++;
                (*l).synapticWeight = tempVector[counter][0];
                counter++;
            }
        }
    }
}
}

//END OF MAIN ITERATION

for(int j = 0; j < tempInt; j++)
{
    delete [] tempVector[j];
}
delete [] tempVector;
delete [] deletedSynapses;
}

//DELETE SYNAPSES THAT CANNOT REACH OUTPUTLAYER

for(int i = 0; i < outputSize; i++)
{
    if(nodes[hiddenLayers + 1][i].synapses.size() == 1)
    {
        totalDeletedSynapses++;
        nodes[hiddenLayers + 1][i].synapses.clear();
    }
}

for(int i = 0; i < neuronsPerHiddenLayer[hiddenLayers - 1]; i++)
{
    deleteNodeSynapses = true;

    for(int j = 0; j < outputSize; j++)
    {
        for(list<TSynapse>::iterator k = nodes[hiddenLayers + 1][j].synapses.begin(); k != nodes[hiddenLayers + 1][j].synapses.end(); k++)
        {
            if((*k).inputNode == &nodes[hiddenLayers][i])
            {
                deleteNodeSynapses = false;
                break;
            }
        }
    }

    if(!deleteNodeSynapses) break;
}

```

```

    }

    if(deleteNodeSynapses)
    {
        totalDeletedSynapses += nodes[hiddenLayers][i].synapses.size();
        nodes[hiddenLayers][i].synapses.clear();
    }
}

for(int i = hiddenLayers - 1; i > 0; i--)
{
    for(int j = 0; j < neuronsPerHiddenLayer[i - 1]; j++)
    {
        deleteNodeSynapses = true;

        for(int k = 0; k < neuronsPerHiddenLayer[i]; k++)
        {
            for(list<TSynapse>::iterator l = nodes[i + 1][k].synapses.begin(); l != nodes[i + 1][k].synapses.end(); l++)
            {
                if((*l).inputNode == &nodes[i][j])
                {
                    deleteNodeSynapses = false;
                    break;
                }
            }

            if(!deleteNodeSynapses) break;
        }

        if(deleteNodeSynapses)
        {
            totalDeletedSynapses += nodes[i][j].synapses.size();
            nodes[i][j].synapses.clear();
        }
    }
}

ANNForm->curAction = buildAction;
if(DataModule1->curLanguage == Greek)
{
    ANNForm->StatusBar1->Panels->Items[1]->Text = "Συνολικά διαγράφηκαν " + IntToStr(totalDeletedSynapses) + " σύνδεσμοι.";
}
else if(DataModule1->curLanguage == English)
{
    ANNForm->StatusBar1->Panels->Items[1]->Text = "Totaly pruned synapses : " + IntToStr(totalDeletedSynapses);
}
ANNForm->StatusBar1->Invalidate();
ANNForm->Timer1->Enabled = true;

for(int i = 0; i < nOfExamples; i++)
{
    delete [] trainingData[i];
}
delete [] trainingData;

for(int i = 0; i < nOfExamples; i++)
{
    delete [] desiredResponse[i];
}
delete [] desiredResponse;

for(int i = 0; i < totalSynapses; i++)
{
    delete [] partialDerivativeVector[i];
}
delete [] partialDerivativeVector;

```

```

    for(int i = 0; i < totalSynapses; i++)
    {
        delete [] inverseHessianMatrix[i];
    }
    delete [] inverseHessianMatrix;

    delete [] resA[0];
    delete [] resA;

    delete [] meanVector;
}
catch(Exception &e)
{
    ShowMessage(e.Message);
    ShowMessage("An unexpected error occured on PruneANN function in TANeuralNetwork Unit.");
}
}
//-----
double __fastcall TANeuralNetwork::SumCalculation(int layersLeft, TNode *currentNode, TNode *endNode)
{
    double temp = 0;

    if(layersLeft != 0)
    {
        for(list<TSynapse>::iterator i = currentNode->synapses.begin(); i != currentNode->synapses.end(); i++)
        {
            if((*i).inputNode != &(fixedInput))
            {
                temp += ((*i).synapticWeight) * HyperbolicTangentDerivative((*i).inputNode->response) * SumCalculation(layersLeft - 1, (*i).inputNode,
endNode);
            }
        }

        return temp;
    }
    else if (layersLeft == 0)
    {
        for(list<TSynapse>::iterator i = currentNode->synapses.begin(); i != currentNode->synapses.end(); i++)
        {
            if((*i).inputNode == endNode)
            {
                return (*i).synapticWeight;
            }
        }
    }

    return 0;
}
//-----
void __fastcall TANeuralNetwork::Forecast(double **tData, int nOfExamples, double *inputVector, double *outputVector)
{
    try
    {
        double *input, *ratioTransformation, *meanVector;

        //TRANSFORM INPUT VECTOR

        meanVector = new double[inputSize];
        ratioTransformation = new double[outputSize];
        input = new double[inputSize];

        for(int i = 0; i < inputSize; i++)
        {
            meanVector[i] = 0;
        }

        for(int i = 0; i < nOfExamples; i++)
    
```

```

{
    for(int j = 0; j < inputSize; j++)
    {
        meanVector[j] += tData[i][j];
    }
}

for(int i = 0; i < inputSize; i++)
{
    meanVector[i] = meanVector[i]/double(nOfExamples);
}

for(int i = 0; i < nOfExamples; i++)
{
    Application->ProcessMessages();
    for(int j = 0; j < inputSize; j++)
    {
        input[j] = inputVector[j] - meanVector[j];
        input[j] = double(-1) + double(2)*((input[j] - minInput[j])/(maxInput[j] - minInput[j]));
    }
}

//FORWARD COMPUTATION
for(int i = 0; i < inputSize; i++)
{
    nodes[0][i].response = input[i];
}

for(int i = 0; i < hiddenLayers; i++)
{
    for(int j = 0; j < neuronsPerHiddenLayer[i]; j++)
    {
        nodes[i + 1][j].inducedLocalField = 0;

        for(list<TSynapse>::iterator k = nodes[i + 1][j].synapses.begin(); k != nodes[i + 1][j].synapses.end(); k++)
        {
            nodes[i + 1][j].inducedLocalField += ((*k).synapticWeight) * ((*k).inputNode->response);
        }

        nodes[i + 1][j].response = nodes[i + 1][j].activationFunction(nodes[i + 1][j].inducedLocalField);
    }
}

for(int i = 0; i < outputSize; i++)
{
    nodes[hiddenLayers + 1][i].inducedLocalField = 0;

    for(list<TSynapse>::iterator j = nodes[hiddenLayers + 1][i].synapses.begin(); j != nodes[hiddenLayers + 1][i].synapses.end(); j++)
    {
        nodes[hiddenLayers + 1][i].inducedLocalField += ((*j).synapticWeight) * ((*j).inputNode->response);
    }

    nodes[hiddenLayers + 1][i].response = nodes[hiddenLayers + 1][i].activationFunction(nodes[hiddenLayers + 1][i].inducedLocalField);
    outputVector[i] = nodes[hiddenLayers + 1][i].response;
}

//TRANSFORM OUTPUT RESULTS

for(int i = 0; i < outputSize; i++)
{
    ratioTransformation[i] = (maxResponse[i] - minResponse[i])/double(2);
}

for(int i = 0; i < outputSize; i++)
{
    if(outputVector[i] >= 1)
    {

```

```

        outputVector[i] = maxResponse[i] + ratioTransformation[i] * (outputVector[i] - double(1));
    }
    else if(outputVector[i] <= -1)
    {
        outputVector[i] = minResponse[i] + ratioTransformation[i] * (outputVector[i] - double(-1));
    }
    else
    {
        outputVector[i] = minResponse[i] + ratioTransformation[i] * fabs((outputVector[i] - double(-1)));
    }
}

delete [] meanVector;
delete [] ratioTransformation;
delete [] input;
}
catch(Exception &e)
{
    ShowMessage(e.Message);
    ShowMessage("An unexpected error occured on Forecast function in TANeuralNetwork Unit.");
}
}
//-----
void __fastcall TANeuralNetwork::RandomizeTrainingData(double **trainingData, double **randomizedTrainingData,
double **desiredResponse, double **randomizedDesiredResponse, int nOfExamples)
{
    try
    {
        int rVar;
        deque<int> trainingDataSequence;
        deque<int>::iterator tdsIterator;

        RandSeed = rand();

        for(int i = 0; i < nOfExamples; i++)
        {
            trainingDataSequence.push_back(i);
        }

        for(int i = 0; i < nOfExamples; i++)
        {
            rVar = rand() % (nOfExamples - i);
            tdsIterator = trainingDataSequence.begin();
            tdsIterator += rVar;

            for(int j = 0; j < inputSize; j++)
            {
                randomizedTrainingData[i][j] = trainingData[*tdsIterator][j];
            }
            for(int j = 0; j < outputSize; j++)
            {
                randomizedDesiredResponse[i][j] = desiredResponse[*tdsIterator][j];
            }

            trainingDataSequence.erase(tdsIterator);
        }
    }
    catch(Exception &e)
    {
        ShowMessage(e.Message);
        ShowMessage("An unexpected error occured on RandomizeTrainingData function in TANeuralNetwork Unit.");
    }
}
//-----
bool MatrixTranspose(long double **a, int aRows, int aCols,
long double **b, int bRows, int bCols)
{

```

```

if((aRows != bCols) || (aCols != bRows)) return false;

for(int i = 0; i < aRows; i++)
{
    for(int j = 0; j < aCols; j++)
    {
        b[j][i] = a[i][j];
    }
}

return true;
}
//-----
bool MatrixSubtract(long double **a, int aRows, int aCols,
                    long double **b, int bRows, int bCols,
                    long double **c, int cRows, int cCols)
{
    if((aRows != bRows) || (aCols != bCols) || (aRows != cRows) || (aCols != cCols)) return false;

    for(int i = 0; i < aRows; i++)
    {
        for(int j = 0; j < aCols; j++)
        {
            c[i][j] = a[i][j] - b[i][j];
        }
    }

    return true;
}
//-----
bool MatrixMultiply(long double **a, int aRows, int aCols,
                    long double **b, int bRows, int bCols,
                    long double **c, int cRows, int cCols)
{
    if(aCols != bRows) return false;

    for(int i = 0; i < aRows; i++)
    {
        for(int j = 0; j < bCols; j++)
        {
            double tempResult = 0;
            for(int k = 0; k < aCols; k++)
            {
                tempResult += a[i][k]*b[k][j];
            }
            c[i][j] = tempResult;
        }
    }

    return true;
}
//-----
double NDistribution(double X, double s, double m)
{
    try
    {
        double retValue, c;
        c = double(1)/(s*sqrt(double(2)*M_PI));
        retValue = c * exp(-pow((X-m), 2) / (double(2)*pow(s, 2)));
        return retValue;
    }
    catch(Exception &e)
    {
        ShowMessage(e.Message);
        ShowMessage("An unexpected error occurred on NDistribution function in TANeuralNetwork Unit.");
    }
    return 0;
}

```

```
}  
//-----  
double HyperbolicTangent(double U)  
{  
    try  
    {  
        double a, b, result;  
  
        a = 1.7159;  
        b = double(2)/double(3);  
        result = a*tanh(b*U);  
        return result;  
    }  
    catch(Exception &e)  
    {  
        ShowMessage(e.Message);  
        ShowMessage("An unexpected error occured on HyperbolicTangent function in TANeuralNetwork Unit.");  
    }  
    return 0;  
}  
//-----  
double HyperbolicTangentDerivative(double Y)  
{  
    try  
    {  
        double a, b, result;  
  
        a = 1.7159;  
        b = double(2)/double(3);  
        result = (b/a)*(a - Y)*(a + Y);  
        return result;  
    }  
    catch(Exception &e)  
    {  
        ShowMessage(e.Message);  
        ShowMessage("An unexpected error occured on HyperbolicTangentDerivative function in TANeuralNetwork Unit.");  
    }  
    return 0;  
}  
//-----
```

Αλγόριθμος Απλής Παλινδρόμησης

```
void __fastcall TDataModule1::SRFMClick(TObject *Sender)
{
    try
    {
        int counter, counter2, xRows, xCols, maxSoloAppearance, paramPosition, index;
        double **X, **Y, *xValues, *yValues;
        double meanX, meanY, sumXY, sumX2, a, b, impact;
        bool foundFutureEvent, finished, complexedParameters, allFutureParamsCalculated, forecastOnlyOne;
        AnsiString paramCode;
        map<AnsiString, int> parameters;
        map<AnsiString, TSimpleRegressionParamsCoefficients> parametersCoefficients;
        TExpForecast *myForm;
        TMenuItem *myMenuItem;

        forecastOnlyOne = false;
        myMenuItem = dynamic_cast<TMenuItem *>(Sender);
        if(myMenuItem)
        {
            if(myMenuItem->Name == "SRFM2") forecastOnlyOne = true;
        }

        if(MainForm->MDIChildCount > 0)
        {
            myForm = dynamic_cast<TExpForecast *>(MainForm->MDIChildren[0]);
        }
        else myForm = NULL;
        if(myForm)
        {

            counter = 0;
            counter2 = 0;
            foundFutureEvent = false;

            for(map<TDate, TJudgmentalEvent>::iterator i = myForm->judgmentalEventBase.judgmentalEvents.begin(); i != myForm-
>judgmentalEventBase.judgmentalEvents.end(); i++)
            {
                if(!(*i).second.futureEvent)
                {
                    counter2++;
                }
                else foundFutureEvent = true;
            }

            for(map<AnsiString, TFactor>::iterator j = (*i).second.factors.begin(); j != (*i).second.factors.end(); j++)
            {
                for(map<AnsiString, TParameter>::iterator k = (*j).second.parameters.begin(); k != (*j).second.parameters.end(); k++)
                {
                    if(parameters.find(AnsiString((*j).second.name + "." + (*k).second.name)) == parameters.end())
                    {
                        parameters[AnsiString((*j).second.name + "." + (*k).second.name)] = counter;
                        parametersCoefficients[AnsiString((*j).second.name + "." + (*k).second.name)].b0 = 0;
                        parametersCoefficients[AnsiString((*j).second.name + "." + (*k).second.name)].b1 = 0;
                        parametersCoefficients[AnsiString((*j).second.name + "." + (*k).second.name)].coefficientsCalculated = false;
                        counter++;
                    }
                }
            }

            xCols = counter;
            xRows = counter2;

            if(xCols == 0)
            {
```

```
Timer1->Enabled = false;
MainForm->curAction = error;
if(curLanguage == Greek)
{
    MainForm->StatusBar1->Panels->Items[1]->Text = "Αδύνατη πρόβλεψη. Κανένα υποκειμενικό γεγονός δεν έχει εισαχθεί στη ΒΔ.";
}
else if(curLanguage == English)
{
    MainForm->StatusBar1->Panels->Items[1]->Text = "Impossible forecast. None Judgmental event has been inserted into Database.";
}
MainForm->StatusBar1->Invalidate();
Timer1->Enabled = true;

return;
}
if(xRows == 0)
{
    Timer1->Enabled = false;
    MainForm->curAction = error;
    if(curLanguage == Greek)
    {
        MainForm->StatusBar1->Panels->Items[1]->Text = "Αδύνατη πρόβλεψη. Υπάρχουν ελλιπή ιστορικά δεδομένα.";
    }
    else if(curLanguage == English)
    {
        MainForm->StatusBar1->Panels->Items[1]->Text = "Forecast impossible. Not enough history data.";
    }
    MainForm->StatusBar1->Invalidate();
    Timer1->Enabled = true;

    return;
}
if(!foundFutureEvent)
{
    Timer1->Enabled = false;
    MainForm->curAction = error;
    if(curLanguage == Greek)
    {
        MainForm->StatusBar1->Panels->Items[1]->Text = "Αδύνατη πρόβλεψη. Δεν έχει δηλωθεί κανένα μελλοντικό υποκειμενικό γεγονός.";
    }
    else if(curLanguage == English)
    {
        MainForm->StatusBar1->Panels->Items[1]->Text = "Forecast impossible. No future event has been declared.";
    }
    MainForm->StatusBar1->Invalidate();
    Timer1->Enabled = true;

    return;
}

X = new double*[xRows];
for(int i = 0; i < xRows; i++)
{
    X[i] = new double[xCols];
}

Y = new double*[xRows];
for(int i = 0; i < xRows; i++)
{
    Y[i] = new double[1];
}

for(int i = 0; i < xRows; i++)
{
    for(int j = 0; j < xCols; j++)
    {
```

```

        X[i][j] = 0;
    }
}

for(int i = 0; i < xRows; i++)
{
    Y[i][0] = 0;
}

counter = 0;
for(map<TDate, TJudgmentalEvent>::iterator i = myForm->judgmentalEventBase.judgmentalEvents.begin(); i != myForm-
>judgmentalEventBase.judgmentalEvents.end(); i++)
{
    if(!(*i).second.futureEvent)
    {
        for(map<AnsiString, TFactor>::iterator j = (*i).second.factors.begin(); j != (*i).second.factors.end(); j++)
        {
            for(map<AnsiString, TParameter>::iterator k = (*j).second.parameters.begin(); k != (*j).second.parameters.end(); k++)
            {
                if(parameters.find(AnsiString((*j).second.name + "." + (*k).second.name)) != parameters.end())
                {
                    X[counter][parameters[AnsiString((*j).second.name + "." + (*k).second.name)]] = (*k).second.value;
                }
            }
        }
        Y[counter][0] = (*i).second.impact;
        counter++;
    }
}

finished = false;
while(!finished)
{
    //FIND PARAMETER THAT APPEARS ALONE MORE TIMES THAN ALL OTHERS IN JUDGMENTAL EVENT BASE

    maxSoloAppearance = 1;
    paramPosition = -1;

    for(int i = 0; i < xCols; i++)
    {
        counter = 0;
        for(int j = 0; j < xRows; j++)
        {
            complexedParameters = false;
            if(X[j][i] != 0)
            {
                for(int k = 0; k < xCols; k++)
                {
                    if((k != i) && (X[j][k] != 0))
                    {
                        complexedParameters = true;
                        break;
                    }
                }
            }
            if(!complexedParameters)
            {
                counter++;
            }
        }
    }

    if(counter > maxSoloAppearance)
    {
        maxSoloAppearance = counter;
        paramPosition = i;

        for(map<AnsiString, int>::iterator j = parameters.begin(); j != parameters.end(); j++)

```

```

        {
            if((*j).second == paramPosition) paramCode = (*j).first;
        }
    }
}

if(paramPosition != -1)
{
    //CALCULATE SIMPLE REGRESSION PARAMETERS

    yValues = new double[maxSoloAppearance];
    xValues = new double[maxSoloAppearance];

    counter = 0;
    for(int i = 0; i < xRows; i++)
    {
        complexedParameters = false;
        if(X[i][paramPosition] != 0)
        {
            for(int j = 0; j < xCols; j++)
            {
                if(j != paramPosition) && (X[i][j] != 0)
                {
                    complexedParameters = true;
                    break;
                }
            }
            if(!complexedParameters)
            {
                xValues[counter] = X[i][paramPosition];
                yValues[counter] = Y[i][0];
                counter++;
            }
        }
    }

    meanX = 0;
    meanY = 0;
    sumXY = 0;
    sumX2 = 0;
    for(int i = 0; i < maxSoloAppearance; i++)
    {
        meanX += xValues[i];
        meanY += yValues[i];
        sumXY += xValues[i]*yValues[i];
        sumX2 += pow(xValues[i], double(2));
    }
    meanX = meanX / double(maxSoloAppearance);
    meanY = meanY / double(maxSoloAppearance);

    if((sumX2/double(maxSoloAppearance) - pow(meanX, double(2))) == 0)
    {
        Timer1->Enabled = false;
        MainForm->curAction = error;
        if(curLanguage == Greek)
        {
            MainForm->StatusBar1->Panels->Items[1]->Text = "Αδύνατη πρόβλεψη. Το σύστημα είναι μη επιλύσιμο.";
        }
        else if(curLanguage == English)
        {
            MainForm->StatusBar1->Panels->Items[1]->Text = "Impossible forecast. Cannot solve linear system.";
        }
        MainForm->StatusBar1->Invalidate();
        Timer1->Enabled = true;

        delete [] xValues;
        delete [] yValues;
    }
}

```

```

    for(int i = 0; i < xRows; i++)
    {
        delete [] X[i];
    }
    delete [] X;

    for(int i = 0; i < xRows; i++)
    {
        delete [] Y[i];
    }
    delete [] Y;

    return;
}
else
{
    b = (sumXY/double(maxSoloAppearance) - meanX*meanY)/(sumX2/double(maxSoloAppearance) - pow(meanX, double(2)));
    a = meanY - b*meanX;
}

//STORE SIMPLE REGRESSION PARAMETERS

if(parametersCoefficients.find(paramCode) != parametersCoefficients.end())
{
    parametersCoefficients[paramCode].b0 = a;
    parametersCoefficients[paramCode].b1 = b;
    parametersCoefficients[paramCode].coefficientsCalculated = true;
}
else
{
    if(curLanguage == Greek)
    {
        ShowMessage("Κάποιο λάθος παρουσιάστηκε κατά τη διαδικασία υπολογισμού των παραμέτρων της απλής παλινδρόμησης.");
    }
    else if(curLanguage == English)
    {
        ShowMessage("An unexpected error occured during simple regression constants calculation.");
    }
    throw(-1);
}

for(int i = 0; i < xRows; i++)
{
    if(X[i][paramPosition] != 0)
    {
        impact = a + b * X[i][paramPosition];
        X[i][paramPosition] = 0;
        Y[i][0] -= impact;
    }
}

delete [] xValues;
delete [] yValues;
}
else finished = true;
}

allFutureParamsCalculated = true;
for(map<TDate, TJudgmentalEvent>::iterator i = myForm->judgmentalEventBase.judgmentalEvents.begin(); i != myForm-
>judgmentalEventBase.judgmentalEvents.end(); i++)
{
    if((*i).second.futureEvent)
    {
        for(map<AnsiString, TFactor>::iterator j = (*i).second.factors.begin(); j != (*i).second.factors.end(); j++)
        {
            for(map<AnsiString, TParameter>::iterator k = (*j).second.parameters.begin(); k != (*j).second.parameters.end(); k++)

```



```

        myForm->Series2->BarWidthPercent = int(double(10) + double(9)/double(5)*double(myForm->Series2->XValues->Count()));
    }
}
else
{
    if((*i).second.eventDate.DateString() == myForm->DateBox->Text)
    {
        myForm->Series2->AddXY((*i).second.eventDate, impact, (*i).second.eventDate.DateString(), clAqua);
        if(int(double(10) + double(9)/double(5)*double(myForm->Series2->XValues->Count())) > 100)
        {
            myForm->Series2->BarWidthPercent = 100;
        }
        else
        {
            myForm->Series2->BarWidthPercent = int(double(10) + double(9)/double(5)*double(myForm->Series2->XValues->Count()));
        }
    }
    else
    {
        myForm->Series2->AddXY((*i).second.eventDate, impact, (*i).second.eventDate.DateString(), clYellow);
        if(int(double(10) + double(9)/double(5)*double(myForm->Series2->XValues->Count())) > 100)
        {
            myForm->Series2->BarWidthPercent = 100;
        }
        else
        {
            myForm->Series2->BarWidthPercent = int(double(10) + double(9)/double(5)*double(myForm->Series2->XValues->Count()));
        }
    }
}
}
myForm->Series2->Repaint();
}
}
else
{
    for(int i = 0; i < xRows; i++)
    {
        delete [] X[i];
    }
    delete [] X;

    for(int i = 0; i < xRows; i++)
    {
        delete [] Y[i];
    }
    delete [] Y;

    Timer1->Enabled = false;
    MainForm->curAction = error;
    if(curLanguage == Greek)
    {
        MainForm->StatusBar1->Panels->Items[1]->Text = "Αδύνατη πρόβλεψη. Το σύστημα είμαι μη επιλύσιμο.";
    }
    else if(curLanguage == English)
    {
        MainForm->StatusBar1->Panels->Items[1]->Text = "Forecast impossible. Can't find Regression constants.";
    }
    MainForm->StatusBar1->Invalidate();
    Timer1->Enabled = true;

    return;
}
for(int i = 0; i < xRows; i++)

```

```
{
    delete [] X[i];
}
delete [] X;

for(int i = 0; i < xRows; i++)
{
    delete [] Y[i];
}
delete [] Y;

Timer1->Enabled = false;
MainForm->curAction = forecastAction;
if(curLanguage == Greek)
{
    MainForm->StatusBar1->Panels->Items[1]->Text = "Η μέθοδος της Απλής Παλινδρόμησης εφαρμόστηκε με επιτυχία.";
}
else if(curLanguage == English)
{
    MainForm->StatusBar1->Panels->Items[1]->Text = "Simple regression method has been applied successfully.";
}
MainForm->StatusBar1->Invalidate();
Timer1->Enabled = true;
}
else
{
    Timer1->Enabled = false;
    MainForm->curAction = error;
    if(curLanguage == Greek)
    {
        MainForm->StatusBar1->Panels->Items[1]->Text = "Επιλέξτε πρώτα τη χρονοσειρά πάνω στην οποία θα εφαρμοστεί η συγκεκριμένη μέθοδος.";
    }
    else if(curLanguage == English)
    {
        MainForm->StatusBar1->Panels->Items[1]->Text = "Please select a timeseries chart first.";
    }
    MainForm->StatusBar1->Invalidate();
    Timer1->Enabled = true;
}
}
catch(Exception &e)
{
    ShowMessage(e.Message);
    ShowMessage("An unexpected error occured in SRFMClick event in DataModule unit.");
}
}
//-----
```

Αλγόριθμος Πολλαπλής Παλινδρόμησης

```
void __fastcall TDataModule1::MRFMClick(TObject *Sender)
{
    try
    {
        TExpForecast *myForm;

        if(MainForm->MDIChildCount > 0)
        {
            myForm = dynamic_cast<TExpForecast *>(MainForm->MDIChildren[0]);
        }
        else myForm = NULL;
        if(myForm)
        {
            double **X, **Y, **b, **X2, **resA, **resB, **forX, **impact;
            int xRows, xCols, counter, counter2, index;
            bool foundFutureEvent, forecastOnlyOne;
            map<AnsiString, int> parameters;
            TMenuItem *myMenuItem;

            forecastOnlyOne = false;
            myMenuItem = dynamic_cast<TMenuItem *>(Sender);
            if(myMenuItem)
            {
                if(myMenuItem->Name == "MRFM2") forecastOnlyOne = true;
            }

            counter = 1;
            counter2 = 0;
            foundFutureEvent = false;

            for(map<TDate, TJudgmentalEvent>::iterator i = myForm->judgmentalEventBase.judgmentalEvents.begin(); i != myForm-
>judgmentalEventBase.judgmentalEvents.end(); i++)
            {
                if(!(*i).second.futureEvent)
                {
                    counter2++;
                }
                else foundFutureEvent = true;

                for(map<AnsiString, TFactor>::iterator j = (*i).second.factors.begin(); j != (*i).second.factors.end(); j++)
                {
                    for(map<AnsiString, TParameter>::iterator k = (*j).second.parameters.begin(); k != (*j).second.parameters.end(); k++)
                    {
                        if(parameters.find(AnsiString((*j).second.name + "." + (*k).second.name)) == parameters.end())
                        {
                            parameters[AnsiString((*j).second.name + "." + (*k).second.name)] = counter;
                            counter++;
                        }
                    }
                }
            }

            xCols = counter;
            xRows = counter2;

            if(xCols == 1)
            {
                Timer1->Enabled = false;
                MainForm->curAction = error;
                if(curLanguage == Greek)
                {
                    MainForm->StatusBar1->Panels->Items[1]->Text = "Αδύνατη πρόβλεψη. Κανένα υποκειμενικό γεγονός δεν έχει εισαχθεί στη ΒΔ.";
                }
            }
        }
    }
}
```

```
else if(curLanguage == English)
{
    MainForm->StatusBar1->Panels->Items[1]->Text = "Impossible forecast. None Judgmental event has been inserted into Database.";
}
MainForm->StatusBar1->Invalidate();
Timer1->Enabled = true;

return;
}
if(xRows == 0)
{
    Timer1->Enabled = false;
    MainForm->curAction = error;
    if(curLanguage == Greek)
    {
        MainForm->StatusBar1->Panels->Items[1]->Text = "Αδύνατη πρόβλεψη. Υπάρχουν ελλειπή ιστορικά δεδομένα.";
    }
    else if(curLanguage == English)
    {
        MainForm->StatusBar1->Panels->Items[1]->Text = "Forecast impossible. Not enough history data.";
    }
    MainForm->StatusBar1->Invalidate();
    Timer1->Enabled = true;

    return;
}

if(!foundFutureEvent)
{
    Timer1->Enabled = false;
    MainForm->curAction = error;
    if(curLanguage == Greek)
    {
        MainForm->StatusBar1->Panels->Items[1]->Text = "Αδύνατη πρόβλεψη. Δεν έχει δηλωθεί κανένα μελλοντικό υποκειμενικό γεγονός.";
    }
    else if(curLanguage == English)
    {
        MainForm->StatusBar1->Panels->Items[1]->Text = "Forecast impossible. No future event has been declared.";
    }
    MainForm->StatusBar1->Invalidate();
    Timer1->Enabled = true;

    return;
}

X = new double*[xRows];
for(int i = 0; i < xRows; i++)
{
    X[i] = new double[xCols];
}

Y = new double*[xRows];
for(int i = 0; i < xRows; i++)
{
    Y[i] = new double[1];
}

b = new double*[xCols];
for(int i = 0; i < xCols; i++)
{
    b[i] = new double[1];
}

X2 = new double*[xCols];
for(int i = 0; i < xCols; i++)
{
    X2[i] = new double[xRows];
}
```

```

}

resA = new double*[xCols];
for(int i = 0; i < xCols; i++)
{
    resA[i] = new double[xCols];
}

resB = new double*[xCols];
for(int i = 0; i < xCols; i++)
{
    resB[i] = new double[xRows];
}

forX = new double*[1];
for(int i = 0; i < 1; i++)
{
    forX[i] = new double[xCols];
}

impact = new double*[1];
impact[0] = new double[1];

for(int i = 0; i < xRows; i++)
{
    for(int j = 0; j < xCols; j++)
    {
        if(j != 0) X[i][j] = 0;
        else X[i][j] = 1;
    }
}

for(int i = 0; i < xRows; i++)
{
    Y[i][0] = 0;
}

for(int i = 0; i < xCols; i++)
{
    b[i][0] = 0;
}

forX[0][0] = 1;
for(int i = 1; i < xCols; i++)
{
    forX[0][i] = 0;
}

counter = 0;
for(map<TDate, TJudgmentalEvent>::iterator i = myForm->judgmentalEventBase.judgmentalEvents.begin(); i != myForm-
>judgmentalEventBase.judgmentalEvents.end(); i++)
{
    if(!(*i).second.futureEvent)
    {
        for(map<AnsiString, TFactor>::iterator j = (*i).second.factors.begin(); j != (*i).second.factors.end(); j++)
        {
            for(map<AnsiString, TParameter>::iterator k = (*j).second.parameters.begin(); k != (*j).second.parameters.end(); k++)
            {
                if(parameters.find(AnsiString((*j).second.name + "." + (*k).second.name)) != parameters.end())
                {
                    X[counter][parameters[AnsiString((*j).second.name + "." + (*k).second.name)]] = (*k).second.value;
                }
            }
        }
    }
    Y[counter][0] = (*i).second.impact;
    counter++;
}

```

```
}  
  
MatrixTranspose(X, xRows, xCols, X2, xCols, xRows);  
MatrixMultiply(X2, xCols, xRows, X, xRows, xCols, resA, xCols, xCols);  
if(!Invert(xCols, resA))  
{  
    for(int i = 0; i < xRows; i++)  
    {  
        delete [] X[i];  
    }  
    delete [] X;  
  
    for(int i = 0; i < xRows; i++)  
    {  
        delete [] Y[i];  
    }  
    delete [] Y;  
  
    for(int i = 0; i < xCols; i++)  
    {  
        delete [] b[i];  
    }  
    delete [] b;  
  
    for(int i = 0; i < xCols; i++)  
    {  
        delete [] X2[i];  
    }  
    delete [] X2;  
  
    for(int i = 0; i < xCols; i++)  
    {  
        delete [] resA[i];  
    }  
    delete [] resA;  
  
    for(int i = 0; i < xCols; i++)  
    {  
        delete [] resB[i];  
    }  
    delete [] resB;  
  
    delete [] forX[0];  
    delete [] forX;  
  
    delete [] impact[0];  
    delete [] impact;  
  
    Timer1->Enabled = false;  
    MainForm->curAction = error;  
    if(curLanguage == Greek)  
    {  
        MainForm->StatusBar1->Panels->Items[1]->Text = "Αδύνατη πρόβλεψη. Το σύστημα που προκύπτει είναι μη επιλύσιμο.";  
    }  
    else if(curLanguage == English)  
    {  
        MainForm->StatusBar1->Panels->Items[1]->Text = "Forecast impossible. Can't find Multiple Regression constants.";  
    }  
    MainForm->StatusBar1->Invalidate();  
    Timer1->Enabled = true;  
  
    return;  
}  
MatrixMultiply(resA, xCols, xCols, X2, xCols, xRows, resB, xCols, xRows);  
MatrixMultiply(resB, xCols, xRows, Y, xRows, 1, b, xCols, 1);
```

```

for(map<TDate, TJudgmentalEvent>::iterator i = myForm->judgmentalEventBase.judgmentalEvents.begin(); i != myForm-
>judgmentalEventBase.judgmentalEvents.end(); i++)
{
    if(!forecastOnlyOne && ((*i).second.futureEvent) || (forecastOnlyOne && (i == myForm->selectedEvent) && ((*i).second.futureEvent))
    {
        forX[0][0] = 1;
        for(int j = 1; j < xCols; j++)
        {
            forX[0][j] = 0;
        }

        for(map<AnsiString, TFactor>::iterator j = (*i).second.factors.begin(); j != (*i).second.factors.end(); j++)
        {
            for(map<AnsiString, TParameter>::iterator k = (*j).second.parameters.begin(); k != (*j).second.parameters.end(); k++)
            {
                if(parameters.find(AnsiString((*j).second.name + "." + (*k).second.name)) != parameters.end())
                {
                    forX[0][parameters[AnsiString((*j).second.name + "." + (*k).second.name)]] = (*k).second.value;
                }
            }
        }

        MatrixMultiply(forX, 1, xCols, b, xCols, 1, impact, 1, 1);
        (*i).second.impact = impact[0][0];
        index = myForm->Series2->XValues->Locate((*i).second.eventDate);
        if(index != -1)
        {
            myForm->Series2->YValues->Value[index] = impact[0][0];
        }
    }
    else
    {
        index = myForm->Series3->XValues->Locate((*i).second.eventDate);
        if(index != -1)
        {
            if(myForm->Series3->ValueColor[index] == clAqua)
            {
                myForm->Series2->AddXY((*i).second.eventDate, impact[0][0], (*i).second.eventDate.DateString(), clAqua);
                if(int(double(10) + double(9)/double(5)*double(myForm->Series2->XValues->Count())) > 100)
                {
                    myForm->Series2->BarWidthPercent = 100;
                }
            }
            else
            {
                myForm->Series2->BarWidthPercent = int(double(10) + double(9)/double(5)*double(myForm->Series2->XValues->Count()));
            }
        }
        else
        {
            myForm->Series2->AddXY((*i).second.eventDate, impact[0][0], (*i).second.eventDate.DateString(), clYellow);
            if(int(double(10) + double(9)/double(5)*double(myForm->Series2->XValues->Count())) > 100)
            {
                myForm->Series2->BarWidthPercent = 100;
            }
            else
            {
                myForm->Series2->BarWidthPercent = int(double(10) + double(9)/double(5)*double(myForm->Series2->XValues->Count()));
            }
        }
    }
}
else
{
    if((*i).second.eventDate.DateString() == myForm->DateBox->Text)
    {
        myForm->Series2->AddXY((*i).second.eventDate, impact[0][0], (*i).second.eventDate.DateString(), clAqua);
        if(int(double(10) + double(9)/double(5)*double(myForm->Series2->XValues->Count())) > 100)
        {
            myForm->Series2->BarWidthPercent = 100;
        }
    }
}

```

```
    }  
    else  
    {  
        myForm->Series2->BarWidthPercent = int(double(10) + double(9)/double(5)*double(myForm->Series2->XValues->Count()));  
    }  
    }  
    else  
    {  
        myForm->Series2->AddXY((*i).second.eventDate, impact[0][0], (*i).second.eventDate.DateString(), clYellow);  
        if(int(double(10) + double(9)/double(5)*double(myForm->Series2->XValues->Count())) > 100)  
        {  
            myForm->Series2->BarWidthPercent = 100;  
        }  
        else  
        {  
            myForm->Series2->BarWidthPercent = int(double(10) + double(9)/double(5)*double(myForm->Series2->XValues->Count()));  
        }  
    }  
    }  
    }  
    myForm->Series2->Repaint();  
}  
}  
  
for(int i = 0; i < xRows; i++)  
{  
    delete [] X[i];  
}  
delete [] X;  
  
for(int i = 0; i < xRows; i++)  
{  
    delete [] Y[i];  
}  
delete [] Y;  
  
for(int i = 0; i < xCols; i++)  
{  
    delete [] b[i];  
}  
delete [] b;  
  
for(int i = 0; i < xCols; i++)  
{  
    delete [] X2[i];  
}  
delete [] X2;  
  
for(int i = 0; i < xCols; i++)  
{  
    delete [] resA[i];  
}  
delete [] resA;  
  
for(int i = 0; i < xCols; i++)  
{  
    delete [] resB[i];  
}  
delete [] resB;  
  
delete [] forX[0];  
delete [] forX;  
  
delete [] impact[0];  
delete [] impact;  
  
Timer1->Enabled = false;
```

```

MainForm->curAction = forecastAction;
if(curLanguage == Greek)
{
    MainForm->StatusBar1->Panels->Items[1]->Text = "Η μέθοδος της Πολλαπλής Παλινδρόμησης εφαρμόστηκε με επιτυχία.";
}
else if(curLanguage == English)
{
    MainForm->StatusBar1->Panels->Items[1]->Text = "Multiple Regression method has been applied successfully.";
}
MainForm->StatusBar1->Invalidate();
Timer1->Enabled = true;
}
else
{
    Timer1->Enabled = false;
    MainForm->curAction = error;
    if(curLanguage == Greek)
    {
        MainForm->StatusBar1->Panels->Items[1]->Text = "Επιλέξτε πρώτα τη χρονοσειρά πάνω στην οποία θα εφαρμοστεί η συγκεκριμένη μέθοδος.";
    }
    else if(curLanguage == English)
    {
        MainForm->StatusBar1->Panels->Items[1]->Text = "Please select a timeseries chart first.";
    }
    MainForm->StatusBar1->Invalidate();
    Timer1->Enabled = true;
}
}
catch(Exception &e)
{
    ShowMessage(e.Message);
    ShowMessage("An unexpected error occurred in MRFMClick event in DataModule unit.");
}
}
//-----
bool __fastcall TDataModule1::MatrixTranspose(double **a, int aRows, int aCols,
double **b, int bRows, int bCols)
{
    if((aRows != bCols) || (aCols != bRows)) return false;

    for(int i = 0; i < aRows; i++)
    {
        for(int j = 0; j < aCols; j++)
        {
            b[j][i] = a[i][j];
        }
    }

    return true;
}
//-----
bool __fastcall TDataModule1::MatrixAdd(double **a, int aRows, int aCols,
double **b, int bRows, int bCols,
double **c, int cRows, int cCols)
{
    if((aRows != bRows) || (aCols != bCols) || (aRows != cRows) || (aCols != cCols)) return false;

    for(int i = 0; i < aRows; i++)
    {
        for(int j = 0; j < aCols; j++)
        {
            c[i][j] = a[i][j] + b[i][j];
        }
    }

    return true;
}

```

```
}
//-----
bool __fastcall TDataModule1::MatrixMultiply(double **a, int aRows, int aCols,
double **b, int bRows, int bCols,
double **c, int cRows, int cCols)
{
    if(aCols != bRows) return false;

    for(int i = 0; i < aRows; i++)
    {
        for(int j = 0; j < bCols; j++)
        {
            double tempResult = 0;
            for(int k = 0; k < aCols; k++)
            {
                tempResult += a[i][k]*b[k][j];
            }
            c[i][j] = tempResult;
        }
    }

    return true;
}
//-----
bool TDataModule1::Invert(int n, double **a)
{
    int i, j, k, *p;
    double h, q, s, sup, pivot;

    p = new int[n];

    for (k = 0; k < n; k++)
    {
        sup = 0.0;
        p[k] = 0;
        for (i = k; i < n; i++)
        {
            s = 0.0;
            for (j = k; j < n; j++)
            {
                s += fabs(a[i][j]);
            }
            if (s == 0.0)
            {
                delete [] p;
                return false;
            }
            q = fabs(a[i][k]) / s;
            if (sup < q)
            {
                sup = q;
                p[k] = i;
            }
        }
        if (sup == 0.0)
        {
            delete [] p;
            return false;
        }
        if (p[k] != k)
        {
            for (j = 0; j < n; j++)
            {
                h = a[k][j];
                a[k][j] = a[p[k]][j];
                a[p[k]][j] = h;
            }
        }
    }
}
```

```
    }
    pivot = a[k][k];
    for (j = 0; j < n; j++)
    {
        if (j != k)
        {
            a[k][j] = -a[k][j] / pivot;
            for (i = 0; i < n; i++)
            {
                if (i != k)
                {
                    a[i][j] += a[i][k] * a[k][j];
                }
            }
        }
    }
    for (i = 0; i < n; i++)
    {
        a[i][k] = a[i][k] / pivot;
    }
    a[k][k] = 1.0 / pivot;
}
for (k = n - 1; k >= 0; k--)
{
    if (p[k] != k)
    {
        for (i = 0; i < n; i++)
        {
            h = a[i][k];
            a[i][k] = a[i][p[k]];
            a[i][p[k]] = h;
        }
    }
}
delete [] p;

return true;
}
//-----
```

Μέθοδος των Γεγόνων

```
void __fastcall TNBForm::BitBtn1Click(TObject *Sender)
{
    try
    {
        int counter, counter2, xCols, xCols, index, neighborsNumber;
        double **X, **Y, impact, tempDouble;
        bool foundFutureEvent;
        TRankStruct *rankings;
        map<AnsiString, int> parameters;
        TExpForecast *myForm;

        myForm = dynamic_cast<TExpForecast *>(this->Owner);

        if(myForm)
        {
            counter = 0;
            counter2 = 0;
            foundFutureEvent = false;

            for(map<TDate, TJudgmentalEvent>::iterator i = myForm->judgmentalEventBase.judgmentalEvents.begin(); i != myForm-
>judgmentalEventBase.judgmentalEvents.end(); i++)
            {
                if(!(*i).second.futureEvent)
                {
                    counter2++;
                }
                else foundFutureEvent = true;

                for(map<AnsiString, TFactor>::iterator j = (*i).second.factors.begin(); j != (*i).second.factors.end(); j++)
                {
                    for(map<AnsiString, TParameter>::iterator k = (*j).second.parameters.begin(); k != (*j).second.parameters.end(); k++)
                    {
                        if(parameters.find(AnsiString((*j).second.name + "." + (*k).second.name)) == parameters.end())
                        {
                            parameters[AnsiString((*j).second.name + "." + (*k).second.name)] = counter;
                            counter++;
                        }
                    }
                }
            }

            xCols = counter;
            xRows = counter2;

            if(xCols == 0)
            {
                DataModule1->Timer1->Enabled = false;
                MainForm->curAction = error;
                if(DataModule1->curLanguage == Greek)
                {
                    MainForm->StatusBar1->Panels->Items[1]->Text = "Αδύνατη πρόβλεψη. Κανένα υποκειμενικό γεγονός δεν έχει εισαχθεί στη ΒΔ.";
                }
                else if(DataModule1->curLanguage == English)
                {
                    MainForm->StatusBar1->Panels->Items[1]->Text = "Impossible forecast. None Judgmental event has been inserted into Database.";
                }
                MainForm->StatusBar1->Invalidate();
                DataModule1->Timer1->Enabled = true;

                ModalResult = mrNone;
                return;
            }
        }
    }
}
```

```
}
if(xRows == 0)
{
    DataModule1->Timer1->Enabled = false;
    MainForm->curAction = error;
    if(DataModule1->curLanguage == Greek)
    {
        MainForm->StatusBar1->Panels->Items[1]->Text = "Αδύνατη πρόβλεψη. Υπάρχουν ελλιπή ιστορικά δεδομένα.";
    }
    else if(DataModule1->curLanguage == English)
    {
        MainForm->StatusBar1->Panels->Items[1]->Text = "Forecast impossible. Not enough history data.";
    }
    MainForm->StatusBar1->Invalidate();
    DataModule1->Timer1->Enabled = true;

    ModalResult = mrNone;
    return;
}

if(!foundFutureEvent)
{
    DataModule1->Timer1->Enabled = false;
    MainForm->curAction = error;
    if(DataModule1->curLanguage == Greek)
    {
        MainForm->StatusBar1->Panels->Items[1]->Text = "Αδύνατη πρόβλεψη. Δεν έχει δηλωθεί κανένα μελλοντικό υποκειμενικό γεγονός.";
    }
    else if(DataModule1->curLanguage == English)
    {
        MainForm->StatusBar1->Panels->Items[1]->Text = "Forecast impossible. No future event has been declared.";
    }
    MainForm->StatusBar1->Invalidate();
    DataModule1->Timer1->Enabled = true;

    ModalResult = mrNone;
    return;
}

if((ComboBox1->ItemIndex == 2) && (Edit1->Text.Trim().IsEmpty()))
{
    DataModule1->Timer1->Enabled = false;
    MainForm->curAction = error;
    if(DataModule1->curLanguage == Greek)
    {
        MainForm->StatusBar1->Panels->Items[1]->Text = "Η επιλεγμένη μέθοδος απαιτεί να συμπληρώσετε τον αριθμό των γειτόνων.";
    }
    else if(DataModule1->curLanguage == English)
    {
        MainForm->StatusBar1->Panels->Items[1]->Text = "Selected method requires neighbors number to be defined.";
    }
    MainForm->StatusBar1->Invalidate();
    DataModule1->Timer1->Enabled = true;

    ModalResult = mrNone;
    return;
}

if(ComboBox1->ItemIndex == 2)
{
    try
    {
        neighborsNumber = StrToInt(Edit1->Text);
    }
    catch(EConvertError &e)
    {
        DataModule1->Timer1->Enabled = false;
    }
}
```

```
    MainForm->curAction = error;
    if(DataModule1->curLanguage == Greek)
    {
        MainForm->StatusBar1->Panels->Items[1]->Text = "Παρακαλώ συμπληρώστε έναν αριθμό σε σωστή μορφή.";
    }
    else if(DataModule1->curLanguage == English)
    {
        MainForm->StatusBar1->Panels->Items[1]->Text = "Please fill in a valid number of neighbors.";
    }
    MainForm->StatusBar1->Invalidate();
    DataModule1->Timer1->Enabled = true;

    ModalResult = mrNone;
    return;
}

if((ComboBox1->ItemIndex == 1) && (xRows < 3))
{
    DataModule1->Timer1->Enabled = false;
    MainForm->curAction = error;
    if(DataModule1->curLanguage == Greek)
    {
        MainForm->StatusBar1->Panels->Items[1]->Text = "Δεν υπάρχουν αρκετά ιστορικά δεδομένα για την εφαρμογή της επιλεγμένης μεθόδου.";
    }
    else if(DataModule1->curLanguage == English)
    {
        MainForm->StatusBar1->Panels->Items[1]->Text = "There are not enough judgmental events for the selected method to be applied.";
    }
    MainForm->StatusBar1->Invalidate();
    DataModule1->Timer1->Enabled = true;

    ModalResult = mrNone;
    return;
}
else if((ComboBox1->ItemIndex == 2) && (xRows < neighborsNumber))
{
    DataModule1->Timer1->Enabled = false;
    MainForm->curAction = error;
    if(DataModule1->curLanguage == Greek)
    {
        MainForm->StatusBar1->Panels->Items[1]->Text = "Δεν υπάρχουν αρκετά ιστορικά δεδομένα για την εφαρμογή της επιλεγμένης μεθόδου.";
    }
    else if(DataModule1->curLanguage == English)
    {
        MainForm->StatusBar1->Panels->Items[1]->Text = "There are not enough judgmental events for the selected method to be applied.";
    }
    MainForm->StatusBar1->Invalidate();
    DataModule1->Timer1->Enabled = true;

    ModalResult = mrNone;
    return;
}

X = new double*[xRows];
for(int i = 0; i < xRows; i++)
{
    X[i] = new double[xCols];
}

Y = new double*[xRows];
for(int i = 0; i < xRows; i++)
{
    Y[i] = new double[1];
}

rankings = new TRankStruct[xRows];
```

```

for(int i = 0; i < xRows; i++)
{
    for(int j = 0; j < xCols; j++)
    {
        X[i][j] = 0;
    }
}

for(int i = 0; i < xRows; i++)
{
    Y[i][0] = 0;
}

counter = 0;
for(map<TDate, TJudgmentalEvent>::iterator i = myForm->judgmentalEventBase.judgmentalEvents.begin(); i != myForm-
>judgmentalEventBase.judgmentalEvents.end(); i++)
{
    if(!(*i).second.futureEvent)
    {
        for(map<AnsiString, TFactor>::iterator j = (*i).second.factors.begin(); j != (*i).second.factors.end(); j++)
        {
            for(map<AnsiString, TParameter>::iterator k = (*j).second.parameters.begin(); k != (*j).second.parameters.end(); k++)
            {
                if(parameters.find(AnsiString((*j).second.name + "." + (*k).second.name)) != parameters.end())
                {
                    X[counter][parameters[AnsiString((*j).second.name + "." + (*k).second.name)]] = (*k).second.value;
                }
            }
        }
        Y[counter][0] = (*i).second.impact;
        counter++;
    }
}

for(map<TDate, TJudgmentalEvent>::iterator i = myForm->judgmentalEventBase.judgmentalEvents.begin(); i != myForm-
>judgmentalEventBase.judgmentalEvents.end(); i++)
{
    if(!((!forecastOnlyOne) && ((*i).second.futureEvent)) || (forecastOnlyOne && (i == myForm->selectedEvent) && ((*i).second.futureEvent)))
    {
        impact = 0;

        for(int j = 0; j < xRows; j++)
        {
            rankings[j].penalty = 0;
            rankings[j].eventPointer = j;

            for(map<AnsiString, TFactor>::iterator k = (*i).second.factors.begin(); k != (*i).second.factors.end(); k++)
            {
                for(map<AnsiString, TParameter>::iterator l = (*k).second.parameters.begin(); l != (*k).second.parameters.end(); l++)
                {
                    if(parameters.find(AnsiString((*k).second.name + "." + (*l).second.name)) != parameters.end())
                    {
                        tempDouble = X[j][parameters[AnsiString((*k).second.name + "." + (*l).second.name)]];

                        if((tempDouble != 0) && ((*l).second.value == 0))
                        {
                            rankings[j].penalty += double(1);
                        }
                        else if((tempDouble == 0) && ((*l).second.value != 0))
                        {
                            rankings[j].penalty += double(1);
                        }
                        else if((tempDouble != 0) && ((*l).second.value != 0))
                        {
                            rankings[j].penalty += fabs(tempDouble - (*l).second.value)/fabs(tempDouble);
                        }
                    }
                }
            }
        }
    }
}

```

```

    }
  }
}

BubbleSort(rankings, xRows);

if(ComboBox1->ItemIndex == 0)
{
  impact = Y[rankings[0].eventPointer][0];
}
else if(ComboBox1->ItemIndex == 1)
{
  impact = 0.5*Y[rankings[0].eventPointer][0] + 0.25*Y[rankings[1].eventPointer][0] + 0.25*Y[rankings[2].eventPointer][0];
}
else if(ComboBox1->ItemIndex == 2)
{
  impact = 0;
  for(int j = 0; j < neighborsNumber; j++)
  {
    impact += (double(1)/double(neighborsNumber))*Y[rankings[j].eventPointer][0];
  }
}

(*i).second.impact = impact;
index = myForm->Series2->XValues->Locate((*i).second.eventDate);
if(index != -1)
{
  myForm->Series2->YValues->Value[index] = impact;
}
else
{
  index = myForm->Series3->XValues->Locate((*i).second.eventDate);
  if(index != -1)
  {
    if(myForm->Series3->ValueColor[index] == clAqua)
    {
      myForm->Series2->AddXY((*i).second.eventDate, impact, (*i).second.eventDate.DateString(), clAqua);
      if(int(double(10) + double(9)/double(5)*double(myForm->Series2->XValues->Count())) > 100)
      {
        myForm->Series2->BarWidthPercent = 100;
      }
    }
    else
    {
      myForm->Series2->BarWidthPercent = int(double(10) + double(9)/double(5)*double(myForm->Series2->XValues->Count()));
    }
  }
  else
  {
    myForm->Series2->AddXY((*i).second.eventDate, impact, (*i).second.eventDate.DateString(), clYellow);
    if(int(double(10) + double(9)/double(5)*double(myForm->Series2->XValues->Count())) > 100)
    {
      myForm->Series2->BarWidthPercent = 100;
    }
    else
    {
      myForm->Series2->BarWidthPercent = int(double(10) + double(9)/double(5)*double(myForm->Series2->XValues->Count()));
    }
  }
}
else
{
  if((*i).second.eventDate.DateString() == myForm->DateBox->Text)
  {
    myForm->Series2->AddXY((*i).second.eventDate, impact, (*i).second.eventDate.DateString(), clAqua);
    if(int(double(10) + double(9)/double(5)*double(myForm->Series2->XValues->Count())) > 100)
    {

```

```

        myForm->Series2->BarWidthPercent = 100;
    }
    else
    {
        myForm->Series2->BarWidthPercent = int(double(10) + double(9)/double(5)*double(myForm->Series2->XValues->Count()));
    }
}
else
{
    myForm->Series2->AddXY((*i).second.eventDate, impact, (*i).second.eventDate.DateString(), clYellow);
    if(int(double(10) + double(9)/double(5)*double(myForm->Series2->XValues->Count())) > 100)
    {
        myForm->Series2->BarWidthPercent = 100;
    }
    else
    {
        myForm->Series2->BarWidthPercent = int(double(10) + double(9)/double(5)*double(myForm->Series2->XValues->Count()));
    }
}
}
}

myForm->Series2->Repaint();
}
}

for(int i = 0; i < xRows; i++)
{
    delete [] X[i];
}
delete [] X;

for(int i = 0; i < xRows; i++)
{
    delete [] Y[i];
}
delete [] Y;

delete [] rankings;

DataModule1->Timer1->Enabled = false;
MainForm->curAction = forecastAction;
if(DataModule1->curLanguage == Greek)
{
    MainForm->StatusBar1->Panels->Items[1]->Text = "Η μέθοδος των Γειτόνων εφαρμόστηκε με επιτυχία.";
}
else if(DataModule1->curLanguage == English)
{
    MainForm->StatusBar1->Panels->Items[1]->Text = "The neighbors method has been applied successfully.";
}
MainForm->StatusBar1->Invalidate();
DataModule1->Timer1->Enabled = true;
}
}
catch(Exception &e)
{
    ShowMessage(e.Message);
    ShowMessage("An unexpected error occured in BitBtn1Click event in TNBForm unit.");
}
}
//-----
void __fastcall TNBForm::Swap(TRankStruct &a, TRankStruct &b)
{
    TRankStruct temp = a;
    a = b;
    b = temp;
}

```

```
//-----  
void __fastcall TNBForm::BubbleSort(TRankStruct *rankings, int xRows)  
{  
    for(int i = xRows - 1; i > 0; i--)  
    {  
        for(int j = 0; j < i; j++)  
        {  
            if(rankings[j].penalty > rankings[j+1].penalty) swap(rankings[j], rankings[j+1]);  
        }  
    }  
}  
//-----
```

Χρήσιμες Δηλώσεις

```
class TParameter
{
public:
    TParameter() { value = 0; valueName = "";}
    ~TParameter(){};
    double value;
    AnsiString name, valueName;
};
//-----
class TFactor
{
public:
    TFactor(){};
    ~TFactor(){};
    AnsiString name;
    map<AnsiString, TParameter> parameters;
};
//-----
class TJudgmentalEvent
{
public:
    TJudgmentalEvent() { impactFunction = "";}
    ~TJudgmentalEvent(){};
    TDate eventDate;
    double impact;
    bool futureEvent;
    AnsiString impactFunction;
    TImpactType impactType;
    map<AnsiString, TFactor> factors;
};
//-----
class TJudgmentalEventBase
{
public:
    TJudgmentalEventBase(){};
    ~TJudgmentalEventBase(){};
    map<TDate, TJudgmentalEvent> judgmentalEvents;
};
//-----
```

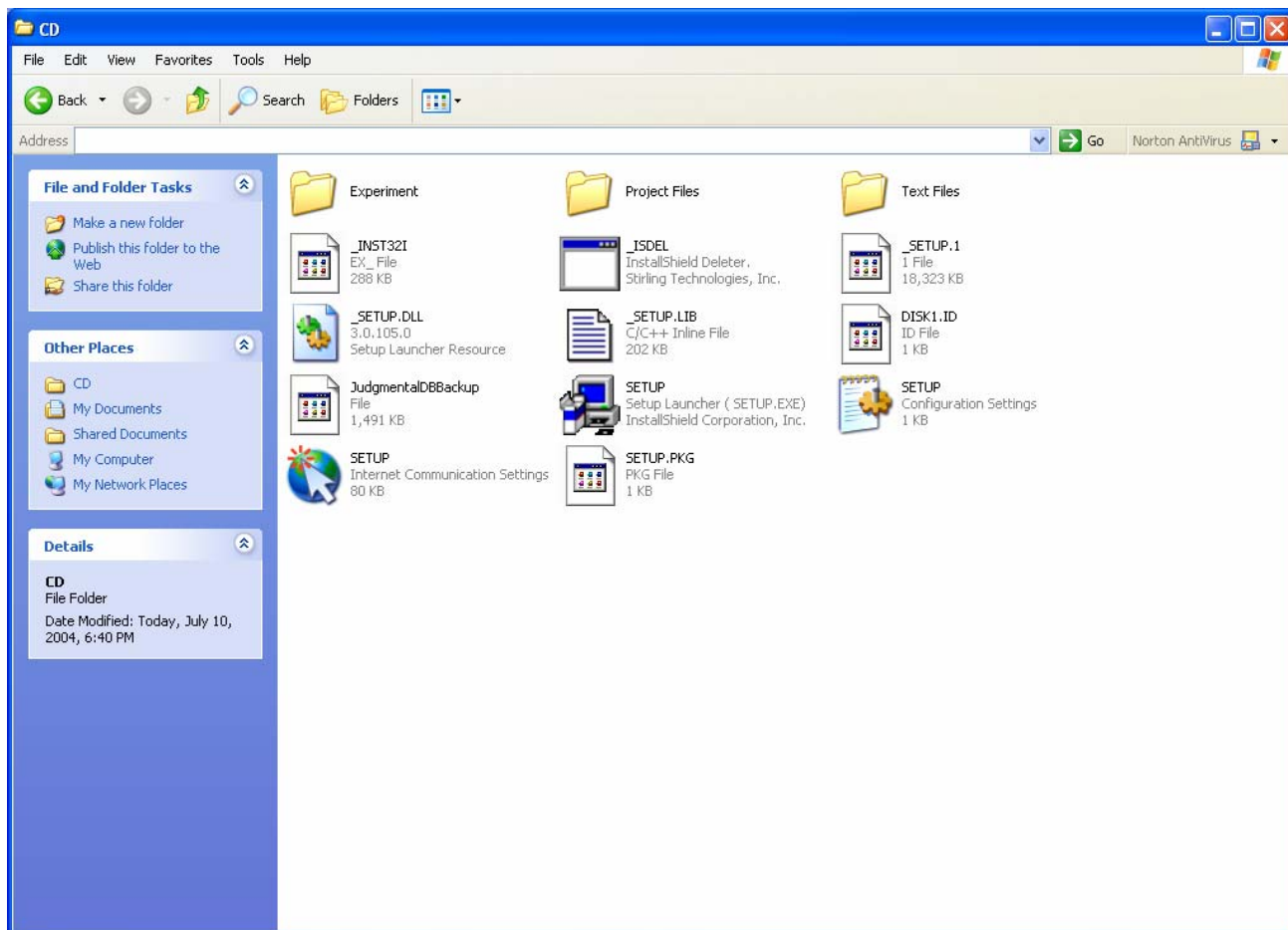


Οδηγίες Εγκατάστασης

7.1 Τα περιεχόμενα του συνοδευτικού CD-ROM

Στο screenshot της επόμενης σελίδας φαίνονται τα αρχεία που περιέχει το συνοδευτικό με τον τόμο CD-ROM. Στον κατάλογο “Project Files” περιέχονται δύο εκδόσεις του πληροφοριακού συστήματος. Η Jforecast και JforecastRelease. Πρόκειται για τα ίδια ακριβώς έργα, με τη μόνη διαφορά ότι το δεύτερο έχει μεταγλωττισθεί με βελτιστοποιήσεις που του δίνουν τη δυνατότητα να εκτελεί τους αλγορίθμους του πληροφοριακού συστήματος γρηγορότερα. Στον κατάλογο με τίτλο Report περιέχεται ο παρόν τόμος σε ηλεκτρονική μορφή ως έγγραφο του Microsoft Word και ως έγγραφο του Adobe Acrobat Reader. Ο κατάλογος με τίτλο Experiment περιέχει δύο αρχεία. Το ένα ονομάζεται data.xls και περιέχει τα δεδομένα (χρονοσειρές) του πειράματος που περιγράφεται στο κεφάλαιο 5 και το δεύτερο ονομάζεται results.xls και περιέχει τα αποτελέσματα του πειράματος.

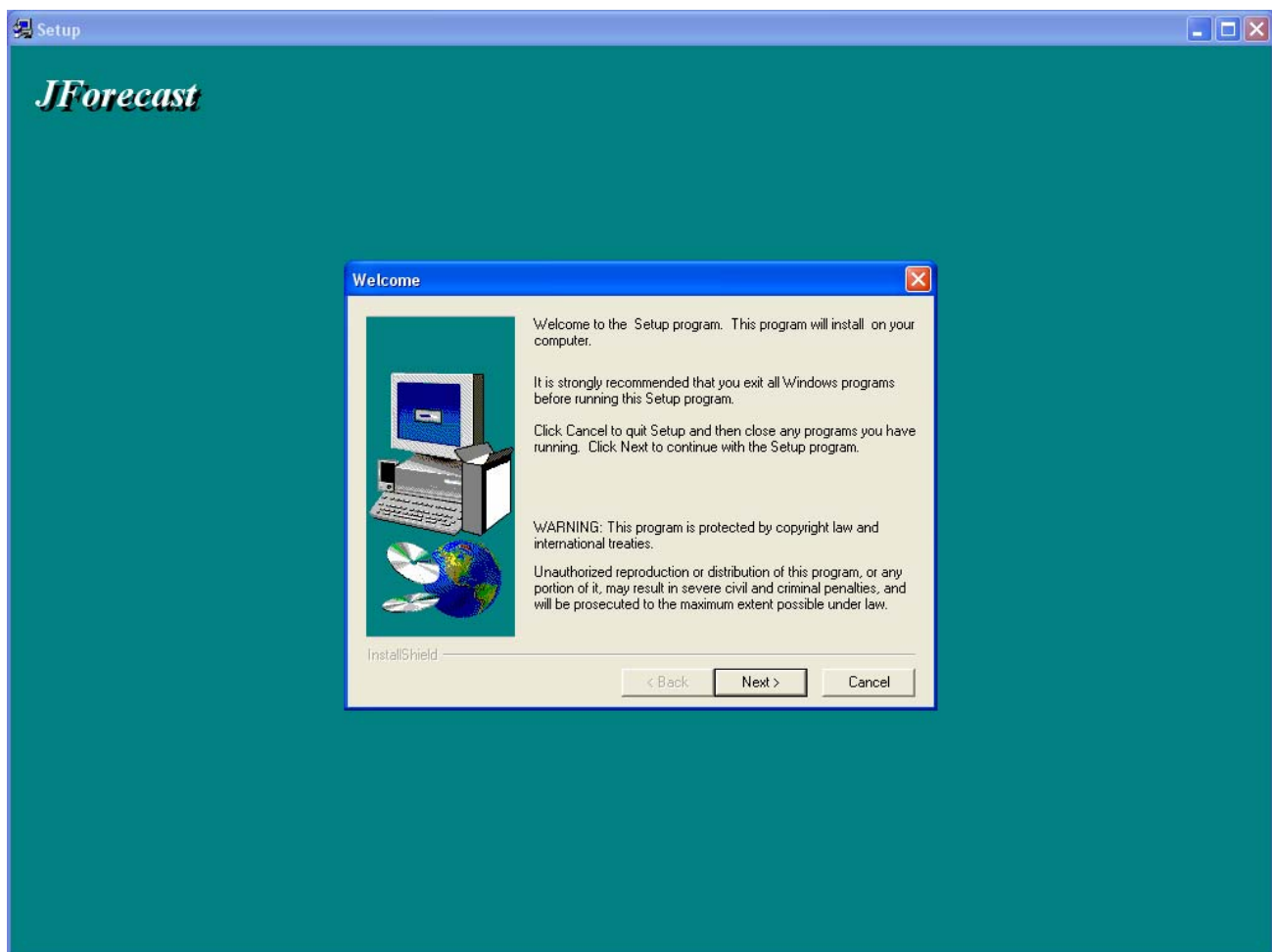
Τέλος στον αρχικό κατάλογο περιέχεται μαζί με άλλα απαραίτητα για την εγκατάσταση αρχεία, το εκτελέσιμο setup.exe με το οποίο γίνεται αυτόματα η εγκατάσταση του πληροφοριακού συστήματος. Στην επόμενη ενότητα θα δούμε πως ακριβώς γίνεται αυτό.



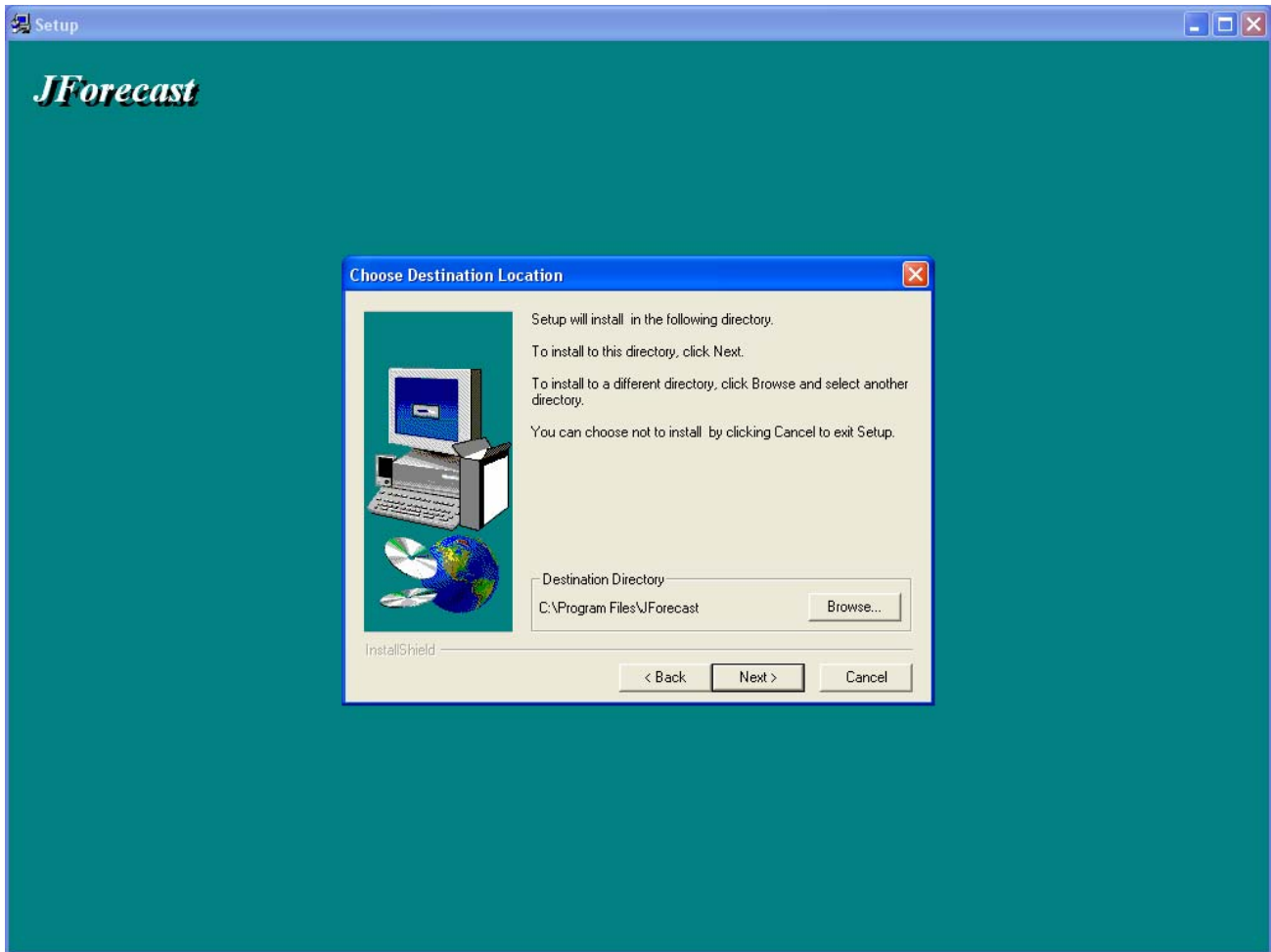
7.2 Οδηγίες εγκατάστασης

Τα παρακάτω βήματα περιγράφουν με αναλυτικό τρόπο την εγκατάσταση του πληροφοριακού συστήματος σε οποιοδήποτε λειτουργικό περιβάλλον από τα : Microsoft Windows XP, 2000, 98, 2003 Server

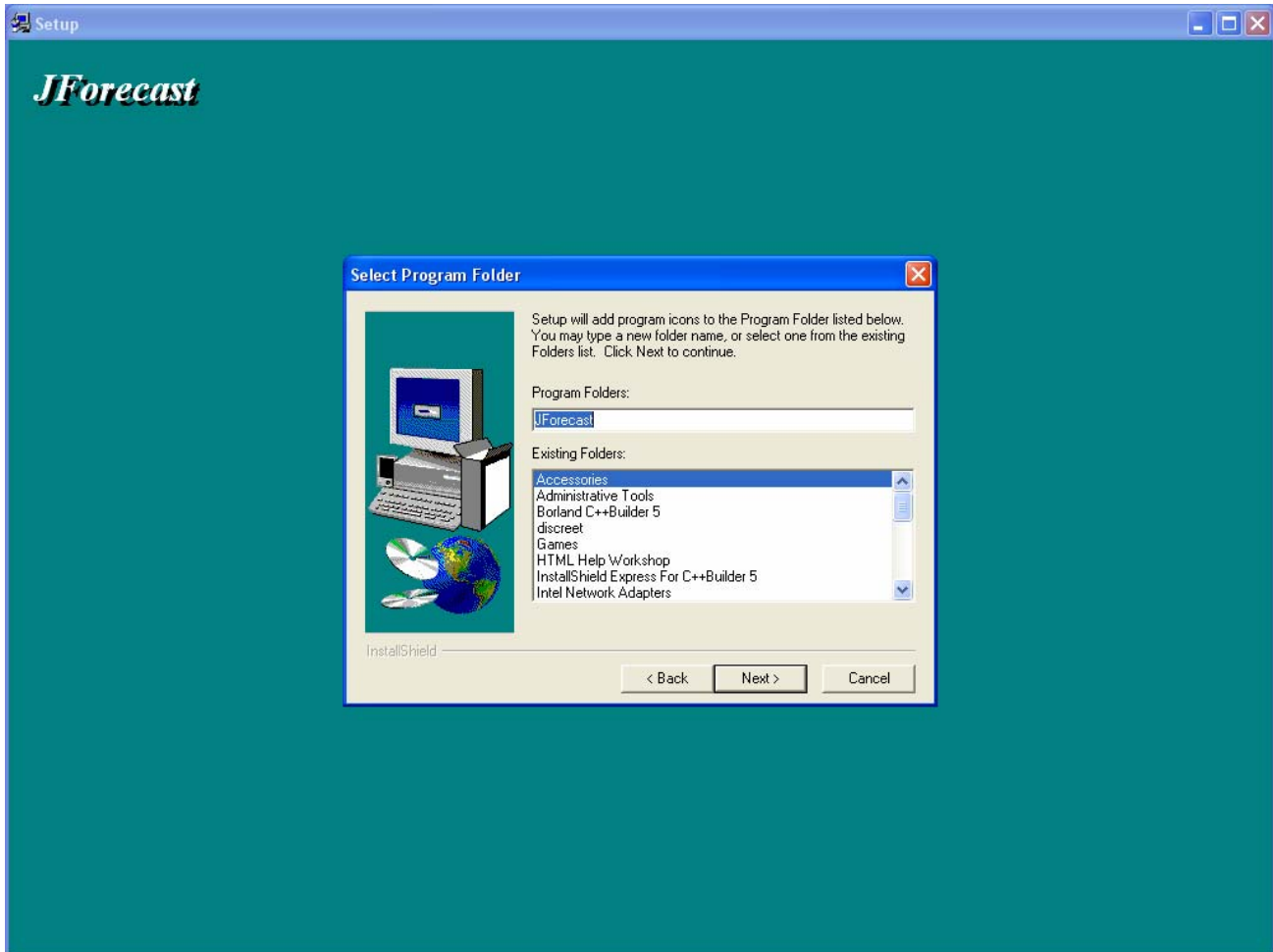
Βήμα 1^ο : Τοποθετώντας το δίσκο μέσα στο cd-rom περιμένουμε να ξεκινήσει ο οδηγός εγκατάστασης αυτόματα. Σε περίπτωση που δεν ξεκινήσει τον ξεκινάμε τρέχοντας το αρχείο setup.exe που βρίσκεται στο root directory του cd-rom. Στο επόμενο screenshot φαίνεται η πρώτη εικόνα του οδηγού εγκατάστασης.



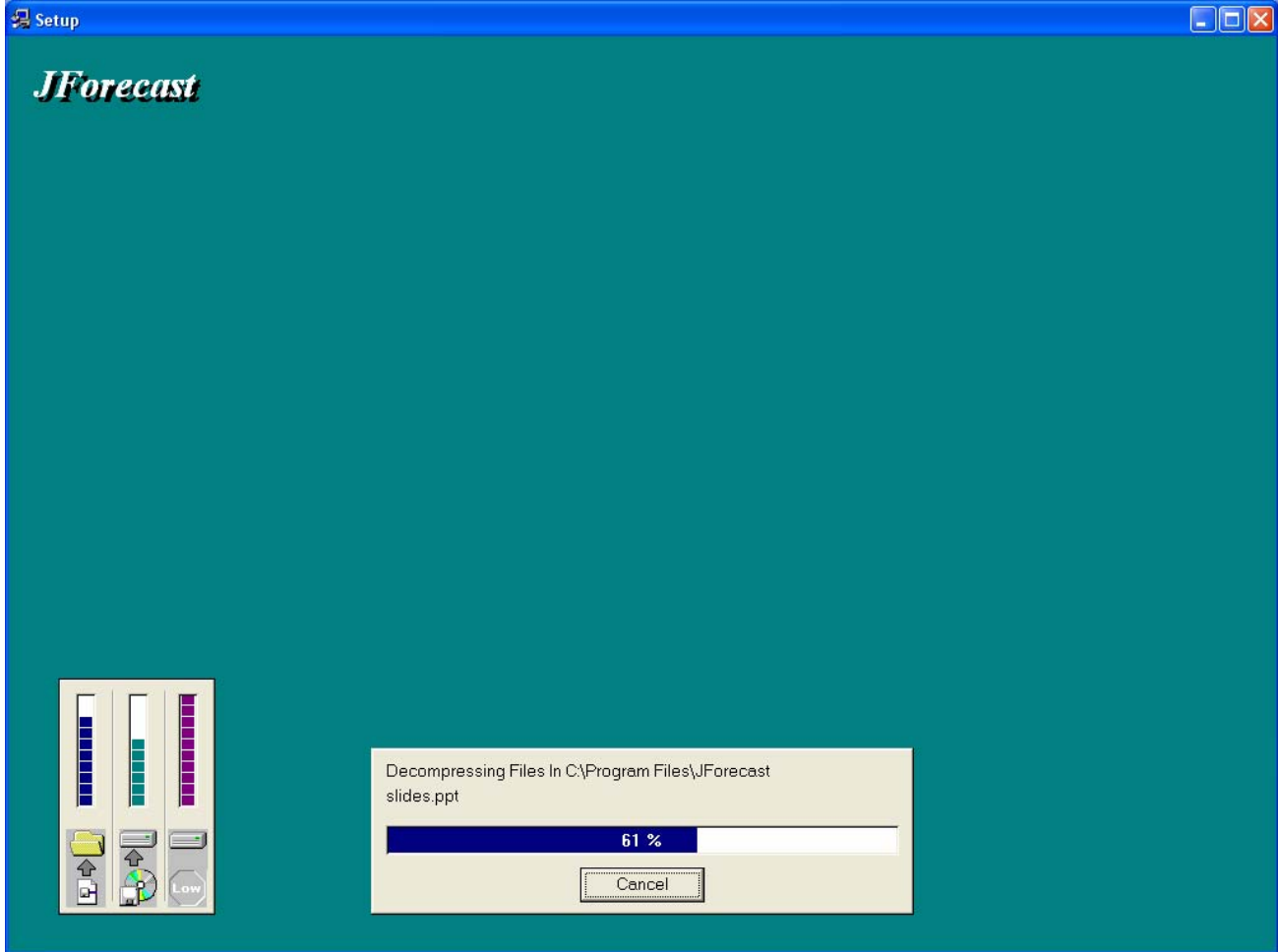
Πατάμε το κουμπί με τίτλο “Next” και εμφανίζεται η επόμενη οθόνη που μας ζητάει να δηλώσουμε την τοποθεσία που θέλουμε να γίνει η εγκατάσταση. Μπορούμε να αφήσουμε και την προεπιλεγμένη τοποθεσία. Στη συνέχεια πατάμε “Next”.



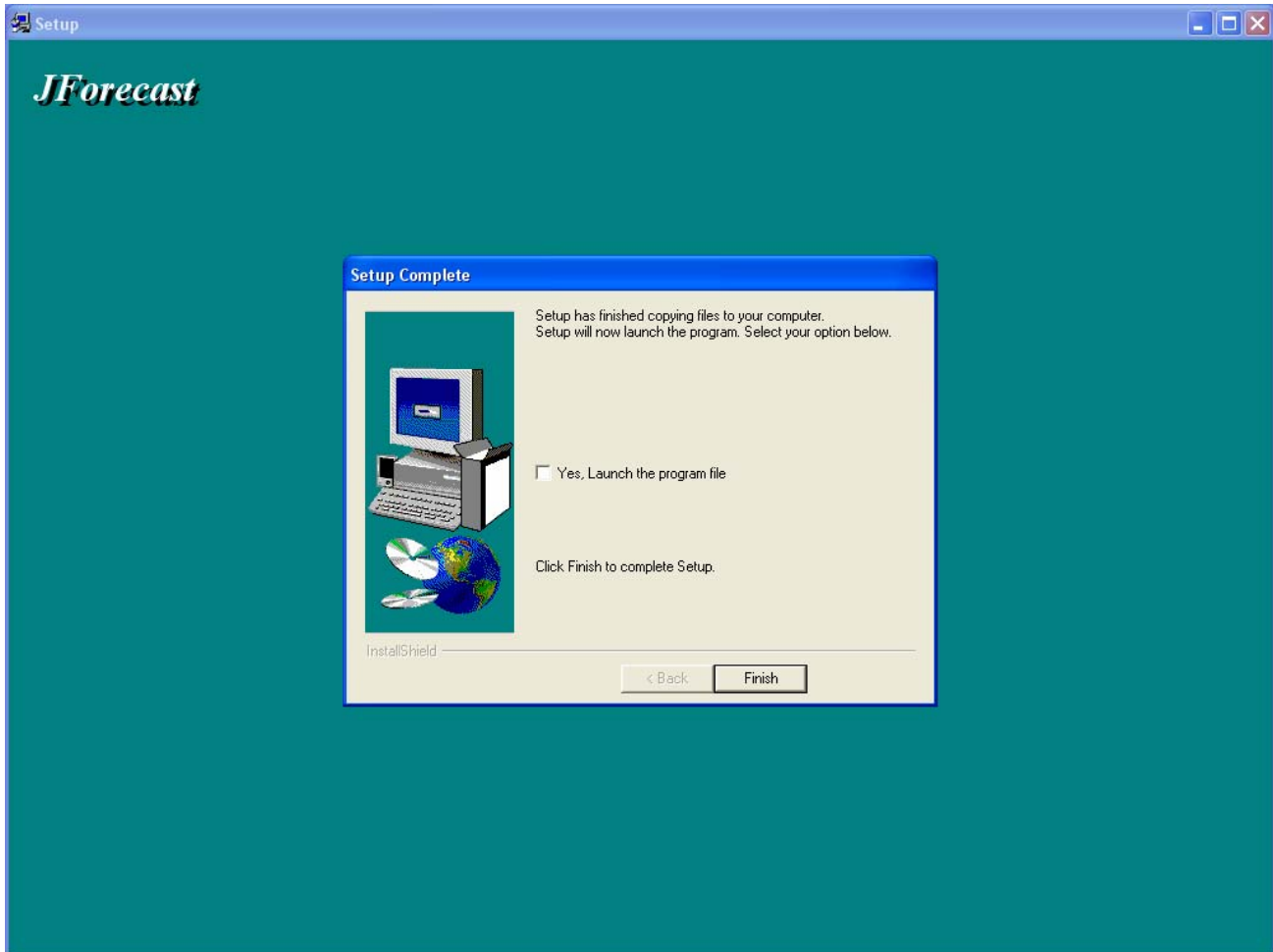
Στην επόμενη οθόνη μας ζητείται να επιλέξουμε το όνομα του καταλόγου μέσα στον οποίο θα δημιουργηθούν οι συντομεύσεις της εφαρμογής στο start menu των windows. Αφού το κάνουμε πατάμε πάλι “Next”



Η επόμενη οθόνη περιέχει μια σύνοψη των πληροφοριών που έχουμε δώσει μέχρι τώρα. Πατάμε και σε αυτήν “Next” και εμφανίζεται η μπάρα προόδου της επόμενης σελίδας.

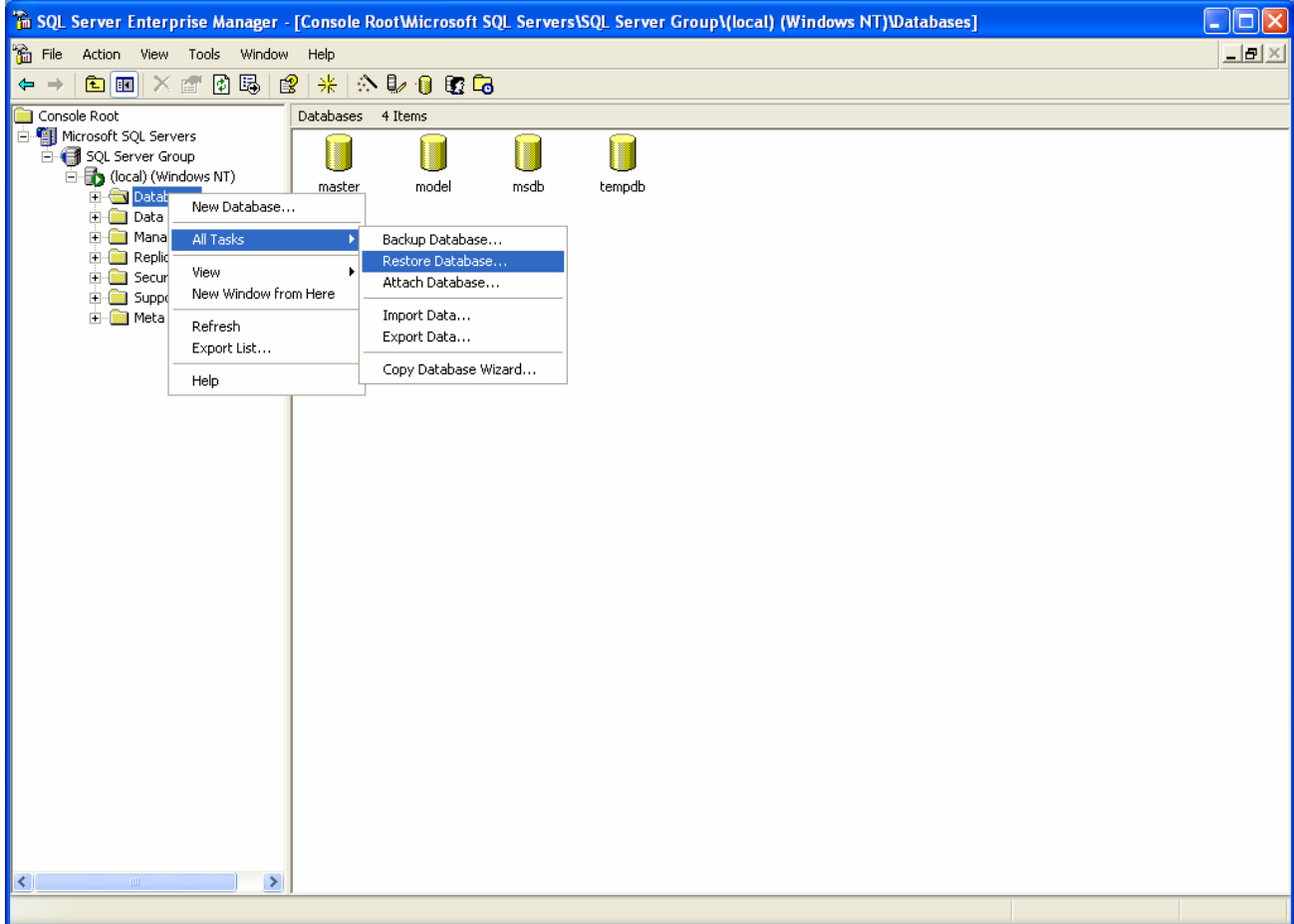


Αφού ολοκληρωθεί η εγκατάσταση εμφανίζεται η οθόνη τερματισμού της επόμενης σελίδας στην οποία αν θέλουμε ενεργοποιούμε την επιλογή να εκτελεστεί η εφαρμογή μετά τον τερματισμό. Καλό είναι όμως να μην την ενεργοποιήσουμε μιας και δε θα λειτουργεί αυτή ακόμα σωστά. Πατάμε «Finish».

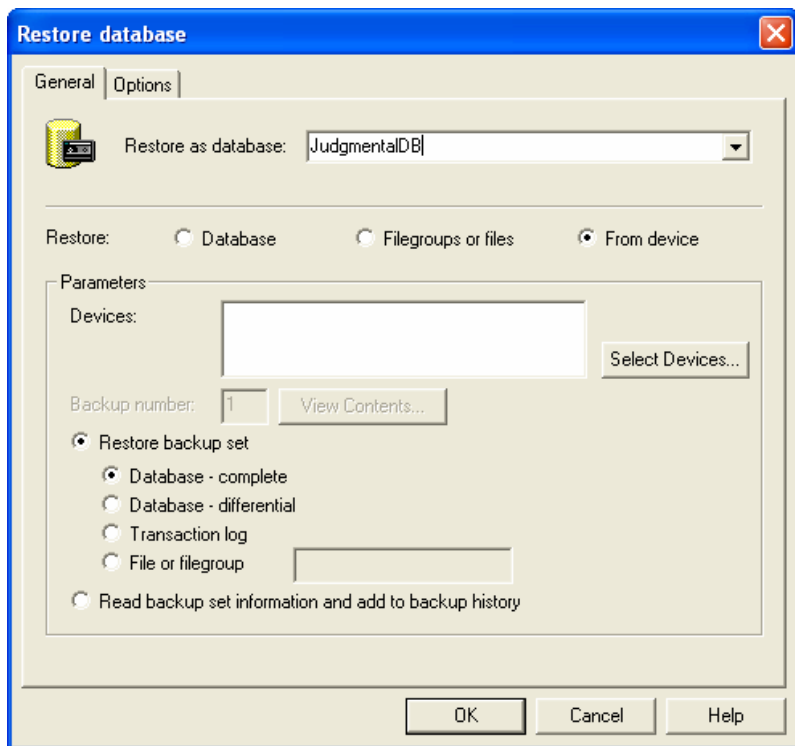


Ένα βασικό μέρος της εγκατάστασης έχει ολοκληρωθεί. Μπορούμε τώρα να δούμε στο start menu τη συντόμευση της εφαρμογής με τον τίτλο Jforecast και τις συντομεύσεις των εγγράφων report.doc , report.pdf , data.xls , results.xls και slides.ppt τα περιεχόμενα των οποίων έχουν αναφερθεί στην εισαγωγή.

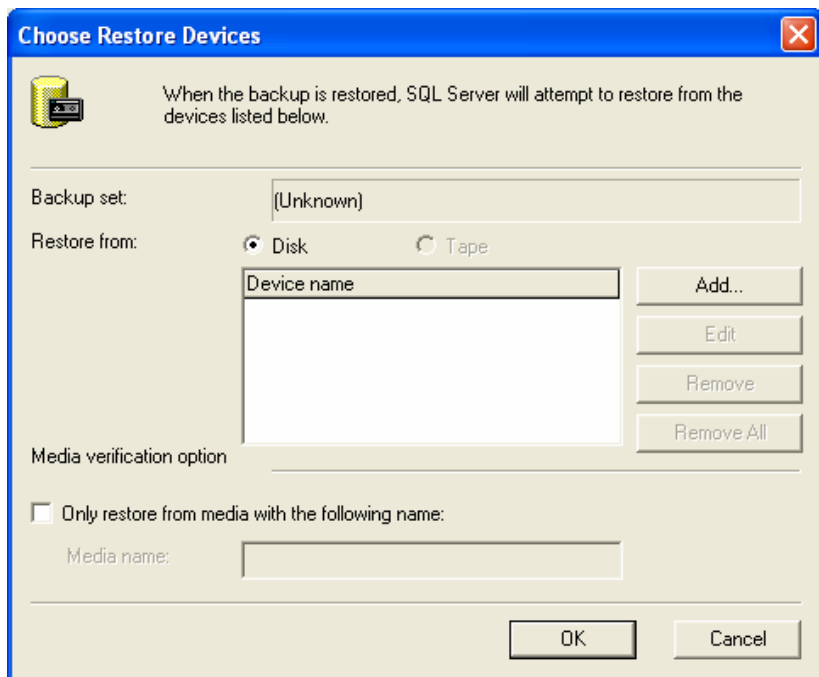
Βήμα 2^ο : Σε αυτό το βήμα θα προετοιμάσουμε τη βάση δεδομένων. Απαραίτητη προϋπόθεση είναι να έχουμε ήδη εγκατεστημένο τον SQL Server. Αρχικά ανοίγουμε τον Enterprise Manager από το start menu μέσα από τον κατάλογο με τίτλο “Microsoft SQL Server”. Στη συνέχεια επιλέγουμε τη λειτουργία Restore Database όπως φαίνεται στο επόμενο screenshot.



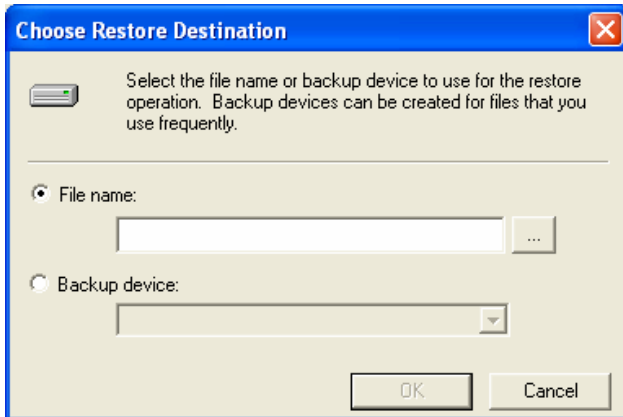
Στην επόμενη οθόνη που εμφανίζεται συμπληρώνουμε το πεδίο “Restore as database” με την ονομασία “JudgmentalDB” και ενεργοποιούμε την επιλογή From Device όπως φαίνεται στην επόμενη σελίδα. Τέλος πατάμε το κουμπι Select Devices.



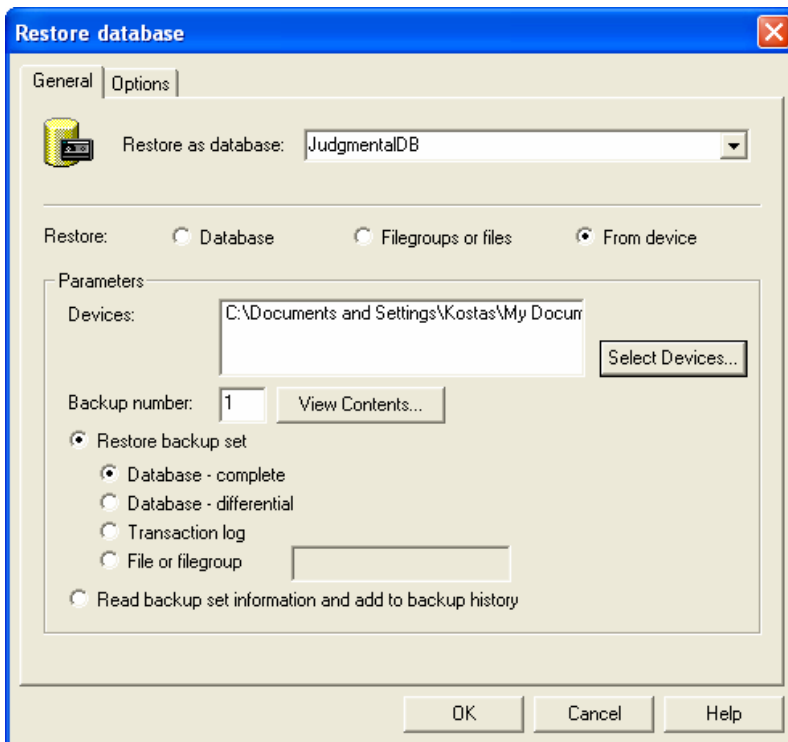
Εμφανίζεται τότε η παρακάτω φόρμα:



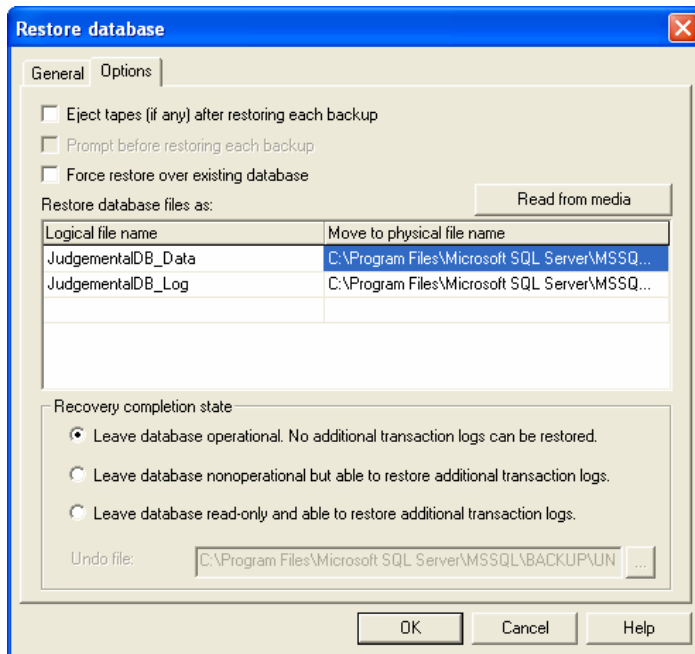
Πατάμε το κουμπι Add... και εμφανίζεται η φόρμα :



Έχοντας ενεργοποιημένη την επιλογή File name πατάμε το κουμπι με τις 3 τελείες και επιλέγουμε το αρχείο με τίτλο JudgmentalDBBackup το οποίο βρίσκεται μέσα στο directory που κάναμε εγκατάσταση την εφαρμογή στο πρώτο βήμα. Στη συνέχεια πατάμε ok μέχρι να βγούμε στην αρχική οθόνη η οποία φαίνεται παρακάτω. Τώρα στο πεδίο με τίτλο Devices γράφεται η τοποθεσία του επιλεγμένου αρχείου.

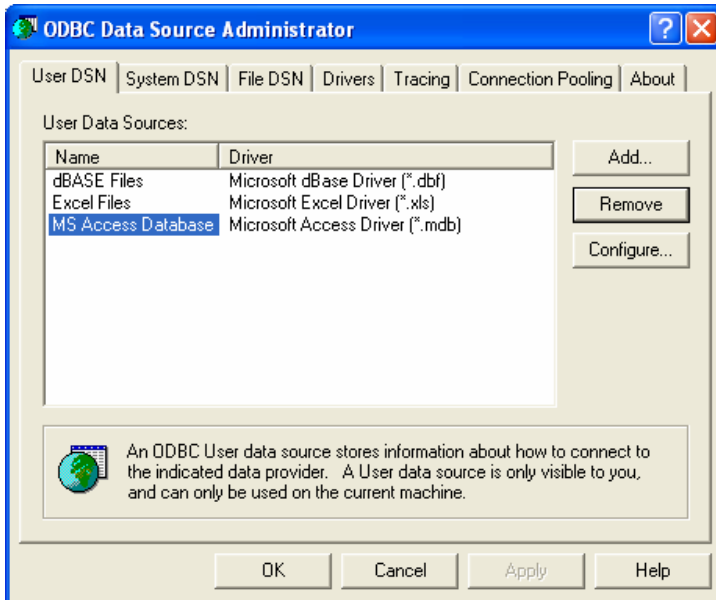


Προσοχή!!! Πατώντας στο tab με τίτλο options βλέπουμε τις τοποθεσίες στις οποίες θα δημιουργηθούν τα δύο αρχεία της βάσης δεδομένων. Αυτές θα πρέπει να προσέξουμε να είναι ακριβώς ίδιες με αυτές που έχουμε κάνει εγκατάσταση τον SQL Server στο δίσκο μας. Για παράδειγμα αν τον έχουμε κάνει εγκατάσταση στη μονάδα D θα πρέπει να αλλάξουμε την αρχική τοποθεσία από C σε D. Το ίδιο ισχύει και για τον τελικό κατάλογο της εγκατάστασης του SQL Server ο οποίος θα πρέπει να είναι ακριβώς ο ίδιος με αυτόν στο δίσκο μας.

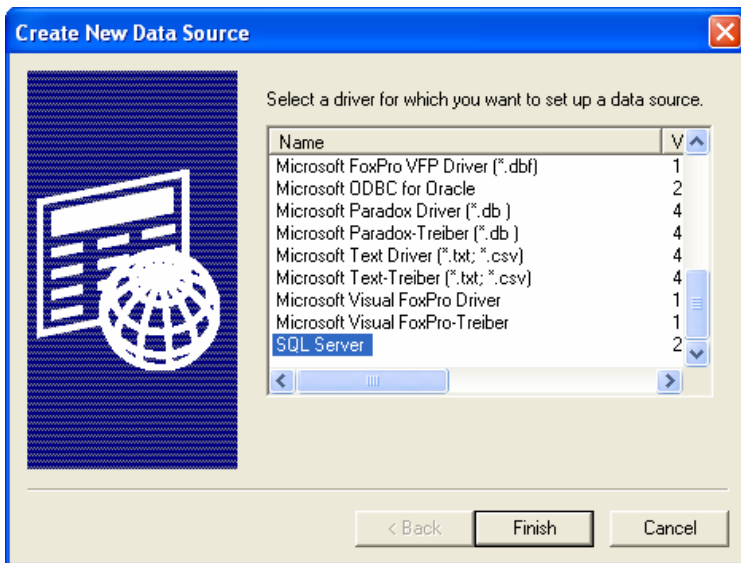


Στη συνέχεια πατάμε ok και δημιουργούμε τη Βάση Δεδομένων. Η λειτουργία έχει ολοκληρωθεί με επιτυχία όταν εμφανίζεται το αντίστοιχο μήνυμα.

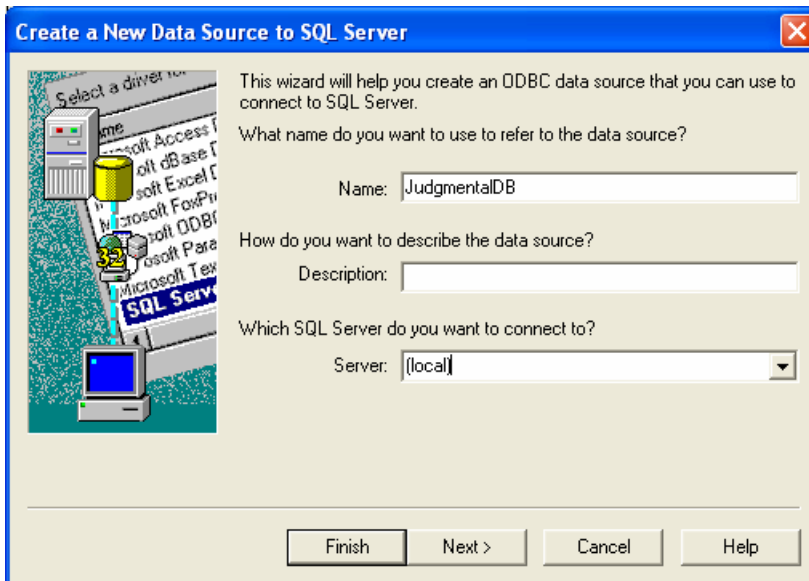
Βήμα 3^ο : Τελικές ρυθμίσεις. Μέσα από το Control Panel τρέχουμε τη συντόμευση Data Sources (ODBC). Εμφανίζεται η ακόλουθη φόρμα. Έχοντας ενεργοποιημένο το tab User DSN πατάμε το κουμπι Add...



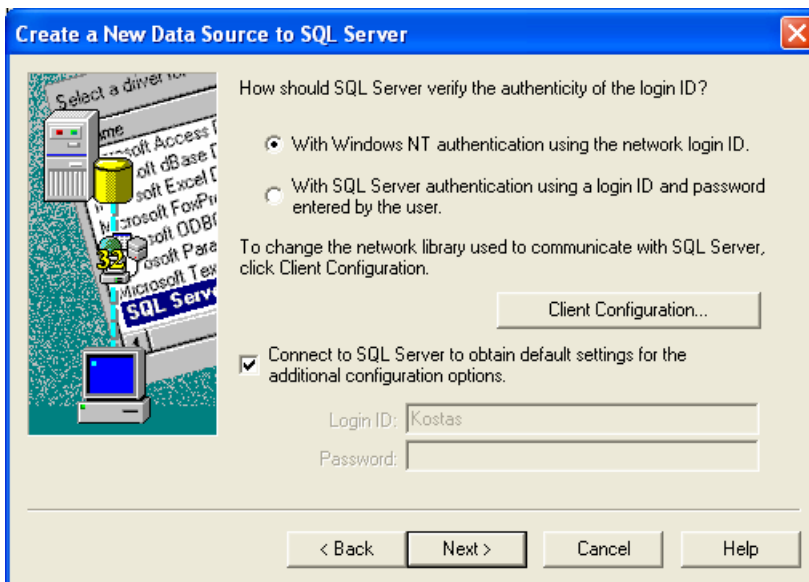
Στη συνέχεια επιλέγουμε SQL Server και πατάμε finish όπως φαίνεται παρακάτω:



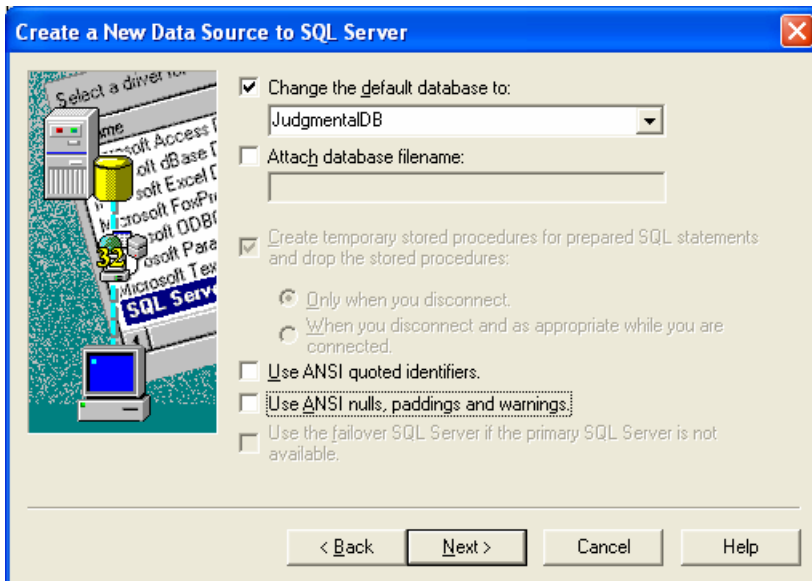
Στη φόρμα της επόμενης σελίδας στο πεδίο Name συμπληρώνουμε JudgmentalDB και στο πεδίο Server γράφουμε (local) μαζί με τις παρενθέσεις. Στη συνέχεια πατάμε Next.



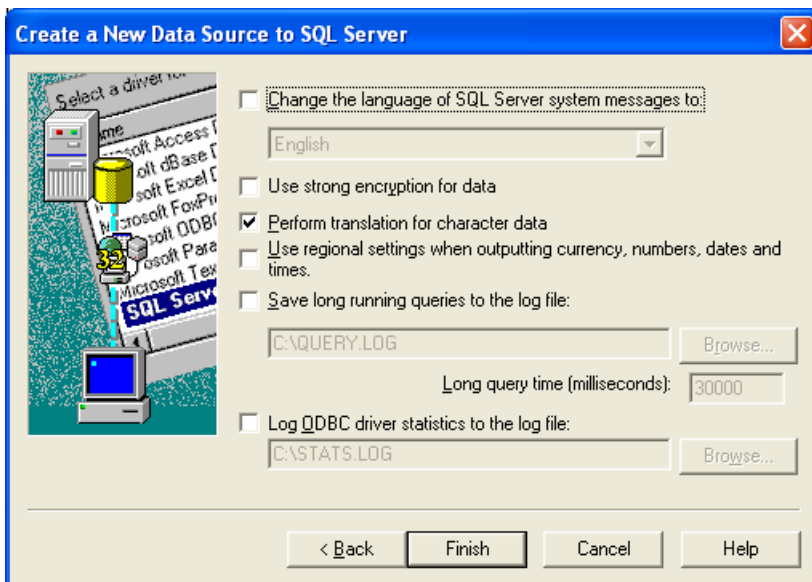
Εμφανίζεται η παρακάτω φόρμα την οποία αφήνουμε ως έχει και πατάμε πάλι next.



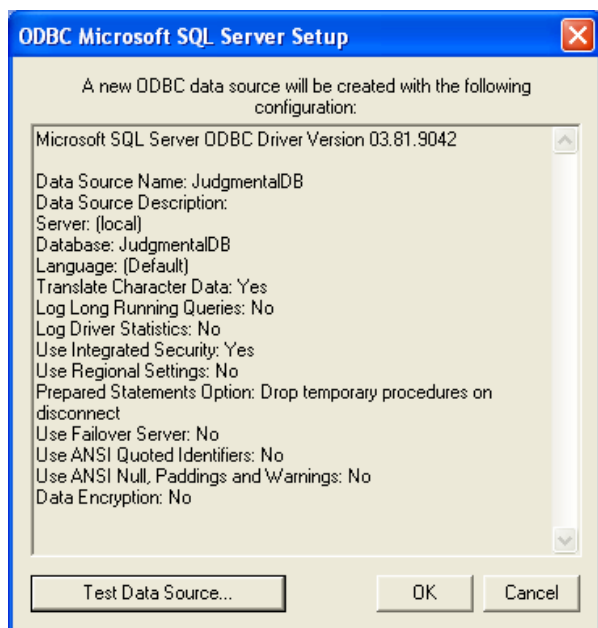
Στην επόμενη φόρμα ενεργοποιούμε την επιλογή Change the default database to: και από το drop down box επιλέγουμε JudgmentalDB. Αν δεν υπάρχει αυτή η επιλογή τότε δεν έχουμε ολοκληρώσει με επιτυχία το βήμα 2. Απενεργοποιούμε τις επιλογές Use Ansi quoted identifiers και Use Ansi nulls, paddings and warnings όπως φαίνεται στην επόμενη σελίδα. Πατάμε next.



Η επόμενη φόρμα εμφανίζεται παρακάτω. Την αφήνουμε ως έχει και πατάμε finish.



Τέλος εμφανίζεται η φόρμα της επόμενης σελίδας στην οποία μπορούμε να ελέγξουμε τη σύνδεση με τη βάση δεδομένων πατώντας το κουμπι Test Data Source. Πατάμε ok και η εγκατάσταση ολοκληρώνεται. Τώρα μπορούμε να τρέξουμε την εφαρμογή από το start menu των windows.





BIBΛΙΟΓΡΑΦΙΑ

- 1) Λουκάς Χ. Παπαγγελής - Παντελής Σ. Στασιάς, Μέθοδοι Κριτικών Προβλέψεων, Διπλωματική Εργασία, Εθνικό Μετσόβιο Πολυτεχνείο, Τμήμα Ηλεκτρολόγων Μηχανικών Και Μηχανικών Υπολογιστών, Τομέας Ηλεκτρικών Βιομηχανικών Διατάξεων Και Συστημάτων Αποφάσεων, Μονάδα Προβλέψεων Και Προοπτικής (2002)
(Κεφάλαια 1 και 2)
- 2) Simon Haykin, Neural Networks A Comprehensive Foundation Second Edition (1999)
- 3) John O. Rawlings, Applied Regression Analysis A Research Tool (1988)
- 4) Jarrod HollingWorth, Dan Butterfield, Bob Swart, Jamie Allsop, C++ Builder 5 Developers Guide (2001)
- 5) Judgmental adjustment in time series forecasting using neural networks, Jae Kyu Lee, Chang Seon Yum, Decision Support Systems 22 (1998) 135-154, Elsevier.